L'INVENTAIRE DU CAPITAL- NATURE DU TERRITOIRE DE LA BAIE-JAMES

LES RÉGIONS ÉCOLOGIQUES ET LA VÉGÉTATION DES SOLS MINÉRAUX



Tome 1: méthodologie et description

par Vincent Gerardin, Service des études ecologiques régionales

Douction des resurves icalogiques il des sites naturals.

L'INVENTAIRE DU CAPITAL-NATURE DU TERRITOIRE DE LA BAIE-JAMES

LES REGIONS ECOLOGIOUES ET LA VEGETATION DES SOLS MINERAUX

Tome 1: méthodologie et description

par

Vincent Gerardin

1980

avec la collaboration de Gérald Audet

AVERTISSEMENT

Comme son titre l'indique, le présent document ne traite que de la végétation des sols minéraux. D'une façon générale, sont considérés tous les sols dont l'humus n'atteint pas 40 cm d'épaisseur. Les sols dont au moins les 40 centimètres supérieurs sont constitués de matière organique sont classés parmi les sols organiques. Leur végétation a bien entendu été étudiée, mais le départ du responsable de ce dossier n'a pas permis la présentation d'un rapport final sur le sujet.

AVANT-PROPOS

L'Inventaire du Capital-Nature d'un territoire fournit aux aménageurs la base écologique de la planification et de l'aménagement intégré des ressources de ce territoire. La végétation est la ressource primaire et constitue la base des ressources biologiques de tout territoire. Elle est directement soumise aux paramètres de l'environnement sur lesquels repose la méthode d'Inventaire du Capital-Nature. Ce rapport présente l'état des connaissances que l'équipe du S.E.E.R. (Service des Etudes Ecologiques Régionales) a acquise après trois étés de prospection sur la végétation du Territoire de la Baie-James, (1973, 1974, 1975). L'immensité du territoire, (plus de 400,000 km²), un échantillonnage à la fois imposant, (plus de 2,000 relevés) et trop faible, l'absence quasi totale de littérature scientifique pertinente alliés à un manque de temps, de recul et parfois de personnel font que ce travail constitue plus un constat qu'une synthèse de la végétation du Territoire de la Baie-James et de son déterminisme écologique. Je suis parfaitement conscient des lacunes et limites de cette étude mais aussi des possibilités de développement qu'offre la somme des données factuelles présentées ici. Mon seul espoir est de voir ce travail critiqué, repris et développé en vue d'améliorer l'état des connaissances écologiques du territoire du Québec.

REMERCIEMENTS

L'inventaire phytoécologique d'un territoire aussi vaste que celui de la Baie-James (425 000 $\rm km^2$) ne peut être l'affaire d'une seule personne; cette publication est donc le fruit d'un travail d'équipe.

Il faut, en premier lieu, rappeler les noms de toutes les personnes qui, sur le terrain, pendant quelques semaines ou au cours des trois saisons d'échantillonnage (étés 1973, 1974, 1975), ont effectués les relevés de végétation. Voici la liste de ces personnes:

AUDET, Gérald BEAUBIEN, Jean BLOUIN, Jean-Louis BROWN, Lary DESLOGES, Claude DORAIS, Paul DUCASSE, René DUCRUC, Jean-Pierre FILION, Louise GAUTHIER, Robert GERARDIN, Vincent GILBERT, Guy GUIMOND, Anthonin LEMIEUX, Gilles LETHIECQ, Jean-Louis MAJCEN, Zoran MONDOUX, Jean-Maurice OUZILLEAU, Jacques PALMER, Kenneth PINDA, Jaroslav ZARNOVICAN, Richard

Jean-Louis Lethiecq, assisté de Gérald Audet, a assumé la responsabilité de notre herbier. Dans certains cas cependant, nous avons fait appel à d'autres botanistes: Ernest Lepage et Richard Cayouette pour les plantes vasculaires; Robert Gauthier pour les sphaignes; I.M. Brodo et P.Y. Wong pour les lichens; R.R. Ireland pour les mousses; H. Williams pour les hépatiques; G.W. Argus pour les saules et E. Haber pour les pyroles.

·

Michel Fortin fut un patient conseiller en ce qui concerne les questions mathématiques et statistiques, tandis que Gilles Turgeon s'est chargé de l'analyse, de la programmation et de l'exécution de la majorité des programmes informatiques.

Jean-Pierre Ducruc et Serge Payette ont eu l'amabilité de lire le manuscrit et d'y apporter d'intéressantes remarques; l'auteur tient toutefois à préciser qu'il porte l'unique responsabilité de ses erreurs.

Finalement, je m'en voudrais d'oublier l'inlassable patience de Thérèse Labrecque qui a dactylographié les trois versions de ce texte. Quant aux illustrations du texte, elles ont pris forme sur la planche à dessin d'Anne-Marie Thouret, parfois secondée par Francine Théberge et Marc Lebel. Anne Lachance a assuré la frappe finale de ce texte.

Que toutes ces personnes ainsi que les autres membres de notre équipe acceptent mes remerciements les plus sincères.

			• • •
-		·	

Page

	Avant-propos	v
	Remerciements	vii
	Table des matières	ix
	Liste des tableaux	xiii
	Liste des figures	xxv
	Liste des annexes	xxix
1	PRESENTATION	1
	1.1 Introduction	1
	1.2 Brève revue bibliographique	2
	1.2.1 Travaux généraux	2
	1.2.2 Travaux phytogéographiques	4
	1.2.3 Travaux phytoécologiques	4
	1.2.4 Nomenclature botanique	4
2	METHODOLOGIE	5
	2.1 Récolte des données	5
	2.1.1 Choix des reconnaissances	5
	2.1.2 Description d'une station écologique de référence	6
	2.1.3 Description des variables écologiques	7
	2.2 Analyse des données	9
•	2.2.1 Constitution des fichiers écologiques	9
	2.2.2 Définition des régions écologiques préliminaires	12
	2.2.3 Définition des variables écologiques discriminantes	19
	2.2.4 Regroupement des régions écologiques préliminaires	23
	2.2.5 Recherche des groupes écologiques	24
	2.2.6 Les types socio-écologiques de végétation	35
	2.2.7 Les chronoséquences végétales	36
	2.2.8 Révision des régions écologiques	36
3	LA VEGETATION DES REGIONS ECOLOGIQUES	37
	3.1 Les groupes écologiques	38
	3.2 Les types socio-écologiques de végétation	42.
	3.3 Les chronoséquences	45.
	3.4 La végétation des régions écologiques du lac Matagami	
	et du lac Chibougamau	48.

TABLE DES MATIERES

	Page
3.4.1 Les groupes écologiques	49.
3.4.2 Les types socio-écologiques de végétation	62.
3.4.3 Les chronoséquences	78.
3.5 La végétation de la région écologique du lac Evans	81.
3.5.1 Les groupes écologiques	81.
3.5.2 Les types socio-écologiques de végétation	97.
3.5.3 Les chronoséquences	115.
3.6 La végétation de la région écologique du lac Mistassini	117.
3.6.1 Les groupes écologiques	117.
3.6.2 Les types socio-écologiques de végétation	139.
3.6.3 Les chronoséquences	150.
3.7 La végétation de la région écologique du lac Sakami	152.
3.7.1 Les groupes écologiques	152.
3.7.2 Les types socio-écologiques de végétation	168.
3.7.3 Les chronoséquences	180.
3.8 La végétation de la région écologique du lac Nichicun	182.
3.8.1 Les groupes écologiques	182.
3.8.2 Les types socio-écologiques de végétation	200.
3.8.3 Les chronoséquences	215.
3.9 La végétation des régions écologiques du lac Le Grand,	
du lac Opiscotéo, du lac Delorme et des monts Scheffer-	
ville	217.
3.9.1 Les groupes écologiques	217.
3.9.2 Les types socio-écologiques de végétation	233.
3.9.3 Les chronoséquences	245.
3.10 La végétation de la région écologique de la rivière	
Kanaaupscow	247.
3.10.1 Les groupes écologiques	247.
3.10.2 Les types socio-écologiques de végétation	263.
3.10.3 Les chronoséquences	271.
3.11 La végétation de la région écologique du lac Bienville	273.
3.11.1 Les groupes écologiques	273.
3.11.2 Les types socio-écologiques de végétation	281.
3.11.3 Les chronoséquences	297.

	Page
3.12 La végétation de la région écologique de la baie de	
Rupert	296.
3.12.1 Les types socio-écologiques de végétation	297.
3.12.2 Les chronoséquences	302.
3.13 La végétation de la région écologique de Fort-George	304.
3.13.1 Les types socio-écologiques de végétation	304.
3.13.2 Les chronoséquences	308.
3.14 La végétation des régions écologiques des îles de	
Manitounouc et de la rivière Roggan	310.
3.14.1 Les types socio-écologiques de végétation	311.
3.14.2 Les chronoséquences	317
3.15 La végétation de la région écologique de la pointe	•
Louis-X1V	319.
3.15.1 Les types socio-écologiques de végétation	319.
3.15.2 Les chronoséquences	323.
≥ 3.16 La végétation de la région écologique des monts Otish	325.
3.16.1 Les types socio-écologiques de végétation	325.
3.16.2 Les chronoséquences	333.
3.17 La végétation de la région écologique du lac Hippocampe	335.
3.17.1 Les types socio-écologiques de végétation	335.
3.17.2 Les chronoséquences	340.
4 LES REGIONS ECOLOGIQUES	343.
4.1 Remplacements de facteurs	343.
4.2 Distribution des principales communautés végétales parmi	
les régions écologiques	345.
4.3 Description des régions écologiques	349.
4.3.1 Les zones et les sous-zones biologiques	355.
4.3.2 Les régions écologiques	365.
4.4 Synthèse	385.
5 LA CARTE DE LA VEGETATION POTENTIELLE DU TERRITOIRE DE LA	
BAIE-JAMES	389.
Bibliographie	393.

LISTE DES TABLEAUX

				Page
Tableau	1	Variables retenues pour la détermination des		
		groupes écologiques		22.
Tableau	2	Distribution des relevés sur sols minéraux dans		
		les régions écologiques préliminaires		23.
Tableau	3	Fréquences normalisées des espèces A et B pour		
		la variable L		34.
Tableau	4	Tableau de fréquence		39.
		REGIONS ECOLOGIQUES DU LAC MATAGAMI ET DU		
		LAC CHIBOUGAMAU		
Tableau	5	Les groupes écologiques des régions écologiques		
		du lac Matagami et du lac Chibougamau		50.
Tableau	6	Répartition du GEl parmi les types écologiques		51.
Tableau	7	Répartition du GE4 parmi les types écologiques		51.
Tableau	8	Répartition du GE7 parmi les types écologiques		53.
Tableau	9	Répartition du GE8 parmi les types écologiques		54.
Tableau	10	Répartition du GE10 parmi les types écologiques		55.
Tableau	11	Répartition du GE15 parmi les types écologiques		56.
Tableau	12	Répartition du GE16 parmi les types écologiques		57.
Tableau	13	Répartition du GE18 parmi les types écologiques		59.
Tableau	14	Répartition du GE22 parmi les types écologiques		60.
Tableau	15	Répartition du GE25 parmi les types écologiques		61.
Tableau	16	Répartition du GE28 parmi les types écologiques		63.
Tableau	17	Nomenclature des types socio-écologiques de vé-		
		gétation des régions écologiques du lac Matagami		
		et du lac Chibougamau		64.
Tableau	18	Tableau synthétique de niveau 2 des types socio-		
		écologiques de végétation des régions écologiques		
		du lac Matagami et du lac Chibougamau	Annexe	13
Tableau	19	Tableau synthétique de niveau 3 des types socio-		
		écologiques de végétation des régions écologiques		
		du lac Matagami et du lac Chibougamau		65.

		P	age
Tableau 20	Groupes écologiques diagnostiques des pinèdes		
	à pin gris		66.
Tableau 21	Groupes écologiques diagnostiques des tremblaies		68.
Tableau 22	Groupes écologiques diagnostiques des pessières		
	à épinette noire		71.
Tableau 23	Groupes écologiques diagnostiques des sapinières		75.
Tableau 24	Chronoséquences végétales des régions écologiques		
	du lac Matagami et du lac Chibougamau		79.
	REGION ECOLOGIQUE DU LAC EVANS		
Tableau 25	Les groupes écologiques de la région écologique		
	du lac Evans		82.
Tableau 26	Répartition du GE3 parmi les types écologiques		84.
Tableau 27	Répartition du GE6 parmi les types écologiques		85.
Tableau 28	Répartition du GE8 parmi les types écologiques		87.
Tableau 29	Répartition du GE9 parmi les types écologiques		88.
Tableau 30	Répartition du GE12 parmi les types écologiques		89.
Tableau 31	Répartition du GE13 parmi les types écologiques		90.
Tableau 32	Répartition du GE16 parmi les types écologiques		92.
Tableau 33	Répartition du GE18 parmi les types écologiques		93.
Tableau 34	Répartition du GE20 parmi les types écologiques		94.
Tableau 35	Répartition du GE22 parmi les types écologiques		96.
Tableau 36	Répartition du GE23 parmi les types écologiques		96.
Tableau 37	Répartition du GE24 parmi les types écologiques		98.
Tableau 38	Répartition du GE25 parmi les types écologiques		99.
Tableau 39	Nomenclature des types socio-écologiques de vé-		
	gétation de la région écologique du lac Evans		100.
Tableau 40	Tableau synthétique de niveau 2 des types socio-		
	écologiques de végétation de la région écologi-		
	que du lac Evans	Annexe	14
Tableau 41	Tableau synthétique de niveau 3 des types socio-		
	écologiques de végétation de la région écologi-		
	que du lac Evans		101.

		Page
Tableau 42	Groupes écologiques diagnostiques des pinèdes	
	à pin gris	102.
Tableau 43	Groupes écologiques diagnostiques des tremblaies	104.
Tableau 44	Groupes écologiques diagnostiques des bétulaies	
	à bouleau blanc	106.
Tableau 45	Groupes écologiques diagnostiques des pessières	
	à épinette noire	109.
Tableau 46	Chronoséquences végétales de la région écologi-	
	que du lac Evans	116.
	REGION ECOLOGIQUE DU LAC MISTASSINI	
Tableau 47	Les groupes écologiques de la région écologique	
	du lac Mistassini	118.
Tableau 48	Répartition du GE5 parmi les types écologiques	121.
Tableau 49	Répartition du GE6 parmi les types écologiques	122.
Tableau 50	Répartition du GE7 parmi les types écologiques	123.
Tableau 51	Répartition du GE10 parmi les types écologiques	124.
Tableau 52	Répartition du GEll parmi les types écologiques	125.
Tableau 53	Répartition du GE12 parmi les types écologiques	127.
Tableau 54	Répartition du GE13 parmi les types écologiques	128.
Tableau 55	Répartition du GE14 parmi les types écologiques	129.
Tableau 56	Répartition du GE15 parmi les types écologiques	130.
Tableau 57	Répartition du GE16 parmi les types écologiques	131.
Tableau 58	Répartition du GE18 parmi les types écologiques	132.
Tableau 59	Répartition du GE19 parmi les types écologiques	133.
Tableau 60	Répartition du GE20 parmi les types écologiques	134.
Tableau 61	Répartition du GE21 parmi les types écologiques	135.
Tableau 62	Répartition du GE23 parmi les types écologiques	136.
Tableau 63	Répartition du GE24 parmi les types écologiques	137.
Tableau 64	Répartition du GE26 parmi les types écologiques	138.
Tableau 65	Nomenclature des types socio-écologiques de vé-	
	gétation de la région écologique du lac Mistas-	
	sini	140.

		Page
Tableau 66	Tableau synthétique de niveau 2 des types socio-	
	écologiques de végétation de la région écologi-	
	que du lac Mistassini	Annexe 15
Tableau 67	Tableau synthétique de niveau 3 des types socio-	
	écologiques de végétation de la région écologi-	
	que du lac Mistassini	141.
Tableau 68	Groupes écologiques diagnostiques des pinèdes à	
	pin gris	142.
Tableau 69	Groupes écologiques diagnostiques des bétulaies	
	à bouleau blanc	144.
Tableau 70	Groupes écologiques diagnostiques des pessières à	
	épinette noire	146.
Tableau 71	Chronoséquences végétales de la région écologique	
	du lac Mistassini	151.
	REGION ECOLOGIQUE DU LAC SAKAMI	
Tableau 72	Les groupes écologiques de la région écologique	
	du lac Sakami	153.
Tableau 73	Répartition du GE4 parmi les types écologiques	155.
Tableau 74	Répartition du GE8 parmi les types écologiques	156.
Tableau 75	Répartition du GE9 parmi les types écologiques	157.
Tableau 76	Répartition du GEll parmi les types écologiques	158.
Tableau 77	Répartition du GE13 parmi les types écologiques	159.
Tableau 78	Répartition du GE15 parmi les types écologiques	161.
Tableau 79	Répartition du GE16 parmi les types écologiques	162.
Tableau 80	Répartition du GE17 parmi les types écologiques	163.
Tableau 81	Répartition du GE19 parmi les types écologiques	164.
Tableau 82	Répartition du GE31 parmi les types écologiques	165.
Tableau 83	Répartition du GE34 parmi les types écologiques	166.
Tableau 84	Répartition du GE35 parmi les types écologiques	167.
Tableau 85	Nomenclature des types socio-écologiques de vé-	
	gétation de la région écologique du lac Sakami	169.
Tableau 86	Tableau synthétique de niveau 2 des types socio-	
	écologiques de végétation de la région écologi-	
	que du lac Sakami	Annexe 16

		Page
Tableau 87	Tableau synthétique de niveau 3 des types socio-	
	écologiques de végétation de la région écologi-	
	que du lac Sakami	170.
Tableau 88	Groupes écologiques diagnostiques des pinèdes à	
	pin gris	171.
Tableau 89	Groupes écologiques diagnostiques des pessières	
	à épinette noire	176,
Tableau 90	Chronoséquences végétales de la région écologi-	
	que du lac Sakami	181.
	REGION ECOLOGIQUE DU LAC NICHICUN	
Tableau 91	Les groupes écologiques de la région écologique	
	du lac Nichicun	183.
Tableau 92	Répartition du GE5 parmi les types écologiques	185.
Tableau 93	Répartition du GE9 parmi les types écologiques	186.
Tableau 94	Répartition du GE14 parmi les types écologiques	187.
Tableau 95	Répartition du GE15 parmi les types écologiques	188.
Tableau 96	Répartition du GE16 parmi les types écologiques	189.
Tableau 97	Répartition du GE18 parmi les types écologiques	190.
Tableau 98	Répartition du GE19 parmi les types écologiques	191.
Tableau 99	Répartition du GE22 parmi les types écologiques	193.
Tableau 100	Répartition du GE25 parmi les types écologiques	194.
Tableau 101	Répartition du GE28 parmi les types écologiques	195.
Tableau 102	Répartition du GE29 parmi les types écologiques	196.
Tableau 103	Répartition du GE30 parmi les types écologiques	197.
Tableau 104	Répartition du GE32 parmi les types écologiques	198.
Tableau 105	Répartition du GE33 parmi les types écologiques	199.
Tableau 106	Répartition du GE41 parmi les types écologiques	199.
Tableau 107	Nomenclature des types socio-écologiques de vé-	
	gétation de la région écologique du lac Nichicun	201.
Tableau 108	Tableau synthétique de niveau 2 des types socio-	
	écologiques de végétation de la région écologi-	
	que du lac Nichicun	Annexe 17

		Page
Tableau 109	Tableau synthétique de niveau 3 des types socio-	
	écologiques de végétation de la région écologi-	
	que du lac Nichicun	202.
Tableau 110	Groupes écologiques diagnostiques des pinèdes à	
	pin gris	203.
Tableau 111	Groupes écologiques diagnostiques des bétulaies	
	à bouleau blanc	204.
Tableau 112	Groupes écologiques diagnostiques des pessières	
•	à épinette noire	207.
Tableau 113	Groupes écologiques diagnostiques des sapinières	213.
Tableau 114	Chronoséquences végétales de la région écologi-	
	que du lac Nichicun	216.
	REGIONS ECOLOGIQUES DU LAC LE GRAND, DU LAC	
	OPISCOTEO, DU LAC DELORME ET DES MONTS	
	SCHEFFERVILLE	
Tableau 115	Les groupes écologiques des régions écologiques du	
	lac Le Grand, du lac Opiscotéo, du lac Delorme et	
	des Monts Schefferville	218.
Tableau 116	Répartition du GEl parmi les types écologiques	219.
Tableau 117	Répartition du GE2 parmi les types écologiques	220.
Tableau 118	Répartition du GE3 parmi les types écologiques	221.
Tableau 119	Répartition du GE10 parmi les types écologiques	222.
Tableau 120	Répartition du GE12 parmi les types écologiques	224.
Tableau 121	Répartition du GE13 parmi les types écologiques	225.
Tableau 122	Répartition du GE14 parmi les types écologiques	226.
Tableau 123	Répartition du GE15 parmi les types écologiques	227.
Tableau 124	Répartition du GE20 parmi les types écologiques	229.
Tableau 125	Répartition du GE20b parmi les types écologiques	229.
Tableau 126	Répartition du GE21 parmi les types écologiques	230.
Tableau 127	Répartition du GE22 parmi les types écologiques	231.
Tableau 128	Répartition du GE23 parmi les types écologiques	233.
Tableau 129	Répartition du GE24 parmi les types écologiques	234.

xix

		Page
Tableau 130	Nomenclature des types socio-écologiques de végé-	
	tation des régions écologiques du lac Le Grand,	
	du lac Opiscotéo, du lac Delorme et des Monts	
	Schefferville	235.
Tableau 131	Tábleau synthétique de niveau 2 des types socio-	
	écologiques de végétation des régions écologiques	
	du lac Le Grand, du lac Opiscotéo, du lac Delorme	
	et des Monts Schefferville	Annexe 18
Tableau 132	Tableau synthétique de niveau 3 des types socio-	
	écologiques de végétation des régions écologiques	
	du lac Le Grand, du lac Opiscotéo, du lac Delorme	
	et des Monts Schefferville	236.
Tableau 133	Groupes écologiques diagnostiques des landes al-	
	pines	238.
Tableau 134	Groupes écologiques diagnostiques des pessières à	
	épinette noire	239.
Tableau 135	Chronoséquences végétales des régions écologiques	
	du lac Le Grand, du lac Opiscotéo, du lac Delorme	
	et des Monts Schefferville	246.
	REGION ECOLOGIQUE DE LA RIVIERE KANAAUPSCOW	
Tableau 136	Les groupes écologiques de la région écologique de	
	la rivière Kanaaupscow	248.
Tableau 137	Répartition du GE4 parmi les types écologiques	250.
Tableau 138	Répartition du GE5 parmi les types écologiques	251.
Tableau 139	Répartition du GE6 parmi les types écologiques	251.
Tableau 140	Répartition du GE8 parmi les types écologiques	252.
Tableau 141	Répartition du GE10 parmi les types écologiques	253.
Tableau 142	Répartition du GEll parmi les types écologiques	255.
Tableau 143	Répartition du GE18 parmi les types écologiques	256.
Tableau 144	Répartition du GE19 parmi les types écologiques	257.
Tableau 145	Répartition du GE20 parmi les types écologiques	258.
Tableau 146	Répartition du GE21 parmi les types écologiques	260.
Tableau 147	Répartition du GE29 parmi les types écologiques	261.
Tableau 148	Répartition du GE31 parmi les types écologiques	262

		<u>Page</u>
Tableau 149	Nomenclature des types socio-écologiques de végé-	
	tation de la région écologique de la rivière	
	Kanaaupscow	264.
Tableau 150	Tableau synthétique de niveau 2 des types socio-	
	écologiques de végétation de la région écologique	
	de la rivière Kanaaupscow	Annexe 19
Tableau 151	Tableau synthétique de niveau 3 des types socio-	
	écologiques de végétation de la région écologi-	
	que de la rivière Kanaaupscow	265.
Tableau 152	Groupes écologiques diagnostiques des pessières	
	à épinette noire	268.
Tableau 153	Chronoséquences végétales de la région écologi-	
	que de la rivière Kanaaupscow	272.
	REGION ECOLOGIQUE DU LAC BIENVILLE	
Tableau 154	Les groupes écologiques de la région écologique	
	du lac Bienville	274.
Tableau 155	Répartition du GEl parmi les types écologiques	275.
Tableau 156	Répartition du GE3 parmi les types écologiques	. 277.
Tableau 157	Répartition du GE5 parmi les types écologiques	278.
Tableau 158	Répartition du GE12 parmi les types écologiques	279.
Tableau 159	Répartition du GE13 parmi les types écologiques	280.
Tableau 160	Répartition du GE15 parmi les types écologiques	282.
Tableau 161	Répartition du GE17 parmi les types écologiques	283.
Tableau 162	Répartition du GE22 parmi les types écologiques	284.
Tableau 163	Nomenclature des types socio-écologiques de végé-	
	tation de la région écologique du lac Bienville	285.
Tableau 164	Tableau synthétique de niveau 2 des types socio-	
	écologiques de végétation de la région écologi-	
	que du lac Bienville	Annexe 20
Tableau 165	Tableau synthétique de niveau 3 des types socio-	
	écologiques de végétation de la région écologi-	
	que du lac Rienville	286

		xxi Page
Tableau 166	Groupes écologiques diagnostiques des landes arc-	
	tiques	287.
Tableau 167	Groupes écologiques diagnostiques des pessières	
	à épinette noire	291.
Tableau 168	Chronoséquences végétales de la région écologi-	
	que du lac Bienville	295.
	REGION ECOLOGIQUE DE LA BAIE DE RUPERT	
Tableau 169	Nomenclature des types socio-écologiques de végé- tation de la région écologique de la baie de	
	Rupert	298.
Tableau 170	Tableau des types socio-écologiques de végétation	
	de la région écologique de la baie de Rupert	299.
Tableau 171	Chronoséquences végétales de la région écologique	
	de la baie de Rupert	303.
	REGION ECOLOGIQUE DE FORT-GEORGE	
Tableau 172	Nomenclature des types socio-écologiques de végé-	
	tation de la région écologique de Fort-George	305.
Tableau 173	Tableau des types socio-écologiques de végétation	
	de la région écologique de Fort-George	306.
Tableau 174	Chronoséquences végétales de la région écologique	
	de Fort-George	309.
	REGIONS ECOLOGIQUES DES ILES DE MANITOUNOUC	
	ET DE LA RIVIERE ROGGAN	
Tableau 175	Nomenclature des types socio-écologiques de végé-	
	tation des régions écologiques des îles de Mani-	
	tounouc et de la rivière Roggan	311.
Tableau 176	Tableau des types socio-écologiques de végéta-	
	tion des régions écologiques des Îles de Manitou-	
	nouc et de la rivière Roggan	312.
Tableau 177	Chronoséquences végétales des régions écologiques	
	des îles de Manitounouc et de la rivière Roggan	318.

	REGION ECOLOGIQUE DE LA POINTE LOUIS-XIV	
•		Page
Tableau 178	Nomenclature des types socio-écologiques de végé-	
	tation de la région écologique de la pointe	
	Louis-XIV	319.
Tableau 179	Tableau des types socio-écologiques de végétation	
	de la région écologique de la pointe Louis-XIV	320.
Tableau 180	Chronoséquences végétales de la région écologique	
	de la pointe Louis-XIV	324.
	REGION ECOLOGIQUE DES MONTS OTISH	
Tableau 181	Nomenclature des types socio-écologiques de végé-	
	tation de la région écologique des monts Otish	326.
Tableau 182	Tableau des types socio-écologiques de végétation	
	de la région écologique des monts Otish	327.
Tableau 183	Chronoséquences végétales de la région écologique	
	des monts Otish	334.
	REGION ECOLOGIQUE DU LAC HIPPOCAMPE	
Tableau 184	Nomenclature des types socio-écologiques de végé-	
	tation de la région écologique du lac Hippocampe	336.
Tableau 185	Tableau des types socio-écologiques de végétation	
	de la région écologique du lac Hippocampe	337.
Tableau 186	Chronoséquences végétales de la région écologique	
	du lac Hippocampe	341.
Tableau 187	Chronoséquences des membres bien drainés des trois	
	principales caténas de la région écologique du	

Chronoséquences des membres bien drainés des trois

principales caténas de la région écologique du

lac Matagami

lac Chibougamau

Tableau 188

365.

367.

		xxiii
		Page
Tableau 189	Chronoséquences des membres bien drainés des trois	
	principales caténas de la région écologique de la	
	baie de Rupert	368.
Tableau 190	Chronoséquences des membres bien drainés des trois	
	principales caténas de la région écologique du lac	
	Evans	369.
Tableau 191	Chronoséquences des membres bien drainés des deux	
	principales caténas de la région écologique du lac	
	Mistassini	370.
Tableau 192	Chronoséquences des membres bien drainés des deux	
	principales caténas de la région écologique du lac	
	Hippocampe	371.
Tableau 193	Chronoséquences des membres bien drainés des deux	
	principales caténas de la région écologique de	
,	Fort-George	372.
Tableau 194	Chronoséquences des membres bien drainés des trois	
	principales caténas de la région écologique du	
	lac Sakami	373.
Tableau 195	Chronoséquences des membres bien drainés des trois	
	principales caténas de la région écologique du lac	
	Nichicun	374.
Tableau 196	Chronoséquences des membres bien drainés des deux	
	principales caténas de l'étage inférieur de la ré-	
	gion écologique des monts Otish	375.
Tableau 197	Chronoséquences des membres bien drainés de la prin-	
	cipale caténa de l'étage supérieur de la région é-	
	cologique des monts Otish	376.
Tableau 198	Chronoséquences des membres bien drainés des trois	
	principales caténas de la région écologique de la	
	rivière Kanaaupscow	377.
Tableau 199	Chronoséquences des membres bien drainés des deux	
	principales caténas de la région écologique du lac	
	Le Grand	378.
Tableau 200	Chronoséquences des membres bien drainés des trois	
	principales caténas de la région écologique des	
	îles de Manitounouc	381

			Page
Tableau 2	201	Chronoséquences des membres bien drainés des deux	
		principales caténas de la région écologique du lac	
		Bienville	383.
Tableau 2	202	Chronoséquences des membres bien drainés des trois	
		principales caténas de la région écologique de	
		la pointe Louis-XIV	384.
Tableau 2	203	Groupements végétaux dominants des régions écolo-	
		giques du territoire de la Baie-James	386.
Tableau 2	204	Chronoséquences des membres bien drainés des prin-	
		cipales caténas des régions écologiques du terri-	
		toire de la Baie-James	387.
Tableau 2	205	Fiche descriptive du système écologique	
		EV-R4-1V1A-12-b11	389.

LISTE DES FIGURES

		•	Page
Figure	1	Limites du territoire étudié	3.
Figure	2	Liens entre les données et les objectifs fixés	10.
Figure	3	Organisation détaillée de chaque étape de l'analyse	11.
		de la végétation	
Figure	4	Les groupes écoclimatiques	14.
Figure	5	Les régions écologiques provisoires	15.
Figure	6	Les domaines écologiques du territoire de la Baie-	16.
		James	
Figure	7	Les zones biologiques préliminaires du territoire	17.
		de la Baie-James	
Figure	8	Les régions écologiques préliminaires du territoire	18.
		de la Baie-James	
Figure	9	Relation entre la qualité d'échantillonnage, Q(L), et	20.
		l'information mutuelle moyenne, $\widehat{\widehat{\mathtt{l}}(\mathtt{L};\mathtt{E})}$, pour les	
		342 espèces retenues	
Figure	10a	Relation entre la qualité de l'échantillonnage, Q(L),	21.
		et l'information mutuelle moyenne, pondérée pour un	
		nombre égal de classes, $\widehat{\widehat{\mathbf{I}}(\mathtt{L};\mathtt{E})}$ $\left(\frac{1000}{\mathtt{NCLAS}}\right)$	
Figure	10b	Ordination des variables pour un $Q(L) = 1$	21.
Figure	11	Distribution préférentielle de: Aster macrophyllus, Rosa	25.
		acicularis, Galium triflorum, Sambucus pubens	
Fi.gure	12	Distribution préférentielle de: Acer spicatum, Diervilla	25.
		lonicera, Viola renifolia, Lycopodium clavatum, Nemo-	
		panthus mucronata, Pteridium aquilinum, Lycopodium	
		lucidulum, Viburnum cassinoides	
Figure	13	Distribution préférentielle de: Populus tremuloides(s),	25.
		Populus tremuloides(i), Lycopodium obscurum, Goodyera	
		repens, Streptopus roseus, Brachythecium starkei, Ribes	
		lacustre, Aralia nudicaulis, Monotropa uniflora, Co-	
		rallhoriza trifida, Athyrium filix-femina, Mnium drummondi	i
Figure	14	Distribution préférentielle de: Betula papyrifera(s),	25.
		Betula papurifera(i). Dryopteris spinulosa	

		Page
Figure 15	Distribution préférentielle de: Sorbus decora,	26.
	Alnus rugosa, Prunus pensylvanica, Mitella nuda,	
	Cornus stolonifera, Amelanchier stolonifera,	
	Cinna latifolia, Rhytidiadelphus triquetrus,	
	Actaea rubra, Prunus pensylvanica, Dicranum	
	drummondii	
Figure 16	Distribution préférentielle de: Pinus bank-	26.
	siana(s), Pinus banksiana(i), Kalmia angusti-	
	folia	
Figure 17	Distribution préférentielle de: Potentilla tri-	26.
	dentata, Lycopodium sabinaefolium	
Figure 18	Distribution préférentielle de: Loiseleuria	26.
	procumbens, Cetraria nigricans	
Figure 19	Distribution préférentielle de: Arctostaphylos	27.
	alpina, Alectoria ochroleuca, Cladonia amauro-	
	craea, Rhacomitrium lanuginosum, Salix uva-ursi,	
	Luzula confusa, Carex bigelowii, Cetraria cu-	
	cullata	
Figure 20	Distribution préférentielle de: Cladonia belli-	27.
	diflora, Ledum decumbens, Carex capitata, Pedi-	
	cularis labradorica	
Figure 21	Distribution préférentielle de: Picea glauca(s),	27.
	Picea glauca(i), Shepherdia canadensis	
Figure 22	Distribution préférentielle de: Lycopodium selago	27.
Figure 23	Distribution préférentielle de: Dryas integrifo-	28.
	lia, Ochrolechia frigida, Poa arctica, Rhododen-	
	dron lapponicum, Epilobium latifolium	
Figure 24	Distribution préférentielle de: Agrostis borealis,	28.
	Sphaerophorus globosus, Achillea borealis, Polygo-	
	num viviparum	
Figure 25	Distribution préférentielle de: Hierochloe alpina,	28.
	Rubus acaulis	

		Page
Figure 26	Regroupement des régions écologiques	29.
Figure 27	Profils écologiques normalisés des espèces A et B	
	pour la variable L	34.
Figure 28	Relation entre l'amplitude écologique et la fréquen-	
	ce des groupes écologiques, le recouvrement des es-	
	pèces et le niveau hiérarchique dans la classifica-	
	tion de la végétation	43.
Figure 29	Fréquence des stations écologiques de référence sur	
	brûlis récents par rapport à l'ensemble des stations	
	sur sols minéraux par région écologique	346.
Figure 30	Fréquence des stations écologiques de référence sur	
	sols organiques par rapport à l'échantillonnage total	
	par région écologique	346.
Figure 31	Distribution des formations végétales à travers les	
	régions écologiques	347.
Figure 32	Subdivision des formations végétales en fonction de	
	la dominance des lichens, des mousses, des sphaignes	
	et de la présence du sapin	350.
Figure 33	Importance de chaque formation et de quelques groupe-	
	ments par rapport à l'ensemble des sols minéraux pour	
	toutes les régions écologiques	351.
Figure 34	Importance relative de la pinède à cladonies et de la	
	pinède à mousses par rapport à l'ensemble des pinèdes	
	à pin gris par région écologique	352.
Figure 35	Importance relative de la pessière à épinette noire et	
	cladonies, de la pessière à épinette noire et mousses,	
	de la pessière à épinette noire et sapin et de la pes-	
	sière à épinette noire et sphaignes par rapport à	
	l'ensemble des pessières à épinette noire par région	
	écologique	353.
Figure 36	Les régions écologiques du territoire de la Baie-James	354.
Figure 37	Isothermes de la température moyenne annuelle du ter-	
	ritoire de la Baie-James	356.
Figure 38	Isolignes de la durée annuelle moyenne de la saison	
	de croissance, en jours, du territoire de la Baie-James	357.

		Page
Figure 39	Isohyètes de la moyenne annuelle des précipitations	
	totales, en mm, du territoire de la Baie-James	358.
Figure 40	Isohyètes de la moyenne des précipitations de mai à	
	septembre, en mm, du territoire de la Baie-James	359.
Figure 41	Les zones et les sous-zones biologiques du territoi-	
	re de la Baie-James	360.
Figure 42	Extrait de la carte des systèmes écologiques du ter-	
	ritoire de la Baie-James	391.
Figure 43	Carte de végétation potentielle des types socio-	
	écologiques de végétation	392.
Figure A=1 1	Les courbes d'indice de croissance de l'épinette	Annexe 1
rigure A-1:1	noire pour le territoire de la Baie-James	111110110 1
Figure A=1 2	Les courbes d'indice de croissance du pin gris pour	Annexe 1
rigure A-1.2	le territoire de la Baie-James	
Figure A-1 3	Les courbes d'indice de croissance du peuplier faux-	Annexe 1
rigure A-1:5	tremble pour le territoire de la Baie-James	
Figure A-1 4	Les courbes d'indice de croissance du bouleau blanc	Annexe 1
rigure A-1.4	pour le territoire de la Baie-James	
Figure A=1 5	Les courbes d'indice de croissance du mélèze pour	Annexe 1
rigure A-1.5	le territoire de la Baie-James	
-	te relitionie de la pate-lames	

LISTE DES ANNEXES

Annexe	1	Signification des classes des douze variables retenues dans
		la définition des groupes écologiques
Annexe	2	Profils des groupes écologiques des régions écologiques du
		lac Matagami et du lac Chibougamau
Annexe	3	Profils des groupes écologiques de la région écologique du
		lac Evans
Annexe	4	Profils des groupes écologiques de la région écologique du
		lac Mistassini
Annexe	5	Profils des groupes écologiques de la région écologique du
		lac Sakami
Annexe	6	Profils des groupes écologiques de la région écologique du
		lac Nichicun
Annexe	7	Profils des groupes écologiques des régions écologiques
		du lac Le Grand, du lac Opiscotéo, du lac Delorme et des
		monts Schefferville
Annexe	8	Profils des groupes écologiques de la région écologique de
		la rivière Kanaaupscow
Annexe	9	Profils des groupes écologiques de la région écologique du
		lac Bienville
Annexe	10	Profils écologiques de huit espèces illustrant les dépla-
		cements de facteurs dans huit régions ou groupes de ré-
	•	gions écologiques
Annexe	11	Légende des symboles des types socio-écologiques de vé-
		gétation
Annexe	12	Classification des types écologiques
Annexe	13	Tableau synthétique de niveau 2 des types socio-écologiques
		des régions écologiques du lac Matagami et du lac Chibou-
	•	gamau (tableau 18).
Annexe	14	Tableau synthétique de niveau 2 des types socio-écologiques
		de végétation de la région écologique du lac Evans (ta-
		bleau 40).

Annexe	15	Tableau synthétique de niveau 2 des types socio-écolo-
		giques de végétation de la région écologique du lac
		Mistassini (tableau 66).
Annexe	16	Tableau synthétique de niveau 2 des types socio-écolo-
		giques de végétation de la région écologique du lac
		Sakami (tableau 86)
Annexe	17	Tableau synthétique de niveau 2 des types socio-écolo-
		giques de végétation de la région écologique du lac
		Nichicum (tableau 108)
Annexe	18	Tableau synthétique de niveau 2 des types socio-écolo-
		giques de végétation des régions écologiques du lac
		Le Grand, du lac Opiscotéo, du lac Delorme et des monts
		Schefferville (tableau 131)
Annexe	19	Tableau synthétique de niveau 2 des types socio-écolo-
		giques de végétation de la région écologique de la ri-
		vière Kanaaupscow (tableau 150)
Annexe	20	Tableau synthétique de niveau 2 des types socio-écolo-
		giques de végétation de la région écologique du lac
		Bienville (tableau 164)
Annexe	21	Liste des plantes rencontrées dans le territoire de la
		Baie-James

1 PRESENTATION

1.1 INTRODUCTION

Un des principaux intérêts de l'analyse phytoécologique de la végétation réside dans la recherche des relations qui existent entre la composition floristique et les facteurs écologiques qui l'influencent. Cet intérêt serait par contre bien limité s'il ne débouchait sur des applications pratiques. Les unités taxonomiques de végétation doivent donc posséder une valeur prédictive sur au moins deux plans, soit la production (primaire et secondaire) et les tendances évolutives. La production primaire concerne essentiellement la phytomasse, tandis que la production secondaire concerne la biomasse animale. Quant aux tendances évolutives, elles expriment la dynamique des groupements végétaux.

Dans ce travail, nous traiterons principalement de quatre grands aspects de l'analyse phytoécologique, à savoir:

- la définition de grandes régions climatiques par le biais de la végétation: les REGIONS ECOLOGIQUES
- la classification écologique des espèces: les GROUPES ECOLO-GIQUES
- la classification des groupements végétaux: les TYPES SOCIO-ECOLOGIQUES DE VEGETATION
- 1'étude de la dynamique des groupements végétaux: les CHRONO-SEQUENCES VEGETALES.

Dans une première étape nous expliquerons et justifierons la méthodologie suivie (chapitre 2). Puis, dans un cadre bioclimatique préalablement établi, nous décrirons les groupes écologiques, les types socioécologiques et leur dynamisme (chapitre 3). Dans un quatrième chapitre, nous décrirons en détail les régions écologiques. Pour terminer, nous traiterons de la cartographie de la végétation (chapitre 5).

1.2 BREVE REVUE BIBLIOGRAPHIQUE

Malgré l'immensité du territoire couvert dans cette étude (figure 1), il existe très peu d'écrits sur les conditions écologiques qui y prévalent et encore moins de travaux portant spécifiquement sur la végétation. Les sources bibliographiques pertinentes à nos recherches peuvent se diviser en trois catégories:

- les travaux généraux portant sur des conditions similaires à celles existant dans le Territoire de la Baie-James $^{\rm l}$
- les travaux phytogéographiques portant généralement sur les conditions écologiques de l'ensemble du territoire québécois et canadien
- les travaux phytoécologiques s'attachant à décrire des conditions particulières au Territoire de la Baie-James.

1.2.1 TRAVAUX GENERAUX

Nombreux sont les travaux de biogéographie mondiale lesquels, sans entrer dans les détails, permettent de situer écologiquement à l'échelle de la planète des portions de territoire aussi vaste que celui de la Baie-James. Citons entre autres les travaux de Dansereau (1957), Ozenda (1964), MacArthur (1972) et Walter (1973).

Depuis quelques années les problèmes d'écologie nordique sont au centre des préoccupations de plusieurs Etats et organismes internationaux. De nombreux symposiums et colloques se sont tenus, réunissant les nordistes de toutes formations, dont les phytoécologistes. Nous en rappellerons quelques-uns: "Tundra biome" du Programme Biologique International (I.B.P., 1970), "Ecologie des régions subarctiques" du colloque d'Helsinki (Unesco, 1970), la bibliographie annotée sur le pergélisol - la végétation - la faune - la géomorphologie (Roberts-Pichette, 1972) et la "Conférence circumpolaire sur l'écologie du Nord" (C.N.R.C., 1975).

^{1.} La toponymie utilisée est celle du Répertoire toponymique du Québec (1978)

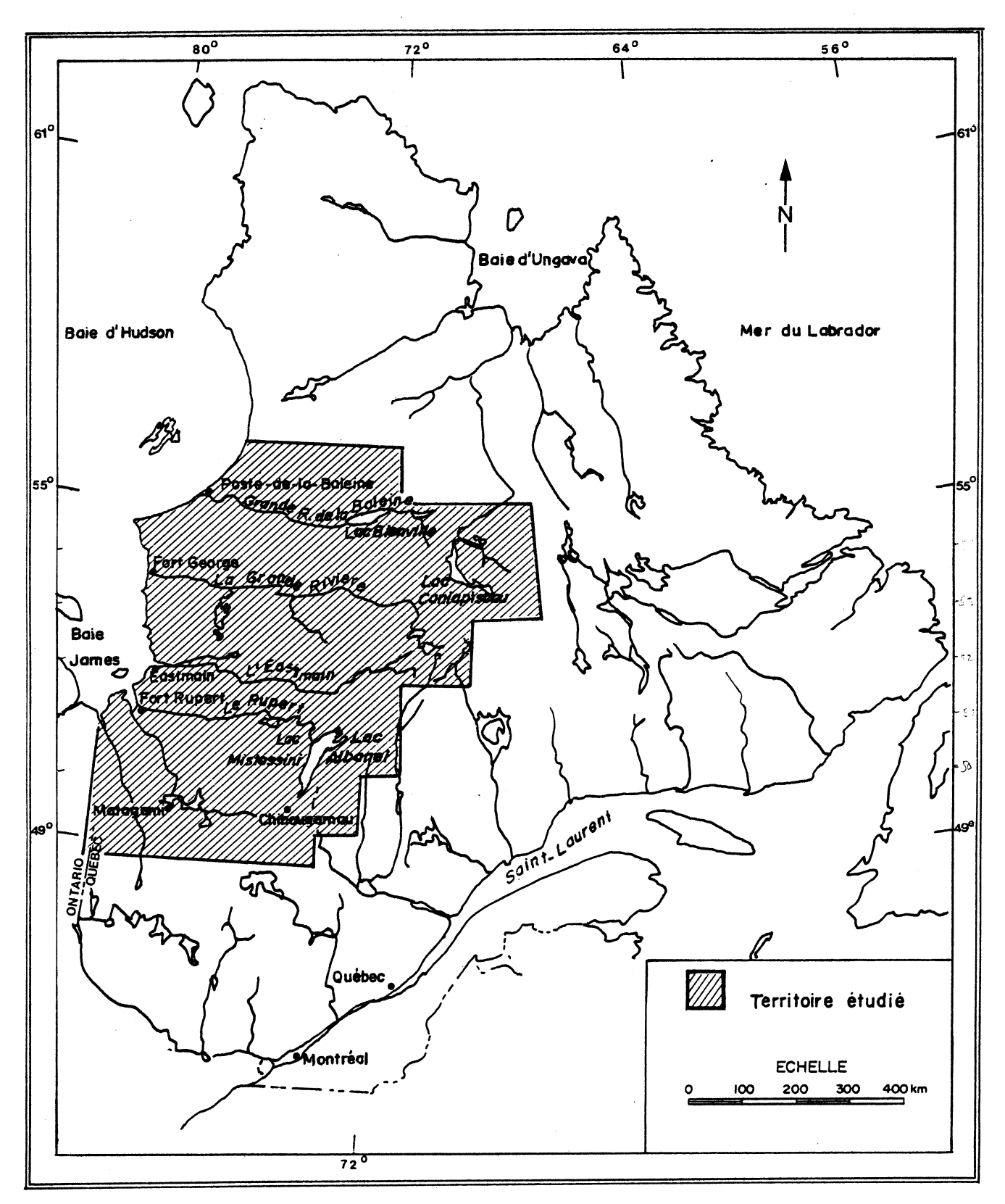


Figure 1 Limites du territoire étudié

1.2.2 TRAVAUX PHYTOGEOGRAPHIQUES

Les travaux suivants sont discutés aux chapitres traitant de la définition des régions écologiques (chapitres 2 et 4): Rousseau (1949, 1952, 1968); Hustich (1951a, 1951b, 1968); Hare (1950, 1959); Lafond et Ladouceur (1970); Rowe (1972); Rousseau (1974).

1.2.3 TRAVAUX PHYTOECOLOGIQUES

A de rares exceptions près, les travaux d'écologie végétale dans le territoire étudié ne portent que sur une étroite bande le long de la côte hudsonienne. Depuis quelques années le Centre d'études nordiques (CEN) de l'Université Laval poursuit d'intensives recherches sur l'écologie végétale, la phytogéographie et la climatologie de l'Hémiarctique et de l'Arctique québécois (Wilson, 1971; Payette et Boudreau, 1972; Payette et Lagarec, 1972; Payette et al., 1973; Payette, 1974; Payette 1975; Payette et Filion, 1975; Payette et al., 1975; Ouzilleau, 1976; Payette, 1976a, 1976b; Filion et Payette, 1976). Toutefois d'autres contributions importantes doivent être signalées. Citons Marr (1948), Dutilly et al. (1958), Maycock (1968), Ducruc (1974).

1.2.4 NOMENCLATURE BOTANIQUE

La nomenclature botanique utilisée est la suivante:

- pour les plantes vasculaires: Fernald (1970),
- pour les mousses, à l'exception des sphaignes: Crum $et \ al. \ (1965)$,
- pour les sphaignes: Nyholm (1969),
- pour les hépatiques: Schuster (1953),
- pour les lichens: Hale et Culberson (1966).

2 METHODOLOGIE

2.1 RECOLTE DES DONNES

L'échantillonnage, tout comme la classification écologique qui en découlera, repose sur une série de principes fondamentaux. Selon le premier de ces principes, les écosystèmes sont la résultante de l'action conjuguée de variables possédant entre elles des liens physiques et organiques ainsi qu'une dynamique intrinsèque. Il ressort donc que l'analyse, la classification et la cartographie de ces écosystèmes doivent se faire selon une intégration a priori de toutes les variables écologiques considérées. Le second principe peut s'énoncer ainsi: la compréhension des écosystèmes est étroitement liée au niveau de perception où se situe l'observateur. C'est ainsi que l'on reconnaît, dans cet ouvrage, cinq niveaux de perception, qui sont, allant du général au particulier: la région écologique, le district écologique, le système écologique, le type écologique et enfin la phase écologique (Jurdant et al., 1977). L'échantillonnage sur le terrain se situe plus particulièrement au niveau de la phase écologique en ce qui concerne la classification proprement dite, et au niveau du système écologique en ce qui touche à la cartographie.

2.1.1 CHOIX DES RECONNAISSANCES ET DES STATIONS ECOLOGIQUES DE REFERENCE

Le travail sur le terrain est effectué par des équipes d'écologistes dont le noyau est constitué généralement d'un pédologue et d'un phytosociologue. Les reconnaissances sont des transects de prospection, le long desquels est effectué un échantillonnage subjectif. Ce type d'échantillonnage est lié à l'étendue du territoire, au grand nombre de variables, ainsi qu'au temps disponible. Le choix de ces reconnaissances est guidé principalement par le souci de recouper un maximum de variabilité écologique à l'intérieur de systèmes physiographiques représentatifs du territoire étudié. Le choix des stations écologiques de référence étudiée le long des transects est

subjectivement déterminé, tantôt par l'expérience des écologistes, tantôt par des arguments plus techniques, telle la recherche d'écosystèmes insuffisamment échantillonnés.

2.1.2 DESCRIPTION D'UNE STATION ECOLOGIQUE DE REFERENCE

Dans chacune des stations écologiques de référence, de forme circulaire et d'une superficie de cinq (5) ares, sont décrits la végétation, le sol, les aspects dendrométriques de la forêt ainsi que plusieurs autres variables écologiques.

Le relevé de végétation est effectué selon la méthode de Braun-Blanquet (Braun-Blanquet, 1932; Becking, 1957); une liste quasi exhaustive ¹ de tous les taxons végétaux présents est dressée; l'importance de chaque espèce répertoriée est évaluée à l'aide de coefficients d'abondancedominance et de sociabilité.

Le profil de sol est décrit selon les normes de la Commission canadienne de pédologie (C.C.P., 1972). D'une façon générale tous les horizons organiques et minéraux sont échantillonnés, y compris la rochemère pédologique (horizon C).

Un relevé dendrométrique permet de récolter les données suivantes:

- le nombre de tiges par espèce et par classe de diamètre,
- la hauteur, le diamètre et l'âge de cinq (5) arbres appartenant à la strate dominante,
- une estimation de la régénération (par graines et marcottes).

Finalement, on inventorie les variables écologiques à l'aide d'une fiche dite "du milieu".

^{1.} Les champignons et les lichens arboricoles sont exclus de cette liste.

2.1.3 DESCRIPTION DES VARIABLES ECOLOGIQUES RETENUES AU COURS DE L'ANALYSE

Durant les trois saisons d'échantillonnage, 2085 stations écologiques de référence furent décrites, puis consignées dans les fichiers écologiques. Au-delà de 800 taxons furent identifiés et souvent récoltés. Près de 10,000 échantillons de sol furent analysés et 57 variables écologiques évaluées ou mesurées. De ces 57 variables, 23 furent retenues pour l'analyse phytoécologique des sols minéraux, les autres variables étant réservées soit aux milieux organiques, soit à d'autres études, telle la productivité forestière, ou encore éliminées à cause de leur faible valeur discriminante.

Pour une meilleure compréhension, nous avons regroupé sous cinq (5) grandes catégories la description des 23 variables retenues (annexe 1):

- A. variables géographiques
- B. variables physiographiques
- C. variables édaphiques
- D. variables forestières
- E. variables synthétiques

A. Variables géographiques

- 1. LATITUDE (LAT) 2 : estimée à la minute près à partir des cartes topographiques au 1:250 000.
 - 2. LONGITUDE (LONG): estimée à la minute près comme ci-dessus.
- 3. ALTITUDE (ALT): estimée au 100 pieds (30 m) près à partir des cartes topographiques au 1:250 000

B. Variables physiographiques

- 4. FORCE DE LA PENTE (PENT): mesurée au clinomètre en pourcentage.
- 5. FORME DE LA PENTE (FPENT): exprime la convexité ou la concavité de la station écologique de référence et de l'unité qu'elle représente.

² Après chaque nom de variable nous donnons son abréviation utilisée dans les programmes informatisés.

- 6. POSITION SUR LA PENTE (P ϕ SP): donne la position de la station par rapport à toute la pente.
 - 7. EXPOSITION (EXPØ): donnée en classe de 45°.

C. Variables édaphiques

- 8. ROCHE-MERE PEDOLOGIQUE (RMP): matériau géologique de surface dans lequel les processus pédogénétiques ont lieu.
- 9. PIERROSITE (PIER): estimation de la pierrosité (dimension > 2mm) globale du matériau géologique de surface.
- 10. TEXTURE DE L'HORIZON DE REFERENCE (TEXT): texture, mesurée par la méthode Bouyoucos (Black, 1965), d'un horizon de référence choisi pour sa représentativité de la texture globale du pédon.
- 11. DIAMETRE DES PARTICULES (en microns) A 50 p. 100 DE LA DISTRIBU-TION GRANULOMETRIQUE (DISG): se veut un indice textural global de l'horizon de référence.
- 12. POURCENTAGE D'ARGILE, DE LIMON ET DE SABLE TRES FIN (ALSTF): proportion (en pourcentage) des particules plus fines ou égales à 50 µ.
- 13. DRAINAGE DU SOL (DRAIN): entendu dans le sens défini par le "Soil Survey Manual" (U.S.D.A., 1951).
- 14. SEEPAGE (SEEP): présence ou absence de drainage latéral dans le sol qui se produit dans les pentes généralement longues, ayant pour résultat l'entraînement vers le bas d'éléments nutritifs et de particules fines influençant de façon significative la composition de la végétation naturelle, la croissance des arbres et les chronoséquences végétales.
- 15. PROFONDEUR DE LA NAPPE PHREATIQUE (NP): mesurée en centimètres à partir de la surface du sol (y compris l'horizon organique de surface).
- 16. EPAISSEUR DE L'HORIZON ORGANIQUE DE SURFACE (EPHUM): épaisseur en centimètres de la couche organique déposée sur le sol minéral.
- 17. RAPPORT CARBONE/AZOTE DE L'HORIZON ORGANIQUE DE SURFACE (CNHUM): le carbone organique est mesuré par perte au feu, tandis que l'azote est analysé par la méthode du macro-kjeldahl (Amiot et Bernier, 1961).

D. Variables forestières

- 18. DENSITE DU PEUPLEMENT (DENS): évaluée à partir de la grille densitéhauteur du Service des inventaires forestiers du Québec (anonyme, 1971) et modifiée par Jurdant et αl . (1977).
 - 19. HAUTEUR DU PEUPLEMENT (HAUT): évaluée comme précédemment.
- 20. CARACTERISTIQUE DES STRATES INFERIEURES (STINF): évaluation de la "forme biologique" dominante (Jurdant et al., 1977).
- 21. AGE DU PEUPLEMENT (AGE): âge moyen à 1,30 m des arbres dominants échantillonnés.
- 22. INDICE DE CROISSANCE DU PEUPLEMENT (SI): hauteur moyenne du peuplement à l'âge de 50 ans.

E. Variables synthétiques

23. REGIONS ECOLOGIQUES PRELIMINAIRES (REGECO): régions écologiques telles que définies avant la classification phytoécologique proprement dite.

2.2 ANALYSE DES DONNEES

L'analyse phytoécologique dans la présente étude suit assez fidèlement le modèle défini par Gerardin $et\ al.$ (1977); un organigramme permet d'en suivre le cheminement (figures 2 et 3). La figure 2 illustre les liens entre les données phytoécologiques et les objectifs fixés, tandis que la figure 3 présente les différentes étapes techniques devant aboutir à la classification de la végétation.

2.2.1 CONSTITUTION DES FICHIERS ECOLOGIQUES

Les données récoltées sur le terrain et les résultats d'analyses physico-chimiques, sont correlés au bureau par l'ensemble des écologistes, puis codés et consignés dans quatre (4) fichiers de référence (étape 1) sous deux formes: un fichier sur cartes perforées et un autre sur ruban magnétique. Ces quatre fichiers sont:

- le fichier des variables écologiques, édaphiques et dendrométriques (CMR),
- le fichier de distribution des espèces et de leur coefficient par relevé (CDR),

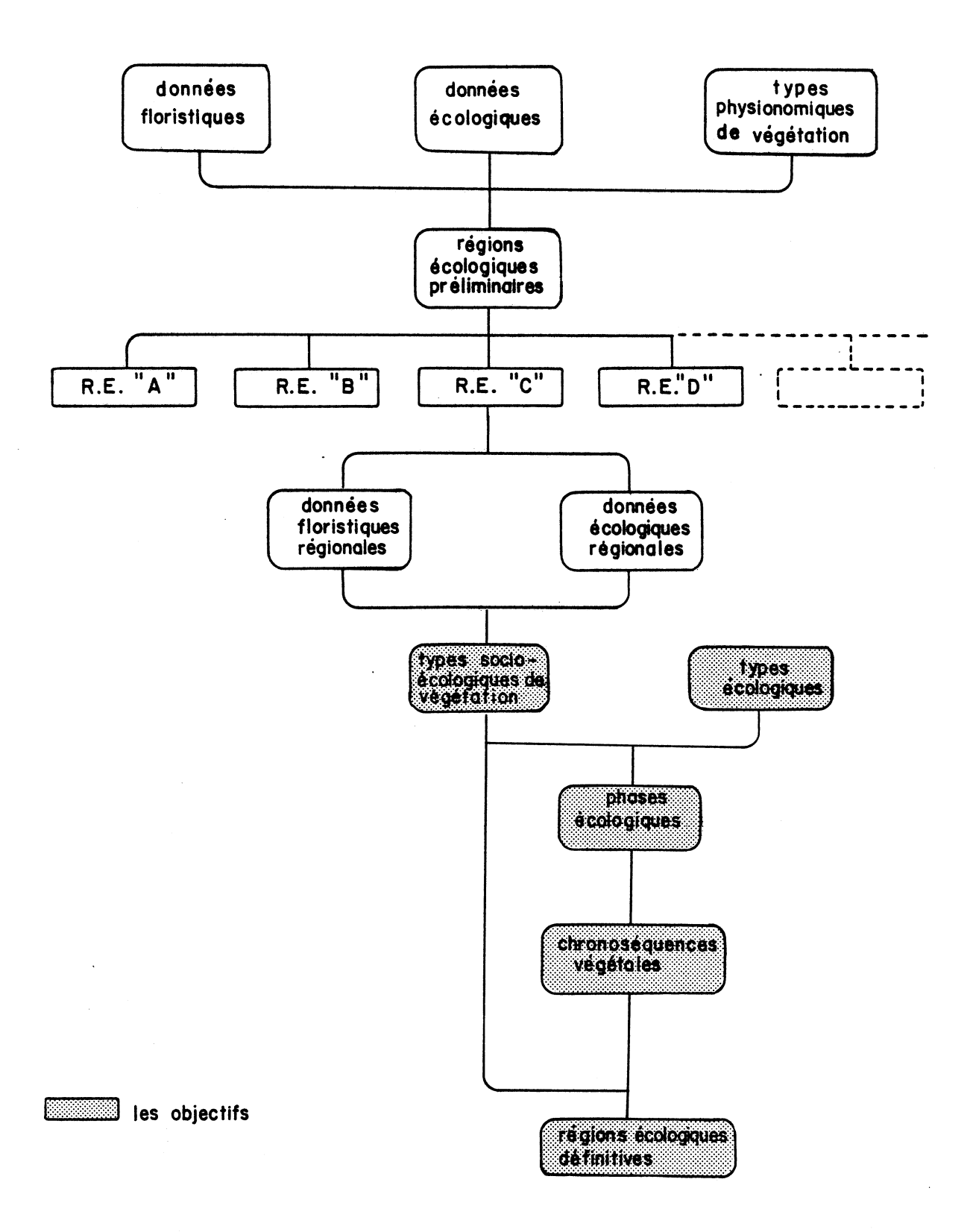


Figure 2 Liens entre les données et les objectifs fixés

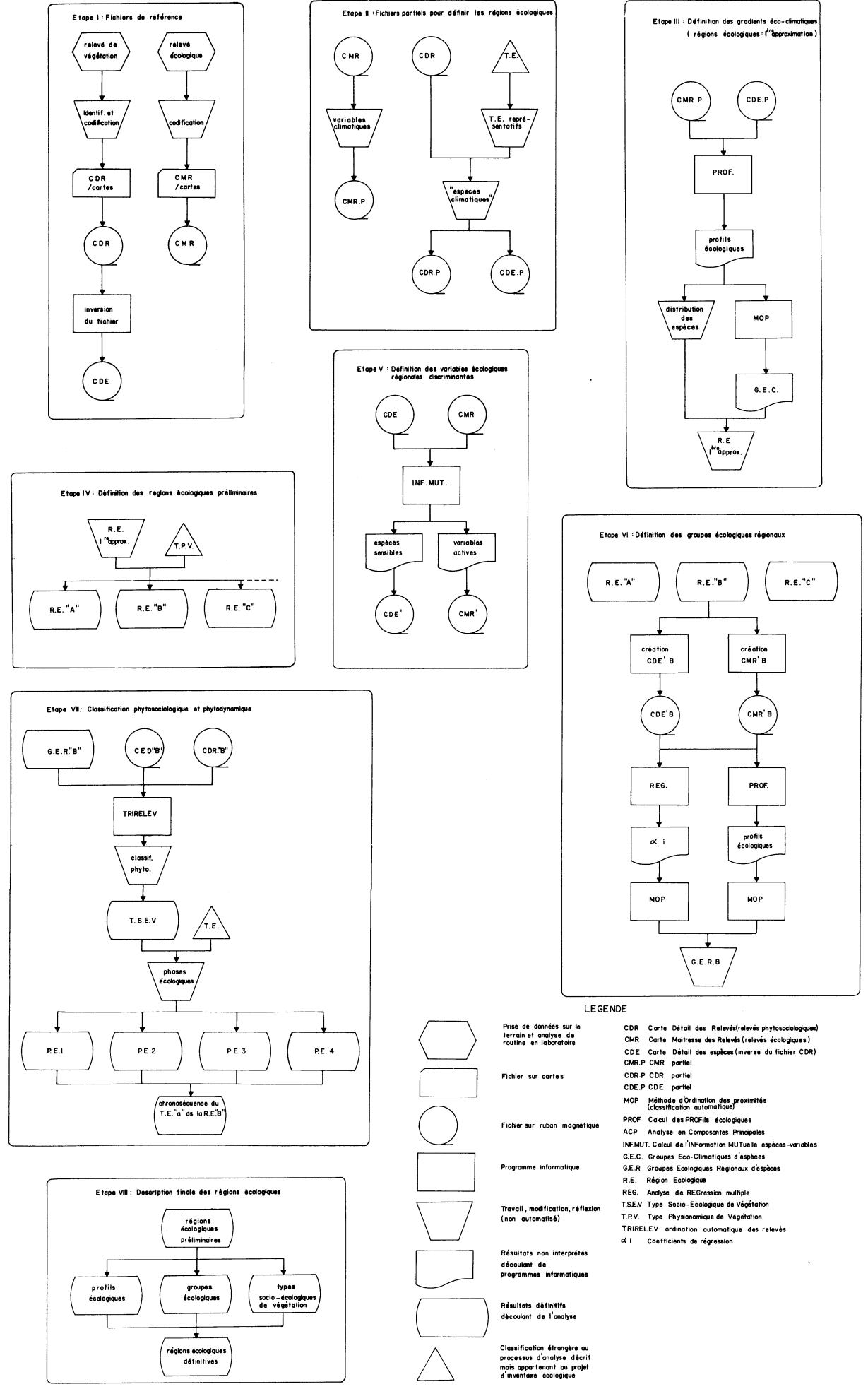


Figure 3 Organisation détaillée de chaque étape de l'analyse de la végétation (d'après Gerardin et al., 1977)

- le fichier de distribution des relevés par espèce (CDE),
- la liste floristique des espèces rencontrées dans les relevés de végétation (LFLØR).

C'est à partir de ces quatre fichiers que l'analyse phytoécologique s'effectuera.

2.2.2 DEFINITION DES REGIONS ECOLOGIQUES PRELIMINAIRES (étapes II, III et IV)

Il est universellement accepté de considérer la végétation comme la résultante de cinq grandes variables écologiques indépendantes:

V = f (C, P, R, B, T)

où V = végétation

C = climat

P = roche-mère pédologique

R = relief

B = stock biologique disponible

T = temps

Par cette équation on peut comprendre qu'en maintenant constantes toutes les variables, à l'exception du climat, les variations observées dans la végétation devront être imputées à des différences d'ordre climatique. Or, justement si des relations précises doivent être déterminées entre les sols, au sens large, et la végétation, il est important d'éliminer l'influence du climat régional. C'est pourquoi la première tâche dans toute analyse phytoécologique est d'établir une classification préliminaire des climats régionaux en fonction de leur influence sur la production biologique. Ceci signifie que les seuls critères physiques, telles la température et la précipitation, sont insuffisants; on doit avant tout préciser la sensibilité des plantes vis-à-vis de certains paramètres considérés comme indicateurs climatiques, ces derniers se rapportant à la latitude, la longitude et l'altitude.

La démarche suivie dans la définition des régions écologiques préliminaires est expliquée par Gerardin et al. (1975) et par Zarnovican et al., (1976) et reprise d'une façon plus complète par Ducruc et al., (1976). Dans une première étape, seuls les relevés sur tills bien drainés sont considérés afin de maintenir constants les paramètres édaphiques et physiographiques. Dans ces relevés, seules les espèces ayant une fréquence relative d'au moins 5 p. 100 sont analysées par deux voies complémentaires quant à leur comportement vis-à-vis de la latitude, de la longitude et de l'altitude:

- l'analyse des profils écologiques normalisés des espèces (Gerardin, 1977)
- une classification hiérarchique automatique (Fortin, 1975) des profils écologiques qui rassemble en groupes écoclimatiques les espèces ayant un comportement semblable vis-à-vis des variables considérées.

A partir de ces informations les premières limites bioclimatiques sont déterminées (figures 4 et 5), les groupes écoclimatiques de la figure 4 justifiant les régions écologiques provisoires de la figure 5. Les types physionomiques de végétation (Gilbert et Jurdant, 1979) sont analysés en fonction de leur distribution spatiale, en vue de définir les domaines structuraux de végétation (figure 6) confirmant et affinant les premières limites bioclimatiques. Finalement, les domaines structuraux sont subdivisés en zones et sous-zones biologiques (figure 7) à partir de l'analyse de trois sources distinctes:

- la classification des zones biologiques de la péninsule du Québec/Labrador et de l'Hémiarctique de Rousseau (1952),
- les éléments phytogéographiques nouveaux apportés par cette présente étude,
- les données d'ordre climatique (Gagnon et Ferland, 1967; Wilson, 1971).

L'intégration de ces divers niveaux de régions bioclimatiques a permis de définir et de cartographier dix-neuf régions écologiques préliminaires (figure 8).

régions écologiques	A2	B2	В3	C1	C2	C3	D	M
espàces	74	52	83	<u> </u>	CZ	CO	U	100
Betula papyrifera (S)		***	i					
Pyrus decora		- Common (60 mm)	i					
Linnaea borealis		ris and delication						
Betula papyrifera (I)		Septime 10 (Specifican)						
Malenthemum canadense		************						
Pinus banksiana								
Abies balsames								
Alnus crispa								
Kalmia angustifolia						l		
Vaccinium myrtilloides								
Ptilium crista-castrensis								
Potentilla tridentata								
Cladonia uncialis								
Stereocaulon paschale								
Chamaedaphne calyculata								
Solidago macrophylla								
Lycopodium sabinefolium								
Geocaulon lividum				·				
Oryzopsis canadensis								
Lecides granuloss								
Deschamosia flexuosa				010100000000000000000000000000000000000				
Juniperus communis			ĺ					
Cladonia cornuta				777466666666666666666	*********			
Betula glandulosa		Ì		700000 000000 000000	000000000000000000000000000000000000000			
Lerix laricina			İ					
Vaccinium vitis-idaea			į.					
Polytrichum piliferum			ĺ					
Empetrum nigrum			ł]		
Vaccinium cespitosum								
Vaccinium uliginosum								
Cladonia gracilis			1					
Nephroma arctica						1		
Peltigera canina								
Cladonia coccifera								
Stereocaulon tomentosum			1					
Cetraria nivalis								
Cetraria islandica		4,						
Arctostaphyllos alpina			l					
Carex bigelowii			1					1
Alectoria ochroleuca				1				1

Figure 4 Les groupes éco-climatiques (d'après Gerardin $\underline{\text{et}}$ $\underline{\text{al}};1975$)

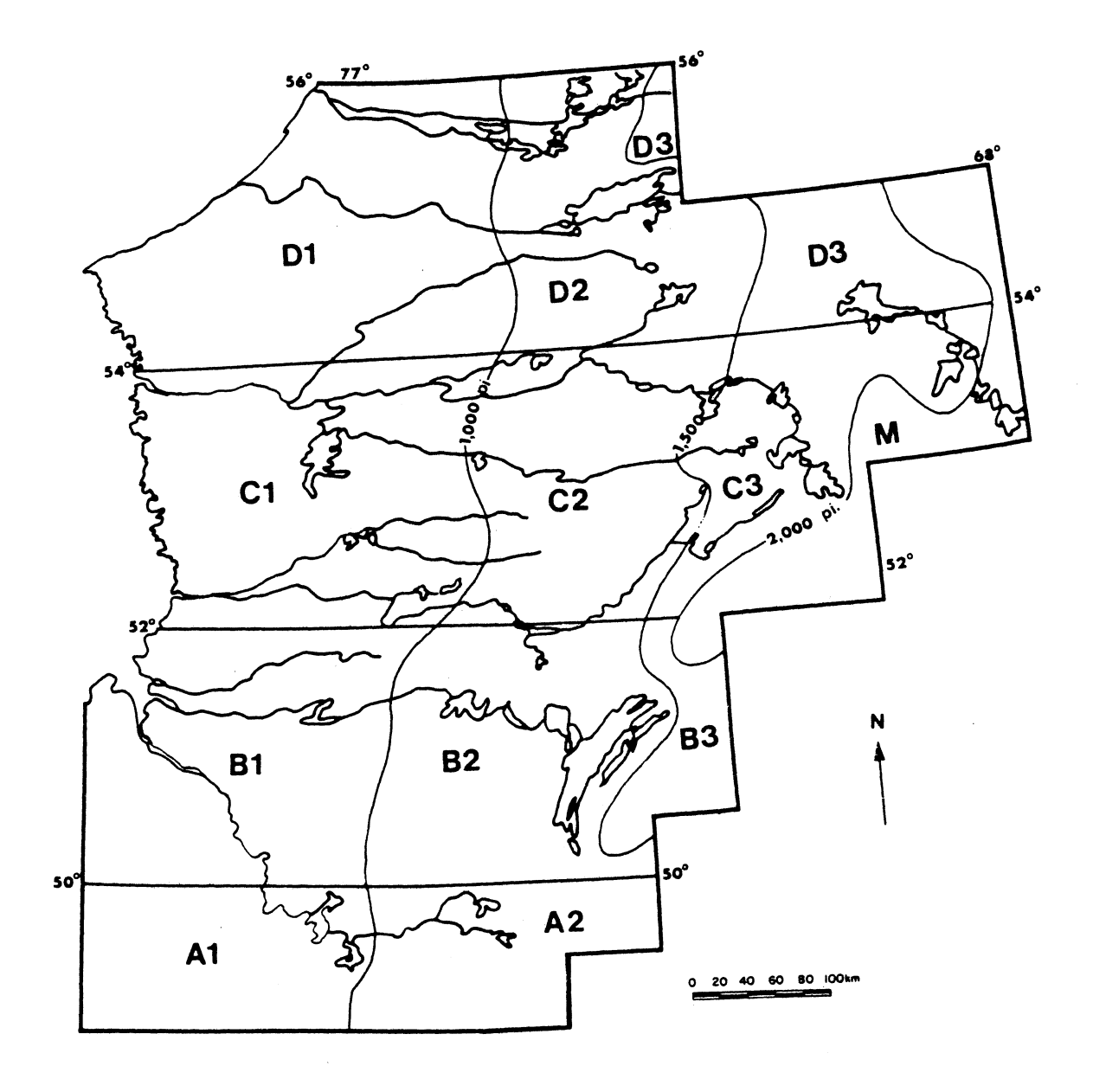


Figure 5 Les régions écologiques provisoires

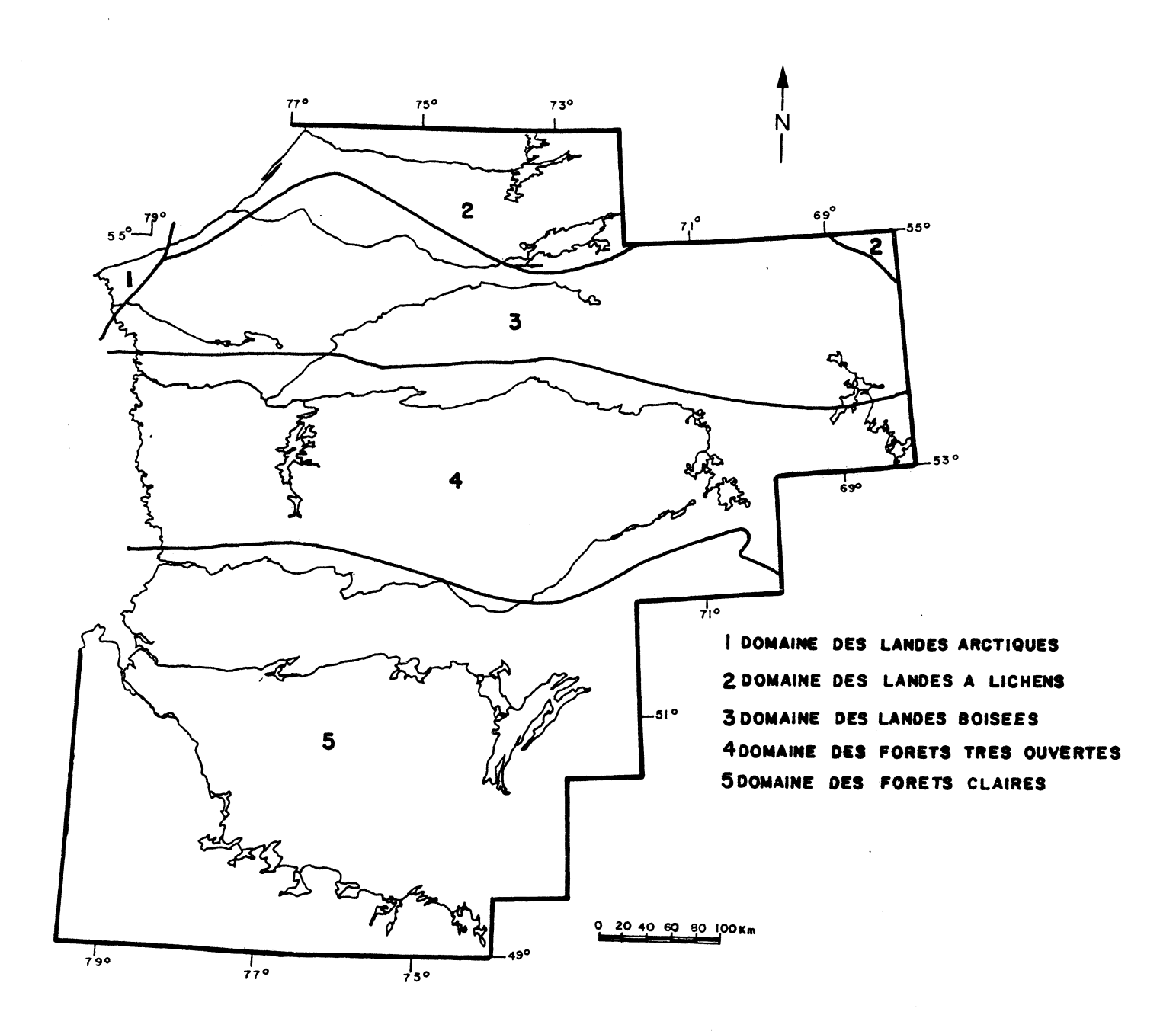


Figure 6 Les domaines écologiques du Territoire de la Baie-James

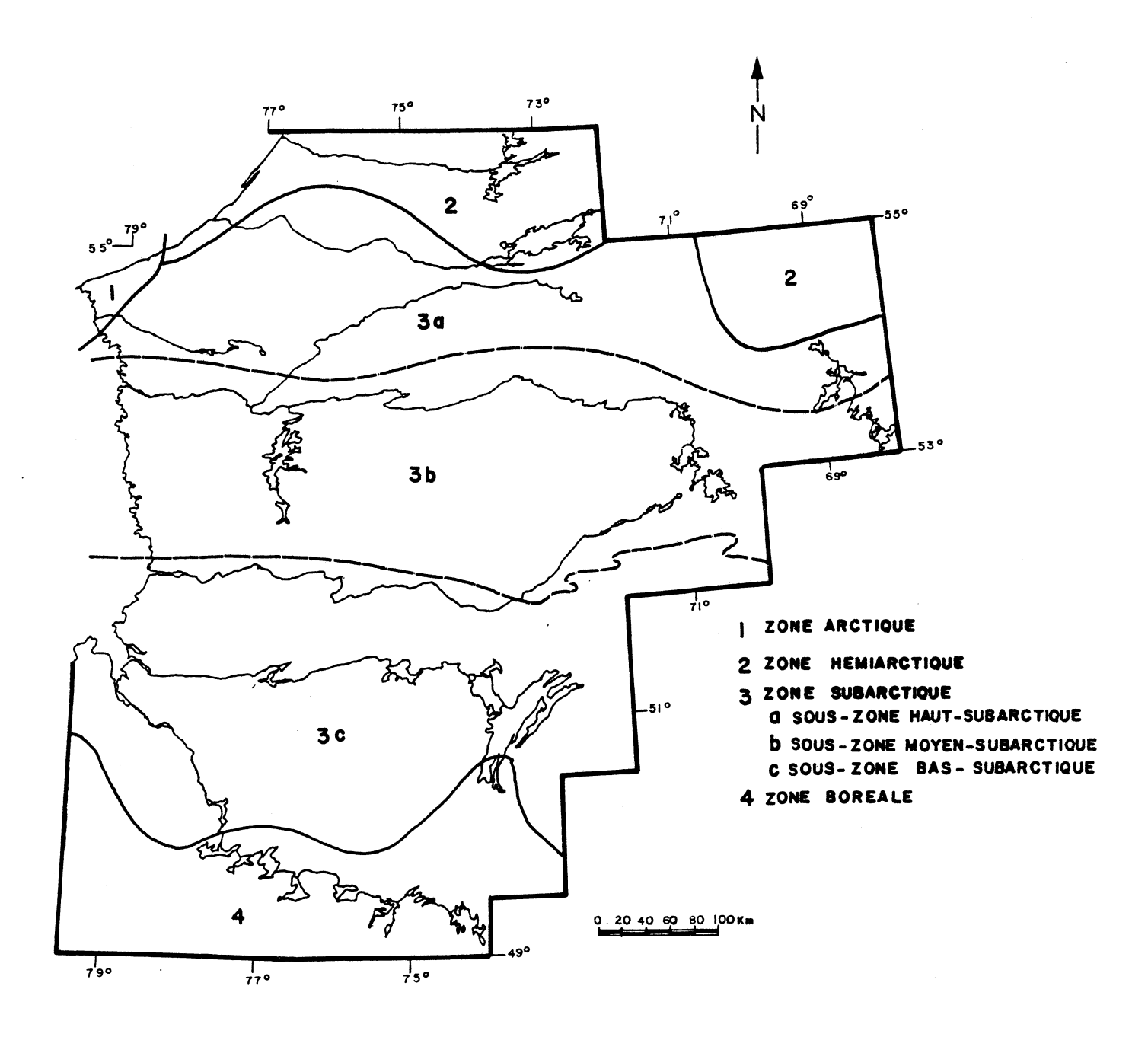


Figure 7 Les zones biologiques préliminaires du Territoire de la Baie-James

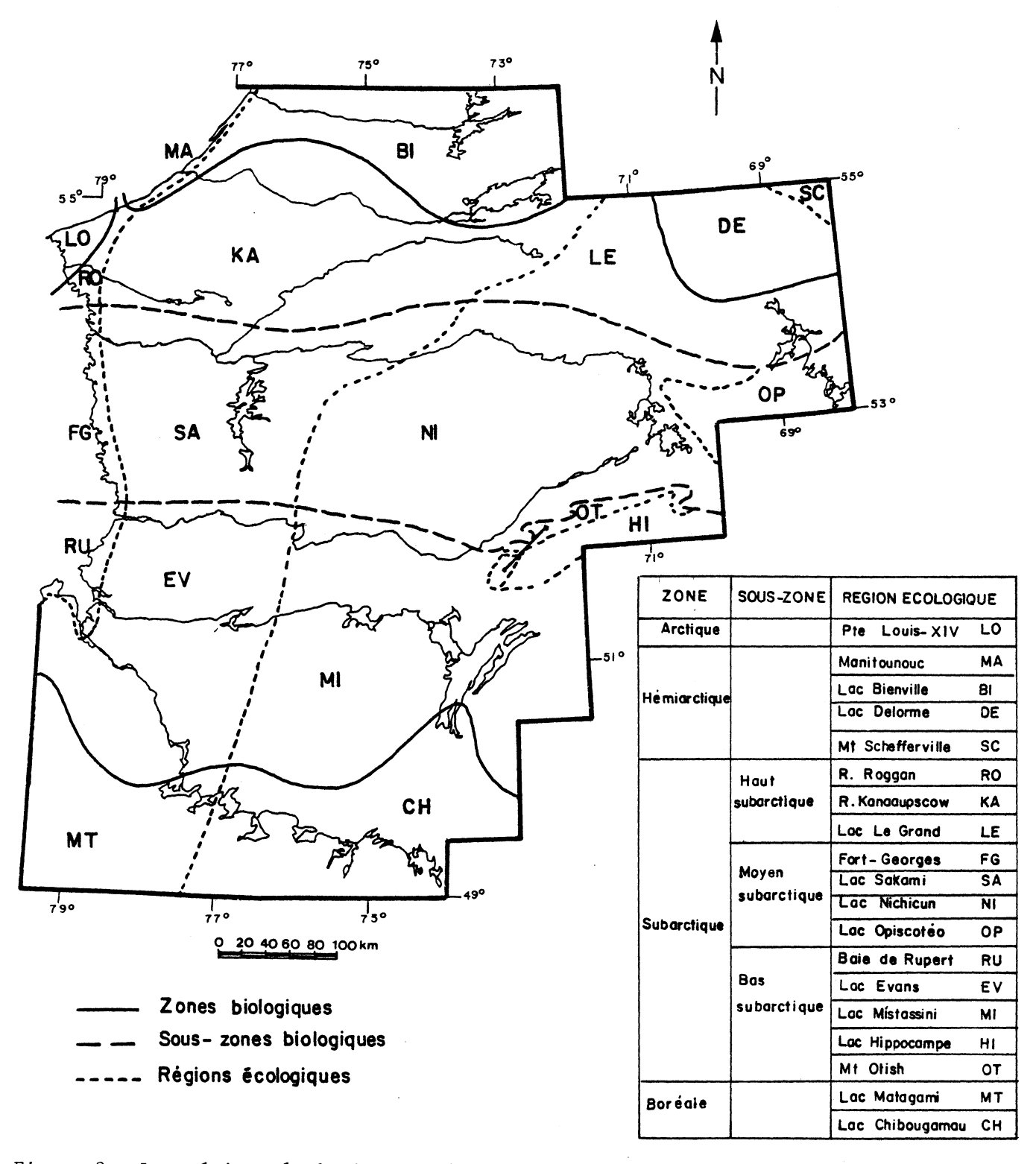


Figure 8 Les régions écologiques préliminaires du Territoire de la Baie-James

2.2.3 DEFINITION DES VARIABLES ECOLOGIQUES DISCRIMINANTES (étape V)

Cette étape consiste à déterminer à la fois les variables écologiques les plus déterminantes pour la végétation et les espèces les plus sensibles à l'ensemble des variables écologiques. Cette analyse fut effectuée à l'échelle du territoire. Théoriquement il eut été préférable de la répéter pour chaque région écologique. Cependant devant le grand nombre de régions écologiques, de variables et d'espèces, cette répétition eut été trop longue. La méthode utilisée dans ce travail est celle de l'information mutuelle espèce-variable (Godron, 1968). L'information mutuelle espèce-variable mesure la quantité d'information acquise sur la variable lorsque la présence ou l'absence de l'espèce E sont connues, et, inversement, elle donne la quantité d'information acquise sur l'espèce E lorsque l'état de la variable L est connu (Godron, 1968). Avec des mesures adéquates de pondération, il est possible et très intéressant d'interpréter le déterminisme des variables écologiques sur la distribution des espèces et, réciproquement, la "sensibilité" des espèces vis-à-vis des variables écologiques.

L'activité des variables peut être évaluée en établissant un rapport entre l'information mutuelle moyenne pour les espèces considérées $(\overline{I(L;E)})$ et la qualité de l'échantillonnage Q(L). La valeur Q(L) est le rapport entre l'entropie variable et l'entropie-variable maximale (Gerardin, 1977) (figure 9). Cette relation reste interprétable mais ne tient pas compte du fait que les valeurs d'information mutuelle sont influencées par le nombre de classes des variables. On améliorera donc l'image globale de l'activité des variables en éliminant les écarts dus au nombre de classes des variables (figure 10a). Cette pondération, imparfaite est obtenue en multipliant l'information mutuelle par le rapport entre le nombre de classes de la variable considérée et le nombre de classes maximal observé parmi toutes les variables retenues. Finalement, en supposant que l'information mutuelle est directement proportionnelle à la qualité de l'échantillonnage, on peut obtenir une ordination des variables pour un Q(L)=1 pour toutes ces variables (figure 10b) en multipliant l'information mutuelle par l'inverse du Q(L), [1/Q(L)]. Il faut, quand même, retenir que l'ensemble de ces pondérations, tout en étant imparfaites, modifient positivement l'interprétation des résultats (Gerardin, 1977).

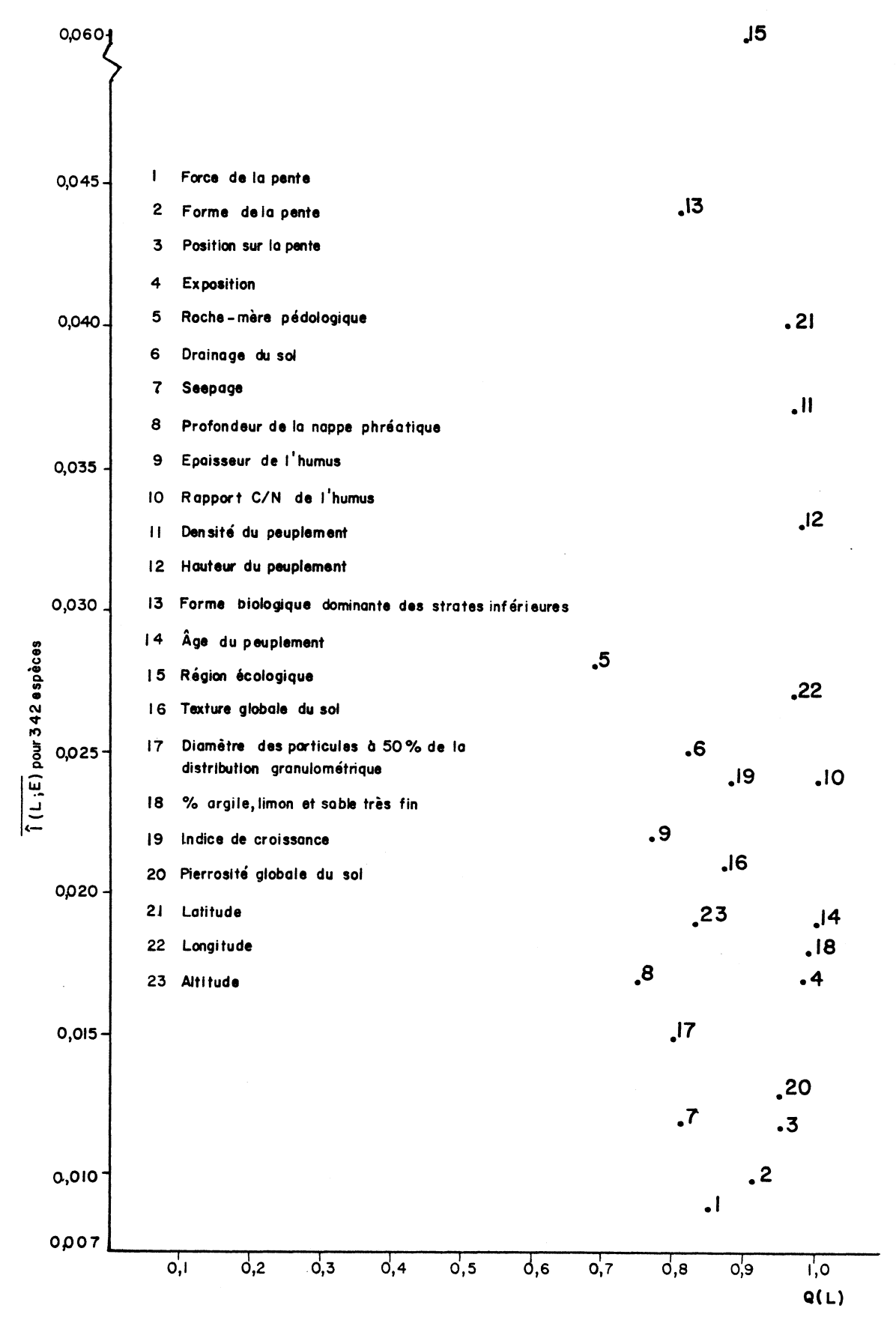


Figure 9 Relation entre la qualité d'échantillonnage, Q(L), et l'information mutuelle moyenne, $\widehat{I}(L;E)$, pour les 342 espèces retenues

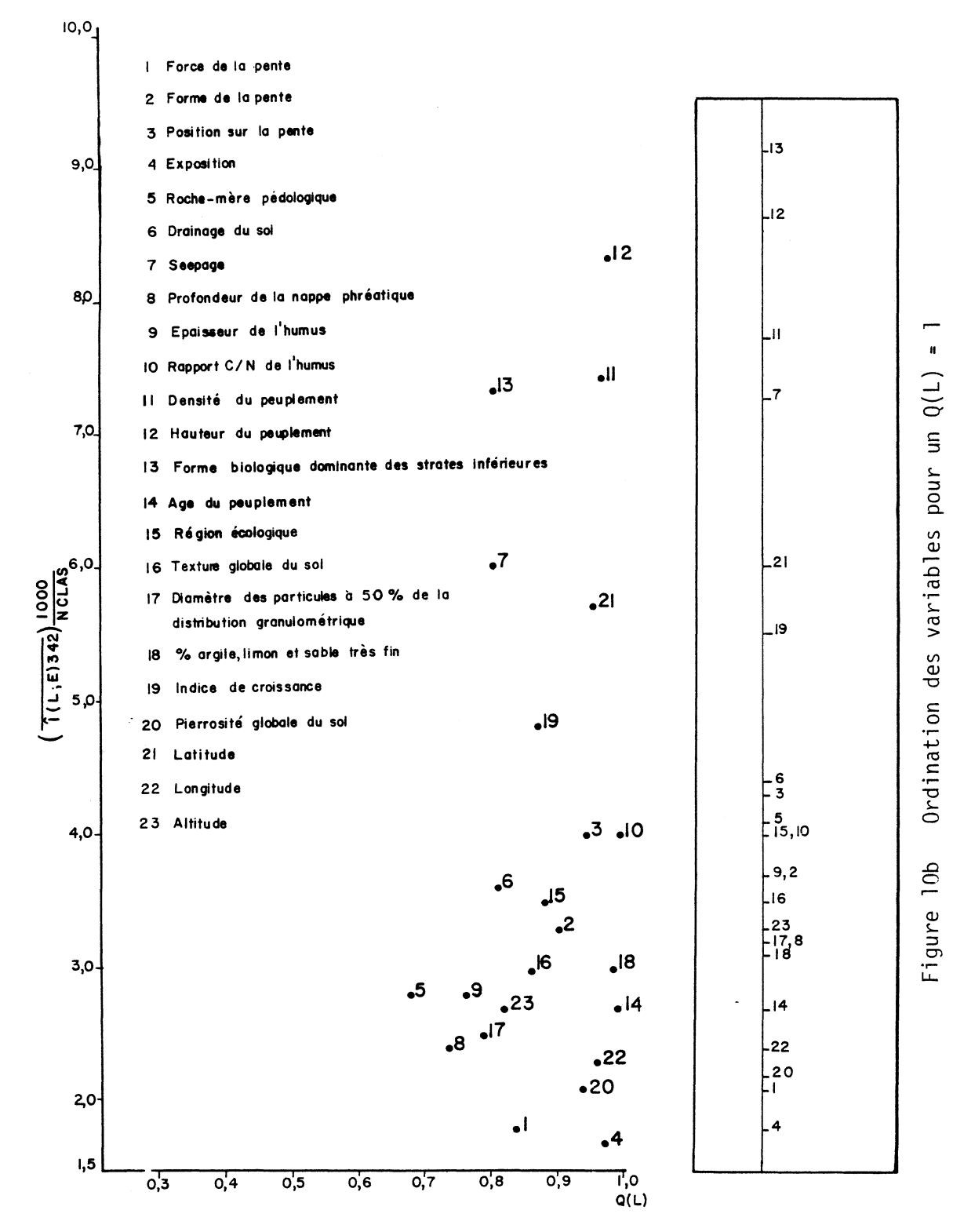


Figure 10a Relation entre la qualité de l'échantillonnage, Q(L), et l'information mutuelle moyenne, pondérée pour un nombre égal de classes, $\overline{\hat{T}(L;E)} \ /1000 \ \backslash$

La sensibilité des espèces vis-à-vis des variables est évaluée à partir de leur valeur moyenne d'information mutuelle pour toutes les variables retenues.

Des 23 variables considérées en début d'analyse, 12 furent retenues (tableau 1).

Tableau 1 Variables retenues pour la détermination des groupes écologiques

Sym- bole	Nom de la variable	Symbole	Nom de la variable
ALT PENT FPENT PØSP DRAIN SEEP	Altitude Pourcentage de pente Forme de la pente Position sur la pente Drainage Seepage	CNHUM DENS HAUT AGE ALSTF SI	Rapport C/N de l'humus Densité du peuplement Hauteur du peuplement Age du peuplement Argile, limon, sable très fin (%) Indice de croissance

La liste d'espèces retenues a été établie de la manière suivante: pour chacune des 23 variables analysées en information mutuelle nous avons conservé les 75 espèces les plus informatives. Nous avons ainsi obtenu une liste de 342 espèces pour l'ensemble du territoire. Alors que la liste des variables demeure identique pour toutes les régions écologiques, il n'en va pas de même pour la liste floristique. Une liste floristique propre à chaque région écologique doit être dressée sur la base de la fréquence relative de chacune des 342 espèces.

Les 19 régions écologiques ne peuvent être mises sur un pied d'égalité quant à la démarche conduisant à la détermination des groupes écologiques. En effet, certaines d'entre elles sont sous-échantillonnées, soit à cause de leur faible superficie, soit à cause de problèmes d'accessibilité; une analyse fondée en partie sur des calculs statistiques s'avère donc impossible pour ces régions. C'est pourquoi nous avons tenté d'effectuer des regroupements de régions écologiques préliminaires.

2.2.4 REGROUPEMENT DE REGIONS ECOLOGIQUES PRELIMINAIRES

Pour chacune des 342 espèces nous avons calculé leur probabilité d'apparition dans 17 des 19 régions écologiques préliminaires. Les deux régions écologiques manquantes sont les monts Schefferville et la rivière Roggan, pour lesquelles nous n'avions que deux ou trois relevés. La région écologique des monts Schefferville fut regroupée avec celle du lac Delorme, et la région écologique de la rivière Roggan, avec celle des îles de Manitounouc. Le tableau 2 donne le nombre de relevés considérés dans chaque région écologique préliminaire.

Tableau 2 Distribution des relevés sur sols minéraux dans les régions écologiques préliminaires

REGIONS ECOLOGIQUES		NOMBRE DE RELEVES	REGIONS ECOLOGIQUES		NOMBRE DE RELEVES	
Lac Matagami	(MT)	126	Monts Otish	(OT)	26	
Lac Chibougamau	(CH)	51	Lac Opiscotéo	(OP)	50	
Baie de Rupert	(RU)	13	Rivière Kanaaupscow	(KA)	236	
Lac Evans	(EV)	. 179	Lac Le Grand	(LE)	68	
Lac Mistassini	ssini (MI) 175		Lac Delorme	(DE)	31	
Fort-George	(FG)	20	Monts Schefferville	(SC)	31	
Lac Sakami	(SA)	183	Lac Bienville	(BI)	97	
Lac Nichicun	(NI)	305	Iles de Manitounouc	(MA)	_	
Lac Hippocampe	(HI)	16	Rivière Roggan	(RO)	29	
			Pointe Louis-XIV	(LO)	26	
			TOTAL		1633	

Les probabilités d'apparition des espèces ont permis de cartographier la distribution des espèces préférentielles en deux classes:

- les espèces très préférentielles,
- les espèces préférentielles.

Sont généralement considérées comme très préférentielles les espèces dont la probabilité de présence dans une ou plusieurs régions écologiques est égale ou supérieure à 50 p. 100, tandis que celles dont la probabilité de présence varie de 15 à 50 p. 100 sont considérées comme préférentielles.

De cette analyse, 15 groupes d'espèces sont ressortis. Leur répartition est illustrée dans les figures 11 à 25.

En retenant la nécessité de maintenir un niveau d'échantillonnage relativement comparable d'une région à l'autre, l'analyse de ces distributions conduit au regroupement suivant (figure 26):

- 1. lac Matagami lac Chibougamau,
- 2. lac Evans,
- 3. lac Mistassini,
- 4. lac Sakami,
- 5. lac Nichicun.
- 1ac Opiscotéo lac Le Grand lac Delorme monts Schefferville,
- 7. rivière Kanaaupscow,
- 8. lac Bienville.

Ces huit regroupements seront considérés comme des régions écologiques et sujettes à la même analyse.

Quant aux sept régions marginales, elles possèdent si peu de relevés que seule la méthode classique des tableaux de végétation peut être appliquée.

2.2.5 RECHERCHE DES GROUPES ECOLOGIQUES (étape VI)

La démarche suivie jusqu'à maintenant a permis d'étudier la signification des diverses variables, leur pouvoir interprétatif vis-àvis des espèces et la sensibilité de ces dernières. A partir de cette première étape, on peut établir la liste des variables écologiques qui soustendront la définition des groupes écologiques ainsi qu'une liste globale d'espèces informatives. Ensuite, la qualité de l'échantillonnage des régions écologiques est améliorée en effectuant des regroupements sur la base de la répartition spatiale de certaines espèces. Enfin, il reste à établir la liste des espèces retenues pour chaque région écologique ou groupe de régions écologiques. Cette liste est dressée en conservant, parmi les

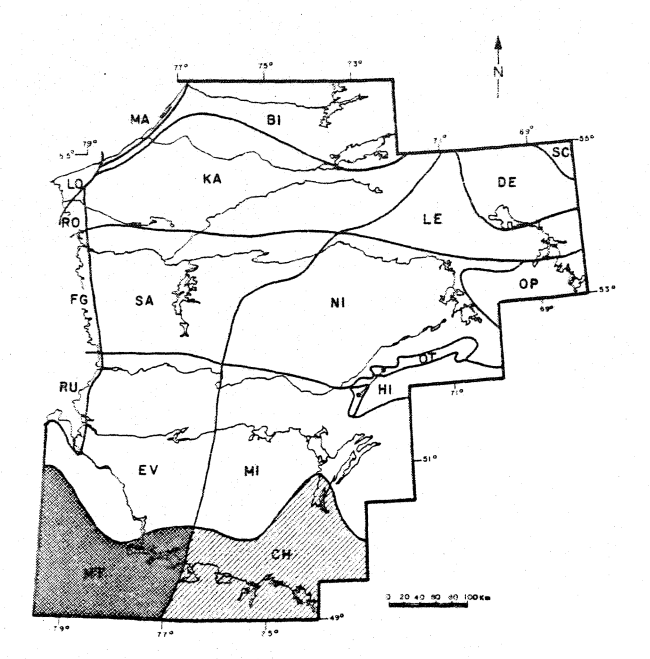
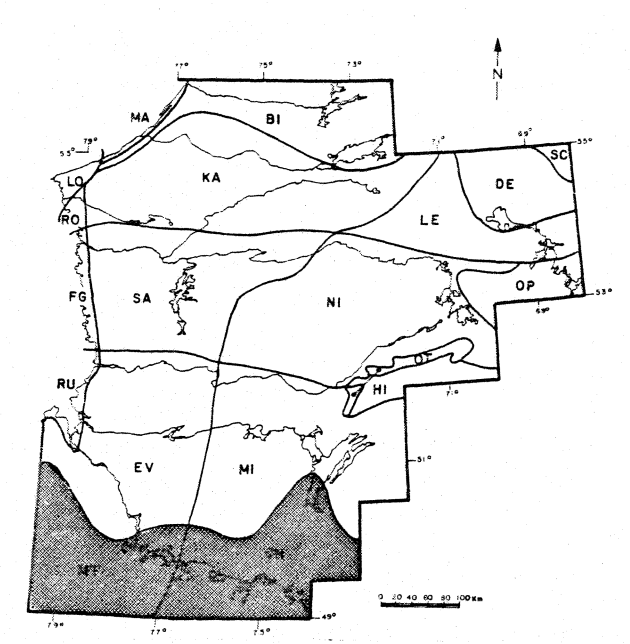
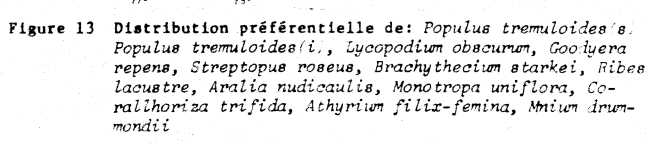


Figure 11 Distribution préférentielle de: Aster macrophyllus, Rosa acicularis, Galium triflorum, Sambucus pubens

Figure 12 Distribution préférentielle de: Acer spicatum, Diervilla lonicera, Viola renifolia, Lycopodium clavatum, Nemopanthus mucronata, Pteridium aquilinum, Lycopodium lucidulum Viburnum cassinoides





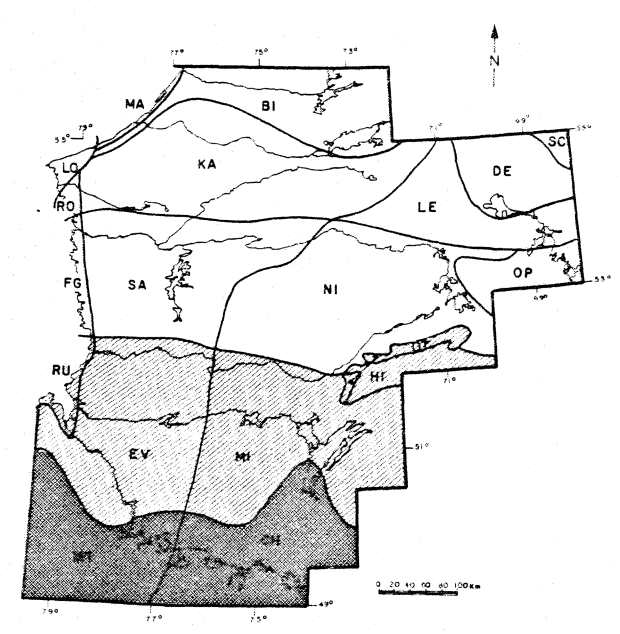


Figure 14 Distribution préférentielle de: Betula papyrifera(s), Betula papyrifera(i), Dryopteris spinulosa

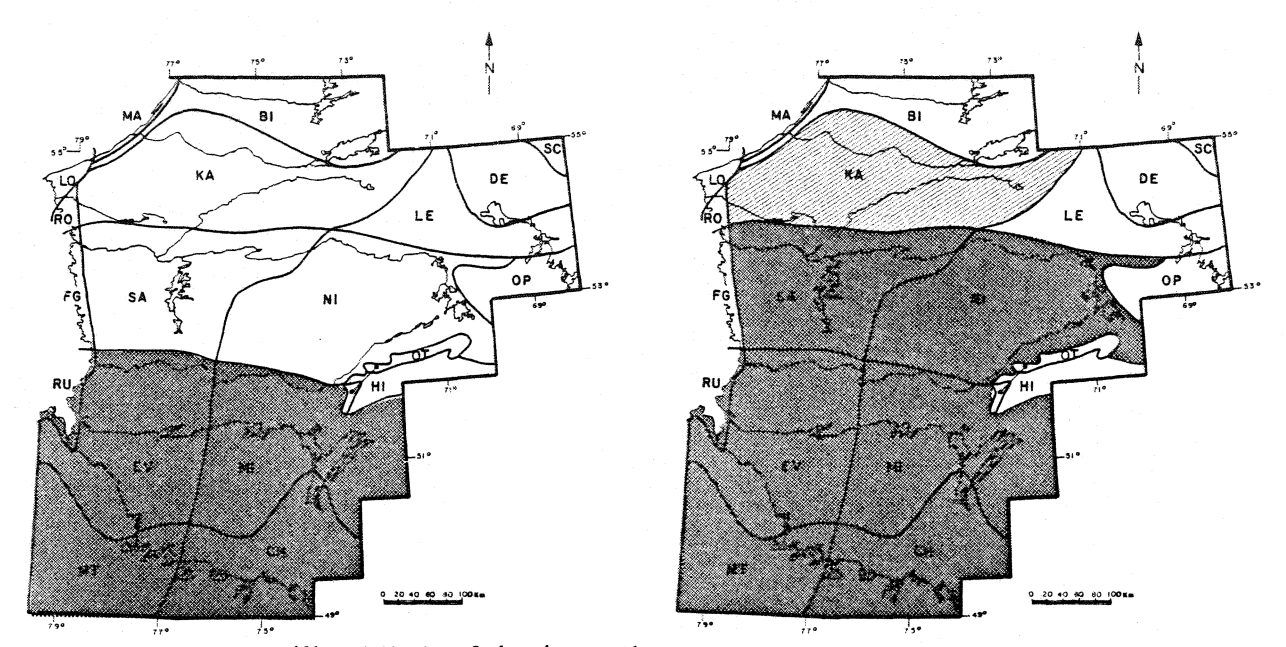


Figure 15 Distribution préférentielle de: Sorbus decora, Alnus rugosa, Prunus pensylvanica, Mitella nuda, Cornus stolonifera, Amelanchier stolonifera, Cinna latifolia, Whytidiadelphus triquetrus, Actaea rubra, Prunus pensylvanica, Dicranum drummondii

Figure 16 Distribution préférentielle de: Pinus banksiana(s), Pinus banksiana(i), Kalmia angustifolia

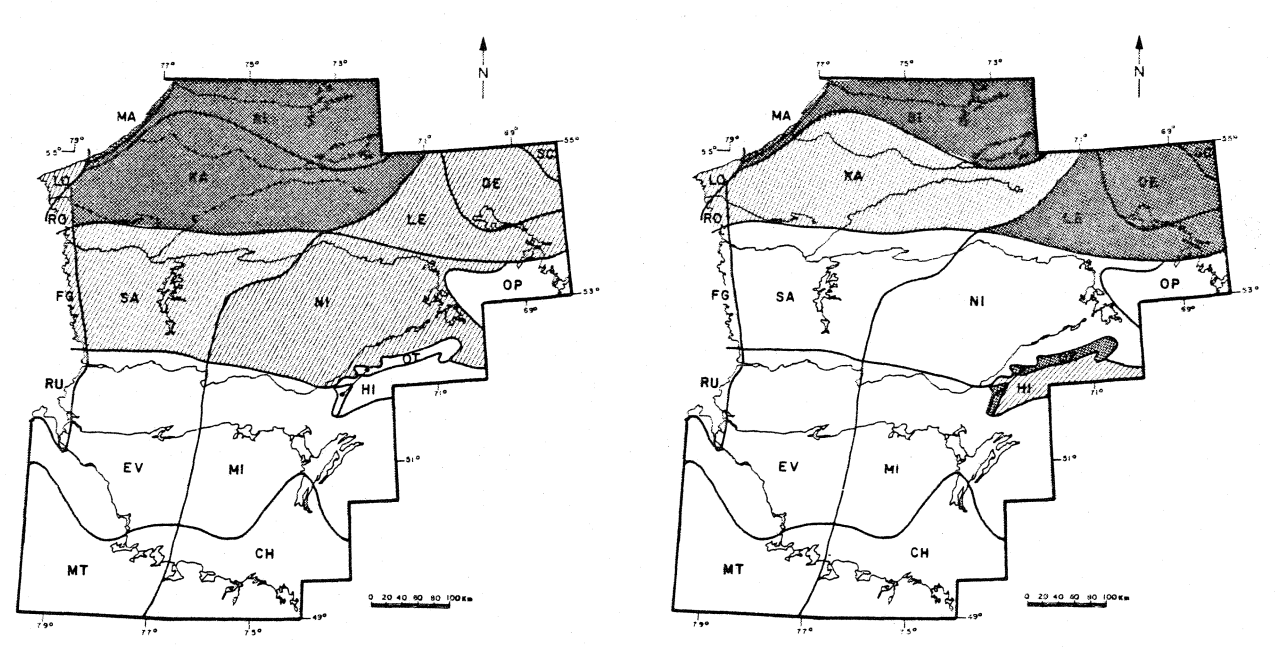


Figure 17 Distribution préférentielle de: Potentilla tridentata, Lycopodium sabinaefolium

Figure 18 Distribution préférentielle de: Loiseleuria procumbens, Cetraria nigricans

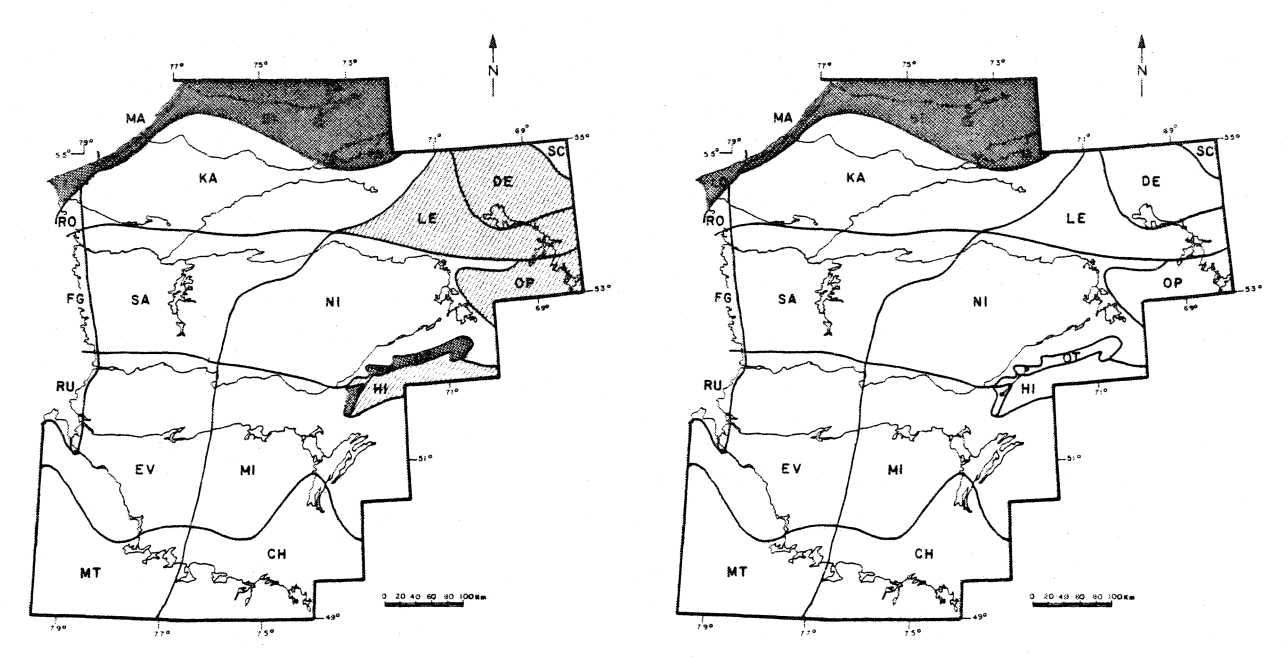


Figure 19 Distribution préférentielle de: Arctostaphylos alpina, Alectoria ochroleuca, Cladonia amaurocraea, Rhacomitrium lanuginosum, Salix uva-ursi, Luzula confusa, Carex bigelouii, Cetraria cucullata

Figure 20 Distribution préférentielle de: Cladonia bellidiflors, Ledum decumbens, Carex capitata, Pedicularis labridonica

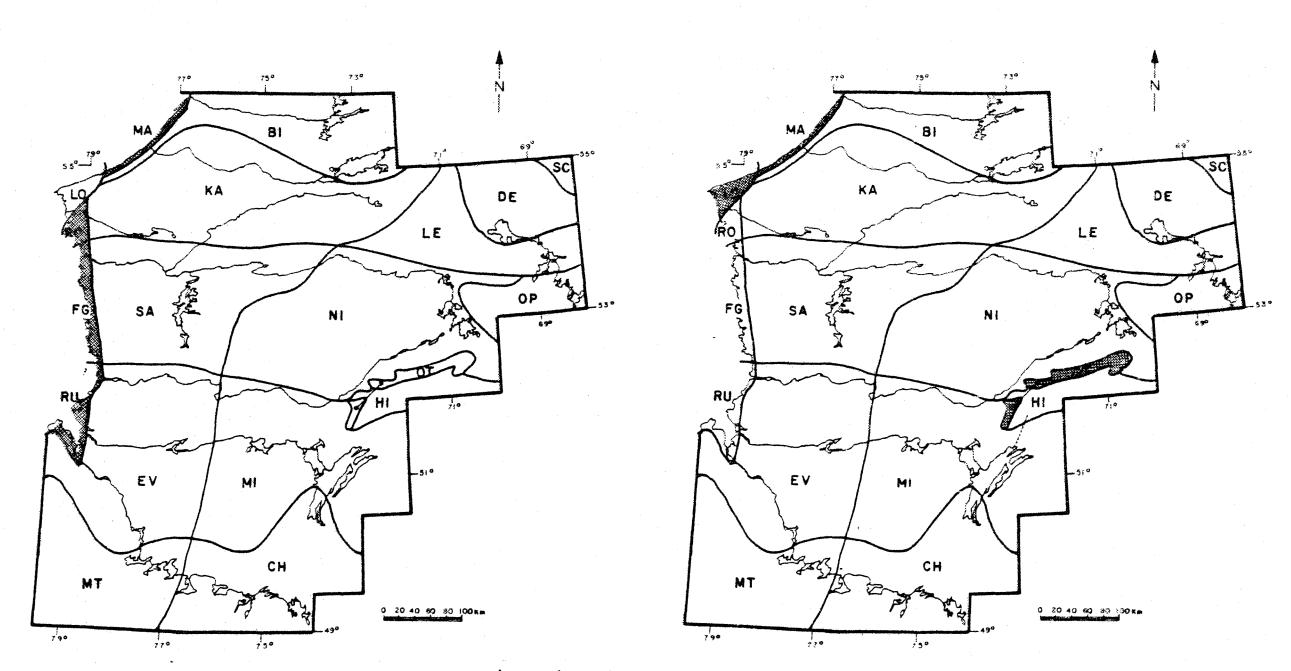


Figure 21 Distribution préférentielle de: Picea glauca(s), Picea glauca(i), Thepherdia canadensis

Figure 22 Distribution préférentielle de: Lycopodium selago

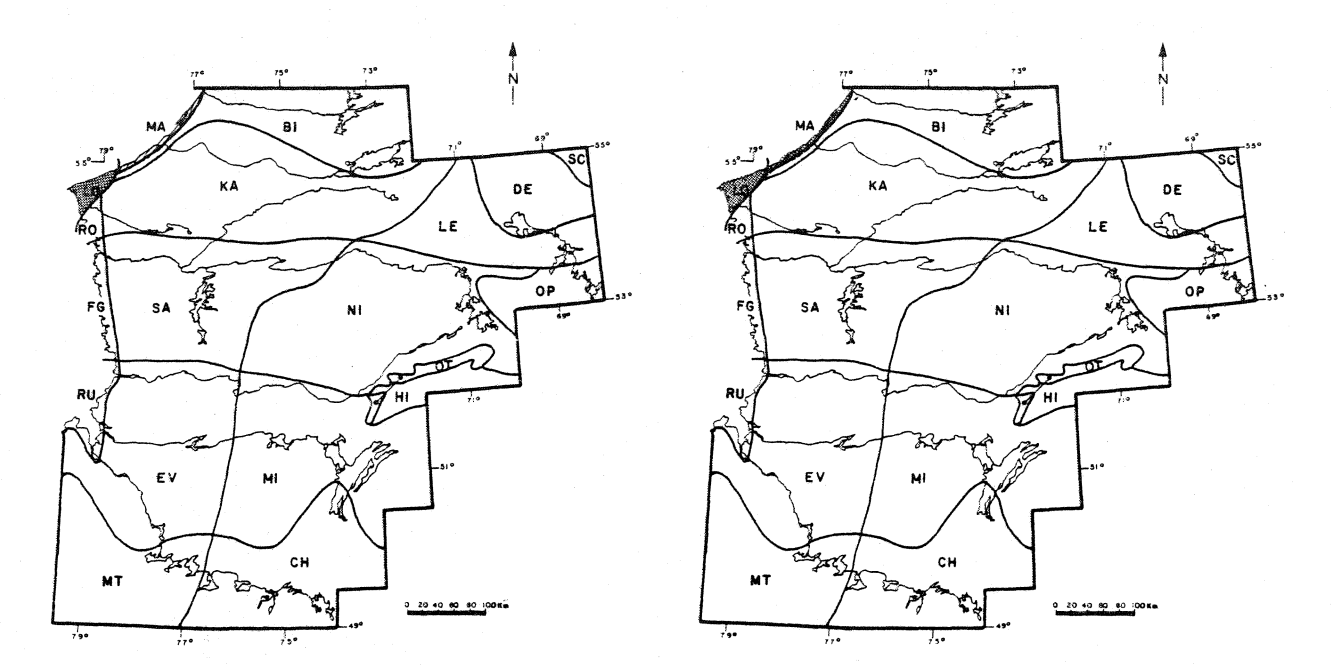


Figure 23 Distribution préférentielle de: Dryas integrifolia, Ochrolechia frigida, Poa arctica, Rhododendron lapponicum, Epilobium latifolium

Figure 24 Distribution préférentielle de: Agrostis borealis, Sphaerophorus globosus, Achillea borealis, Polygonum viviparum

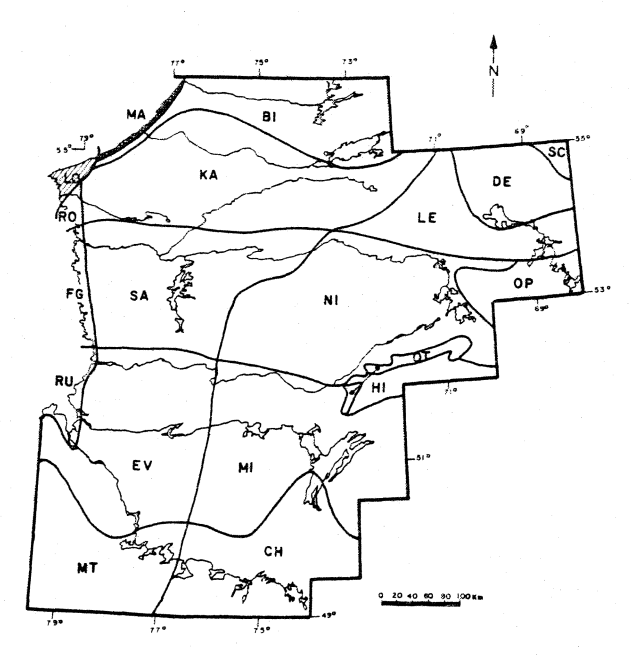


Figure 25 Distribution préférentielle de: Hierochloe alpina, Habus acaulis

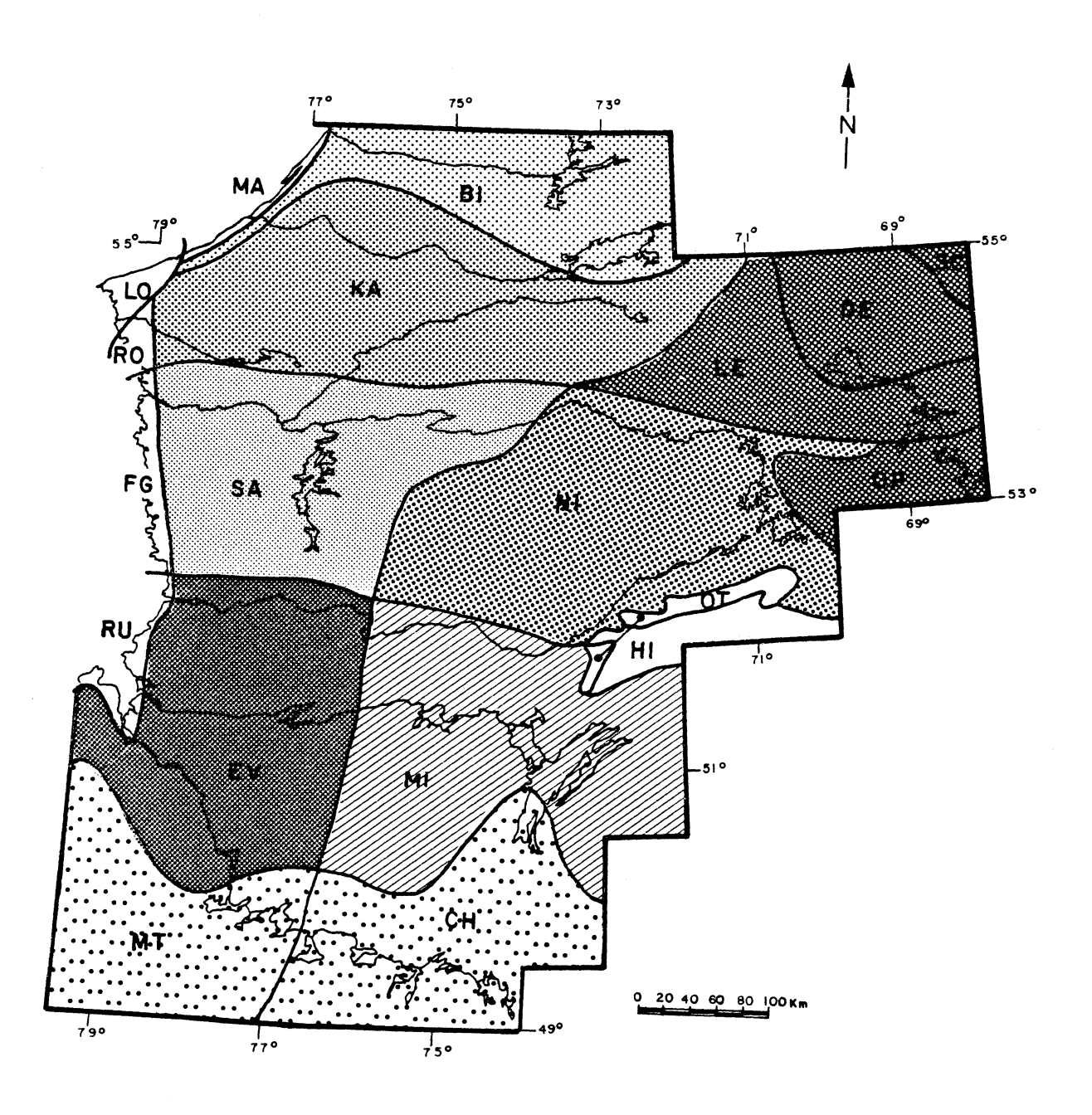


Figure 26 Regroupement des régions écologiques

342 espèces, celles qui ont une fréquence relative d'au moins 5 p. 100 dans chaque région considérée. Les huit listes ainsi obtenues sont présentées au fur et à mesure que sont définis les groupes écologiques de chacune des régions écologiques.

2.2.5.1 Analyse de régression multiple

Au cours de cette phase du travail, on regroupe les espèces en fonction de leur comportement global. Nous comparons ainsi les espèces entre elles en fonction de leur réaction vis-à-vis de chacune des variables, tout en tenant compte des liens unissant ces dernières. L'a-nalyse de régression multiple permet cette comparaison en envisageant les rapports plantes-milieu d'une façon intégrée.

On utilise les résultats de la régression multiple, aux fins de comparaison et de classification d'une série de variables dépendantes correspondant à la plus ou moins grande abondance des espèces en liaison avec les paramètres du milieu qui ont été retenus. On emploie la combinaison des coefficients de régression plutôt que l'importance de leur valeur prédictive pour telle ou telle espèce. Il faut toutefois signaler qu'une telle utilisation de la régression multiple est heuristique (Gerardin, 1977).

L'analyse de régression multiple donne donc pour chaque espèce l'influence des 12 variables "indépendantes" sur la présence de l'espèce, comme l'exprime la formule:

$$Pj = \sum_{i=1}^{12} \alpha_{ij} V_{i}$$

$$i=1$$

- où Pj = coefficient de présence de l'espèce j,
 - aij = coefficient de régression ("influence") de la variable V sur l'espèce j, toutes les autres variables étant fixées.

C'est donc à partir de la combinaison de leurs $\alpha_{\mbox{\tiny 1}}$ propres que les espèces sont classifiées.

2.2.5.2 La classification des espèces par leurs coefficients de régression

Depuis quelques années, de nombreuses méthodes de classification automatiques sont à la disposition des écologistes. Elles ne sont cependant pas tout à fait adaptées aux besoins de l'usager et le feed-back mathématicien-écologiste est inexistant. Pour ces raisons, on a opté pour la conception d'une méthode nouvelle, adaptée aux problèmes posés. Le professeur Fortin de l'Université Laval accepta ce point de vue et développa une méthode de classification hiérarchique automatique (Fortin, 1975) de laquelle un algorithme est dérivé (Fortin et al., 1974). Cet algorithme, la Méthode d'ordination des proximités (MOP), permet à la fois d'ordonner et de classifier des objets (relevés, espèces, etc.). Les résultats fournis par ce programme sont les suivants:

- la liste des espèces appartenant à chaque groupe classifié,
- la force du lien entre l'espèce et son groupe,
- s'il y a lieu, la force du lien de l'espèce avec des groupes étrangers,
- l'arbre des liens entre les espèces d'un même groupe,
- l'arbre de hiérarchie entre les espèces d'un même groupe,
- le degré de cohérence de chacun des groupes,
- la force des liens entre les groupes,
- l'arbre de hiérarchie entre les groupes.

A partir de l'interprétation de ces extrants on peut établir une classification préliminaire des espèces. Les espèces sont principalement groupées selon leur affinité écologique. Cependant, à cause des nombreuses distorsions, liées aux traitements mathématiques des données brutes, cette classification se voit entachée de certaines incorrections, corrigées partiellement en déterminant l'affinité sociale des espèces.

2.2.5.3 Le calcul des distances de Jaccard entre espèces

Dans la recherche des similitudes floristiques entre les relevés de végétation, on cherche généralement à déterminer le nombre d'espèces communes aux relevés pris deux à deux. Le coefficient de communauté de Jaccard fut le premier du genre à calculer cette similitude et s'exprime de la façon suivante:

$$C_{AB} = \frac{100c}{a+b-c}$$

où C_{AR} = coefficient de communauté entre les relevés A et B

c = nombre d'espèces communes aux relevés A et B

a = nombre d'espèces appartenant au relevé A

b = nombre d'espèces appartenant au relevé B

Si l'on inverse la proposition de Jaccard, on peut étudier la similitude des espèces prises deux à deux vis-à-vis de leur appartenance aux relevés floristiques. Dans ce cas la formule s'énoncera:

$$C_{EF} = \frac{100c}{e + f - c}$$

où $C_{\rm EF}^{}$ = coefficient de communauté entre les espèces E et F

c = nombre de relevés où les espèces E et F se rencontrent simultanément

e = nombre de relevés où l'espèce E est présente

f = nombre de relevés où l'espèce F est présente

C'est à partir de cette formule que l'on calcule pour chacune des espèces les dix espèces qui lui sont le plus sociologiquement liées. Une matrice de "n" espèces par dix est créée et soumise à la Méthode d'ordination des proximités. Le résultat de cette classification se présente donc sous la forme de groupes sociologiques. L'interprétation simultanée des groupes écologiques préliminaires et des groupes sociologiques permet d'établir avec plus de précision les groupes écologiques d'une région écologique donnée, dont il ne reste plus qu'à définir l'amplitude écologique par la comparaison des profils écologiques.

2.2.5.4 Détermination de l'amplitude écologique des groupes écologiques

Jusqu'à maintenant la constitution des groupes écologiques s'est faite par une intégration a priori du comportement des espèces vis-à-vis des douze variables considérées. En principe, toutes les espèces d'un même groupe ont un comportement socio-écologique relativement similaire, bien que l'on ne connaisse rien de précis sur ce comportement. Cette connaissance est toutefois apportée par l'étude des profils écologiques de chaque espèce pour chaque variable.

La distribution d'une espèce E dans les différentes classes d'une variable L constitue le profil écologique de cette espèce pour la variable L; elle reflète plus ou moins fidèlement, selon la méthode de calcul suivie, son comportement écologique vis-à-vis de la variable considérée. A partir d'une table de contingence des présences-absences d'une espèce, divers types de profils peuvent être établis, selon que l'on considère les fréquences absolues, les fréquences relatives, les indices de fréquence tels que la fréquence corrigée (Godron, 1965; Daget et al., 1970; Guillerm, 1971) où la fréquence normalisée (Gerardin, 1977). C'est cette dernière méthode que nous avons retenue, car elle a sur les autres l'avantage de rendre tous les profils comparables; de plus, elle permet d'interpréter les distributions en termes de probabilité.

Ainsi, le profil de l'espèce A (tableau 3, figure 27) s'interprète de la manière suivante: si on a observé 100 fois l'espèce A, toute nouvelle observation de l'espèce aura 12 p. 100, 15 p. 100 et 73 p. 100 de probabilité de correspondre respectivement aux classes 1,2 et 3 de la variable L, alors que pour l'espèce B, ces probabilités seront de 40 p. 100, 36 p. 100 et 24 p. 100.

Tableau 3	}	Fréquence	normalisée	des	espèces	Α	et	В
		pour la va	ariable L					

	Va	Ensemble		
	1	2	3	des relevés
Fréquence normalisée espèce A	12	15	73	100
Fréquence normalisée espèce B	40	36	24	100

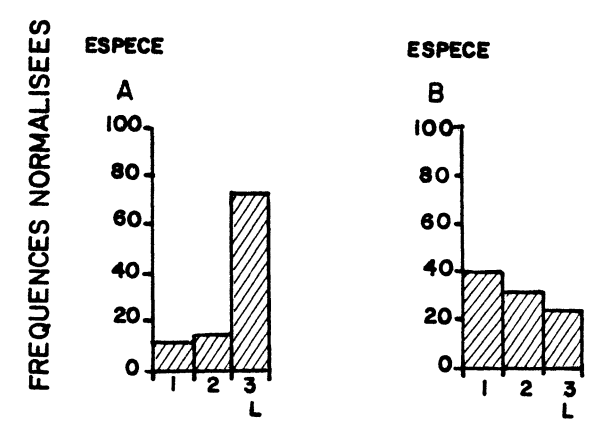


Figure 27 Profils écologiques normalisés des espèces A et B pour la variable L

On a calculé le profil écologique de toutes les espèces retenues dans chacune des huit régions écologiques ou groupes de régions. L'étude de ces profils permet de définir correctement les groupes écologiques, premiers résultats importants de la classification de la végétation. Ces groupes écologiques seront présentés, région par région, au chapitre suivant.

2.2.6 LES TYPES SOCIO-ECOLOGIQUES DE VEGETATION (TSEV)

Unité synthétique de végétation la plus fine après l'espèce, le groupe écologique va permettre la réalisation d'une nouvelle étape de synthèse: la caractérisation des TYPES SOCIO-ECOLOGIQUES DE VEGETATION (TSEV) correspondant aux TYPES DE VEGETATION de Gerardin et al. (1977). Ce TSEV a une certaine correspondance avec les taxons phytosociologiques de l'école de Zurich-Montpellier (associations, sous-associations, variantes, etc.) sans toutefois en respecter la hiérarchie. On peut ainsi définir le TSEV comme une unité (taxon) phytosociologique du rang le plus bas qu'il soit possible de décrire au niveau de perception donné par le relevé floristique. L'élaboration de cette synthèse s'appuie sur le principe de la similitude entre les relevés quant à leur composition floristique. Toutefois, alors que dans l'approche de l'école de Zurich-Montpellier le taxon végétal est l'unité de base du relevé floristique dans le processus de classification, on utilise plutôt le groupe écologique dans la présente classification.

2.2.6.1 L'attraction des relevés par les groupes écologiques

Le regroupement des relevés floristiques se fait donc sur la base de leur similitude floristique au niveau du groupe écologique. Devant l'immensité de la tâche (au-delà de 1500 relevés), un programme (TRIRELEV) fut mis au point avec la collaboration de Michel Fortin de l'Université Laval. Ce programme effectue une ordination des relevés en fonction de l'appartenance des groupes écologiques aux relevés. A partir de cette ordination, on peut établir un premier regroupement de relevés.

2.2.6.2 Les tableaux floristiques

Une tabulation automatique, effectuée par un programme (PHYTØ) permet de juger l'efficacité du premier regroupement effectué. C'est ensuite par la méthode classique de manipulation des relevés que l'on obtient, essais après essais, une classification sociologiquement et écologiquement satisfaisante. Des noms généralement liés à la physionomie dominante du groupement final sont alors donnés.

2.2.7 LES CHRONOSEQUENCES VEGETALES

La phase écologique se définit comme un type socio-écologique de végétation distinct colonisant un type écologique donné. L'étude de toutes les phases écologiques d'un même type écologique permet de les ordonner à partir d'hypothèses phytodynamiques. C'est ce que l'on appelle les chronoséquences végétales. Cette notion de chronoséquence végétale est à rapprocher de celle de série de végétation (Rey, 1960) à la différence, toutefois, que l'on n'établit pas d'hypothèses quant aux climax. En effet, les chronoséquences ne définissent que l'évolution de la végétation secondaire, à partir des TSEV observés et classifiés. Aucune extrapolation dans le temps n'est faite, de telle sorte que le terme d'une chronoséquence peut effectivement correspondre soit au climax, soit à un stade pionnier. Les seules extrapolations effectuées le furent d'un type écologique à un autre. Toutes les extrapolations seront d'ailleurs soulignées de telle sorte que l'utilisateur saura à quoi s'en tenir.

2.2.8 REVISION DES REGIONS ECOLOGIQUES

La répartition des TSEV, la composition des chronoséquences et l'analyse globale du paysage végétal du Territoire de la Baie-James permettent, finalement, une révision documentée des limites et de la définition des régions écologiques.

3 LA VEGETATION DES REGIONS ECOLOGIQUES

Dans un premier temps, nous examinons le type de présentation des résultats que nous avons adopté. Puis, région écologique par région écologique, nous présentons et discutons ces résultats.

Pour chacune des huit grandes régions écologiques nous présentons et discutons:

- les groupes écologiques,
- les types socio-écologiques de végétation (TSEV),
- les chronoséquences végétales.

Ces huit régions écologiques sont présentées dans l'ordre suivant:

- 1. lac Matagami lac Chibougamau,
- 2. lac Evans,
- 3. lac Mistassini,
- 4. lac Sakami,
- 5. lac Nichicun,
- 6. lac Le Grand, lac Opiscotéo, lac Delorme et monts Schefferville,
- 7. rivière Kanaaupscow,
- 8. lac Bienville.

Pour les sept régions marginales, seuls les types socio-écologiques de végétation et les chronoséquences végétales sont présentés et discutés. Ces régions écologiques font l'objet d'une étude dans l'ordre suivant:

- 1. baie de Rupert,
- 2. Fort-George,
- 3 et 4. îles de Manitounouc et rivière Roggan,
- 5. pointe Louis-XIV,
- 6. monts Otish,
- 7. lac Hippocampe.

3.1 LES GROUPES ECOLOGIQUES

Nous présentons, d'abord, la composition des groupes écologiques sous forme d'un tableau. La première colonne de ces tableaux donne le numéro du groupe, tandis que la seconde indique la forme biologique sensu lato des espèces. Nous reconnaissons dix formes biologiques distinctes:

As: espèce arborescente située dans la strate arborée (>3 m),

Ai: espèce arborescente située dans la strate arbustive (<3 m),

an: arbuste autre que les éricacées,

ae: éricacée de forme arbustive,

ar: arbuste rampant,

lt: latifoliée et fougère

gr: graminoïde,

mh: mousse et hépatique,

sp: sphaigne,

li: lichen.

La fréquence absolue de chaque espèce dans la région écologique considérée, c'est-à-dire le nombre de fois où l'espèce fut relevée, est consignée dans la troisième colonne. La quatrième colonne est réservée au nom des espèces formant le groupe, l'espèce soulignée donnant son nom au groupe.

Les profils écologiques de chacun de ces groupes sont présentés en annexe. Les profils fournis pour chaque groupe sont généralement ceux de l'espèce la plus fréquente du groupe, cette dernière donnant son nom au groupe. Toutefois, il peut arriver que, lorsqu'une espèce de moindre fréquence revêt une plus grande importance d'un point de vue physionomique ou écologique, elle soit choisie comme représentante du groupe. Pour chaque série de profils d'un groupe écologique, on précise le numéro du groupe (G.E.), le nom de l'espèce, sa fréquence absolue (FREQUENCE), le nombre de relevés effectués (#RT). D'autre part, pour chaque profil d'un groupe écologique, nous indiquons le code des classes dont la signification est fournie à l'annexe l ainsi que les effectifs (nombre de relevés dans chacune des classes).

Il est cependant important de se rendre compte que les profils écologiques sont calculés à partir de tous les relevés où l'espèce est présente, peu importe son abondance. Il est aussi particulièrement intéressant de connaître le comportement d'une plante lorsqu'elle croît en colonie importante. En effet, la présence d'une espèce est d'autant plus significative qu'elle croît en abondance à l'intérieur d'un relevé de végétation. C'est pourquoi nous avons choisi de discuter de l'amplitude écologique de certains groupes écologiques telle qu'elle est définie par les profils et d'ajouter un commentaire qui portera seulement sur les relevés où le groupe considéré est abondant. Ce qui revient à dire que seuls les groupes à la fois fréquents et abondants dans les relevés seront discutés. Ce commentaire découle d'une compilation des types écologiques l' coincidant avec une grande abondance du groupe écologique. La compilation est effectuée à l'aide d'un tableau de fréquence (tableau 4).

 $\overline{\text{TE}}_{n}$ TE TE₁ Types TOTAL Ecologiques n R_{n} $R_{\mathtt{i}}$ NR R_1 $NRT = \Sigma$. . . i=1n $^{\mathrm{NP}}_{\mathrm{ge}}$ Р, $NPT = \Sigma$. . . i=1 FR=Pi/R; Fn F₁ n . . . FRT = Σ FRN= Fi/FRT $^{\text{FN}_{\text{i}}/}_{\text{FRT}}$ = 100% $^{FN}_1$ FN_{i} $\mathbf{F}_{\mathbf{n}}$ $FNT = \Sigma$ i=1

Tableau 4 Tableau de fréquence

où NR = nombre de relevés effectués

R_i = nombre de relevés effectués sur le type écologique TE,

NP = nombre d'occurences du groupe écologique ge

 P_i = nombre d'occurences du groupe écologique ge sur le type écologique TE_i

^{1.} La classification des types écologiques est présentée à l'annexe 12.

FR = fréquences relatives du groupe écologique ge

 $F_i = P_i/R_i = fréquence$ relative du groupe écologique ge sur le type écologique TE_i

FRN = fréquences normalisées du groupe écologique ge

 $FN_i = \frac{F_i}{FRT} \times 100 = fréquence$ normalisée du groupe écologique ge sur le type écologique TE_i

Il faut noter que lorsque les effectifs, c'est-à-dire le nombre de présences P_i, sont insuffisants, on a cherché à regrouper certains types écologiques de même famille. On a, ainsi, fréquemment regroupé les tills, les sables et les argiles de la manière suivante (voir annexe 12 pour la signification des types écologiques):

Tills: T1 = TA1, TM1, TD1, TH1

T2 = TA2, TM2, TD2, TH2

T3 = TA3, TM3, TD3, TH3

T23 = TA2, TA3, TM2, TM3, TD2, TD3, TH2, TH3

T4 = TA4, TM4

T5 = TA5, TM5

T45 = TA4, TA5, TM4, TM5

T2* = TA2*, TM2*, TD2*

T3* = TA3*, TM3*, TD3*

T23* = TA2*, TA3*, TM2*, TM3*, TD2*, TD3*

T4* = TA4*, TM4*

T5* = TA5*, TM5*

T45* = TA4*,TA5*,TM4*,TM5*

Sables: S23 = SG23, SM23, AM23, AF2, AF3, TY2, TY3

S23* = SG23*, SM23*, AF2*, AF3*, AV2*, AV3*

Argiles-

limons: A23 = AL2, AL3, MA23, TC2, TC3

A4 = AL4, MA4, TC4

A45 = AL4, AL5, MA4, MA5, TC4, TC5

A4* = AL4*, MA4*, TC4*

A45* = AL4*, AL5*, MA4*, MA5*, TC4*, TC5*

Un regroupement ne signifie pas, pour autant, que tous les types écologiques sont présents.

A partir de ce tableau de fréquence et, particulièrement, des fréquences normalisées, on peut établir les préférences écologiques des groupes écologiques vis-à-vis non seulement des types écologiques mais aussi des trois paramètres qui les composent:

- le drainage du sol,
- la présence ou l'absence de seepage,
- la texture.

En effet, rappelons que le type écologique est "une portion de territoire caractérisée par une combinaison relativement uniforme du sol et de la chronoséquence végétale" (Jurdant et al., 1977) et qu'il est identifié par un symbole comprenant trois parties:

- 1. deux lettres désignant la roche-mère pédologique,
- un ou deux chiffres désignant le drainage du sol (la présence du seepage est signalée par un astérisque),
- une lettre identifiant la région écologique, définissant implicitement la chronoséquence végétale appropriée.

Puisque nous travaillons région écologique par région écologique, le dernier symbole est constant. Il nous reste donc la roche-mère pédologique, le drainage et le seepage. En regroupant les roches-mères pédologiques, on peut définir les classes texturales suivantes:

roc : regroupe tous les types écologiques sur affleurements rocheux.

sable : regroupe tous les types écologiques sur sable éolien, fluvio-glaciaire, fluviatile, etc.

loam : regroupe tous les tills non remaniés ainsi que les colluvions dérivées de tills,

limon : regroupe tous les types écologiques sur dépôts marins et lacustres limono-argileux ainsi que les tills limono-argileux des réavancées glaciaires de Cochrane.

Ainsi en regroupant les fréquences normalisées des mêmes classes de drainage, ou des sols avec seepage, ou encore des mêmes classes texturales, on peut définir avec plus de précision l'écologie d'un groupe écologique lorsqu'il est présent avec suffisamment d'abondance pour caractériser un groupement végétal.

3.2 LES TYPES SOCIO-ECOLOGIQUES DE VEGETATION

Dans notre système de classification de la végétation, nous reconnaissons quatre niveaux hiérarchiques, la formation, le groupement, le sousgroupement et la forme, auxquels se rattache le type socio-écologique de végétation.

La formation se caractérise généralement par une espèce dominante et ses compagnes de groupe, conférant à la végétation une physionomie particulière. Par exemple, les pessières à épinette noire (EN)², les bétulaies à bouleau blanc (BB) et les aulnaies à aulne gris (ALR) sont des formations.

Le groupement est une subdivision de la formation, en fonction du deuxième groupe écologique dominant. Ainsi, si les groupes écologiques de *Cladonia alpestris* et de *Pleurozium schreberi* dominent, tout en étant exclusifs, dans la formation de l'épinette noire, on distingue deux groupements: la pessière à épinette noire et cladonies (EN-ca) et la pessière à épinette noire et mousses (EN-m).

Le sous-groupement subdivise le groupement si d'autres groupes écologiques de moins grande amplitude le permettent. Ainsi, la présence répétée de *Chamaedaphne calyculata* dans la pessière à épinette noire et cladonies permettra de définir un sous-groupement (EN-ca-cc) distinct du groupement typique.

La forme est l'ultime subdivision effectuée selon les mêmes critères que précédemment, mais s'appliquant à des groupes dont l'amplitude

^{2.} La légende des symboles des types socio-écologiques de végétation est présentée à l'annexe 11.

écologique est encore plus restreinte. Ainsi, la présence de Sphagnum ne-moreum dans la pessière à épinette noire, cladonies et Chamaedaphne caly-culata entraînera la création d'une forme à Sphagnum nemoreum (EN-ca-cc-sn) permettant d'exprimer une différence écologique particulière.

Ce système de classification hiérarchisée est axé, d'une part, sur la variation de l'amplitude écologique des groupes écologiques et d'autre part, sur une variation parallèle de l'abondance-dominance des espèces et de la végétation. Plus l'amplitude écologique d'un groupe est grande, plus le relevé sera classé haut dans la hiérarchie, et plus grande sera la couverture des espèces de ce groupe (figure 28).

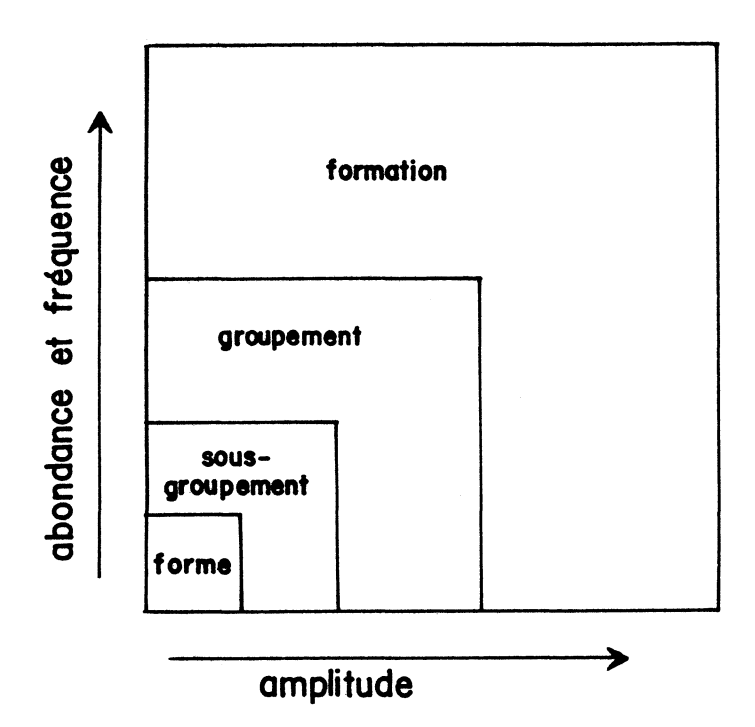


Figure 28 Relation entre l'amplitude écologique et la fréquence des groupes écologiques, le recouvrement des espèces et le niveau hiérarchique dans la classification de la végétation

Les résultats de cette classification sont présentés sous forme de tableaux à trois niveaux de synthèse:

- Niveau 1: Niveau de synthèse le plus bas: les tableaux phytosociologiques complets donnant pour chacun des types
 socio-écologiques de végétation tous les relevés les
 définissant en fonction de l'appartenance des groupes
 écologiques. Ces tableaux, assez volumineux, ne sont
 pas présentés ici, mais disponibles sous forme de listes
 imprimées d'ordinateur, soit à la Société de développement de la Baie-James (1 copie) soit au Service des
 études écologiques régionales (1 copie).
- Niveau 2: Niveau de synthèse moyen: le tableau synthétique des types socio-écologiques de végétation qui fournit, pour chacun d'eux, la valeur moyenne de recouvrement de chaque espèce formant les groupes écologiques.
- Niveau 3: Niveau de synthèse le plus élevé: le tableau synthétique des types socio-écologiques de végétation et des groupes écologiques qui fournit pour chaque type socio-écologique de végétation la valeur moyenne de recouvrement de chaque groupe écologique.

Il est important de noter qu'aucun tableau de ces trois niveaux ne donne une liste exhaustive des espèces présentes dans les relevés. Toutefois on peut obtenir cette liste par le fichier CDR (section 2.2.1).

Pour chaque formation importante, on présente un tableau indiquant le ou les groupes écologiques caractérisant chacun des niveaux hiérarchiques de la classification. Ces groupes écologiques, appelés Groupes écologiques diagnostiques (GED), par analogie aux espèces diagnostiques de l'école de Zurich-Montpellier, définissent ainsi les formations, les groupements, les sous-groupements et les formes.

A l'exception des brûlis, pour lesquels on ne donne que les tableaux synthétiques, toutes les formations sont traitées brièvement: on donne le groupe écologique diagnostique, la structure dominante de l'unité, les dépôts (roches-mères pédologiques) principaux, le drainage préférentiel et l'indice de croissance moyen du peuplement considéré. La structure est définie par deux paramètres dérivés du type physionomique de végétation (Jurdant et al., 1977):

- 1. la densité du peuplement forestier pour laquelle on reconnaît six classes:
 - 1. forêt fermée (recouvrement >80 p. 100),
 - 2. forêt claire (recouvrement 60 p. 100 à 80 p. 100),
 - 3. forêt ouverte (recouvrement 40 p. 100 à 60 p. 100),
 - 4. forêt très ouverte (recouvrement 25 p. 100 à 40 p. 100),
 - 5. lande boisée (recouvrement 5 p. 100 à 25 p. 100),
 - 6. lande (recouvrement <5 p. 100)
- 2. la hauteur moyenne du peuplement forestier pour laquelle on reconnaît cinq classes:
 - 1. forêt très haute (>21 m),
 - 2. forêt haute (15 m à 20 m),
 - 3. forêt basse (9 m à 15 m),
 - 4. forêt très basse (3 m à 9 m),
 - 5. peuplement non forestier (lande ou formation arbustive).

Les dépôts et le drainage sont définis à partir du ou des types écologiques dominants. L'indice de croissance moyen est établi à partir des compilations de R. Zarnovican (voir annexe 1) et regroupé en six classes:

- 1. croissance très rapide.
- 2. croissance rapide,
- 3. croissance modérée,
- 4. croissance lente,
- 5. croissance très lente,
- 6. station improductive.

3.3 LES CHRONOSEQUENCES

Tel qu'on l'a expliqué à la section 2.3.7, les chronoséquences sont établies à partir des divers types de végétation rencontrés sur un même type

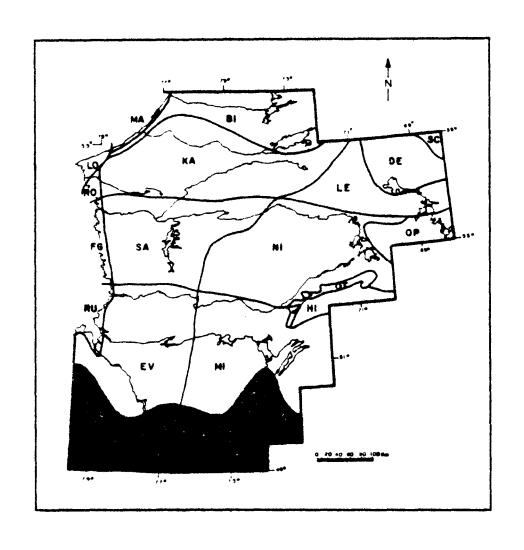
écologique. Il faut toutefois savoir que l'intensité de l'échantillonnage est tel que l'information taxonomique est insuffisante pour assurer à chaque type écologique une chronoséquence spécifique. Il faut également comprendre que la diversité des types écologiques n'impliquent pas automatiquement une même diversité biologique. Certains types écologiques, par exemple, furent reconnus pour permettre des interprétations d'ordre purement physique. C'est ainsi que le type SG23 a été distingué de SM23 uniquement en vue des interprétations pour la construction de routes (ingénierie). En tenant compte de ces considérations, l'utilisateur comprendra la nature des regroupements réalisés. Malgré cela, il a fallu procéder à de nombreuses extrapolations, ces dernières étant cependant signalées.

Une deuxième remarque s'impose. Elle concerne la définition du type écologique, précisant qu'à chaque type écologique est associée une chronoséquence. Cette définition comporte une exception, dans le cas de climats locaux masquant les effets du climat régional. On pense, ici, à des climats locaux plus humides, occasionnés par la proximité de grandes étendues aquatiques (bord de grands lacs, de grandes rivières, environs immédiats d'une chute). Ces climats locaux sont généralement à rapprocher écologiquement des zones côtières marines, où la fréquence des brouillards a un effet direct sur la composition floristique. C'est ainsi, par exemple, que l'épinette blanche semble nettement favorisée par les épais brouillards survenant le long de la côte de la baie James et de la baie d'Hudson (Payette, 1975; Ducruc et αl ., 1976). Il en va de même à l'intérieur du territoire où l'épinette blanche, le sapin et certaines mousses, comme Ptilium crista-castrensis, colonisent fréquemment une bande étroite le long de certains cours d'eau et de certains grands lacs. Dans de tels cas, nous avons deux chronoséquences: une dominante sur l'ensemble du territoire et une mineure cantonnée aux zones de plus grande humidité ambiante. A chaque fois qu'il nous a été permis de la reconnaître, nous signalerons cette chronoséquence mineure.

Il existe un deuxième type d'écart à la définition du type écologique quant à sa chronoséquence unique. Il s'agit des chronoséquences occasionnées par des perturbations dont l'incidence est telle qu'elles rendent le retour à une situation normale à peu près impossible. Il s'agit surtout de portions de territoire où l'intensité et la répétition d'incendies ne permet plus à la station de reconstituer sa chronoséquence habituelle. C'est un phénomène très fréquent dans les régions depuis très longtemps peuplées, mais occasionnel dans le territoire étudié. Deux chronoséquences se distinguent à ce niveau: une dominante qui couvre l'ensemble du territoire et une sous-dominante liée non plus cette fois à des zones précises mais à des perturbations précises (feux intenses et répétés dans ce cas). Lorsque les données récoltées permettent de le faire, nous signalons les deux chronoséquences. Il faut, toutefois, bien comprendre que cette apparente exception à la règle ne modifie pas la définition théorique, à savoir qu'un type écologique possède une chronoséquence unique pour une perturbation identique.

Les chronoséquences sont présentées pour chaque région écologique dans un tableau. Ces chronoséquences se lisent de gauche à droite, c'est-à-dire que le premier type socio-écologique de végétation représente le premier stade reconnu après perturbation. Les flèches séparent chacun des stades. Lorsque deux ou trois types socio-écologiques sont assignés à un même stade, ils sont inscrits entre parenthèses, (), et séparés par un trait oblique, /. Le premier des deux TSEV est le plus fréquemment observé. Ainsi, on peut résumer la chronoséquence à sa plus simple expression en ne retenant que le premier TSEV de chaque parenthèse. Les crochets, , séparent des chronoséquences appartenant à deux étages de végétation. Ceci s'applique aux régions écologiques à l'intérieur desquelles se trouve un étage alpin. Dans ce cas, les premiers crochets correspondent à la chronoséquence dominante; la chronoséquence sous-dominante est à l'intérieur des seconds crochets. Les TSEV soulignés correspondent à des extrapolations d'un autre type écologique ou d'une autre région écologique. Finalement, lorsque le symbole d'une région écologique est ajouté au bout d'une chronoséquence, cela signifie que cette dernière est entièrement reprise de cette région.

3.4 LA VEGETATION DES REGIONS ECOLOGIQUES DU LAC MATAGAMI ET DU LAC CHIBOUGAMAU



Les régions écologiques des lacs Matagami et Chibougamau sont les deux régions les plus méridionales du territoire couvert par cette étude. Elles appartiennent au domaine des forêts claires et à la zone boréale (Ducruc et al., 1976). Elles sont bornées au sud par le 49 degré de latitude Nord, s'arrêtent au nord autour du 50 degré de latitude Nord, qui correspond à la limite entre la zone boréale et la zone subarctique, à l'ouest par la frontière

avec l'Ontario et à l'est entre le 73^e et le 74^e degrés de longitude Ouest. L'altitude moyenne est d'environ 300 m et varie entre 25 m dans la région du lac Matagami à 550 m dans celle de Chibougamau. Physiographiquement, les deux régions écologiques se distinguent clairement. La région du lac Matagami se caractérise avant tout par un relief plat à ondulé que lui confère les dépôts limono-argileux du lac pro-glaciaire Barlow-Ojibway. Les tills limono-argileux des réavancées glaciaires de Cochrane ainsi que des tourbières occupent la partie nord-ouest, tandis qu'au sud-est un plateau rocheux à relief moutonné est recouvert de placages de till et de sable. La région du lac Chibougamau contraste fortement par son relief ondulé à montueux, conféré par l'assise rocheuse, laquelle est recouverte de till en dépôt moyennement épais (30 à 300 cm).

La température moyenne annuelle se situe autour de 0°C; la moyenne des précipitations totales passe de 800 mm à l'ouest à 900 mm à l'est, tandis que les précipitations estivales (mai à septembre) sont d'environ 450 mm; la durée annuelle moyenne de la saison de croissance est d'environ 155 jours (Wilson, 1971).

3.4.1 LES GROUPES ECOLOGIQUES

Etablis à partir de 177 stations écologiques de référence et de 95 espèces, les 31 groupes écologiques sont présentés au tableau 5. Leurs profils écologiques sont présentés à l'annexe 2. Les 11 groupes écologiques les plus fréquents feront maintenant l'objet d'une description.

GE1: PINUS BANKSIANA(S)
P. banksiana(i)

L'analyse des profils de ce groupe révèle une préférence marquée pour:

- les sols excessivement drainés à bien drainés, généralement sans seepage,
- les peuplements jeunes, ouverts (espèce pionière),
- les textures moyennes à grossières.

En peuplement, cependant, l'amplitude écologique de ce groupe est plus restreinte. Il se limite surtout aux sables excessivement drainés (tableau 6).

GE4: CLADONIA RANGIFERINA
C. alpestris
C. mitis
Ptilidium ciliare

C'est un groupe d'assez large amplitude dont les profils révèlent quand même des préférences:

- hauts de pentes convexes,
- absences de seepage,
- humus pauvres (C/N élevé),
- peuplement ouvert et croissance des arbres lente.

En colonie, toutefois, ce groupe croît exclusivement sur les sols modérément bien drainés à excessivement drainés, sans seepage, et démontre une préférence pour les sables (tableau 7). C'est, toutefois, un groupe écologique très peu fréquent en peuplement pur. C'est avant tout un groupe d'espèces pionnières, consécutives à un incendie.

			1 1 1 1 1 1 1 1 1 1 1 1 1 1 1 1 1 1 1 1
			1 1 1 1 1 1
		•	1

Les groupes écologiques des régions écologiques du lac Matagami Tableau 5 et du lac Chibougamau. Chaque groupe écologique est nommé par l'espèce soulignée

			pece soulignee		, ,		
#	F.B. ¹	F. ²	NOM DES ESPECES	#	F.B.	F.	NOM DES ESPECES
1	As	62	Pinus banksiana(s)	18	nh	156	Pleurozium schreberi
1	Ai	7	Pinus banksiana(i)		nh	116	Ptilium crista-castrensis
1				1	nh	106	Dicranum polysetum
2	an	50	Alnus crispa	l	nh	87	Polytrichum commune
1	an	40	Salix humilis	1	nh	58	Dicranum fuscescens
1	lt 1-	13	Lycopodium clavatum Lycopodium complanatum	1	nh	31	Dicranum undulatum
1	lt.	12	nycopowium compianatum	19	1t	69	Equisetum sylvaticum
3	11	15	Cladonia gonecha	1,	lt.	59	Petasites palmatus
	11	13	Cladonia crispata	1		"	20 tab 1000 pasmasas
	1t	12	Epigaea repens	20	gr	22	Carex trisperma
1					lt	11	Smilacina trifoliata
4	li.	72	Cladonia rangiferina	1			
1	li	46	Cladonia alpestris	21	an	22	Amelanchier stolonifera
1	19	40 43	Cladonia mitis Ptilidium ciliare		Ai	20	Prunus pensylvanica(i)
1	nh	43	rillatum cillare	22	As	68	Betula papyrifera(s)
5	an	59	Amelanchier bartramiana	1 "	Ai	71	Betula papyrijera(s) Betula papyrijera(i)
1	an	20	Salix bebbiana	1	an	71	Sorbus decora
1				1	an	66	Viburnum edule
6	an	19	Lonicera villosa	I			
1	an	11	Salix pyrifolia	23	an	25	Acer spicatum
١.		ا م	F . 7 7 . 7 . 7		1t	27	Viola renifolia
7	ae	88 -	Ledum groenlandicum	1	1t	15	Actaea rubra
1 8		47	Sphaanum namonaum	24	1	18	Piana alawas(a)
1	sp sp	33	Sphagnum nemoreum Sphagnum robustum	4	As Ai	20	<u>Picea glauca</u> (s) Picea glauca(i)
	sp	13	Sphagnum recurvum			20	1 100a granca (v)
}	1t	12	Rubus chamaemorus	25	1t	57	Dryopteris spinulosa
	1t	11	Vaccinium oxycoccos		1t	54	Rubus pubescens
_	_			}	an	43	Rubus idaeus
9	1t	50	Lycopodium obscurum		lt	35	Streptopus roseus
1	an	38 18	Diervilla lonicera	1	1t	32	Viola incognita
1	nh	10	Brachythecium starkei	26	an	24	Commune etalonifora
10	As	78	Populus tremuloides(s)	40	an	21	Cornus stolonifera Ribes lacustre
1	Ai	49	Populus tremuloides(i)	1			
1	1t	59	Aralia nudicaulis	27	1t	28	Galium triflorum
	1t	47	Aster macrophyllus	1	1t	11	Pyrola asarifolia
1	1	ا رر ا	D21 1 1 - 1				
11	an lt	46 45	<u>Ribes glandulosum</u> Solidago macrophylla	28	As	76	Abies balsamea(s)
	an	11	Soliaago macrophylla Sambucus pubens		Ai	101 64	Abies balsamea(i)
1	an		samucus puveris		nh	04	Hylocomium splendens
12	1t	91	L inn aea borealis	29	1t	33	Goodyera repens
1	1t	88	Lycopodium annotinum		1t	22	Pyrola secunda
1	1				lt .	11	Listera cordata
13	an	30	Rosa acicularis				
1	gr	19	Cinna latifolia	30	1t	35	Dryopteris disjuncta
14		31	Cal amagnostis agrainais		lt	31	Mitella nuda
1 14	gr lt	21	<u>Calamagrostis canadensis</u> Fragaria virginiana	1	an	24	Ribes triste
1	"		Liagai oa voig entara	31	an	52	Alnus rugosa
15	1t	137	Cornus canadensis	"	a	ا عر	Torsao Tayoou
1	1t	123	Maianthemum canadense				COMPAGNES
	1t	103	Clintonia borealis		1t	53	Epilobium angustifolium
ł	1t	87	Coptis groenlandica	1	an	12	Nemopanthus mucronata
1	1t	81	Trientalis borealis	1	mh.	17	Rhytidiadelphus triquetrus
16	As	137	Piaca maniana(a)		mh 1-	13	Polytrichum juniperinum
1 10	As Ai	137	<u>Picea mariana(s)</u> Picea mariana(i)	1	1t	10	Pteridium aquilinum
1	1t	101	Gaultheria hispidula	1			95 espèces
				I	1)) especes
17	ac	140	Vaccinium angustifolium				nombre de relevés: 177
1	ae	78	Vaccinium myrtilloides	1	1		
1	ae	85	Kalmia angustifolia				
1	1t	16	Geocaulon lividum	1			
	<u></u>	L				<u></u>	

Forme biologique
 Fréquence

Types écologiques	AF1	SM1	DU1	AF23	SM23	SG23	AL23	TOTAL	
NR	1	3	1	12	4	13	63	NRT = 97	
NP	1	2	1	3	2	4	11	NPT = 24	
FR	1,00	0,66	1,00	0,25	0,50	0,33	0,17	FRT = 3,91	
FRN	26	17	26	6	13	8	4	100%	
						- * * * * * * * * * * * * * * * * * * *	<u></u>	<u> </u>	
drainage l _				-				GE1	
_		69%				31%		GE1 Pinus banksid	ana(s
_					3	31%	-	• 1	
_						31%		Pinus banksio	

Tableau 7 Répartition du GE4 parmi les types écologiques

Types écologiques	SM1	AF2	AL2	TC3	TA3	TOTAL	
NR	3	10	19	8	4	NRT = 44	
NP	2	1	1	3	1	NPT = 8	
FR	0,66	0,10	0,05	0,38	0,25	FRT = 1,44	
FRN	46	7	3	26	17	100%	
						GE4	
drainage 1_ 2_		· 1	.0%	,		GE4 Cladonia ro	ungiferina
drainage 1_ 2_			.0%	43	3%		lpestris
drainage 1_ 2_	46%		0%	. 43	3%	Cladonia ro Cladonia aí	lpestris Itis

GE7: LEDUM GROENLANDICUM

Les profils écologiques de Ledum groenlandicum révèlent que cette espèce croît généralement:

- sur les terrains plats, imparfaitement drainés à mal drainés,
- sur des humus faiblement décomposés (C/N élevé),
- avec de vieilles forêts ouvertes, basses et peu productives.

En colonie (tableau 8), cette espèce semble plus favorisée par les sols limoneux, imparfaitement drainés à mal drainés.

GE8: SPHAGNUM NEMOREUM
S. robustum
S. recurvum
Rubus chamaemorus
Vaccinium oxycoccos

Ces espèces caractérisent avant tout les sols organiques, mais débordent fréquemment sur les sols minéraux à drainage lent. Dans ces conditions elles sont indicatrices:

- d'un drainage imparfait à mauvais,
- d'une absence de seepage,
- d'un humus très mal décomposé,
- de vieux peuplements très ouverts à croissance lente.

En colonie dense, ce groupe écologique est alors totalement éliminé des sols modérément bien drainés à bien drainés et des stations enrichies par le seepage (tableau 9).

GE10: POPULUS TREMULOIDES(S)
P. tremuloides(i)
Aralia nudicaulis
Aster macrophyllus

C'est un groupe écologique fréquent dont les profils révèlent les caractéristiques écologiques suivantes:

- drainage bon à modérément bon,
- indifférent au seepage,
- humus bien décomposé à moyennement bien décomposé,
- forêts claires à croissance très rapide.

Tableau 8 Répartition du GE7 parmi les types écologiques

Types écologiques	AF23	SM23	AL23	TC23	TA23	SV4	AL4	TC4	AL5	TOTAL	
NR	10	4	63	8	10	2	9	3	5 .	NRT = 114	
NP	2	1	6	4	4	2	3	3	4	NPT = 29	
FR	0,20	0,25	ა,10	0,50	0,40	1,00	0,33	1,00	0,80	FRT = 4,58	
FRN	4	5	2	11	9	22	7	22	17	100%	
									_ 17%	Ledum groenl	anareu
			1	31%			ب				
sables limons											

Tableau 9 Répartition du GE8 parmi les types écologiques

Types écologiques	SV4	TC4	AL4	AL5	TR5	TOTAL	
NR	2	3	9	5	2	NRT = 21	
NP	1	1	6	2	2	NPT = 12	
FR	0,50	υ,33	0,66	0,40	1,00	FRT = 2,89	
FRN	17	11	23	14	35	100%	
drainage 4 _ 5 _				4	9%	GE8 Sphagnum nem Sphagnum rob	
seepage: 0%						Sphagnum red Rubus chamae	
limons			_ 48%			Vaccinium ox	rycoccos
loams					35%	1	

En peuplement, par contre, l'amplitude écologique est plus restreinte (tableau 10). C'est un groupe exclusif aux sols bien drainés à modérément bien drainés, sans seepage. Ce groupe est particulièrement favorisé par les textures fines et les tills dolomitiques (loams calcaires).

GE15: CORNUS CANADENSIS

Matanthemum canadense
Clintonia borealis
Coptis groenlandica
Trientalis borealis

C'est un groupe très fréquent (présent dans 77 p. 100 des relevés de végétation). Cette fréquence se traduit évidemment par des profils aplatis. On remarque cependant une préférence pour les sols bien drainés à modérément drainés et les peuplements à croissance rapide.

Tableau 10 Répartition du GE10 parmi les types écologiques

Types écologiques	AF23	SG23	TC23	AL23	X2	TOTAL	
NR	12	13	9	63	4	NRT = 101	
NP	3	4	2	20	3	NPT = 32	
FR	0,25	0,31	0,22	0,32	0,75	FRT = 1,85	
FRN	14	17	12	17	41	100%	
drainage 2-3			_ 100%			GE10 Populus trem Populus trem Aralia nudic	uloides(i

En colonie cette préférence est plus marquée, puisque ce groupe croît exclusivement sur les sols bien drainés à modérément bien drainés, avec ou sans seepage (tableau 11).

GE16: PICEA MARIANA(S)
P. mariana(i)
Gaultheria hispidula

L'analyse des profils écologiques démontre que l'épinette noire est ubiquiste avec, toutefois, une fréquence légèrement plus grande sur les sols à drainage lent. Cette impression d'ubiquité est toutefois différente lorsque l'on considère cette espèce en peuplements (tableau 12). En effet, près de la moitié des relevés indiquent que ces peuplements sont cantonnés aux sols à drainage imparfait ou mauvais, et dans 86 p. 100 des cas, sans seepage.

Tableau 11 Répartition du GE15 parmi les types écologiques

Types ccologiques	AF23	SG23	AL23	TC23	X23	TA23	S23*	Т3*	X2*	TOTAL	
NR	12	13	63	9	7	5	2	5	2	NRT = 118	
NP	5	6	23	4	7	2	2	3	2	NPT = 54	
FR	0,42	υ,46	0,37	0,44	1,00	0,40	1,00	0,60	1,00	FRT = 5,69	
	I		7	8	18	7	18	11	10	100%	
FRN	7	8	1		L	! /	110	11	18	100%	
drainage 2-3 seepage					_ 100%			_ 47%	18	GE15 Cornus canad Maianthemum Clintonia be	canadens orealis

Tableau 12 Répartition du GE16 parmi les types écologiques

Types ēcologiques	AL1	AF23	SM23	SG23	T23	х3	AL23	TC23	SV4	TC4	AL4	AL5	TR5	TA3*	AL5	TOTAL	
NR	3	12	4	13	11	3	63	9	2	3	9	5	2	2	4	NRT == 145	
NP	1	6	3	10	8	1	24	9	2	3	9	4	2	2	2	NPT = 86	
FR	0,33	0,50	0,75	0,78	J,73	0,33	0,38	1,00	1,00	1,00	1,00	0,80	1,00	1,00	0,50	FRT = 11,1	
FRN	3	5	7	7	7	3	3	9	9	9	9	7	9	9	5	100%	
														48%		Picea mariana(s Picea mariana(i Gaultheria hisp)
											-				14%	, •	
seepage																	

GE 18: PLEUROZIUM SCHREBERI
Ptilium crista-castrensis
Dicranum polysetum
D. fuscescens
D. undulatum
Polytrichum commune

Présent dans près de 90 p. 100 des stations écologiques de référence, ce groupe se trouve donc, avec une plus ou moins grande abondance, dans toutes les conditions écologiques considérées dans ce travail, ce qui transparaît clairement à la lecture des profils. Par contre, cette image se modifie nettement à l'observation du tableau 13, justifiant ainsi la distinction faite entre le groupe de l'épinette noire (GE 16) et celuici. En effet, tout en restant indifférent à la texture, le groupe de Pleurozium schreberi préfère à 90 p. 100 les sols bien drainés à modérément bien drainés contre 49 p. 100 pour l'épinette noire, et le seepage à 42 p. 100 contre 14 p. 100 pour l'épinette noire.

GE 22: BETULA PAPYRIFERA(S)

B. papyrifera(i)

Sorbus decora

Viburnum edule

C'est un groupe de milieu relativement riche:

- pentes moyennes à fortes,
- drainage bon et légère préférence pour le seepage,
- forêts fermées de croissance rapide.

Cette interprétation reste valide lorsque ce groupe écologique est considéré en peuplement (tableau 14).

GE25: DRYOPTERIS SPINULOSA
Rubus pubescens
R. idaeus
Streptopus roseus
Viola incognita

Ce groupe est un bon indicateur de stations riches, quoique son amplitude écologique est relativement large:

- drainage bon à imparfait,
- préférence pour le seepage,
- humus bien décomposé,
- texture fine,
- stations à croissance forestière très rapide.

Tableau 13 Répartition du GE18 parmi les types écologiques

Types écologiques	AF23	SM23	SG23	TA23	тс3	AL23	AL4	TC4	SR2*	X2*	TA3*	TOTAL	
NR	12	4	13	11	8	63	9	3	2	1	2	NRT = 128	
NP	7	3	6	7	4	23	3	1	2	1	2	NPT = 59	
FR	0,58	0,75	0,46	0,64	0,50	0,37	0,33	0,33	1,00	1,00	1,00	FRT = 6.96	
FRN	8	11	7	9	7	5	5	5	14	14	14	100%	
				L								GE18	
drainage 2-3 4 _								00%				Pleurozium	schreberi sta-castrensi:
							1			42%		Pleurozium	sta-castrensi
4 _seepage							1					Pleurozium Ptilium cri	sta-castrensi. lysetum
4 _						40%	1					Pleurozium Ptilium cri Dicranum po	sta-castrensi lysetum commune

Tableau 14 Répartition du GE22 parmi les types écologiques

Types ecologiques	AF2	SM23	SG23	TA23	x23	AL23	тсз	AL4	AV3*	AM23*	таз*	TP45*	TOTAL	
NR	10	4	13	5	7	63	8	9	1	1	3	1	NRT = 125	
NP	2	1	2	2	2	11	2	1	1	1	2	1	NPT = 28	
FR	0,20	0,25	0,15	0,40	0,29	0,17	0,25	0,11	1,00	1,00	0,55	1,00	FRT = 5.48	
FRN	4	5	3	7	5	3	5	2	18	18	12	18	100%	
4-5											6%		Betula papy. Betula papy. Sorbus deco:	rifera(i)
sables				,						T	•		Viburnum ed	
SUNTER														
loams														

En colonie, ce groupe est plus exigeant et devient avant tout indicateur des sols bien à modérément bien drainés avec seepage (tableau 15).

Tableau 15 Répartition du GE25 parmi les types écologiques

Types écologiques	AL23	AL4	AV3*	AL3*	AL5*	TOTAL	
NR	63	9	1	2	4	NRT = 79	
NP	11	1	1	1	1	NPT = 15	
FR	0,17	0,11	1,00	0,50	0,25	FRT = 2,03	
		1_	1.0	0.5	110	1007	
FRN		5	49	25	12	100%	
drainage 2-3		83%				GE25 Dryopteris Rubus pubes	-
drainage 2-3	3 5	83%				GE25 Dryopteris	ecens us

GE28: ABIES BALSAMEA(S)
A. balsamea(i)
Holycomium splendens

C'est un groupe indicateur de milieux riches, mais de moindre exigence que le groupe précédent (GE25):

- sols imparfaitement drainés à modérément bien drainés,
- légère préférence pour le seepage,
- légère préférence pour les sols à texture fine,
- stations à croissance rapide.

En peuplement (tableau 16), on remarque un déplacement vers les sols bien drainés à modérément bien drainés avec seepage.

3.4.2 LES TYPES SOCIO-ECOLOGIQUES DE VEGETATION

Outre les friches, les brûlis et les parterres de coupe, la végétation des régions écologiques des lacs Matagami et Chibougamau se répartit en sept formations végétales qui se divisent en 25 groupements et 19 sous-groupements pour donner 38 types socio-écologiques de végétation (tableau 17), dont on présente en annexe 13 le tableau synthétique de niveau 2 (tableau 18) et le tableau synthétique de niveau 3 (tableau 19).

3.4.2.1 LES PINEDES A PIN GRIS (tableaux 18, 19, 20)

GED ³: Pinus banksiana (GE1)

Remarque: Les pinèdes à pin gris sont des forêts essentiellement pionnières après feu. On les rencontre surtout sur les sables bien drainés à excessivement drainés, mais aussi sur les argiles lacustres. Elles sont généralement peu compétitives sur les stations enrichies par le seepage. Dans l'ensemble, la croissance en hauteur est rapide.

On distingue six groupements (tableau 20):

I. GROUPEMENT à Cladonia mitis (PG-cm)

GED: Cladonia rangiferina (GE4)

Structure: forêt très ouverte, basse

Dépôts: sable

Drainage: excessif Croissance: modérée

Remarque: C'est le groupement le moins productif parmi les pinèdes. Le groupe écologique de Vaccinium angustifolium (GE17) est

également différentiel.

^{3.} GED: Groupe écologique diagnostique

Tableau 16 Répartition du GE28 parmi les types écologiques

Types é cologiques	AF23	SM23	X23	AL23	AL4	AV3*	AM23*	x2*	TA3*	AV4*	TOTAL	
NR	12	4	7	63	9	1	1	2	5	1	NRT = 105	
NP	4	1	4	10	3	1	1	2	3	1	NPT = 30	
FR	0,33	0,25	0,57	0,16	υ,33	1,00	1,00	1,00	0,50	1,00	FRT = 6,24	
	8	I	I .	1 .	1	. 1	I	1 -			4	
FRN drainage 2-3	5	4	9	3	5 79%	16	16	16	10	16	100% GE28	
drainage 2-3	5				79%		16	16		16	100%	nea(i)
drainage 2-3	5						16	16		16	100% GE28	nea(s

```
1. FRICHES: FR..... 1. FR
2. BRULIS: BR
  2.1. Vaccinium angustifolium : -va........................... 2. BR-va
  3. COUPE: CT...... 6. CT
4. PINEDES A PIN GRIS: PG
  4.1. Cladonia mitis
                      : -cm..... 7. PG-cm

      4.3. Pleurozium schreberi
      : -alc
      8. PG-alc

      4.4. Populus tremuloides
      : -m
      9. PG-m

      4.5. Betula papyrifera
      : -bp
      11. PG-bp

      4.6. Alnus rugosa
      : -alr
      12. PG-alc

                      : -alc..... 8. PG-alc
  4.2. Alnus crispa
                      : -alr......12. PG-alr
5. TREMBLAIES: TR
  5.2.1. Pteridium aquilinum : -pa......15. TR-dl-pa
  5.5. Rubus pubescens
5.6. Abies balsamea
                      : -rp......18. TR-rp
                      : -sb......19. TR-sb
                       5.7. Alnus rugosa
6. BETULAIES A BOULEAU BLANC: BB
  6.1. Typique
                       6.1. Abies balsamea
                       : -sb......22. BB-sb
7. PESSIERES A EPINETTE NOIRE: EN
      7.1. Cladonia alpestris
  7.2. Pleurozium schreberi
  : -lg......32. EN-s-lg
      7.4.1. Ledum groenlandicum
                       : -alr......33. EN-alr
   7.5. Alnus rugosa
8. SAPINIERES: SB
  : -as......41. SB-eb-as
      8.3.3. Hylocomium splendens : -hs................42. SB-eb-hs
9. PESSIERES A EPINETTE BLANCHE: EB
                        9.1. Abies balsamea
10. AULNAIES A AULNE GRIS: ALR ......44. ALR
```

Tableau 19 Tableau synthétique de niveau 3 des types socio-écologiques de végétation des régions écologiques du lac Matagami et du lac Chibougamau

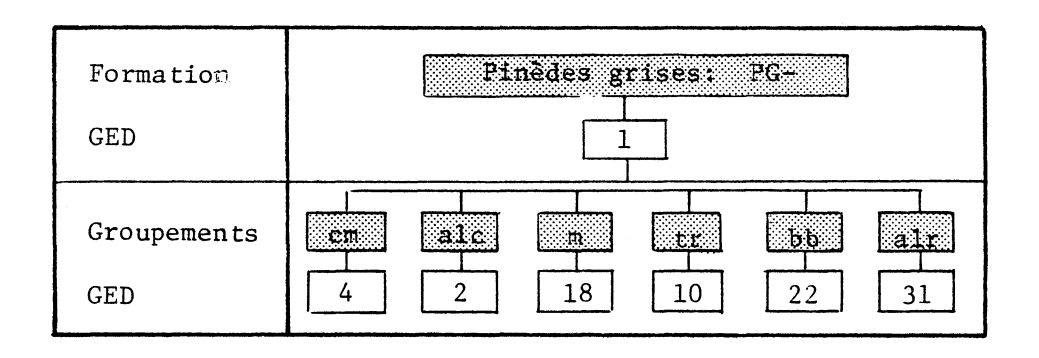
Type socio-écologique le végétation	æ	BR-ve	BR-cm	BR-alc	BR-elr	CI.	PG-cm	PC-alc	PC-	PG-tr	94-54 12	ro-arr	TK-BLC	TR-d1-pa	TR-en	TR-as	TK-TP	18-€0	TR-alr	28-t	EN-Ca	EN-m-t	EN-m-pg	EN-m-18		EN-sb-t	EN-sb-s	EN-8-t	EN-4-18		SB-66-eb	SB-bb-al	SB-bb-da	SB-bb-	SB-bb-as	SB-eb-m	SB-eb-as	SB-eb-hs	EB-sb
iombre de relevés	4	3	1	1 4	1 5	1 6		- 1		1 10	1 1	- 1	3 5	1 4 15	8	3	1 1		7 20	7 21 2	7 4 22 2:		3 25	13 26	5 2 27 2		2 9 30	3 31				_	1 6 37		2 39	5	2 41	- 1	1 43
CARACTERISTIQUES ECOLOGIQUES			T					1	1	1	1		1				$ \cdot $			\dagger	1	\dagger	d-1000000000000000000000000000000000000			1			\dagger	T	+						-	7	
Orainage	3	2-3	2	2	3	3	1	2	2-3	3	3	3-4	2-3	. 1	2-3	2-3	à	2-3	3	3	2-3 3	2-	-32	3	3 4	4	4	5 1	-5 5	2	-3 3	3	4	3	2-3	2-3	3 2-3	4	3
eepage	0	0	0	0	0	0	0				1 0	,	0 0	0	0	0					0 0	- 1	0	0	0 0	1	0	0-1			-0 0								1
argile, limon et sable tr. fin	97	35	98	99	99	85	34	- 1				92	95 6	2 80	64	69	98	67	82	67	71 6	6 60	70	68	83 9	0 6	6 95	66	- 1		3 54					1	7-8		42
Force de la pente (%)	2	3	2	2	2		3		- 1		15		0		2	17				17					1 1			1	- 1						9	L .	7		0
Forme de la pente	- X-R		x	R	R	x	R-X		- 1			- 1	- 1	ı x	X-R			1		X-R				X-R				1	1	- 1	-R X					1			
Altitude (x100 pi)	10	12	1	ro	10		10				- 1		1	2 10			1 1			10		- 1			9 1			14				C 3 1					X-C		R 1
·			F	F				c		c				1 B	В	c	В					- 1	C		CC			c	- 1		- 1			B					
Densité du peuplement	P	F	1	1 4	7	!	D						- 1		1		1 1									1									C				- 1
lauteur du peuplement	5	5	5	5	5	5	3		- 1		2				2	1	1 1				2 3				2 2			3		. 2				. *					2
Type écologique synthétique	A3	T2	A2	A2	A3	А3	Sl	A2	523	A3	T3	A 3	A2 /	2 A1	\$23	A3	A3	A3	A3	A3 :	S23 T	3 A:	3 A2	A3	A3 A	4 S	4* A4	TR5	^) s	23 1	3 T.	3 TP	4 S3	Т3	A3	X2*	S4	\$3
ROUPES ECOLOGIQUES													İ																										
. Pinus banksiana(s)				1	.		м	и	20	1	1		_		1.	1	.	.	.]		. .	.				١.			٠ .	1	١.			1	. 1	١.		.	
. Alnus crispa		1	١.	20	.	١. ا			. 1	. T	. Т	_		. 1		1	1. 1		.]	. 1	. 1.	١.				1		١.	. 1.	1.	١.				1	١.		. 1	
. Cladonia gonecha		١.	1			١. ١	۱. ا		.	. 1	.	. [١.	١.	١. ١	١. ا	. 1	.	. lı	١.				Ι.					- 1				- 1	1	-	1	•
. Cladonia alpestris			17	1 1			16		1							۱.	1.1	.	. 1		. 1	a .		1		Ι.		1	. i	-1	1		•	-	.	١.	•	٠.	
. Amelanchier bartramiana	Ī	1	1	1		-			. 1					. 1	1	1	Ш	.				≅ ∦ :		Ī		Ι.		1	. 3	1	Ι.	•	•	•	. 1		•	٠.	•
. Lonicera villosa			2		8						.					1.	Ш									Ι.	•	l .		- 1	1.	•	•	•			•	.	•
. Ledum groenlandicum		11	1		۳			ı	2		i	2			1	1.		1	1		. 1	1		36	1 2	. 1	2	2	222	5	Ι.		•		. 1	١.	•	٠ ا	•
3. Sphagnum robustum			-					-	. 1	1	' }	.	1		1	1	1.1	.		1	. 1	***		6223		1		(Constant	٦ (آ	- 1	Ι.	٠	•	•	. 1	1	•	٠.	•
Diervilla lonicera		Ι΄.	1.	i	•		١ . ا	1		.		٠ ا	. 1	7 23	1 :	2	1. 1	1	.	2	i I.	1.	•	٠	. [네.	10		24 °	- 1	rī.	¬ .	•	•	: 1	1:	•	٠ ا	•
). Populus tremuloides(s)	1	i		1	1	1	١ . ا	1	- 6		i			A A	-	1	1	10	124	- 1	i	1.	÷	•	•	1:	•		٠١.	- 1	Ľ	<u>.</u> .	•	•	- 1	1	•	٠ ا	٠
•	•	1	1:	1		1	. [1			- 1					122		_	2	-	٠ ۱.	1.	•	•	•	13	٠.		. [:	1	1.	1	•	•	1	1	1	1	1
, *	٠	·	1	1			.		- 1	1		: 1	٠,		1:	1:	1	:	- 1	:	: 1:	1.	•	•	•	1.	•	١.	. 1		.	1	•	٠	. !		•	.	
2. Linnea borealis						3		1	.	1	- 1	7	.	3 3	3	1	1	2	.	-	4 .	١.	1	•	١.	3	٠.	٠	· ·	1	3	3	1	1	4	1	1	٠ ا	1
3. Rosa acicularis	ا ت	٠.		1	33	·	•	.	.		.	1	.		1.		$ \cdot $		•	•		1			. 1		.			•	. !			.	
	8	·	1	8			-	. [.		.		2				1 . 1		2	.	. .	1.	٠		٠.	-	•		. 1	1.	.				- 1			. [٠
5. Cornus canadensis		1	1	•		الكا		2	- 6		- 1	٠	1		5	2	2	4		- 1	نم 3	1.	2	1	3		3	1	2	4	. 4	3	2	4	1	5	3	3	4
6. Picea mariana(s)		6	5	-		1	2	2	-	19	1	6	-	1 2	•		1 1	2		5	4	1 2	1 14		16	6 1	8 13		u	ا إل	. 1	0 2	5	8	. !	1		1	
7. Vascinium angustifolium		12	1	4		1	14	1	4	4	1	1	.	1.	1		-	2	.	1	. 1	۱Ŀ	2		2 1	_ 1 .	1	2	4 1	ـ ا	_ 1	1		<u>.</u>	!	<u>.</u>		.	
8. Pleurozium schreberi		6	1	.		[ت	3	5	13	4	1	4	.	1.	3		1	8	.	2	2 5	1	4 16	12	11 1	3 3	5	1	3 3	- D	Q 3	2	3		11	10	3	1	
. Equisetum sylvaticum	2		1	2						2	.	1	.				3		1	.	. .				٠.	1	2	1	1 9		٦.				.)			2	
). Carex trisperma		١.	١.]	1				-	1		2 .	١.	١.				. 1			. 1	
1. Amelanchier stolonifera		2	١.	١. ا		١. ١	. 1			١.	١.	١. ا		. 1 ,	١.		١.	. І.	Ι.	١.				. 1	١.		. 1	
2. Betula papyrifera(8)		١.	١.	١. ا	.	4 1	11	.	2	5 4	١.	3	3	1	. 1	164	11	١.		٠. (4] .	١.			. 11	ı,		- 3	s	· ·	3	2	2	1	4
3. Acer spicatum			١.			: 1	- 1	ι.	١.	24	1 . 1		٠. ١		3 .	١.				T.			. .	- 1	1-	1			-		****	- 1	6
. Picea glauca(s)		١.	١.	1.1		.	:		.		.	. 1 1	. 1.					T.		l .	. .	- 1	Į.		:	•	623	C	ij.		(33)
5. Dryopteris spinulosa			L					1		1	. lr	5	4			1	2		3	1	. [. '	- [,			. 2		172		1	1 .	1	<u> </u>	<u>,</u>		Ľ3
. Cornus stolonifera			L	1.1					- 1		- 1-	-				1					. 1	1				١			. 2		Ι.	•	1.0	3	- 1	١.			15
. Galium triflorum		١.	1	1.1	.				:1		1	- 1	i		1:	1:			il			1.	•			Ι,	•	١.	. 1		Ι.	•	•	•	٠, ا	١.			_
3. Abies balsamea(s)	•	Ι΄	1.		.	2		.	.		i	i	- 1	1 .	1:	1:	1	19	1	1	11	1.	•	1	آ	Ġ	1 9				- :	<u> </u>	· ·		ابنح	-			1
			1	.	.	'		.	.	.	•	٠,	.	• •	1	Ι.	1 1	L23		. 1			•	•		E	1 9		٠ ٠		-	4 1	9 25		1.2	10	***************************************		19
, ,	•	١.	1.				•	.	.	.		٠	.		.	1.	•	.	.	.	٠ :	Ι.	•	•	٠.	1.	٠		٠ ٠		- 1	•	٠	•	.]		_	_1	<u>.</u>
0. Dryopteris disjuncta	•	١.			ان		•	.	. [:	.	است	.		1.	1:	•		ان	٠	•	٠.	3			. 2		1	_			1		1	6	6
1. Alnus rugosa Pteridium aquilinum	1	١.	1.	1	88	•	$ \cdot $.	. [1	_ 1 \	5\$.		١.	2	•	1	ᄺ	.	· [·	1.	•	1	. 4	1	15		. 3	8		1	된 .		.	١.		1	
Pteridium aquilinum			1 .	1 . 1			١.١		.	· 11	38	.	.	3		1	1 . 1	. 1	. 1	. 1	. 1 .	٠ .				١.		١.	. .	1.	١.					١.			

Groupe écologique ou espèce diagnostique

de la formation du sous-groupement
du groupement de la forme

autres espèces importantes

Tableau 20 Groupes écologiques diagnostiques des pinèdes à pin gris



II. GROUPEMENT à Alnus crispa (PG-alc)

GED: Alnus crispa (GE2)

Structure: forêt ouverte, haute Dépôts: argile lacustre et sable

Drainage: bon

Croissance: très rapide

III. GROUPEMENT à mousses (PG-m)

GED: Pleurozium schreberi (GE18)

Structure: forêt ouverte (à claire), basse (à haute)

Dépôts: sable et argile lacustre Drainage: bon à modérément bon

Croissance: rapide

Remarque: C'est le groupement le plus fréquent parmi

les pinèdes.

IV. GROUPEMENT à peuplier faux-tremble (PG-tr)

GED: Populus tremuloïdes (GE10) Structure: forêt ouverte, haute

Dépôts: argile lacustre Drainage: modérément bon Croissance: très rapide

Remarque: C'est un groupement très marginal.

V. GROUPEMENT à bouleau blanc (PG-bb)

GED: Betula papyrifera (GE22)

Structure: forêt claire, haute

Dépôts: till

Drainage: modérément bon avec seepage

Croissance: non observée

Remarque: C'est un groupement très marginal. Ces

stations sont généralement colonisées par

des bétulaies à bouleau blanc.

VI. GROUPEMENT à Alnus rugosα (PG-alr)

GED: Alnus rugosa (GE31)

Structure: forêt très ouverte, très haute

Dépôts: argile lacustre

Drainage: modérément bon à imparfait

Croissance: très rapide

3.4.2.2 LES TREMBLAIES (tableaux 18, 19,21)

GED: Populus tremulotdes (GE10)

Remarque: Il existe une formation très importante dans ces deux régions écologiques. La tremblaie est ici à son maximum de développement. La fréquence de ces forêts diminuera très rapidement en allant vers le nord. C'est une formation pionnière qui s'installe non seulement après feu, mais surtout après coupe et sur les terres laissées en friche. A l'encontre des pinèdes qui colonisent d'abord les sables, puis les argiles, la tremblaie est avant tout liée aux argiles lacustres. On distingue sept groupements et deux sous-groupements qui définissent huit types socio-écologiques de végétation (tableau 21).

Formation Tremlaies: TR-GED 10 Groupements alc d1 en sb as: alr GED 28 9 16 23 31 Sous-groupements рa GED

Tableau 21 Groupes écologiques diagnostiques des tremblaies.

I. GROUPEMENT à Alnus crispa (TR-alc)

GED: Alnus crispa (GE2)

Structure: forêt claire, haute

Dépôts: argile lacustre

Drainage: bon à modérément bon

Croissance: rapide

II. GROUPEMENT à Diervilla lonicera (TR-d1)

GED: Lycopodium obscurum (GE9)

Remarque: On reconnaît deux sous-groupements:

1. Sous-groupement typique (TR-d1-t)

GED: aucun

Structure: forêt claire, haute

Dépôts: argile lacustre et till dolomitique

Drainage: bon

Croissance: rapide

2. Sous-groupement à Pteridium aquilinum (TR-d1-pa)

GED: Pteridium aquilinum (c)

Structure: forêt claire, très haute

Dépôts: argile lacustre

Drainage: excessif

Croissance: très rapide

III. GROUPEMENT à épinette noire (TR-en)

GED: Picea mariana (GE16)

Structure: forêt claire, haute Dépôts: sable et argile lacustre Drainage: bon à modérément bon

Croissance: rapide

IV. GROUPEMENT à Acer spicatum (TR-as)

GED: Acer spicatum (GE23)

Structure: forêt ouverte, très haute

Dépôts: argile lacustre Drainage: modérément bon Croissance: très rapide

V. GROUPEMENT à Rubus pubescens (TR-rp)

GED: Dryopteris spinulosa (GE25)

Structure: forêt claire, haute

Dépôts: argile lacustre Drainage: modérément bon Croissance: très rapide

VI. GROUPEMENT à sapin (TR-sb)

GED: Abies balsamea (GE28)

Structure: forêt ouverte, haute Dépôts: sable et argile lacustre Drainage: bon à modérément bon

Croissance: très rapide

VII. GROUPEMENT à Alnus rugosa (TR-alr)

GED: Alnus rugosa (GE31)

Structure: forêt claire, haute

Dépôts: argile lacustre Drainage: modérément bon

Croissance: modérée

3.4.2.3 LES BETULAIES A BOULEAU BLANC (tableaux 18, 19)

GED: Betula papyrifera (GE22)

Remarque: Moins fréquente que la tremblaie, la bétulaie à bouleau blanc est toutefois plus abondante dans la région écologique de Chibougamau, alors que la tremblaie domine dans la région du lac Matagami. Il ne faut cependant pas y voir uniquement une discrimination climatique, car ces deux régions se distinguent aussi géomorphologiquement; la région du lac Matagami se caractérise surtout par les argiles lacustres du lac Barlow-Ojibway, tandis que les tills couvrent la majeure partie de la région du lac Chibougamau. On reconnaît deux groupements:

I. GROUPEMENT typique (BB-t)

GED: aucun

Structure: forêt claire, haute Dépôts: argile lacustre et sable

Drainage: modérément bon

Croissance: rapide

II. GROUPEMENT à sapin (BB-sb)

GED: Abies balsamea (GE28)

Structure: forêt claire, haute

Dépôts: sable

Drainage: bon à modérément bon

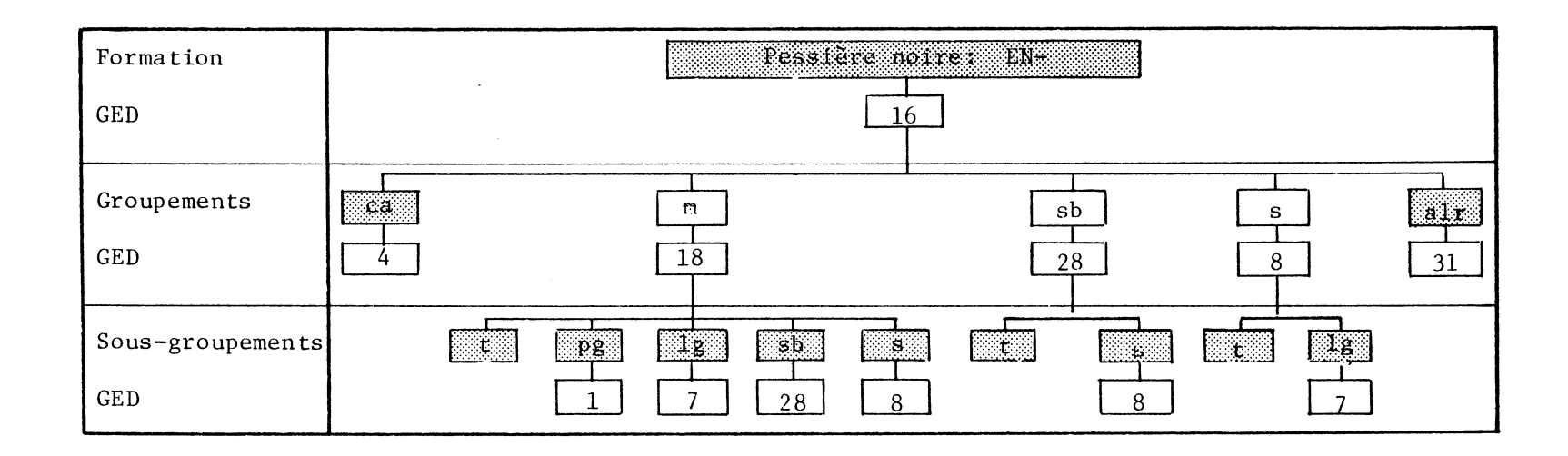
Croissance: rapide

3.4.2.4 LES PESSIERES A EPINETTE NOIRE (tableaux 18, 19, 22)

GED: Picea mariana (GE16)

Remarque: C'est la formation la plus importante de ces régions écologiques. Elle colonise les sols bien drainés jusqu'aux sols mal drainés avec un optimum sur les sols modérément bien drainés. Ce sont la plupart du temps des peuplements stables. On reconnaît cinq groupements et neuf sous-groupements qui définissent onze types socio-écologiques de végétation (tableau 22).

Tableau 22 Groupes écologiques diagnostiques des pessières à épinette noire



1. GROUPEMENT à Cladonia alpestris (EN-ca)

GED: Cladonia rangiferina (GE4)

Structure: lande boisée, basse

Dépôts: till de Cochrane Drainage: modérément bon

Croissance: rapide

Remarque: Ce sont des forêts qui poussent sur des terrains où des incendies très intenses ont
provoqué une régression dynamique. Ces forêts évolueront donc très lentement vers
des groupements plus stables.

II. GROUPEMENT à mousses (EN-m)

GED: Pleurozium schreberi (GE18)

Remarque: La pessière à mousses représente 70 p. 100 de l'ensemble des pessières. C'est un groupement stable qui colonise généralement les sols modérément drainés à bien drainés. On distingue cinq sous-groupements:

1. Sous-groupement typique (EN-m-t)

GED: aucun

Structure: forêt claire, haute Dépôts: argile lacustre et sable Drainage: modérément bon à bon

Croissance: très rapide

2. Sous-groupement à pin gris (EN-m-pg)

GED: Pinus banksiana (GE1)

Structure: forêt ouverte, basse

Dépôts: argile lacustre

Drainage: bon

Croissance: très rapide

Remarque: Ce sont de jeunes forêts (50 ans) évoluant vers la pessière à mousses typiques. 3. Sous-groupement à Ledum groenlandicum (EN-m-1g)

GED: Ledum groenlandicum (GE7) Structure: forêt ouverte, haute

Dépôts: argile lacustre Drainage: modérément bon

Croissance: rapide

Remarque: La pessière à mousses et Ledum groenlandicum représente, probablement, un stade de dépérissement de la pessière à mousses typique. Ces deux sous-groupements colonisent exactement les mêmes stations; l'âge moyen du premier est de 65 ans et celui du second de 120 ans. Ainsi, quand la pessière à mousses commence à s'ouvrir, le Ledum envahit progressivement le parterre.

4. Sous-groupement à sapin (EN-m-sb)

GED: Abies balsamea (GE28)

Structure: forêt ouverte, haute

Dépôts: argile lacustre Drainage: modérément bon Croissance: très rapide

Remarque: Le sapin atteint rarement l'étage supérieur du peuplement. Il se maintient surtout au niveau arbustif (moins de 3 m de hauteur).

5. Sous-groupement à sphaignes (EN-m-s)

GED: Sphagnum robustum (GE8)

Structure: forêt ouverte, haute

Dépôts: argile lacustre

Drainage: imparfait

Croissance: très rapide

III. GROUPEMENT à sapin (EN-sb)

GED: Abies balsamea (GE28)

Remarque: C'est un groupement peu fréquent, auquel on reconnaît deux sous-groupements:

Sous-groupement typique (EN-sb-t)

GED: aucun

Structure: forêt claire, basse

Dépôts: sable sur argile

Drainage: imparfait avec seepage

Croissance: très rapide

2. Sous-groupement à sphaignes (EN-sb-s)

GED: Sphagnum robustum (GE8)

Structure: forêt très ouverte, haute

Dépôts: argile lacustre

Drainage: imparfait

Croissance: très rapide

IV. GROUPEMENT à sphaignes (EN-s)

GED: Sphagnum robustum (GE8)

Remarque: Ce groupement recouvre les sols imparfaitement drainés à mal drainés. On distingue

deux sous-groupements:

1. Sous-groupement typique (EN-s-t)

GED: aucun

Structure: forêt ouverte, basse

Dépôts: till très mince

Drainage: mauvais Croissance: modérée

2. Sous-groupement à Ledum groenlandicum (EN-s-lg)

GED: Ledum groenlandicum (GE7) Structure: forêt ouverte, basse

Dépôts: argile lacustre

Drainage: imparfait à mauvais

Croissance: rapide

V. GROUPEMENT à Alnus rugosa (EN-alr)

GED: Alnus rugosa (GE31)

Structure: lande boisée, basse

Dépôts: argile lacustre

Drainage: mauvais avec seepage

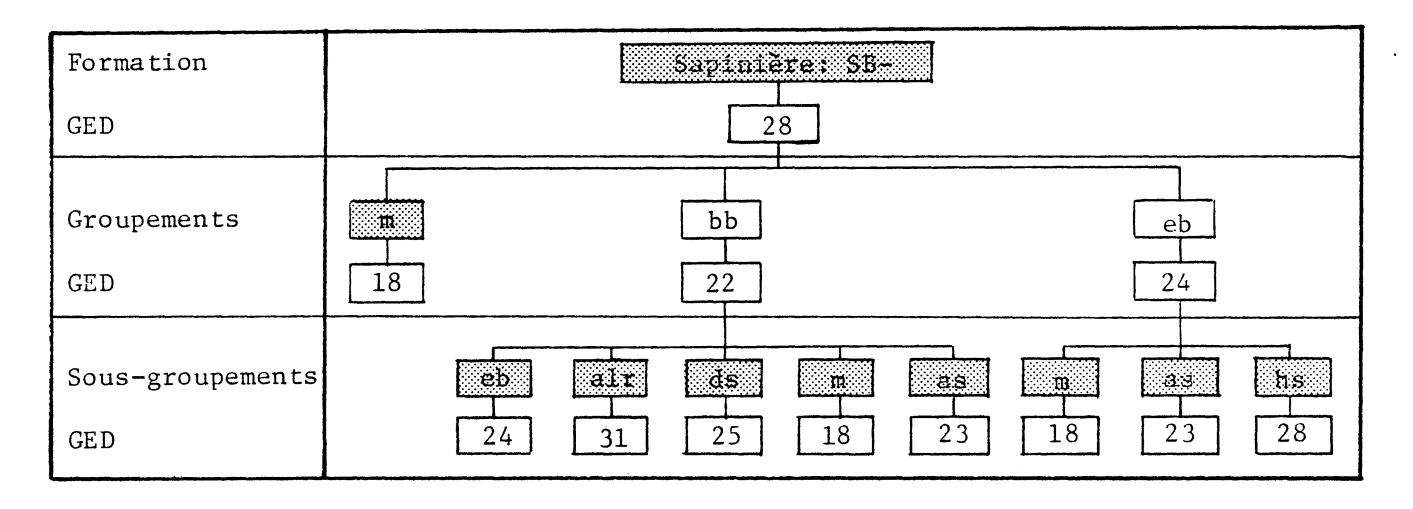
Croissance: non observée

3.4.2.5 LES SAPINIERES (tableaux 18, 19, 23)

GED: Abies balsamea (GE28)

Remarque: D'une façon générale, la sapinière est une forêt claire, haute, caractéristique des sols bien drainés à modérément bien drainés avec seepage. On reconnaît trois groupements et sept sous-groupements qui définissent neuf type socio-écologiques de végétation (tableau 23).

Tableau 23 Groupes écologiques diagnostiques des sapinières



I. GROUPEMENT à mousses (SB-m)

GED: Pleurozium schreberi (GE18)

Structure: forêt claire, haute Dépôts: sable et till dolomitique

Drainage: bon à modérément bon avec seepage

Croissance: très rapide

II. GROUPEMENT à bouleau blanc (SB-bb)

GED: Betula papyrifera (GE22)

Remarque: On distingue cinq sous-groupements:

1. Sous-groupement à épinette blanche (SB-bb-eb)

GED: Picea glauca (GE24)

Structure: forêt claire, haute

Dépôts: till dolomitique Drainage: modérément bon Croissance: très rapide

Remarque: L'épinette blanche est liée à un micro-

climat plus humide, engendré par la

proximité du lac Mistassini.

2. Sous-groupement à Alnus rugosα (SB-bb-alr)

GED: Alnus rugosa (GE31)

Structure: forêt claire, haute

Dépôts: till

Drainage: modérément bon avec seepage

Croissance: très rapide

3. Sous-groupement à Dryopteris spinulosa (SB-bb-ds)

GED: Dryopteris spinulosa (GE25)

Structure: forêt ouverte, haute

Dépôts: champ de blocs

Drainage: imparfait, avec seepage

Croissance: non observée

4. Sous-groupement à mousses (SB-bb-m)

GED: Pleurozium schreberi (GE18)

Structure: forêt claire, haute

Dépôts: sable, argile lacustre, till

Drainage: modérément bon avec ou sans seepage

Croissance: très rapide

5. Sous-groupement à Acer spicatum (SB-bb-as)

GED: Acer spicatum (GE23)

Structure: forêt ouverte, haute

Dépôts: sable et till

Drainage: bon à modérément bon, avec seepage

Croissance: très rapide

III. GROUPEMENT à épinette blanche (SB-eb)

GED: Picea glauca (GE24)

Remarque: La présence de l'épinette blanche est liée à une humidité atmosphérique élevée. Dans le cas de ce groupement, tous les relevés sont situés en bordure du lac Mistassini et du lac Matagami. On distingue trois sous-groupements:

1. Sous-groupement à mousses (SB-eb-m)

GED: Pleurozium schreberi (GE-18)

Structure: forêt claire, très haute

Dépôts: argile lacustre et till dolomitique

Drainage: modérément bon à bon

Croissance: très rapide

2. Sous-groupement à Acer spicatum (SB-eb-as)

GED: Acer spicatum (GE23)

Structure: forêt claire, haute

Dépôts: till dolomitique, argile lacustre

Drainage: bon à modérément bon avec ou sans seepage

Croissance: très rapide

3. Sous-groupement à Hylocomium splendens (SB-eb-hs)

GED: Abies balsamea (GE28)

Structure: forêt claire, haute

Dépôts: alluvions récentes

Drainage: imparfait, avec seepage

Croissance: non observée

3.4.2.6 LES PESSIERES A EPINETTE BLANCHE (tableaux 18, 19)

GED: Picea glauca (GE24)

Remarque: On a répertorié un seul peuplement:

I. GROUPEMENT à sapin (EB-sb)

GED: Abies balsamea (GE28)

Structure: forêt ouverte, haute

Dépôts: alluvions récentes

Drainage: modérément bon avec seepage

Croissance: non observée

3.4.2.7 LES AULNAIES A AULNE GRIS (tableaux 18, 19)

GED: Alnus rugosa (GE31)

Remarque: On ne reconnaît qu'un seul groupement:

I. GROUPEMENT typique (ALR-t)

GED: aucun

Structure: formation arbustive

Dépôts: argile lacustre, alluvions argileuses Drainage: mauvais à très mauvais, avec seepage

Croissance: non applicable

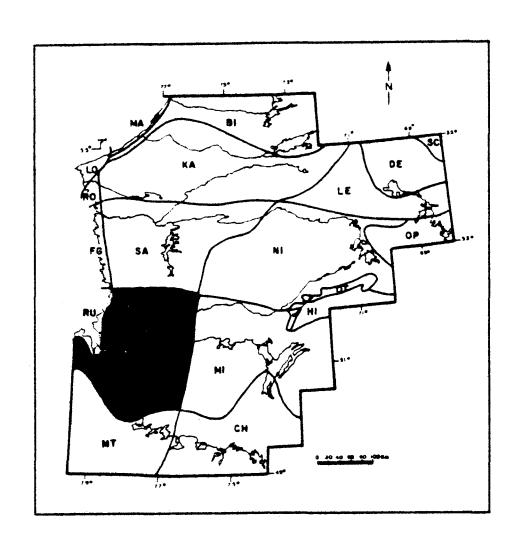
3.4.3 LES CHRONOSEQUENCES

Les chronoséquences végétales des régions écologiques des lacs Matagami et Chibougamau sont présentées au tableau 24. Nous référons le lecteur à la section 3.3 pour ce qui concerne l'approche théorique et pratique de la détermination des chronoséquences.

TYPES ECOLOGIQUES SYNTHETIQUES	TYPES ECOLOGIQUES	CHRONOSEQUENCES	CLIMAT LOCAL PLUS HUMIDE
11	TA1, TD1, TH1, TY1, TM1	PG-cm → EN-ca	
S1	SG1, SM1, AM1, AF1	PG-cm → EN-ca	
D1	TP1, SE1, DU1, SA1, RO1	PG-cm → EN-ca	
A23	MA23, AL2, AL3, TC2, TC3	$(PG-alr/TR-rp/BB) \rightarrow (EN-m/EN-m-sb)$	(SB-eb-m/SB-eb-as)
T2	TA2, TD2, TH2, TY2, TM2	$(PG-m/\underline{TR-en}) \rightarrow EN-m$	
Т3	TA3, TD3, TH3, TY3, TM3	$(\underline{PG-m}/TR-en) \rightarrow EN-m$	
X2	х2	$(TR-d1/TR-as) \rightarrow SB-m$	SB-eb-ma
х3	хз	BB-sb → SB-m	SB-eb-m
S23	SG23, SM23, AM23, AF2, AF3	(PG-m/TR-en) → EN-m	$(TR-sb/BB-sb) \rightarrow SB-bb-m$
SA23	SA2, SA3	$(PG-m/TR-en) \rightarrow EN-m$	
TR21	TR21	EN-m-lg	
TR3 TP23	TR3 TP23	EN-m	
SR13	SR13	EN-m-1g EN-m-1g	
RT14	RT14	EN-m-1g	!
TR4	TR4	EN-s-1g	
A4	MA4, AL4, TC4	PG-alr → (EN-s-lg/EN-m-s)	EN-sb-s
Т4	TA4, TM4	EN-m-s	
S4	sv4	EN-m-s	
SA4	SA4	EN-m-s	
A5	MA5, AL5, TC5	EN-s-lg	
T5	TA5, TM5	EN-s-lg	
S 5	sv5	EN-s-1g	
SA5	SA5	EN-s-1g	
TR5	TR5	EN-s	
A23*	MA23*, AL2*, AL3*, TC2*, TC3*	TR-alr → SB-m	
T2* T3*	TA2*, TD2*, TM2* TA3*, TD3*, TM3*	$\frac{BB}{BB} \rightarrow \frac{SB-m}{(SB-m/EN-m)}$	
x23*	X2*, X3*	SB-m	SB-eb-as
S23*	SG23*, SM23*, AM23*	$(\underline{TR-sb}/\underline{BB-sb}) \rightarrow (SB-m/SB-bb-as)$	
SA3*	SA3*	SB-m	
CV23*	CV23*	BB → SB-m	
TR2*	TR2*, SR2*	EN-m-sb	
ER23*	ER23*	BB	
RO24*	RO24*	EN-m-sb	
TR34*	TR34*	EN-m-sb	
SR34*	SR34*	EN-m-sb	
A4*	MA4*, AL4*, TC4*	EN-sb	
T4*	TA4*, TM4*	EN-sb	
CV4*	CV4*	SB-bb-ds EN_cb	
S4* SA4*	AV4* SA4*	EN-sb EN-sb	
A5*	MA5*, AL5*, TC5*	ALR → EN-alr	
T5*	TA5*, TM5*	EN-alr	
\$5*	AV5*	EN-alr	
SA5*	SA5*	EN-alr	
TP45*	TP45*	SB-bb-ds	
TR5*	TR5*	EN-s-lg	
CR46*	CR46*	EN-m-s	
RO5*	R05*	EN-s-lg	
S6*	AV6*	ALR	
AA6*	AA6*	ALR	



3.5 LA VEGETATION DE LA REGION ECOLOGIQUE DU LAC EVANS



La région écologique du lac Evans appartient encore au domaine des forêts claires mais n'est plus dans la zone boréale; elle est classée dans la zone subarctique et dans la sous-zone du Bas-Subarctique (Ducruc et al., 1976). Elle est bornée au sud par la région écologique du lac Matagami (autour du 50 degré de latitude Nord), au nord par la région du lac Sakami (autour du 52 degré de latitude Nord), à l'ouest par la région écologique de la baie de Rupert et à l'est par celle du lac Mistassini (autour du 76 degré de longitude Ouest). L'altitude moyenne est d'envi-

ron 200 m et varie entre 25 m à l'ouest et 350 m à l'est. C'est un territoire à la fois plat et ondulé. Ce relief lui est donné par les dépôts lacustres argilo-limoneux du lac pro-glaciaire Barlow-Ojibway au sud-est, et les dépôts marins argilo-limoneux de la mer de Tyrrell à l'ouest. Ce relief peu accentué, doublé d'une perméabilité faible des dépôts, a entraîné la formation d'immenses tourbières, plus ou moins profondes, qui dominent près des deux tiers de cette région.

La température moyenne annuelle se situe entre $0^{\circ}C$ et $-2,5^{\circ}C$; la moyenne de précipitations annuelles est d'environ 700 mm, tandis que les précipitations estivales sont de l'ordre de 400 mm; la durée annuelle moyenne de la saison de croissance est d'environ 145 jours contre 155 pour la zone boréale (Wilson, 1971).

3.5.1 LES GROUPES ECOLOGIQUES

Etablis à partir de 177 stations écologiques de référence et de 86 espèces, les 26 groupes écologiques sont présentés au tableau 25. Leurs profils écologiques sont à l'annexe 3 (exception faite du groupe 20b trop peu fréquent).

Tableau 25 Les groupes écologiques de la région écologique du lac Evans

#	F.B. ¹	F. ²	NOM DES ESPECES	#	F.B.	F.	NOM DES ESPECES
1	li li	11 11	Stereocaulon paschale Rhacomitrium heterosticum	17	ae ae	27 11	Chamaedaphne calyculata Kalmia polifolia
2	1t 1t	13 12	<u>Epigaea repens</u> Lycopodium sabinaefolium	18	As Ai	38 25	Betula papyrifera(s) Betula papyrifera(i)
3	As Ai	66 19	Pinus banksiana(s) Pinus banksiana(i)	19	lt lt lt	110 43 32	Cornus canadensis Linnaea borealis Trientalis borealis
4	an	61	Salix humilis		lt lt	29	Coptis groenlandica Pyrola secunda
5	li li li li	37 393 19 13	Cladonia gonecha Cladonia crispata Cladonia deformis Cladonia cristatella	20	As Ai mh	45 57 47	Abies balsamea(s) Abies balsamea(i) Hylocomium splendens
6	li li li li	17 113 101 82 44	Polytrichum juniperinum Cladonia rangiferina Cladonia alpestris Cladonia mitis Cladonia uncialis	20 ь 21	As Ai an an	9 9 25 24	Picea glauca(s) Picea glauca(i) Viburnum edule Ribes glandulosum
7	mh li li	55 27 21	Dicranum undulatum Cladonia gracilis Cladonia cornuta		lt lt lt	16 14 17	Mitella nuda Rubus pubescens Rubus idaeus
8	an an 1t	77 51 50	Alnus crispa Amelanchier bartromiana Maianthemum canadense		lt lt lt	12 13 12 11	Solidago macrophylla Dryopteris disjuncta Aralia nudicaulis Dryopteris spinulosa
9	As Ai	31 25	Populus tremuloïdes(s) Populus tremuloïdes(i)	22 23	1t	28	Geocaulon lividum
10	lt gr	31 19	Epilobium angustifolium Deschampsia flexuosa	23	lt lt lt an	64 47 27 27	Lycopodium annotinum Clintonia borealis Lycopodium obscurum Sorbus decora
11	1t	26	Petasites palmatus		Ai	20	Prunus pensylvanica(i)
12	ae	151 78	Vaccinium angustifolium Vaccinium myrtilloides	24	an	24	Alnus rugosa
13	ae ae	135	Kalmia angustifolia	25	lt gr lt	61 26 23	Equisetum sylvaticum Carex trisperma Listera cordata
13	As Ai ae	152 159 149	Picea mariana(s) Picea mariana(i) Ledum groenlanaīcum		gr	12	Carex brunescens Sphagnum magellanicum
14	mh mh mh	159 131	Ptilidium ciliare Pleurozium schreberi Dicranum polysetum	26	1t 1t	37 29	Rubus chamaemorus Smilacina trifolia
	mh 1t	115	Ptilium crista-castrensis Gaultheria hispidula		an gr	19	COMPAGNES Salix pyrifolia Calamagrostis canadensis
	mh mh mh mh	66 55 31 12	Polytrichum commune Dicranum fuscescens Peltigera aphtosa Peltigera scabrosa		ae sp	16	Vaccinium cespitosum Sphagnum fuscum
15	an	19	Salix bebbiana				86 espèces Nombre de relevés: 177
16	sp sp sp lt	76 53 12 29	Sphagnum nemoreum Sphagnum robustum Sphagnum recurvum Vaccinium oxycoccos				The section of the se

Forme biologique
 Fréquence

Par leur fréquence, 14 groupes écologiques se prêtent à une synthèse de leur répartition parmi les types écologiques.

GE3: PINUS BANKSIANA(S)
Pinus banksiana(i)

Un regard sur les profils de ce groupe (annexe 4) démontre:

- qu'il préfère nettement les sols secs,
- qu'il est exclus dans 80 p. 100 des cas des sols à seepage,
- qu'il forme des forêts jeunes (pionnières), basses et très ouvertes,
- qu'il préfère les textures moyennes à grossières.

Alors que dans les régions écologiques des lacs Matagami et Chibougamau les peuplements de pin gris sont cantonnés par une compétition plus sévère du bouleau et du tremble sur les sols excessivement drainés (tableau 6), dans la région du lac Evans (tableau 26) ils occupent les stations bien drainées à modérément bien drainées, sans toutefois atteindre les stations plus riches (seepage). Dans 76 p. 100 des cas, ces peuplements colonisent les sables ou le roc.

GE6: CLADONIA RANGIFERINA
Cladonia alpestris
C. mitis
C. uncialis
Dicranum undulatum

Les profils de ce groupe démontrent une plus grande amplitude écologique que celle des groupes précédents ainsi que celle du groupe équivalent (GE4) des deux régions méridionales (annexe 2). Ce groupe préfère:

- les sols mésiques à xériques sans seepage,
- un rapport C/N élevé (humus peu décomposé),
- des groupements ouverts et peu productifs.

Le tableau 27 ne modifie guère cette image, mais démontre seulement qu'en couverture importante, ce groupe écologique préfère nettement les sols sableux.

Tableau 26 Répartition du GE3 parmi les types écologiques

Types écologiques	RO1	AF23	SM23	SG23	T2 3	AL3	MA23	TOTAL	
NR	5	6	10	12	30	13	4	NRT = 80	
NP	4	4	6	9	13	3	1	NPT = 40	
FR	0,80	0,66	0,60	0,75	0,43	0,23	0,25	FRT = 3,72	
FRN	22	18	16	20	12	6	6	100%	
2-3 seepage: 0%				7	78%			Pinus banksian Pinus banksian	
rocsables					<u>.</u>				

Tableau 27 Répartition du GE6 parmi les types écologiques

Types écologiques	RO1	SM1	AF2	SM23	SG23	TD2	TM2	TOTAL	
NR	5	2	4	10	12	8	7	NRT = 48	
NP	3	2	2	6	8	2	2	NPT = 25	
FR	0,60	1,00	0,50	0,60	0,55	0,25	0,29	FRT = 3,90	
FRN	15	26	13	15	17	7	7	100%	
drainage 1 _ 2-3 seepage : 0%	 3				59%			GE6 Cladonia rar Cladonia alp Cladonia min Cladonia una Dicranum una	pestris tis tialis
roc									

GE8: ALNUS CRISPA
Amelanchier bartramiana
Matanthemum canadense

L'analyse des profils écologiques révèle que ces espèces préfèrent:

- les pentes fortes, bien drainées à modérément bien drainées, avec ou sans seepage,
- les humus moyennement décomposés,
- les forêts adultes et très productives.

Le tableau 28 confirme ce diagnostique.

GE9: POPULUS TREMULOTDES(S)
Populus tremulotdes(i)

Par ses profils, le groupe du peuplier faux-tremble diffère peu du groupe précédent aussi bien que du groupe équivalent (GE10) des régions écologiques des lacs Matagami et Chibougamau. Mais, considéré en peuplement, l'image est bien différente (tableau 29); alors que dans les régions écologiques précédentes, les tremblaies colonisent les sols bien drainés à modérément drainés sans seepage (tableau 10), dans la région écologique du lac Evans elles se confinent, dans plus de 80 p. 100 des cas, aux stations modérément bien drainées à mal drainées avec seepage.

GE12: VACCINIUM ANGUSTIFOLIUM
V. myrtilloides
Kalmia angustifolia

L'analyse des profils de ce groupe révèle une ubiquité marquée pour l'ensemble des variables considérées. Par contre, lorsque ces éricacées croissent en couvert important, elles deviennent indicatrices de stations bien drainées à modérément bien drainées et sans seepage dans 92 p. 100 des cas (tableau 30).

GE13: PICEA MARIANA(S)
P. mariana(i)
Ledum groenlandicum
Ptilidium ciliare

L'ubiquité évidente de ce groupe, telle que démontrée par ses profils, n'est modifiée par le tableau 31 qu'en ce qui concerne

Tableau 28 Répartition du GE8 parmi les types écologiques

Types écologiques	AF2	SM23	SG23	Т23	AL3	MA23	S2*	т23*	AL3*	MA23*	TOTAL	
NR	4	11	12	21	13	4	2	12	4	5	NRT = 88	
NP	1	3	3	9	6	2	2	6	1	3	NPT = 36	
FR	0,25	0,27	0,25	0,43	0,46	0,50	1,00	0,50	0,25	0,60	FRT = 4,51	
FRN	6	6	6	10	10	11	22	11	6	13	100%	
drainage 2-3								5	2%		GE8 Alnus crispa Amelanchier l Maianthemum c	
sables					40% _							

Tableau 29 Répartition du GE9 parmi les types écologiques

Types écologiques	AF2	т23	AL3	AF23*	T23*	MA23*	MA4*	AL5*	TOTAL	
NR	4	11	13	2	8	5	2	2	NRT = 47	
NP	1	2	2	2	3	1	1	1	NPT = 13	
FR	0,25	0,18	0,15	1,00	0,38	0,20	0,50	0,50	FRT = 3,16	
FRN	8	6	5	32	12	6	16	16	100%	
UPAIDAGE /- 4				U /o					GE9	
drainage 2-3							3	2%	Populus trei	
	. 					81%	3	2%	Populus tre	

Tableau 30 Répartition du GE12 parmi les types écologiques

Types écologiques	RO1	SM1	AF23	SM23	SG23	т23	AL3	TM4	AL4	MA4	TA3*	TOTAL	
NR	5	3	6	11	12	3	13	4	4	9	6	NRT = 76	
NP	4	3	4	10	8	18	4	3	1	1	3	NPT = 59	
FR	0,80	1,00	0,66	0,91	0,66	0,55	0,31	0,75	0,25	0,11	0,50	FRT = 6,50	
FRN	12	15	10	14	10	8	5	12	4	2	8	100%	
												Vaccinium m Kalmia angu	
seepage											8%		
	127		309		T	J.							
roc	_ 12%	i											
rocsable							_1	J 28% [

Tableau 31 Répartition du GE13 parmi les types écologiques

Types écologiques	RO1	S23	Т23	A23	T45	A45	T23*	A23*	AV45*	A45*	TOTAL	
NR	5	31	27	17	6	29	6	10	4	1 5	NRT = 160	
NP	2	27	23	14	6	25	4	7	3	13	NPT = 124	
FR	0,40	0,87	0,85	0,82	1,00	0,86	0,66	0,70	0,75	0,87	FRT = 7,78	
FRN	5	11	11	11	13	11	8	9	10	11	100%	
seepage	5								38%	1	Ledum groen Ptilium cil	
roc sable	5%	' L	1		21%					1		
loam					32%							

le seepage, où les formations d'épinette noire et de Ledum groenlandicum préfère les stations sans seepage. On note, cependant, qu'on trouve ce groupe sur sols avec seepage dans 38 p. 100 des cas contre 14 p. 100 pour les régions écologiques des lacs Matagami et Chibougamau (tableau 12).

GE14: PLEUROZIUM SCHREBERI
Dicranum polysetum
Ptilium crista-castrensis
Gaultheria hispidula
Polytrichum commune
Dicranum fuscescens
Peltigera aphtosa
Petigera scabrosa

Ce groupe, dominé par les mousses, diffère peu du groupe précédent. On remarque toutefois une légère préférence pour des forêts plus fermées, plus hautes et plus productives. Pour ces raisons et surtout à cause d'une affinité sociologique qui n'est pas totale, il est préférable de distinguer ces deux groupes écologiques.

GE16: SPHAGNUM NEMOREUM
S. robustum
S. recurvum
Vaccinium oxycoccos

C'est un groupe qui déborde très largement sur les milieux organiques, mais qui colonise fréquemment les sols minéraux, de texture fine, imparfaitement drainés à mal drainés, avec ou sans seepage. Les groupements forestiers sont généralement ouverts et vieux. En ne considérant que les relevés où ce groupe est abondant (tableau 32) l'image se confirme: sols limoneux (69 p. 100), imparfaitement drainés (55 p. 100), sans seepage (60 p. 100). Toutefois, dans les régions écologiques précédentes le groupe de Sphagnum nemoreum (GE8) est totalement exclus des stations à seepage (tableau 9).

GE18: BETULA PAPYRIFERA(S)
Betula papyrifera(i)

Ce groupe mono-spécifique est le premier indicateur de sations riches, il préfère:

- les milieux où la pente est forte,
- les sols modérément bien drainés, à seepage,
- les humus bien décomposés (rapport C/N bas),
- et forme de hautes forêts fermées et productives.

Tableau 32 Répartition du GE16 parmi les types écologiques

Types écologiques	AL3	Т4	AL4	TC4	MA4	Т5	MA5	тз*	AL4*	TC4*	T5*	MA5*	TOTAL	
NR	13	5	4	4	9	7	6	6	4	5	2	4	NRT = 69	
NP	1	3	2	4	5	3	6	1	4	1	2	2	NPT = 34	
FR	0,08	0,60	0,50	1,00	0,55	0,43	1,00	0,17	1,00	0,20	1,00	0,50	FRT = 7.03	
FRN	1	9	7	14	8	6	14	2	14	3	14	7	100%	
drainage 3_							5%		1	J			GE16	
_									41%	40%	L	J	Sphagnum nemo Sphagnum robi Sphagnum recu	ıstum

En peuplement, le bouleau blanc se cantonne aux sols modérément bien drainés avec seepage (tableau 33). On remarque donc, par rapport aux deux régions écologiques précédentes (tableau 14), un déplacement vers des stations plus riches.

Tableau 33 Répartition du GE18 parmi les types écologiques

Types écologiques	TD2	AL3	AF2*	T3*	TOTAL	
NR	13	13	1	7	NRT = 34	
NP	5	1	1	4	NPT = 11	
FR	0,38	0,08	1,00	0,57	FRT = 2,03	
FRN	19	4	49	28	100%	
drainage 2-3					GE18 Betula papys Betula papys	
sable loams		47				

GE20: ABIES BALSAMEA(S)
Abies balsamea(i)
Hylocomium splendens

Les profils écologiques révèlent que ce groupe est un excellent indicateur de milieux riches, mais plus humides que celui du groupe du bouleau blanc. En peuplement, le sapin est encore un meilleur indicateur de sols bien drainés à imparfaitement drainés avec seepage (tableau 34).

Tableau 34 Répartition du GE20 parmi les types écologiques

Types écologiques	AF3	TA2	AL3	MA4	AL3*	MA23*	AV4*	AL4*	MA4 *	TC4*	TOTAL	
NR	2	13	13	9	4	5	2	4	2	5	NRT = 59	
NP	1	2	1	1	2	4	1	2	1	1	NPT = 16	
FR	0,50	0,15	0,08	0,11	0,50	0,80	0,50	0,50	0,50	0,20	FRT = 3,84	
FRN	13	4	2	3	13	21	13	13	13	5	100%	
duoduose 0 0				539		<u> </u>	٠					
					47] 9%			J		GE20 Abies balsa Abies balsa	mea(i)
4 _					47	7%	78	7.	J		Abies balsa	mea(i)

GE21: VIBURNUM EDULE
Ribes glandulosum
Mitella nuda
Rubus pubescens
Rubus idaeus
Solidago macrophylla
Dryopteris disjuncta
D. spinulosa
Aralia nudicaulis

Groupe écologique peu fréquent, c'est un excellent indicateur de milieux riches:

- bas de fortes pentes concaves,
- drainage bon à imparfait avec seepage,
- humus bien décomposés,
- forêts adultes, fermées et productives.

Lorsque les espèces de ce groupe sont abondantes, ce dernier devient un indicateur plus précis des sols bien drainés à modérément bien drainés avec seepage (tableau 35).

GE23: LYCOPODIUM ANNOTINUM
Clintonia borealis
Lycopodium obscurum
Sorbus decora
Prunus pensylvanica(i)

La tolérance de ce groupe est plus grande que celle des quelques groupes précédents:

- il s'adapte à tous les drainages, à l'exception du drainage excessif,
- il occupe les stations sans seepage dans 40 p. 100 des cas,
- il accompagne les forêts fermées, mais aussi les forêts très ouvertes.

Par contre, lorsqu'on ne considère que les relevés où le groupe est abondant, les espèces deviennent d'excellentes indicatrices de sols bien drainés à modérément bien drainés avec seepage (tableau 36).

Tableau 35 Répartition du GE21 parmi les types écologiques

		•			¥***********		_			,
Types écologiques	AF3	AL3	AL4	AF23*	т2*	AL3*	MA23*	AL5 [*]	TOTAL	
NR	2	13	4	2	2	4	5	2	NRT = 34	
NP	1	2	1	2	2	1	2	1	NPT = 12	
FR	0,50	0,15	0,25	1,00	1,00	0,25	0,4C	0,50	FRT = 4,05	
FRN	12	4	6	25	25	6	10	12	100%	
drainage 2-3				1	1	.8%			GE 2 1 Viburnum edi Ribes glandı	
seepage sable		,	37%			_ 78%			Mitella nude Rubus pubese Rubus idaeus	eens
loams						<u>.</u>		**************************************	Solidago mad	erophylla
					-				Dryopteris : Aralia nudio	spinulosa

Tableau 36 Répartition du GE23 parmi les types écologiques

Types écologiques	T23	AL3	AF2*	T23*	MA23*	TOTAL						
NR	16	13	1	9	5	NRT = 44						
NP	6	1	1	5	1	NPT = 14						
FR	0,38	0,08	1,00	0,55	0,20	FRT = 2,21						
FRN	17	4	45	25	9	100%						
drainage 2-3100% GE23												
drarmage a						Lucopodium	anno+i num					
seepage				_79%		Lycopodium of Clintonia bo	orealis					
_			- 45% - 13				orealis obscurum ra					

GE24: ALNUS RUGOSA

Groupe mono-spécifique des milieux humides. C'est avant tout un indicateur de:

- bas de pentes concaves, imparfaitement à mal drainées, avec seepage,
- texture très fine,
- milieux non-forestiers.

Lorsque cette espèce forme des peuplements purs c'est une indicatrice des alluvions sablo-argileuses, mal drainées à très mal drainées, avec seepage (tableau 37).

GE25: EQUISETUM SYLVATICUM
Carex trisperma
Listera cordata
Carex brunescens
Sphagnum magellanicum

Ce groupe caractérise:

- les bas de pentes mal drainées, avec une très légère préférence pour le seepage,
- les sols de texture très fine,
- les forêts claires et surannées.

Lorsque les espèces du groupe sont abondantes, leur valeur indicatrice augmente, particulièrement en ce qui a trait au seepage (tableau 38).

3.5.2 LES TYPES SOCIO-ECOLOGIQUES DE VEGETATION

Outre les brûlis, la végétation de la région écologique du lac Evans se répartit en six formations végétales qui se divisent en 22 groupements, 22 sous-groupements et quatre formes, pour donner 41 types socio-écologiques de végétation (tableau 39).

Tableau 37 Répartition du GE24 parmi les types écologiques

Types écologiques	MA23	AL4	AL5*	MA5*	AV6*	AA6*	TOTAL
NR	4	4	2	4	1	2	NRT = 17
NP	1	1	1	1	1	1	NPT == 6
FR	0,25	0,25	0,50	0,25	1,00	0,50	FRT = 2,75
FRN	9	9	18	9	37	18	100%
drainage 2-3							GE24
-		9%					
4 _ 5 _			2		_1 		GE24 Alnus rugos
4 _ 5 _			2		<u>. </u>	5%	
4 _ 5 _						5%	
4 _ 5 _ 6 _				8	2%	5%	

Tableau 38 Répartition du GE25 parmi les types écologiques

Types écologiques	AL4	TC4	TC5	MA5	AL4*	TC4 *	AV5*	T5*	MA5*	TOTAL
NR	4	4	8	4	4	5	2	2	4	NRT = 38
NP	1	3	5	4	2	4	2	2	3	NPT = 26
FR	0,25	υ,75	0,63	1,00	0,50	υ,80	1,00	1,00	0,75	FRT = 6,68
FRN	4	11	10	15	7	12	15	15	11	100%
5 _				<u> </u>		66%				Equisetum sylvaticu
. .			7		L	66%			**************************************	Equisetum sylvaticu Carex trisperma
seepage	Listera cordata Carex brunescens									
sable							_ 15%			Sphagnum magellanic
loams								15%		
limon										_

Tableau 39 Nomenclature des types socio-écologiques de végétation de la région écologique du lac Evans

1.	BRULIS: BR			
	1.2. Alnus	nium angustifolium rugosa groenlandicum	: -va 1. : -alr 2. : -lg 3.	BR-alr
		crispa	: -alc 4.	
2.	PINEDES A P	IN GRIS: PG		
		nia crispata mitrium heterostic u m	: -cri	
	2.3. Clado 2.4. Pleur	nia alpestris ozium schreberi	: -ca 7. : -m 8.	
	2.4.1	· Alnus crispa · Alnus rugosa	: -alc9. : -alr10.	PG-m-alc
3.	TREMBLAIES:	TR		
	3.1. <i>Typiq</i>		: -t11.	
	 3.2. Clado 3.3. Alnus 		: -cm12.	
		Betula papyrifera	: -alc	
	3.4. Pleur	ozium schreberi	: -m15.	
	3.5. Picea		: -eb16.	
	3.6. Alnus	rugosa	: -alr17.	TR-alr
4.	BETULAIES A	BOULEAU BLANC: BB		
	4.1. Alnus	crispa • Aralia nudicaulis	: -alc18.	
		· Araita nuaicaulis ozium schreberi	: -an19. : -m20.	
		· Alnus crispa	: -alc21.	
		. Abies balsamea	: -sb22.	
	4.3. Lycop	odium annotinum	: -la23.	BB-la
5.	PESSIERES A	EPINETTE NOIRE: EN		
	5.1. <i>Pinus</i>		: - pg	
		• Cladonia alpestris • Pleuroziwa schreberi	: -ca24. : -m25.	
	3.1.2	5.1.2.1. Alnus crispa	: -alc26.	EN-pg-m-alc
		nia alpestris	: -ca27.	
		ozium schreberi	: -m28. : -1g29.	
		Ledum groenlandicumAlnus crispa	: -alc30.	
	3.3.2	5.3.2.1. Abies balsame		
	5.3.3	• Sphagnum nemoreum	: -sn32.	EN-m-sn
	5.3.4	. Abies balsamea	: -sb 33.	
			: -sn 34.	
		Chamaedaphne calyculataAbies balsamea	: -cc 35. : -sb 36.	
			: -alr 37.	
		· ·	: -sg	
6.	SAPINIERES:	SB		
	6.1. Picea	glauca	: -eb 39.	SB-eb
			: -m 40.	
7.	AULNAIES A	AULNE GRIS: ALR	41.	ALR

Tableau 41 Tableau synthétique de niveau 3 des types socio-écologiques de végétation de la région écologique du lac Evans

Type socio-écologique de végétation	BR-va	BR-alr	BR-1g	BR-alc	PG-cr1	PG-rh	PG-ca	PG-m-t	PG-m-alc PG-m-alr	TR-t	TR-cm	TR-alc-t	TA-Alc-bb	9	TR-alr	900-010-0	BB-alc-an	88-m-t	BB-m-alc	BB-m-6b	BB-la	EN-pg-ca	EN-pg-m-alc	EN-ca	EN-4-t	EN-m-alc-t	EN-s-alc-sb	EN-19-6n	EN-m-sb	EN-sn-t	EN-En-cc EN-En-cc	EN-alr	EN-6 P	SB-€b	SB-B	ALR
Nombre de relevés Numéro	2	1 2	1 3	1 4	2	6	14		5 1 9 10	2 11	1 12	5 13	3 1 14 1	- 1	6 17		3 1 18 19	1 20	1 21			3 7 24 2	4 5 26	8 27	12 9 28 2		3	10 32		26 34	3 4 35 3	1 -	1 38	2 39	4 40	2 41
CARACTERISTIQUES ECOLOGIQUES DOMINANTES																																				
Drainage Seepage I argile, limon et sable tr. fin Force de la pente (I) Forme de la pente Altitude (x100 pi.) Densité du peuplement Hauteur du peuplement Type écologique synthétique	2 0 36 2 X 7 F 5 T2	4 0 99 2 C 8 F 5 A4	5 0 72 1 R 5 F 5 S5	3 C 8 F 5	2 0 5 0 X 8 E 4	1 0 9 X 5 E 4	1-3 0 20 3 X-R 7 D 3 S23	0 40 5 X 7 D	2-3 2- 0 0 27 95 2 0 X-R X 6 8 D C 3 3	1 77 10 X-7 B	0 48 2 X 8 E	0-1 65 12 X-R 7 C	12 1	0 9 3 x 5 C	9 9: 0 0 x 8 8	5 4 3 3 1 1 8		3 1 42 15 C 9 C	0 48 10 X 9 D	0 50 2 X 10 C	1 36 25 R 10 C	2-3 3 0 0 24 6 3 3 X X 5 9 E C 3 3 S23 A	0 2 40 8 X 10 C	2-3 0 27 5 X 10 E 3 S23	7 5 X-R 2 7 5 C 1	0 0 0 6 6 6 6 6 6 6 6 6 6 6 6 6 6 6 6 6	0-	1 0 73 3 R-X 8 D	5 B 2	3 R-C 8 C 3	0 1	2 90 2 R 7 D 2	1 C 8 C	0-1 79 20 C-1 4 C	58	1 84 1 R-1 4 F
GROUPES ECOLOGIQUES 1. Rhacomitrium heterostichum 2. Rpigaea repens 3. Finus banksiana(s) 4. Salix humilis 5. Cladonia orispata 6. Cladonia orispata 7. Cladonia gravilis 8. Alnus orispa 9. Populus tremuloides(s) 10. Epilobium anyustifolium 11. Petastus palmatus 12. Vaccinium anyustifolium 13. Picea mariana(s) 14. Pleurosium schreberi 15. Salix bebbiana 16. Sphagnum nemoreum 17. Chamaedaphne calyouluta 18. Sutula papyrifera(s) 19. Cornus canadensis 20. Abics balsamaa(s) 21. Viburnum edule 22. Geocaulon lividum 23. Lycopodium annotinum 24. Alnus rugosa 25. Equisetum sylvaticum 26. Rhuse chumaemorus 27. Calumagrostis canadensis 28. Sphagnum girgensohnii				1 1	11 2	6 4	10 3 1	2	16 29	4 1 3 3		127 127 1. 2 5 1. 1.	3 5 1 1 1 1 1 1 1 1 1 1 1 1 1 1 1 1 1 1	. 2 1 1 3 1 5 6	• 13 · · · · · · · · · · · · ·	9	11 32		9 2 1		. 6	-	1	12 2	-	1	-		14 8	27 5	29 1 1 1 1 1 1 1				1 12 11 24	

Groupe écologique	ou	espèce	diagnostique
de la formation		du	sous - groupement
du groupement		de	la forme
autres espèces	im	portantes	

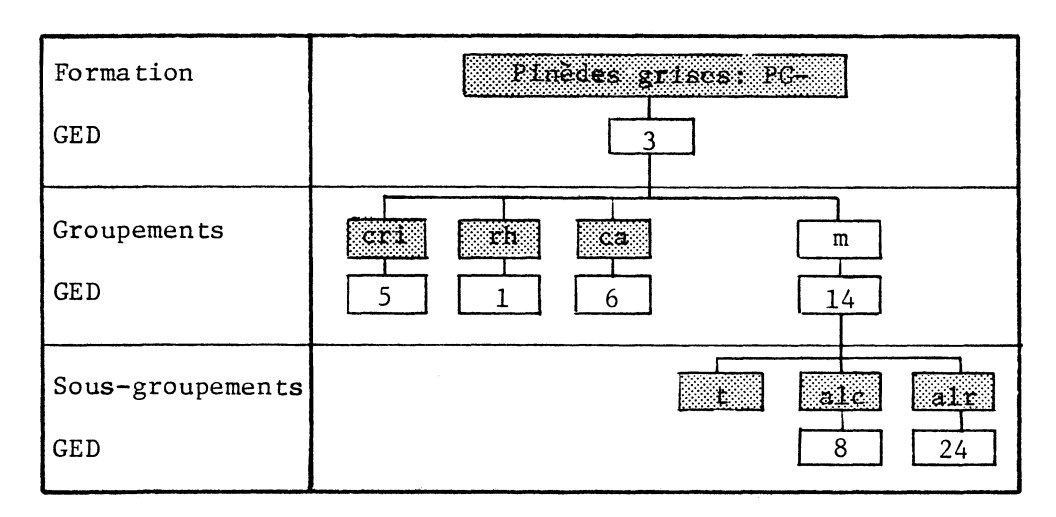
On présente en annexe 14 (tableau 40) le tableau synthétique de niveau 3 de ces TSEV, ainsi que ceux des brûlis.

3.5.2.1 LES PINEDES A PIN GRIS (tableaux 40, 41, 42)

GED: Pinus banksiana (GE3)

Remarque: Par rapport aux pinèdes des régions écologiques des lacs Matagmai et Chibougamau, qui sont généralement des forêts hautes et ouvertes, les pinèdes de la région écologique du lac Evans sont basses et très ouvertes. On reconnaît quatre groupements et trois sous-groupements qui définissent six types socio-écologiques de végétation dont les groupes écologiques diagnostiques sont fournis au tableau 42.

Tableau 42 Groupes écologiques diagnostiques des pinèdes à pin gris



I. GROUPEMENT à Rhacomitrium heterostichum (PG-rh)

GED: Rhacomitrium heterostichum (GE1)

Structure: lande boisée, très basse

Dépôts: affleurements rocheux

Drainage: excessif Croissance: lente II. GROUPEMENT à Cladonia crispata (PG-cri)

GED: Cladonia crispata (GE5)

Structure: lande boisée, très basse

Dépôts: sable Drainage: bon

Croissance: modérée

III. GROUPEMENT à Cladonia alpestris (PG-ca)

GED: Cladonia alpestris (GE6)

Structure: forêt très ouverte, basse

Dépôts: sable

Drainage: bon à modérément bon

Croissance: modérée

Remarque: C'est le TSEV le plus abondant parmi les

pinèdes.

IV. GROUPEMENT à mousses (PG-m)

GED: Pleurozium schreberi (GE14)

Remarque: Colonise des stations plus fraiches que les unités précédentes. Se divise en

trois sous-groupements:

1. Sous-groupement typique (PG-m-t)

GED: aucun

Structure: forêt très ouverte, basse

Dépôts: till Drainage: bon

Croissance: rapide

2. Sous-groupement à Alnus crispa (PG-m-alc)

GED: Alnus crispa (GE8)

Structure: forêt très ouverte, basse

Dépôts: sable

Drainage: bon à modérément bon

Croissance: rapide

Remarque: Malgré une classe de croissance identi-

que, ce sous-groupement semble accuser une rapidité de croissance légèrement supérieure à celle du sous-groupement

typique.

3. Sous-groupement à Alnus rugosa (PG-m-alr)

GED: Alnus rugosa (GE24)

Structure: forêt ouverte, basse

Dépôts: argile

Drainage: bon à modérément bon

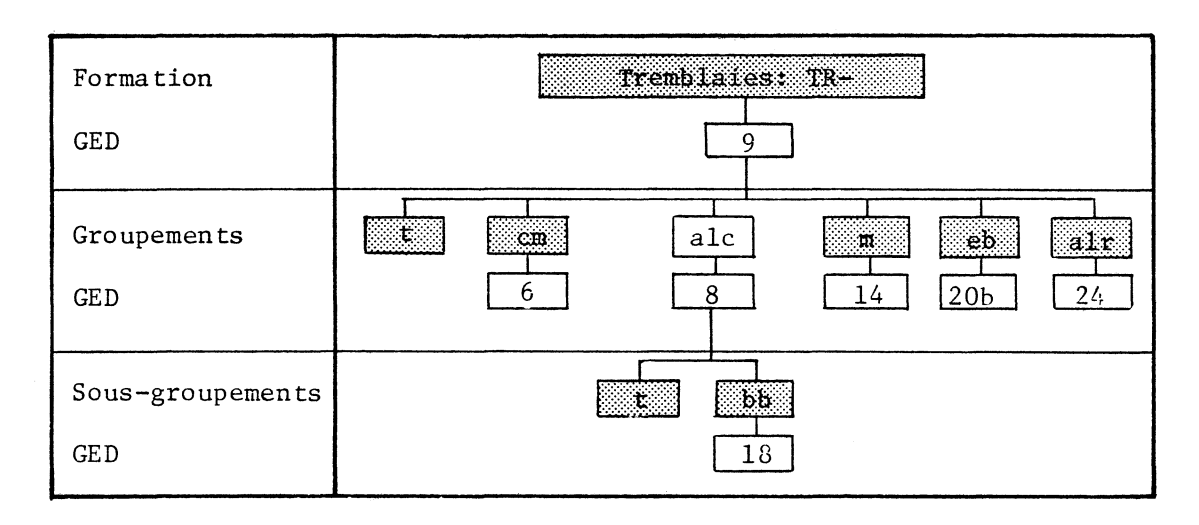
Croissance: rapide

3.5.2.2 LES TREMBLAIES (tableaux 40, 41, 43)

GED: Populus tremulo?des (GE9)

Remarque: De claires dans les régions écologiques des lacs Matagami et Chibougamau, les tremblaies sont ouvertes à très ouvertes dans la région écologique du lac Evans. Cette formation se subdivise en six groupements, deux sous-groupements et sept types socio-écologiques de végétation (tableau 43).

Tableau 43 Groupes écologiques diagnostiques des tremblaies



I. GROUPEMENT à Cladonia mitis (TR-cm)

GED: Cladonia alpestris (GE6)

Structure: lande boisée, très basse

Dépôts: till Drainage: bon

Croissance: modérée

Remarque: C'est un groupement jeune (30 ans).

II. GROUPEMENT typique (TR-t)

GED: aucun

Structure: forêt claire, très haute

Dépôts: argile ou sable

Drainage: modérément bon ou imparfait, avec seepage

Croissance: rapide

Remarque: Le groupe écologique de Viburnum edule

(GE21) est indicateur de ces conditions

minérotrophiques.

III. GROUPEMENT à Alnus crispa (TR-alc)

GED: Alnus crispa (GE8)

Remarque: On reconnaît deux sous-groupements:

1. Sous-groupement typique (TR-alc-t)

GED: aucun

Structure: forêt ouverte, haute

Dépôts: till et argile

Drainage: bon à modérément bon, avec ou sans

seepage

Croissance: modérée

2. Sous-groupement à bouleau blanc (TR-alc-bb)

GED: Betula papyrifera (GE18)

Structure: forêt ouverte, haute

Dépôts: sable et till

Drainage: bon à modérément bon, avec seepage

Croissance: rapide

IV. GROUPEMENT à mousses (TR-m)

GED: Pleurozium schreberi (GE14)

Structure: forêt très ouverte, très basse

Dépôts: sable Drainage: bon

Croissance: non observée

V. GROUPEMENT à épinette blanche (TR-eb)

GED: Picea glauca (GE20b)

Structure: forêt ouverte, basse

Dépôts: argile

Drainage: bon à modérément bon

Croissance: non observée

Remarque: L'épinette blanche doit sa présence à un

microclimat très humide, créé par une chute

sur la rivière Broadback.

VI. GROUPEMENT à Alnus rugosa (TR-alr)

GED: Alnus rugosa (GE24)

Structure: forêt claire, haute

Dépôts: argile

Drainage: mauvais, avec seepage

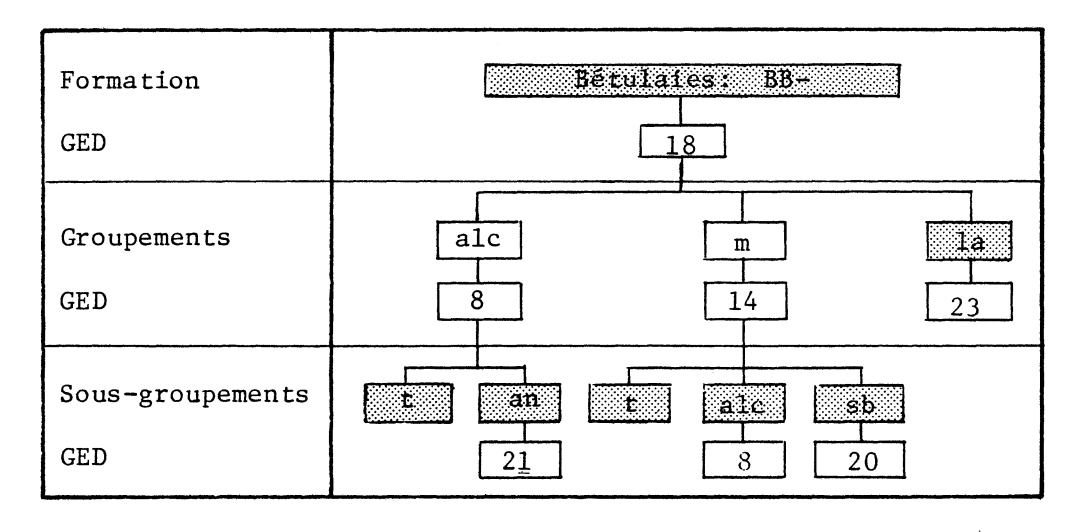
Croissance: lente

3.5.2.3 LES BETULAIES A BOULEAU BLANC (tableaux 40, 41, 44)

GED: Betula papyrifera (GE18)

Remarque: On reconnaît trois groupements et six sous-groupements qui définissent six types socio-écologiques de végétation (tableau 44).

Tableau 44 Groupes écologiques diagnostiques des bétulaies à bouleau blanc



I. GROUPEMENT à Alnus crispa (BB-alc)

GED: Alnus crispa (GE8)

Remarque: On distingue deux sous-groupements:

Sous-groupement typique (BB-alc-t)

GED: aucun

Structure: forêt claire, haute

Dépôts: till Drainage: bon

Croissance: rapide

2. Sous-groupement à Aralia nudicaulis (BB-alc-an)

GED: Viburnum edule (GE21)

Structure: forêt claire, haute

Dépôts: argile

Drainage: modérément bon Croissance: très rapide

II. GROUPEMENT à mousses (BB-m)

GED: Pleurozium schreberi (GE14)

Remarque: C'est une forêt plus ouverte que le groupement précédent. Trois sous-groupements sont reconnus:

1. Sous-groupement typique (BB-m-t)

GED: aucun

Structure: forêt ouverte, haute

Dépôts: till

Drainage: modérément bon, avec seepage

Croissance: très rapide

2. Sous-groupement à Alnus crispa (BB-m-alc)

GED: Alnus crispa (GE8)

Structure: forêt très ouverte, basse

Dépôts: till Drainage: bon

Croissance: modérée

3. Sous-groupement à sapin (BB-m-sb)

GED: Abies balsamea (GE20)

Structure: forêt ouverte, haute

Dépôts: till Drainage: bon

Croissance: rapide

Remarque: Par rapport au groupement à Alnus crispa, dont l'âge moyen se situe autour de 70 ans, ce groupement-ci est vieux (100 à 130 ans); ceci explique probablement sa

plus grande ouverture.

III. GROUPEMENT à Lycopodium annotinum (BB-1a)

GED: Lycopodium annotinum (GE23) Structure: forêt ouverte, basse

Dépôts: colluvions

Drainage: bon à modérément bon, avec seepage

Croissance: non observée

Remarque: Ce type socio-écologique de végétation est typique des colluvions bien drainées, non seulement dans cette région écologique, mais jusqu'à sa limite latitudinale et alti-

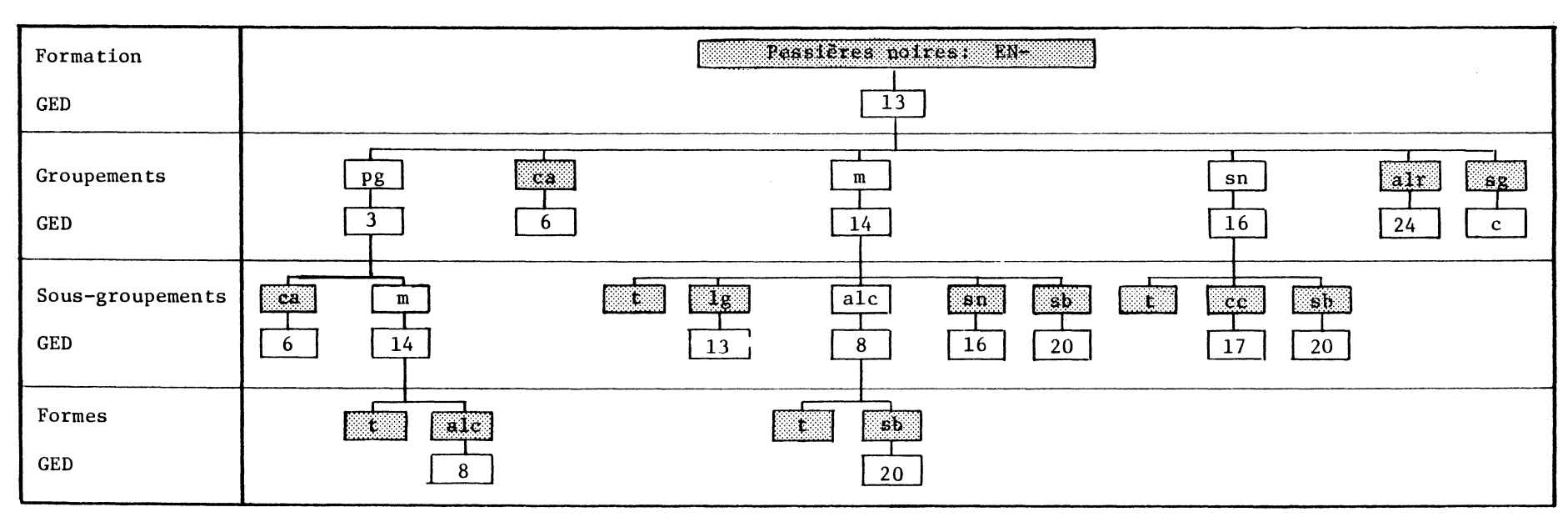
tudinale.

3.5.2.4 LES PESSIERES A EPINETTE NOIRE (tableaux 40, 41, 45)

GED: Picea mariana (GE13)

Remarque: L'épinette noire, ayant moins à souffrir de la compétition du sapin, n'est plus limitée aux stations moins fertiles; ceci permet aux pessières à épinette noire de maintenir une densité comparable à celle des pessières des régions écologiques des lacs Matagami et Chibougamau. Toutefois, la croissance en hauteur est généralement moindre. On reconnaît six groupements, dix sous-groupements et quatre formes qui définissent 15 types socio-écologiques de végétation (tableau 45).

Tableau 45 Groupes écologiques diagnostiques des pessières à épinette noire



I. GROUPEMENT à pin gris (EN-pg)

GED: Pinus banksiana (GE3)

Remarque: Ce sont généralement de jeunes forêts qui dépassent rarement 40 ans à l'exception du sous-groupement à *Cladonia alpestris* dont l'âge moyen est d'environ 100 ans.

On distingue deux sous-groupements:

1. Sous-groupement à Cladonia alpestris (EN-pg-ca)

GED: Cladonia alpestris (GE6) Structure: lande boisée, basse

Dépôts: sable

Drainage: bon à modérément bon

Croissance: modérée

Remarque: C'est une vieille forêt originant de feux intenses ou répétés. Ce TSEV pourrait éventuellement être attaché à la pessière noire à cladonies (EN-ca).

2. Sous-groupement à mousses (EN-pg-m)

GED: Pleurozium schreberi (GE14)

a. Forme typique (EN-pg-m-t)

GED: aucun

Structure: forêt ouverte, basse

Dépôts: argile

Drainage: modérément bon Croissance: très rapide

b. Forme à Alnus crispa (EN-pg-m-alc)

GED: Alnus crispa (GE8)

Structure: forêt ouverte, basse

Dépôts: sable et till

Drainage: bon

Croissance: rapide

II. GROUPEMENT à Cladonia alpestris (EN-ca)

GED: Cladonia alpestris (GE6)

Structure: lande boisée, basse

Dépôts: sable

Drainage: bon à modérément bon

Croissance: modérée

III. GROUPEMENT à mousses (EN-m)

GED: Pleurozium schreberi (GE14)

Remarque: C'est le groupement le plus productif parmi les pessières. C'est en dominance une forêt ouverte, haute, caractérisée par un tapis continu de *Pleurozium schreberi* et de quelques autres mousses et hépatiques. On distingue cinq sous-groupements:

Sous-groupement typique (EN-m-t)

GED: aucun

Structure: forêt ouverte, basse Dépôts: sable, argile et till Drainage: bon à modérément bon

Croissance: rapide

Remarque: C'est la forêt représentative des milieux mésiques de cette région écologique.

2. Sous-groupement à Ledum groenlandicum (EN-m-1g)

GED: Picea mariana (GE13)

Structure: forêt très ouverte, haute

Dépôts: argile et till

Drainage: modérément bon à imparfait

Croissance: rapide

Remarque: C'est une vieille forêt qui peut représenter l'aboutissement de la pessière noire à mousses. La croissance y est aussi rapide, mais la densité est moindre. Le *Ledum* couvre en moyenne 40 p. 100 du parterre.

3. Sous-groupement à $Alnus\ crispa$ (EN-m-alc)

GED: Alnus crispa (GE8)

Remarque: Ce sont des forêts moins ouvertes ou plus hautes que celles des sous-groupements précédents. On reconnaît deux formes:

a. Forme typique (EN-m-alc-t)

GED: aucun

Structure: forêt ouverte, haute

Dépôts: argile

Drainage: bon à modérément bon

Croissance: rapide

b. Forme à sapin (EN-m-alc-sb)

GED: Abies balsamea (GE20)

Structure: forêt ouverte, haute

Dépôts: argile

Drainage: modérément bon Croissance: très rapide

Remarque: Semble la forme la plus productive

de la pessière à épinette noire, avec le sous-groupement suivant.

4. Sous-groupement à sapin (EN-m-sb)

GED: Abies balsamea (GE20)

Structure: forêt claire, haute

Dépôts: argile lacustre et marine, till de Cochrane

Drainage: modérément bon, avec seepage

Croissance: très rapide

5. Sous-groupement à Sphagnum nemoreum (EN-m-sn)

GED: Sphagnum nemoreum (GE16)

Structure: forêt très ouverte, basse

Dépôts: argile

Drainage: imparfait Croissance: rapide

Remarque: C'est généralement une vieille forêt

(100-200 ans). Ledum groenlandicum cou-

vre de 15 à 40 p. 100 du parterre.

IV. GROUPEMENT à Sphagnum nemoreum (EN-sn)

GED: Sphagnum nemoreum (GE16)

Remarque: Occupe des stations généralement moins bien drainées que la pessière à mousses et sphaignes. Ce groupement se scinde en trois sousgroupements:

1. Sous-groupement typique (EN-sn-t)

GED: aucun

Structure: forêt ouverte, basse

Dépôts: argile lacustre et marine et till de Cochrane Drainage: imparfait à mauvais, sans ou avec seepage

Croissance: rapide

2. Sous-groupement à Chamaedaphne calyculata (EN-sn-cc)

GED: Chamaedaphne calyculata (GE17)

Structure: lande boisée, très basse

Dépôts: till, argile Drainage: mauvais

Croissance: modérée

Remarque: Forêt peu productive, où les éricacées

couvrent au moins 75 p. 100 du parterre.

3. Sous-groupement à sapin (EN-sn-sb)

GED: Abies balsamea (GE20)

Structure: forêt ouverte, haute

Dépôts: argile lacustre et marine et till de Cochrane

Drainage: imparfait avec seepage

Croissance: rapide

V. GROUPEMENT à Alnus rugosα (EN-alr)

GED: Alnus rugosa (GE24)

Structure: forêt très ouverte, haute

Dépôts: argile marine

Drainage: mauvais avec seepage

Croissance: rapide

VI. GROUPEMENT à Sphagnum girgensohnii (EN-sg)

GED: Sphagnum girgensohnii

Structure: forêt ouverte, haute

Dépôts: alluvions

Drainage: mauvais avec seepage

Croissance: rapide

3.5.2.5 LES SAPINIERES (tableaux 40, 41)

GED: Abies balsamea (GE20)

Remarque: Formation de peu d'étendue, la sapinière est liée aux stations riches, à microclimat souvent plus humide. On distingue deux groupements:

I. GROUPEMENT à épinette blanche (SB-eb)

GED: Picea glauca (GE20b)

Structure: forêt claire, haute

Dépôts: sable ou argile

Drainage: bon à modérément bon, avec ou sans seepage

Croissance: très rapide

Remarque: On a encore une preuve supplémentaire de l'exigence écologique de l'épinette blanche pour un climat humide. En effet, les deux relevés de ce groupement sont situés en bordure de deux grands cours d'eau, le Nottaway et le Rupert.

II. GROUPEMENT à mousses (SB-m)

GED: Pleurozium schreberi (GE14)

Structure: forêt claire, haute

Dépôts: argile et alluvions

Drainage: modérément bon à imparfait, avec seepage

Croissance: rapide

3.5.2.6 LES AULNAIES A AULNE GRIS (tableaux 40, 41)

GED: Alnus rugosa (GE24)

Structure: arbustive

Dépôts: alluvions sableuses et argileuses

Drainage: très mauvais avec seepage

Croissance: non applicable

Remarque: Groupement caractéristique de tous les bords

de cours d'eau périodiquement inondés.

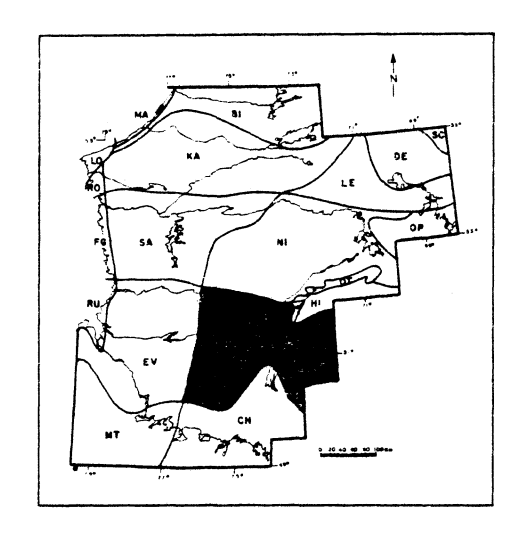
3.5.3 LES CHRONOSEQUENCES

Les chronoséquences végétales de la région écologique du lac Evans sont présentées au tableau 46. Nous référons le lecteur à la section 3.3 pour ce qui concerne l'approche théorique et pratique de la détermination des chronoséquences.

Tableau 46 Chronoséquences végétales de la région écologique du lac Evans

TYPES ECOLOGIQUES SYNTHETIQUES	TYPES ECOLOGIQUES	CHRONOSEQUENCES	CLIMAT LOCAL PLUS HUMIDE	FEUX REPETES
m	TA1, TD1, TH1, TY1, TM1	<u>PG-ca</u> → EN-ca		
S1	SG1, SM1, AM1, AF1	PG-ca → EN-ca		
D1	TP1, SE1, DU1, SA1, RO1	PG-ca → EN-ca		
A23	MA23, AL2, AL3, TC2, TC3	(TR-alc/BB-alc-an) - (EN-m-alc/EN-m-alc-sb)	TR-eb	
Т2	TA2, TD2, TH2, TY2, TM2	BR-va → (PG-m/BB-alc) → (EN-m/EN-pg-m-alc)		
т3	TA3, TD3, TH3, TY3, TM3	(PG-m-alc/TR-alc) → EN-m		
S23	SG23, SM23, AM23, AF2, AF3	PG-m-alc → EN-pg-m-alc → EN-m	SB-eb	PG-ca · EN-pg-ca · EN-ca
SA23	SA2, SA3	PG-m-alc → EN-pg-m-alc → EN-m		
TR21	TR21	PG-ca → EN-ca		
TR3	TR3	EN-m-lg		
TP23	TP23	EN-m-lg		
SR13	SR13	EN-m-1g		
RT14	RT14	EN-ca		
TR4	TR4	EN-sn-cc		
A4	MA4, AL4, TC4	BB-alr + (EN-m/EN-m-sn)	SB-m	
Т4	TA4, TM4	EN-m-sn		
S4	SV4	EN-m-sn		
SA4	SA4	EN-m-sn		
A5	MA5, AL5, TC5	EN-sn		
T5	TA5, TM5	EN-sn-cc		
S5	SV3	EN-sn-cc		
SA5	SA5	EN-sn-cc		
TR5	TR5	EN-sn-cc		
A23*	MA23*, AL2*, AL3*, TC2*, TC3*	BR-alc → TR-alc → (EN-m-sb/EN-m-alc)	(SB-eb/SB-m)	
T2 *	TA2*, TD2*, TM2*	$(TR-alc/BB-alc) \rightarrow EN-m-alc-sb$		
T3*	TA3*, TD3*, TM3*	(TR-alc-bb/BB-alc) → (EN-m-alc-sb/EN-m)		
S23*	SG23*, SM23*, AM23*	(TR/TR-alc-bb) → EN-m-alc-sb	SB-m	٠
SA3*	SA3*	EN-m-alc-sb		
CV23*	CV23*	BB-la		
TR2*	TR2*, SR2*	EN-m-alc		
ER23*	ER23*	BB-alc		
RO24*	R024*	EN-m-alc		
TR34*	TR34*	EN-m-alc		
SR34*	SR34*	EN-m-alc		
A4*	MA4*, AL4*, TC4*	TR → (EN-sn/EN-sn-sb)		
T4*	TA4*, TM4*	EN-sn		
CV4*	CV4*	EN-sn		
	AV4*	EN-sn	SB-m	
SA4* A5*	SA4*	EN-sn		
A5* T5*	MA5*, AL5*, TC5* TA5*, TM5*	TR-alr → EN-alr		
S5*	AV5*	EN-sn		
SA5*	SA5*	EN-sg		
TP45*	TP45*	EN-sg		
TR5*	TR5*	EN-sn EN-sn		
CR46*	CR46*			
	R05*	EN-sn EN-sn		
	AV6*	ALR		
	AA6*			
ARU "	MAO :	ALR		

3.6 LA VEGETATION DE LA REGION ECOLOGIQUE DU LAC MISTASSINI



La région écologique du lac Mistassini appartient au domaine des forêts claires et à la sous-zone du Bas-Subarctique (Ducruc et al., 1976). Elle est bornée au sud par la région écologique du lac Chibougamau (par 50° de latitude Nord), au nord par celle du lac Nichicun (par 52° de latitude Nord), à l'ouest par la région écologique du lac Evans et à l'est par 72° de longitude Ouest. L'altitude moyenne est d'environ 350 m (soit 150 m

de plus que la région du lac Evans) et varie entre 275 m à l'ouest et 700 m à l'est. Le relief de cette région, ondulé à accidenté, lui est conféré par la roche en place. Des dépôts de till épais dominent dans le centre de cette région, alors qu'en périphérie les tills minces et les affleurements rocheux sont fréquents. Dans la section nord-est de cette région, de grandes zones sont dominées par des drumlins.

La température moyenne annuelle est de l'ordre de -2,5 $^{\circ}$ C; la moyenne des précipitations annuelles est d'environ 800 mm dont 450 à 500 mm entre mai et septembre; la durée moyenne de la saison de croissance est d'environ 140 jours (Wilson, 1971).

3.6.1 LES GROUPES ECOLOGIQUES

Etablis à partir de 175 stations écologiques de référence et 70 espèces, les 26 groupes écologiques sont présentés au tableau 47. Leurs profils écologiques sont à l'annexe 4. Les 17 groupes écologiques les plus fréquents seront maintenant étudiés.

Tableau 47 Les groupes écologiques de la région écologique du lac Mistassini

	1	Γ.	T				
#	F.B. ¹	F. ²	NOM DES ESPECES	#	F.B.	F.	NOM DES ESPECES
1	mh	17	Rhacomitrium heterosticum	15	As	13	Populus tremuioides(s)
1	1i	12	Stereocaulon paschale		Ai	12	Populus tremuloides(i)
					1t	15	Lycopodium obscurum
2	mh	27	Polytrichum juniperinum	1	an	11	Nemopanthus mucronata
	li	26	Cladonia crispata				
	li li	21 20	Cladonia cornuta Cladonia cristatella	16	Ai	29	Sorbus decora(i)
1	li	11	Lecidea granulosa	1	lt lt	13 11	Solidago macrophylla
1	11	111	Beetded granutosa		1.0	11	Dryopteris spinulosa
3	li	37	Cladonia genecha	17	an	60	Amelanchier bartramiana
İ	li	17	Cladonia leformis	l	1		
	li	14	Cladonia gracilis	18	1t	57	Maianthemum canadense
1 .		00	D	1	1t	21	Linnaea borealis
4	gr	22	Deschampsia flexuosa Lycopodium sabinaefolium	1,,		(2)	D . 1
	1t	21	Egeopoatum sabinaejoiium	19	As Ai	62 46	Betula papyrifera(s) Betula papyrifera(i)
5	As	89	Finus banksiana(s)	l	AI	40	Betula papyrifera(i)
	Ai	32	Pinus banksiana(i)	20	1t	79	Cornus canadensis
				1	1t	41	Coptis groenlandica
6	an	79	Salix humilis	l			
1	li	68	Cladonia mitis	21	1t	47	Clintonia borealis
l	li	56 22	Cladonia uncialis	1	1t	25	Trientalis borealis
	1t	22	Epigaea repens	22	mh	51	Do 1. trai alta management
7	li	131	Cladonia rangiferina	22	mh	12	Polytrichum commune Dicranum scoparium
1	li	113	Cladonia alpestris	1		12	bieranum seoparium
	mh	116	Dicranum polysetum	23	1t	38	Lycopodium annotinum
l	mh	87	Ptilidium ciliare	1	an	17	Ribes glandulosum
	mh	56	Dicranum undulatum	1	an	13	Viburnum edule
8	1t	13	Epilobium angustifolium	24	As	27	Abies balsamea(s)
1 "	1.	13	ap o coo oun anguo o o jo o can	24	Ai	34	no ies balsamea(i)
9	Ai	20	Prunus pensylvanica(i)		mh	22	Hylocomium splendens
1							J
10	an	85	Alnus crispa	25	1t	12	Equisetum sylvaticum
111	ae	145	Vaccinium angustifolium	26	65	23	Sphaamim sohiistiiiii
**	ae	111	Vaccinium myrtillloides	1 20	sp ae	20	Sphagnum robustum Kalmia polifolia
1	ae	147	Kalmia angustifolia	1	ae	19	Chamaedaphne calyculata
				1	1t	16	Rubus chamaemorus
12	As	141	Picea mariana(s)	1	gr	14	Carex trisperma
1	Ai	158	Picea mariana(i)	1		1	-
	mh	162	Pleurozium schreberi	1			COMPAGNES
13	mh	108	Ptilium crista-castrensis		sp	38	Sphagnum nemoreum
1	1t	89	Gaultheria hispidula	1	1t	12	Geocaulon lividum
1	mh	72	Dicranum fuscescens	1		1	
	mh	15	Peltigera apritosa				70 3
	1t	13	Vaccinium vitis-idaea				70 espèces
14	ae	132	Ledum groenlandicum				nombre de relevés: 175
							nombre de refeves. 177
				L	L	L	L

Forme biologique
 Fréquence

GE5: PINUS BANKSIANA(S)
Pinus banksiana(i)

Les profils révèlent que ce groupe préfère:

- les hauts de pentes convexes
- les drainages excessifs à bons, sans seepage
- les forêts jeunes, très ouvertes et très basses
- les textures moyennes à grossières

L'amplitude de ce groupe est par contre plus restreinte lorsqu'on ne retient que les relevés où ce dernier est abondant (tableau 48). En peuplement, le pin gris est indicateur de drainage excessif (63 p. 100) et de texture sableuse (77 p. 100).

GE6: CLADONIA MITIS
Cladonia uncialis
Salix humilis
Epigaea repens

La distribution de ce groupe est sensiblement indentique à celle du pin gris. Toutefois, il semble associé à des classes de productivité moindre, ce que vient confirmer le tableau 49 démontrant qu'il est associé, dans 82 p. 100 des cas, au drainage excessif et, dans 80 p. 100 des cas, au sable.

GE7: CLADONIA ALPESTRIS
Cladonia rangiferina
Dicranum polysetum
Dicranum undulatum
Ptilium ciliare

Les profils de ce groupe révèlent une amplitude écologique assez large avec, toutefois, une préférence pour des peuplements ouverts, bas et peu productifs. En colonie abondante, cependant, c'est un excellent indicateur de milieux xériques (72 p. 100) et sableux (75 p. 100) (tableau 50).

GE10: ALNUS CRISPA

Groupe monospécifique qui, dans sa distribution générale, a un comportement difficilement interprétable (annexe 6). Il semble toutefois préférer faiblement:

- les fortes pentes,
- les drainages mésiques,
- les peuplements jeunes, mais productifs.

Cependant, en colonie, cette espèce devient une bonne indicatrice de drainage bon à modérément bon, avec seepage, sur tills et colluvions (tableau 51). Elle est plus fréquemment associée au seepage que dans la région du lac Evans (tableau 28), quoiqu'il s'accomode dans 25 p. 100 des cas de sols excessivement drainés.

GE11: VACCINIUM ANGUSTIFOLIUM Vaccinium myrtillotdes Kalmia angustifolia

C'est un groupe d'éricacées excessivement fréquent et très faiblement indicateur de conditions mésiques à xériques, comme en témoignent les profils écologiques (annexe 6) et sa distribution parmi les types écologiques (tableau 52). A l'encontre de son comportement dans la région du lac Evans (tableau 30) ce groupe colonise, dans 33 p. 100 des cas, des stations enrichies par le seepage.

Tableau 48 Répartition du GE5 parmi les types écologiques

Types écologiques	AF1	SM1	SG1	T1	AF2	SM23	Т2	TOTAL	
NR	2	3	2	6	6	8	57	NRT = 84	
NP	1	3	2	5	5	6	22	NPT = 44	
FR	0,50	1,00	1,00	0,83	0,83	0,75	0,39	FRT = 5,3	
FRN	9	19	19	16	16	14	7	100%	
					1				
drainage 1_ 2-3						_ 37%		GE5 Pinus banksi Pinus banksi	
						_ 37%		Pinus banksi	

Tableau 49 Répartition du GE6 parmi les types écologiques

Types écologiques	DU1	SM1	SG1	T1	AF2	т2	TOTAL
NR	1	3	2	5	6	52	NRT = 69
NP	1	2	2	3	3	10	NPT = 21
FR	1,00	0,67	1,00	0,60	0,50	0,19	FRT = 3,96
FRN	25	17	25	15	13	5	100%
	L		29				GE6
drainage l		8				8%	GE6 Cladonia mitis
drainage l					1	8%	۱ ا

Tableau 50 Répartition du GE7 parmi les types écologiques

Types écologiques	AF1	SM1	SG1	T1	AF23	SM23	SG23	Т2	TOTAL	
NR	2	3	2	5	7	8	4	52	NRT == 83	
NP	2	3	2	5	4	3	1	22	NPT = 42	
FR	1,00	1,00	1,00	1,00	0,57	0,38	0,25	0,42	FRT = 5,62	
FRN	18	18	18	18	10	7	4	7	100%	
seepage: 0%						2	8%		Cladonia alpes Cladonia rangi Dicranum polys Dicranum undul	ferir etum
sable		L		· 75%					Ptilidium cili	are
				1 3/0					,	

Tableau 51 Répartition du GE10 parmi les types écologiques

Types écologiques	AF1	SML	T2	Т3	SG23*	т23*	cv23*	T4*	TOTAL
NR	2	4	39	15	3	12	5	4	NRT = 84
NP	1	2	8	3	3	7	4	1	NPT = 29
FR	0,50	0,50	0,21	0,20	1,00	0,58	0,80	0,25	FRT = 4,04
FRN	12	12	5	5	25	15	20	6	100%
drainage 1 _	2	4%	•						GE10
2-3		4%						6%	
2-3						66		- 6%	GE10 Alnus cris

Tableau 52 Répartition du GEll parmi les types écologiques

Types écologiques	AF1	SM1	SG1	T1	AF23	SM23	SG23	т23	Т4	SG23*	T23*	cv23*	T4*	T5*	TOTAL
NR	2	4	2	4	7	8	4	80	3	3	15	5	4	4	NRT = 145
NP	2	2	2	4	3	7	4	67	2	2	13	5	3	1	NPT = 117
FR	1,00	0,50	1,00	1,00	0,43	0,87	1,00	0,84	0,67	0,67	0,81	1,00	0,75	0,25	FRT = 10,85
FRN	9	5	9	9	4	8	9	8	6	6	8	9	7	3	100%
4 _									- 52%					3%	Vaccinium angustifoliu Vaccinium myrtilloides Kalmia angustifolia
												_ 33%			_
seepage															

GE12: PICEA MARIANA(S)

Picea mariana(i)

Pleurozium schreberi

Tout comme dans la région écologique précédente, c'est un groupe ubiquiste (annexe 6), qui toutefois, préfère les sols bien drainés à modérément bien drainés sans seepage (tableau 53).

GE13: PTILIUM CRISTA-CASTRENSIS
Gaultheria hispidula
Dicranum fuscescens
Peltigera aphtosa
Vaccinium vitis-idaea

L'analyse des profils de ce groupe révèle une préférence pour:

- les pentes concaves,
- les sols frais,
- les peuplements fermés, hauts et productifs.

Ces préférences sont accentuées lorsque les espèces du groupe sont abondantes (tableau 54). Alors, le groupe devient un excellent indicateur de stations modérément à imparfaitement drainées avec seepage (70 p. 100). Dans 28 p. 100 des cas, ces espèces sont liées aux alluvions récentes, imparfaitement drainées.

GE14: LEDUM GROENLANDICUM

Groupe mono-spécifique, sans préférence très marquée pour quelque milieu que ce soit, si ce n'est pour les forêts plutôt ouvertes. Il semble donc que ce soit une espèce héliophile, liée au vieillissement des forêts. En colonie (tableau 55) on remarque quand même un optimum sur les sols bien à imparfaitement drainés.

GE15: POPULUS TREMULOIDES(S)
Populus tremuloides(i)
Lycopodium obscurum
Nemopanthus mucronata

A toute fin pratique, la région écologique du lac Mistassini constitue la limite septentrionale des tremblaies. Ainsi ce groupe écologique est-il un excellent indicateur de stations particulièrement riches:

Tableau 53 Répartition du GE12 parmi les types écologiques

Types ēcologiques	AF1	SM1	SG1	Tl	AF23	SM23	SG23	T23	т4	SG23*	T23*	T4*	т5*	TOTAL
NR	2	3	2	5	7	8	4	80	3	4	20	4	4	NRT = 145
NP	2	2	1	4	6	8	3	69	2	2	12	4	4	NPT = 119
FR	1,00	0,67	0,50	0,80	0,86	1,00	0,75	0,86	0,67	0,50	0,60	1,00	1,00	FRT = 10,21
FRN	10	6	5	8	8	10	7	8	7	5	6	10	10	100%
							T		-1		Г			GE12
2-3 4 _										1	7%			GE12 Picea mariana(s) Picea mariana(i) Pleurozium schrebe
4 _										1	. 			Picea mariana(s) Picea mariana(i)

Tableau 54 Répartition du GE13 parmi les types écologiques

Types écologiques	AF2	SM23	SG23	т23	SG23*	T23*	AV4*	T4*	TOTAL	
NR	6	8	4	77	4	18	1	4	NRT = 122	
NP	1	2	1	34	2	9	1	2	NPT == 52	
FR	0,17	0,25	0,25	0,44	0,50	0,50	1,00	0,50	FRT = 3,61	
FRN	4	7	7	12	14	14	28	14	100%	
2-3				58%					Ptilium cri	sta-castrensi
				58%					4	
4 _							42%		Gaultheria	-
					L				Dicranum fu	
						7	0%		Peltigera a	ohtosa
seepage									Vaccinium v	itis-idaea
seepage							1			
seepage					J 60% [•				

Tableau 55 Répartition du GE14 parmi les types écologiques

Types écologiques	AF1	AF23	SM23	SG23	т23	T4	тз*	cv23*	T4*	т5*	TOTAL
NR	3	7	8	4	80	3	7	5	4	4	NRT = 125
NP	2	2	5	2	38	2	4	1	3	1	NPT = 60
FR	0,67	υ,29	0,63	0,50	0,48	0,67	0,57	0,20	0,75	0,25	FRT = 5,01
FRN	13	6	13	10	10	13	11	4	15	5	100%
_				I		J			4		GE14
4 _							- 2	 28%			Ledum groenland
4 _							2 2	28%3		5%	· I

- drainage bon à modérément bon, généralement avec seepage,
- humus très bien décomposés,
- forêts fermées, hautes.

En peuplement, c'est un groupe exclusif aux drainages bons à modérément bons, avec seepage, et préférant les tills et les colluvions (tableau 56). Ce groupe est donc beaucoup plus exclusif qu'il ne l'était dans la région écologique du lac Evans (tableau 29).

Tableau 56 Répartition du GE15 parmi les types écologiques

Types écologiques	SG23*	cv23*	TA2*	TOTAL	
NR	3	5	5	NRT = 13	
NP	1	1	2	NPT = 4	
FR	0,33	0,20	0,40	FRT = ,93	
FRN	35	22	43	100%	
drainage 2-3	.	_ 100%		GE15 Populus tre	muloides(i,
sable	259			Lycopodium Nemopanthus	

GE16: SORBUS DECORA(I)
Solidago macrophylla
Dryopteris spinulosa

C'est un excellent indicateur de:

- milieux et bas de fortes pentes,

- drainage modérément bon, avec seepage,
- forêts claires, hautes, jeunes et productives.

En colonie, ce groupe écologique est systématiquement associé aux colluvions bien drainées (tableau 57). C'est un indicateur exclusif du seepage.

Tableau 57 Répartition du GE16 parmi les types écologiques

Types écologiques	SG23*	T23*	CV23*	TOTAL	
NR	3	12	5	NRT = 20	
NP	1	6	5	NPT = 12	
FR	0,33	0,50	1,00	FRT = 1,83	
FRN	18	27	55	100%	
drainage 2-3 seepage		_100%		GE16 Sorbus decore Solidago mac	rophyll
sable loams		82	<u>.</u>		

GE18: MAIANTHEMUM CANADENSE Linnaea borealis

Quoique moins restrictif que les groupes précédents (GE15, GE16), le groupe de Matanthemum demeure un bon indicateur de stations plutôt riches:

- drainage modérément bon à imparfait, généralement avec seepage,
- humus moyennement décomposés.

Mais, lorsque les espèces du groupe sont abondantes, elles deviennent des indicatrices quasi exclusives des tills ou colluvions modé-rément bien drainés avec seepage (tableau 58).

Tableau 58. Distribution du GE18 parmi les types écologiques

Types écologiques	Т2	SG23*	T23*	CV23*	TOTAL	
NR	38	3	12	5	NRT = 58	
NP	3	1	5	3	NPT = 12	
FR	0,08	0,33	0,42	0,60	FRT = 1,43	
FRN	6	23	29	42	100%	
drainage 2-3					GE18 Maianthemum Linnaea bor	
seepage			^{94%}		Linnaea bor	ealis
sable		23%				

GE19: BETULA PAPYRIFERA(S)
Betula papyrifera(i)

Groupe assez fréquent dans cette région écologique. C'est un excellent indicateur des stations riches:

- milieu de fortes pentes concaves,
- sols modérément bien drainés avec seepage,
- forêts claires, fermées,
- croissance rapide.

En peuplement, le bouleau blanc est très fortement lié aux tills et colluvions, bien à modérément bien drainées, avec seepage (tableau 59).

Tableau 59 Distribution du GE19 parmi les types écologiques

Types écologiques	Т2	SG23*	T23*	T4*	TOTAL	
NR	38	3	12	4	NRT = 57	
NP	4	2	8	1	NPT == 15	
FR	υ,11	0,61	0,67	0,25	FRT = 1,70	
FRN	7	39	39	15	100%	
		_ 85%		1.50	GE19 Betula papy	
4 _				15%	Betula papy	rijera(i,
seepage			93%			

GE20: CORNUS CANADENSIS
Coptis groenlandica

Les profils de ce groupe révèle une préférence nette pour:

- les pentes fortes et concaves,
- les drainages modérément bien drainés à mauvais, avec seepage,
- les forêts claires, hautes, à croissance rapide.

Mais, pour croître en colonie, ce groupe devient plus exigeant (tableau 60). Les sols doivent être bien à modérément bien drainés, avec seepage.

Types SG23* T23* cv23* écologiques TOTAL NR 12 NRT = 20NP 6 3 NPT = 10FR 0.33 0,50 0,60 FRT = 1,43FRN 23 35 42 100% drainage 2-3 ___ 100% GE20 Cornus canadensis seepage _____100% Coptis groenlandica

Tableau 60 Distribution du GE20 parmi les types écologiques

GE21: CLINTONIA BOREALIS
Trientalis borealis

C'est un groupe d'espèces moins fréquentes que celles du groupe précédent. Leur amplitude générale est également moins grande. Ce sont des espèces indicatrices de:

- sols modérément bien drainés, avec seepage,
- humus bien décomposés (C/N bas),
- de forêts claires et hautes.

Toutefois, en colonie, leurs exigences écologiques sont semblables à celle du groupe précédent (tableau 61).

Types écologiques	SG23*	T23*	CV23*	TOTAL					
NR	3	12	5	NRT = 20					
NP	1	5	3	NPT = 9					
FR	0,33	0,42	0,60	FRT = 1,35					
FRN	24	31	45	100%					
,									
drainage 2-3		_100%		GE21 Clintonia bo Trientalis b					

Tableau 61 Distribution du GE21 parmi les types écologiques

GE23: LYCOPODIUM ANNOTINUM Ribes glandulosum

C'est un groupe encore moins fréquent que le précédent, dont les profils révèlent une préférence très marquée pour:

- les bas de pentes concaves,
- les sols modérément à mal drainés, avec seepage,
- les forêts claires et hautes.

En colonie (tableau 62), c'est un groupe indicateur de colluvions (53 p. 100), de drainage modérément bon avec seepage (100 p. 100).

Types T23* cv23* SG23* écologiques TOTAL NR 3 12 5 NRT = 20NP 1 7 5 NPT = 13FR 0,33 0,58 1,00 FRT = 1,91FRN 17 30 53 100% drainage 2-3 ____ 100% GE23 Lycopodium annotinum seepage____100% Ribes glandulosum loams ______

Tableau 62 Distribution du GE23 parmi les types écologiques

GE24: ABIES BALSAMEA(S)
Abies balsamea(i)
Hylocomium splendens

Malgré un faible échantillonnage, le groupe écologique du sapin se caractérise par une distribution préférentielle pour:

- les bas de pentes concaves,
- les sols imparfaitement à mal drainés, avec seepage,
- les forêts claires, hautes,
- les croissances rapides.

En peuplement, toutefois, le sapin préfèrera les sols modérément bien drainés (tableau 63).

Tableau 63 Répartition du GE24 parmi les types écologiques

Types écologiques	SM23	T23	тз*	AV3*	AV4*	T5*	TOTAL	
NR	8	48	3	1	1	4	NRT = 65	
NP	1	6	2	1	1	1	NPT = 12	
FR	0,13	0,13	0,67	1,00	1,00	0,25	FRT = 3,18	
FRN	4	4	21	32	31	8	100%	
drainage 2-3		6	1%				GE24	
4 -		6			31%	8%	Abies balsam	nea(i)
4 -						8%	Abies balsam	mea(i)

GE26: SPHAGNUM ROBUSTUM
Kalmia polifolia
Chamaedaphne calyculata
Rubus chamaemorus
Carex trisperma

C'est un groupe caractéristique des:

- stations imparfaitement à mal drainés, avec seepage,
- forêts très ouvertes et très vieilles.

Ce diagnostic est confirmé au tableau 64.

Tableau 64 Distribution du GE26 parmi les types écologiques

Types écologiques	TA4*	TA4*	TA5*	TOTAL						
NR	3	4	4	NRT = 11						
NP	2	3	3	NPT = 8						
FR	υ,67	0,75	0,75	FRT = 2,17						
FRN	31	34	35	100%						
drainage 4 _ 5 _		5%	_ 35% _ 35%	GE26 Sphagnum robu Kalmia polifo Chamaedaphne Rubus chamaem	lia calyculato					
seepage			ams100%							

3.6.2 LES TYPES SOCIO-ECOLOGIQUES DE VEGETATION

Outre les brûlis, la végétation de la région écologique du lac Mistassini se répartit en cinq formations qui se divisent en 14 groupements, 15 sous-groupements et deux formes pour donner 25 types socio-écologiques de végétation (tableau 65) dont on présente en annexe 15 (tableau 66) le tableau synthétique de niveau 2 et au tableau 67 le tableau synthétique de niveau 3.

3.6.2.1 LES PINEDES A PIN GRIS (tableaux 66, 67, 68)

GED: Pinus banksiana (GE5)

Remarque: Plus abondantes que dans la région du lac Evans, les pinèdes à pin gris de la région du lac Mistassini n'en diffèrent pas quant à leur densité et à leur hauteur. Ce sont des forêts très ouvertes, basses, colonisant des sols bien drainés à excessivement drainés. On reconnaît quatre groupements et trois sous-groupements qui définissent six TSEV (tableau 68).

I. GROUPEMENT à Cladonia alpestris (PG-ca)

GED: Cladonia alpestris (GE7)

Structure: forêt très ouverte, basse à très basse

Dépôts: till et sable Drainage: excessif à bon

Croissance: modérée

Remarque: C'est le type de pinède le plus fréquent

dans cette région écologique.

II. GROUPEMENT à Alnus crispa (PG-alc)

GED: Alnus crispa (GE10)

Remarque: C'est un groupement de meilleure croissance que le précédent. On distingue trois sous-groupements: Tableau 65 Nomenclature des types socio-écologiques de la région écologique du lac Mistassini

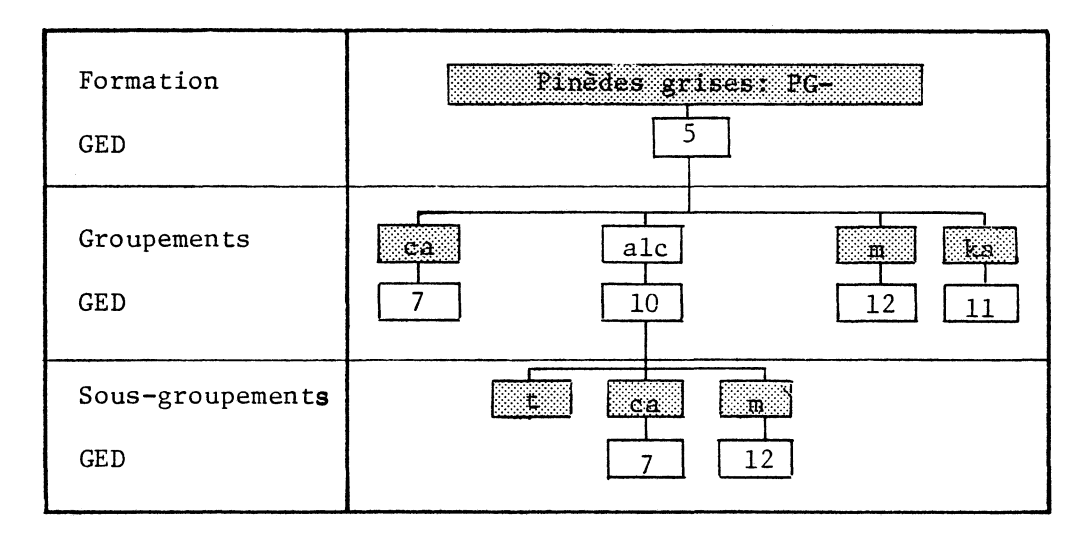
```
1. BRULIS: BR
   1.1. Ledum groenlandicum
                                           : -lg..... 1. BR-lg
   1.2. Cladonia mitis
                                          : -cm..... 2. BR-cm-t
         1.2.1. Pinus banksiana
                                              : -pg...... 3. BR-cm-pg
   1.3. Pinus banksiana
                                          : -pg..... 4. BR-pg
   1.4. Alnus crispa
                                          : -alc..... 5. BR-alc-t
         1.4.1. Pinus banksiana
                                                : -pg...... 6. BR-alc-pg
: -la..... 7. BR-alc-la
         1.4.2. Lycopodium annotinum
         1.4.3. Betula papyrifera
                                                : -bb...... 8. BR-alc-bb
   1.5. Betula papyrifera
                                         : -bb..... 9. BR-bb-t
         1.5.1. Lecidea granulosa
                                               : -lec.....10. BR-bb-lec
   1.6. Picea mariana
                                          : -en.....11. BR-en
                                          : -va......12. BR-va
   1.7. Vaccinium angustifolium
   1.8. Pleurozium schreberi
                                          2. PINEDES A PIN GRIS: PG
   2.1. Cladonia alpestris
                                         : -ca.....14. PG-ca
   2.2. Alnus crispa
                                         2.2.1. Cladonia alpestris
2.2.2. Pleurozium schreberi
                                               : -ca......16. PG-alc-ca
                                         : -m.....17. PG-alc-m
: -m.....18. PG-m
   2.3. Pleurozium schreberi
   2.4. Kalmia angustifolia
                                          : -ka.....19. PG-ka
3. TREMBLAIES: TR
   3.1. Typique
                                           :`TR.....20. TR
4. BETULAIES A BOULEAU BLANC: BB
   4.1. Picea mariana
                                         4.1.1. Alnus crispa
                                             : -alc......22. BB-en-alc
   4.2. Alnus crispa
                                          : -alc......23. BB-alc
   4.3. Abies balsamea
                                          : -sb.....24. BB-sb
5. PESSIERES A EPINETTE NOIRE: EN
   A. LANDES BOISEES: -LB
         5.A.1. Cladonia alpestris
                                               : -ca......25. EN-LB-ca-t
                5 A.1.1. Ledum groenlandicum
                                                   : -1g...26. EN-LB-ca-1g
   B. FORETS
         5.B.1. Cladonia alpestris
                                                : -ca.....27. EN-ca
        5.B.1. Cladonia alpestris
5.B.2. Pleurozium schreberi
5.B.2.1. Alnus crispa
5.B.2.2. Ledum groenlandicum
                                               : -m........28. EN-m-t
                                                    : -alc.29. EN-m-alc
                                                   : -1g..30. EN-m-1g-t
: -sr..31. EN-m-1g-sr
                5.B.2.2.1.Sphagnum robustum
                5.B.2.3. Abies balsamea
                                                    : -sb..32. EN-m-sb
        5.B.3. Ptilium crista-castrensis
                                              : -pcc......33. EN-pcc-t
                5.B.3.1. Alnus crispa
5.B.3.2. Sphagnum robustum
                                                : -alc.34. EN-pcc-alc
                                                     : -sr 35. EN-pcc-sr
         5.B.4. Sphagnum robustum
                5.B.4.1. Abies balsamea
                                                     : -sb..36. EN-sr-sb
        5.B.5. Alnus rugosa
                                               : -alr......37. EN-alr
ó. SAPINIERES: SB
   6.1. Typique
                                          : t......38. SB-t
```

Tableau 67 Tableau synthétique de niveau 3 des types socio-écologiques de végétation de la région écologique du lac Mistassini

Type socio-écologique de végétation	BR-1g	BR-cm-t	BR-cm-pg	BR-pg	BR-alc-t	BR-alc-pg	BR-alc-la	20 - 11	BR-bb-t	797-00-VG	BR-en	BR-va	BR-m	PG-ca	PG-alc-t	PG-alc-ca	PG-alc-m	PG-m	PG-ka	TR-t	BB-en-t	BB-en-aic	BB-alc	BB-sb	EN-LB-ca-t	EN-LB-ca-lg	EN-ca	EN-E	EN-	EN-m-1g-sr	EN-m-sb	EN-pcc-t	EN-pcc-alc	EN-pcc-sr	EN-sr-sb	EN-alr	£B-t
Nombre de relevés Numéro	1	2	1	1 4	1		1 1 7 8	- 1	1 1 9 1	- 1	2 11	1 12		19 14	2 15	3 16	2 17	13 18	2 19	4 20	5 21	2 22	4 23	3 24	6 25	8 26	- 1	15 6 28 2			3	11 33	4 34	1 35	2 36	2 37	5 38
CARACTERISTIQUES ECOLOGIQUES DOMINANTES																												-									
Drainage Scepage Z argile, limon et sable tr. fin Force de la pente (X) Forme de la pente Altitude (x100 pi.) Densité du peuplement Hauteur du peuplement Type écologique synthétique	1 0 38 2 X 10 D 3 S1	12 F 5	10 X X	2 0 36 2 X 11 F 5	2 0 42 0 X 12 F 5	0 50 0 X 11 F	2 2 1 1 1 48 4 20 2 X X 10 1 F F 5 5 T2 *CV	2 0 2 2	2 2 2 0 0 0 46 4 4 10 0 0 X X X 11 1 1 F F F 5 5 T2 T	1	0 36 2 X 11 F	0 40 0 X 12 F	1 50 5 C 14 F	1-2 0 36 3 X 11 D 34	2 0 51 15 X 12 D 4	1 0 44 2 R 10 D 3	2 0 50 3 X 12 D-C 3 T2	2 0 39 5 X-R 12 C 3 T2	2 0 22 4 X-R 13 b 3 T2	2-3 1 31 15 C-R 13 B 21 T2*	1 47 15 X-R 15 C	1 45 15 X-R 13 C	2-3 1 39 37 X-C 13 C 3	15 B 2	0 39 5 X 12 E	2 0 38 2 X-R 12 E 34 T2	0 39 1 X-R 12 D	8 : R-X)	0 0 17 4 3 1 - R X 2 1 0 D 13 3	1-3 49 5 R X-2 13 D 3	2 -0 0 33 8 -C X- 3 13 C 2	0- 45 11 C X- 12 C	RХ	48 1 R 14 C	5 1 47 5 R-X 17 D 2 T5*	11 D 3	3 1-0 55 3 C-X 14 B 2 S3*
GROUPES ECOLOGIQUES 1. Shacomitrium heterosticum 2. Lecidea granulosa 3. Cladonia gomecha 4. Lycopodium subinaefolium 5. Finus bankstana(s) 6. Cladonia mitis 7. Cladonia mitis 9. Prunus penuglvanica(i) 10. Alnus crispa 11. Vaccinium anyustifolium 12. Picea mariana(s) 13. Ptilium crista-custrensis 14. Ledum groenlandicum 15. Populus tremuloides(s) 16. Sorbus desora 17. Amelanchier bartramiana 18. Maianthemum canadense 19. Betula papyrifera(s) 20. Coptis groenlandica 21. Clintonia boroulis 22. Polytrichum commune 23. Lycopodium annotinum 24. Altes balsamea(s) 25. Equisetum sylvaticum 26. Sphagmum robustum 27. Alnus rugosa 28. Sphagmum nemoreum	1 1 1 1 2 2 6 1 1				. 1	****	.] 88 3 2 1 1 1 3 1 5 3		1 1 1 1 1 1 1 1 1 1 1 1 1 1 1 1 1 1 1 1		1 2 2	3 3 3 3 3 3 3 3 3 3 3 3 3 3 3 3 3 3 3 3		13 2 12 	Contribute.	1 1 1 1 1 1 1 1 1 1 1 1 1 1 1 1 1 1 1	27 9	1.5 1 1 1 1 1 1 1 2 2 4				5							11 11 11 11 11 11 11 11 11 11 11 11 11			1 3 3 2 2 3 4 4 4 4 4 4 4 4 4 4 4 4 4 4 4	11 5 31 2 13	15 19			

Groupe écologique	ou	espèc e	diagnostique
de la formation		du	sous-groupement
du groupement		de	la forme
autres espèces	im	portantes	i

Tableau 68 Groupes écologiques diagnostiques des pinèdes à pin gris



Sous-groupement typique (PG-alc-t)

GED: aucun

Structure: forêt très ouverte, basse

Dépôts: till Drainage: bon

Croissance: rapide

2. Sous-groupement à Cladonia alpestris (PG-alc-ca)

GED: Cladonia alpestris (GE7)

Structure: forêt très ouverte, basse

Dépôts: sable

Drainage: excessif Croissance: rapide

3. Sous-groupement à mousses (PG-alc-m)

GED: Picea mariana (GE12)

Structure: forêt très ouverte, basse

Dépôts: till Drainage: bon

Croissance: rapide

III. GROUPEMENT à mousses (PG-m)

GED: Picea mariana (GE12)

Structure: forêt ouverte, basse

Dépôts: till Drainage: bon

Croissance: rapide

Remarque: Colonise des stations sensiblement équivalentes à celles occupées par la pinède à Alnus crispa et mousses.

IV. GROUPEMENT à Kalmia angustifolia (PG-ka)

GED: Kalmia angustifolia (GE11)

Structure: forêt très ouverte, basse

Dépôts: till et sable

Drainage: bon

Croissance: modérée

Remarque: L'intensité du feu peut être à l'origine de

ce groupement, plus pauvre que les autres.

3.6.2.2 LES TREMBLAIES (tableaux 66, 67)

GROUPEMENT typique (TR-t)

GED: Populus tremulofdes (GE15)

Structure: forêt claire, très haute

Dépôts: till et colluvions

Drainage: bon à modérément bon, avec seepage

Croissance: rapide

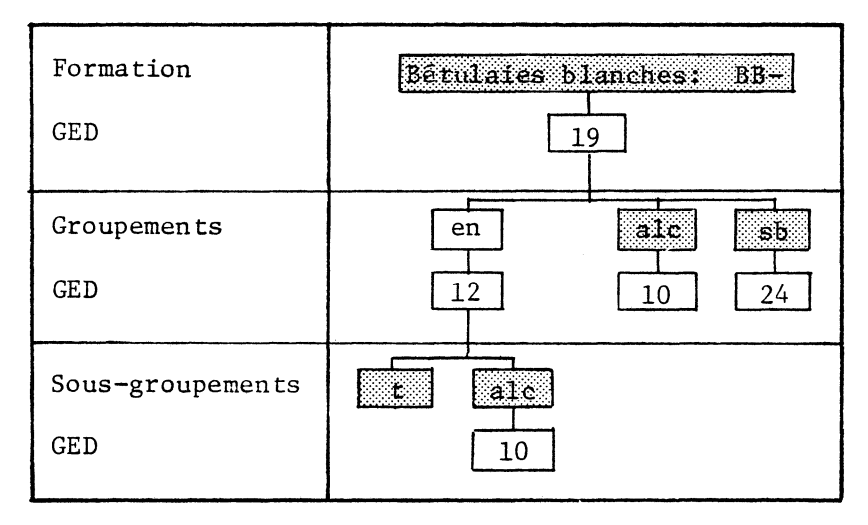
Remarque: Quoiqu'on retrouve quelques tremblaies rabougries plus au nord (région écologique du lac Sakami) les tremblaies de la région écologique du lac Mistassini sont les dernières véritables forêts. La majorité des groupes écologiques caractérisant la bétulaie se retrouve sous la tremblaie: Alnus crispa (GE10), Sorbus decora (GE16), Betula papyrifera (GE19), Cornus canadensis (GE20), Clintonia borealis (GE21).

3.6.2.3 LES BETULAIES A BOULEAU BLANC (tableaux 66, 67, 69)

GED: Betula papyrifera (GE19)

Remarque: Alors que les bétulaies de la région écologique du lac Evans sont des forêts claires et hautes, celles de la région du lac Mistassini sont ouvertes et basses. On distingue trois groupements (tableau 69).

Tableau 69 Groupes écologiques diagnostiques des bétulaies à bouleau blanc



I. GROUPEMENT à épinette noire (BB-en)

GED: Picea mariana (GE12)

Remarque: On reconnaît deux sous-groupements:

1. Sous-groupement typique (BB-en-t)

GED: aucun

Structure: forêt ouverte, basse

Dépôts: till

Drainage: bon à modérément bon, avec seepage

Croissance: modérée

2. Sous-groupement à Alnus crispa (BB-en-alc)

GED: Alnus crispa (GE10)

Structure: forêt ouverte, basse

Dépôts: till

Drainage: modérément bon à imparfait, avec seepage

Croissance: rapide

II. GROUPEMENT à Alnus crispa (BB-alc)

GED: Alnus crispa (GE10) Dépôts: colluvions, till

Drainage: bon à modérément bon, avec seepage

Croissance: rapide

III. GROUPEMENT à sapin (BB-sb)

GED: Abies balsamea (GE24)

Structure: forêt claire, haute

Dépôts: till

Drainage: bon à modérément bon, avec ou sans seepage

Croissance: rapide

3.6.2.4 LES PESSIERES A EPINETTE NOIRE (tableaux 66, 67, 70)

GED: Picea mariana (GE12)

Remarque: Entre les pessières à épinette noire du lac Evans et celles du lac Mistassini, il y a en moyenne une classe de densité de différence. Les pessières de Mistassini sont en général des forêts très ouvertes (25 à 40 p. 100 de couverture), alors qu'elles sont ouvertes (40 à 60 p. 100) dans la région écologique du lac Evans. Toutefois, les pessières à mousses sont encore nettement dominantes par rapport aux pessières à lichens. On distingue six groupements, dix sous-groupements et deux formes qui définissent treize types socio-écologiques de végétation (tableau 70).

I. GROUPEMENT de lande boisée à Cladonia alpestris (EN-LB-ca)
GED: Cladonia alpestris (GE7)

Remarque: Cette subdivision, essentiellement structurale, est nécessaire afin de séparer ces groupements de dégradation des autres. En effet, ces forêts originent toutes de feux qui ont dû être particulièrement intenses, ou répétés, pour les empêcher de se reconstituer normalement, c'est-à-dire d'atteindre une densité comparable aux autres groupements installés sur des stations identiques. L'âge moyen de ces forêts est de 90 ans. On distingue deux sous-groupements:

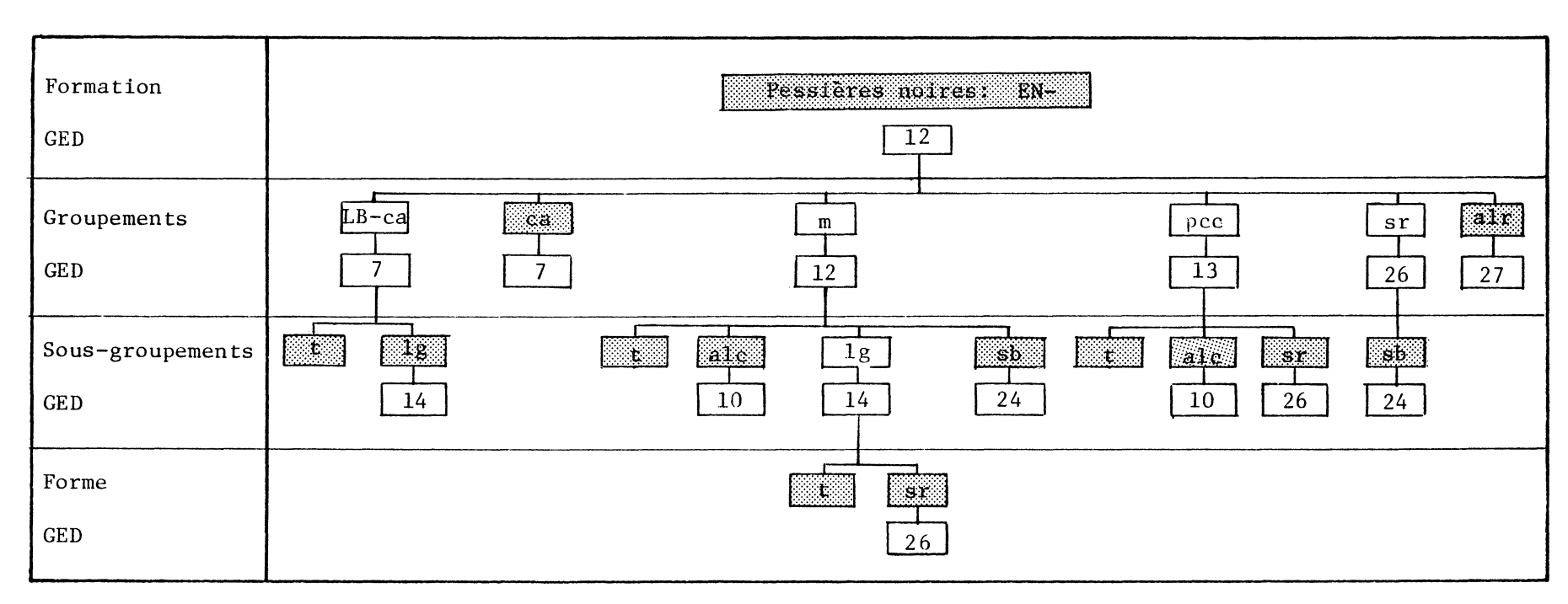


Tableau 70. Groupes écologiques diagnostiques des pessières à épinette noire

1. Sous-groupement typique (EN-LB-ca-t)

GED: aucun

Structure: lande boisée, basse à très basse

Dépôts: till Drainage: bon

Croissance: modérée

2. Sous-groupement à Ledum groenlandicum (EN-LB-ca-lg)

GED: Ledum groenlandicum (GE14)

Structure: lande boisée, basse à très basses

Dépôts: till Drainage: bon

Croissance: modérée

II. GROUPEMENT à Cladonia alpestris (EN-ca)

GED: Cladonia alpestris (GE7)

Structure: forêt très ouverte, basse

Dépôts: till Drainage: bon

Croissance: modérée

Remarque: Ce sont aussi des forêts consécutives à des

incendies, mais où la proportion de mousses est plus grande, permettant de supposer une

évolution vers la pessière à mousses.

III. GROUPEMENT à mousses (EN-m)

GED: Picea mariana (GE12)

Remarque: C'est le groupement stable, dominant dans

cette région écologique sur les stations mésiques (bien à modérément bien drainées).

On reconnaît quatre sous-groupements:

1. Sous-groupement typique (EN-m-t)

GED: aucun

Structure: forêt ouverte, basse à haute

Dépôts: till et sable

Drainage: modérément bon

Croissance: rapide

2. Sous-groupement à Alnus crispa (EN-m-alc)

GED: Alnus crispa (GE10)

Structure: forêt très ouverte, basse

Dépôts: till Drainage: bon

Croissance: rapide

3. Sous-groupement à Ledum groenlandicum (EN-m-1g)

GED: Ledum groenlandicum (GE14)

Remarque: Se caractérise par une couverture d'environ 40 p. 100 de Ledum groenlandicum.

Ces forêts représentent, probablement,
l'aboutissement des vieilles pessières
à mousses. L'âge moyen de la pessière à
mousses est de 85 ans, contre 125 ans
pour la pessière à Ledum. On distingue
deux formes:

a. Forme typique (EN-m-lg)

GED: aucun

Structure: forêt très ouverte, basse

Dépôts: till

Drainage: bon à modérément bon

Croissance: rapide

b. Forme à Sphagnum robustum (EN-m-lg-sr)

GED: Sphagnum robustum (GE26)

Structure: forêt très ouverte, basse

Dépôts: till

Drainage: imparfait, avec seepage

Croissance: modérée

4. Sous-groupement à sapin (EN-m-sb)

GED: Abies balsamea (GE24)

Structure: forêt ouverte, haute

Dépôts: till Drainage: bon

Croissance: rapide

Remarque: Ces forêts résultent très probablement de

leur situation en bordure du lac Mistassini,

où existe un micro-climat plus humide.

IV. GROUPEMENT à Ptilium crista-castrensis (EN-p-cc)

GED: Ptilium crista-castrensis (GE13)

Remarque: Ces forêts, moins ouvertes et fréquemment plus hautes que les pessières à Pleurozium schreberi (EN-m), sont généralement indicatrices de conditions microclimatiques plus humides. En effet, les relevés formant ce groupement sont situés en bordure de grands plans d'eau ou de grandes rivières. La croissance de l'épinette noire y est plus rapide. Trois sous-groupements sont reconnus:

1. Sous-groupement typique (EN-pcc-t)

GED: aucun

Structure: forêts ouvertes à claires, basses à hautes

Drainage: bon à modérément bon

Croissance: rapide

2. Sous-groupement à Alnus crispa (EN-pcc-alc)

GED: Alnus crispa (GE10)

Structure: forêt très ouverte, haute

Dépôts: till

Drainage: modérément bon Croissance: très rapide

3. Sous-groupement à Sphagnum robustum (EN-pcc-sr)

GED: Sphagnum robustum (GE26)

Structure: forêt ouverte, haute

Dépôts: till

Drainage: imparfait avec seepage

Croissance: rapide

V. GROUPEMENT à Sphagnum robustum (EN-sr)

GED: Sphagnum robustum (GE26)

Remarque: On ne reconnaît qu'un seul sous-groupement:

1. Sous-groupement à sapin (EN-sr-sb)

GED: Abies balsamea (GE24)

Structure: forêt très ouverte, haute

Dépôts: till

Drainage: mauvais avec seepage

Croissance: rapide

VI. GROUPEMENT à Alnus rugosa (EN-alr)

GED: Alnus rugosa (GE27)

Structure: forêt très ouverte, basse

Dépôts: till et alluvions

Drainage: mauvais avec seepage

Croissance: modérée

3.6.2.5 LES SAPINIERES (tableaux 66, 67)

GED: Abies balsamea (GE24)

Structure: forêt claire, haute

Dépôts: till et alluvions

Drainage: modérément bon, avec ou sans seepage

Croissance: très rapide

Remarque: Ces forêts, tout comme la pessière à épinette noire et sapin, s'installent à proximité des grands plans d'eau ou à l'est de la région écologique, où les précipitations annuelles et estivales sont plus élevées.

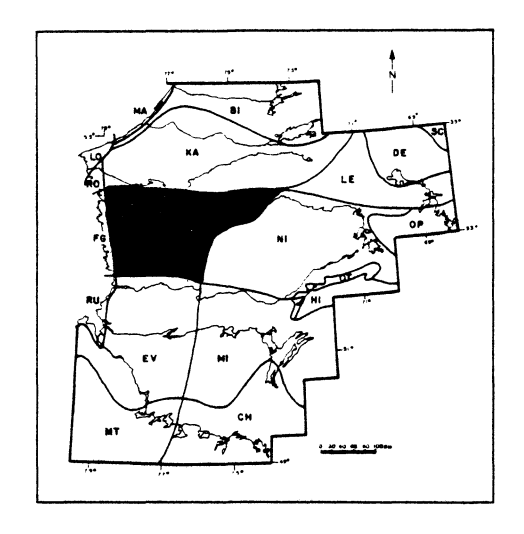
3.6.3 LES CHRONOSEQUENCES

Les chronoséquences végétales de la région écologique du lac Mistassini sont présentées au tableau 71. Nous référons le lecteur à la section 3.3 pour ce qui concerne l'approche théorique et pratique de la détermination des chronoséquences.

Tableau 71 Chronoséquences végétales de la région écologique du lac Mistassini

TYPES ECOLOGIQUES SYNTHETIQUES	TYPES ECOLOGIQUES	CHRONOSEQUENCES	CLIMAT LOCAL PLUS HUMIDE	FEUX REPETES
T1	TA1, TD1, TH1, TY1, TM1	PG-ca → EN-LB-ca → EN-ca		
S1	SG1, SM1, AM1, AF1	PG-ca → EN-LB-ca → EN-ca		
D1	TP1, SE1, DU1, SA1, RO1	PG-ca → EN-LB-ca → EN-ca		
A23	AL2, AL3	(TR-alc/BB-alc-an) → (EN-m-alc/EN-m-alc-sb)"EV"		
Т2	TA2, TD2, TH2, TY2, TM2	BR-alc-pg → PG-m → (EN-m-lg/EN-m-alc)	BB-sb → SB	BR-cm → PG-ca → EN-LB-ca → EN-ca
т3	TA3, TD3, TH3, TY3, TM3	BR-en → (EN-m/EN-pcc)	SB	
S23	SG23, SM23, AM23, AF2, AF3	PG-m → EN-m	EN-m-sb	BR-cm → PG-ca → EN-LB-ca → EN-ca
SA23	SA2, SA3	PG-m → EN-m		
TR21	TR21	PG-ca → EN-LB-ca → EN-ca		
TR3	TR3	EN-LB-ca + EN-ca		
TP23	TP23	EN-ca		
SR13	SR13	EN-ca		
RT14	RT14	EN-ca		
TR4	TR4	EN-m-1g-sr		
A4	MA4, AL4, TC4	(EN-sn/EN-m-sn)"EV"		
т4	TA4, TM4	EN-m-lg-sr		
S4	SV4	EN-m-lg-sr		
SA4	SA4	EN-m-lg-sr		
A5	MA5, AL5, TC5	EN-sn "EV"		
т5	TAS, TMS	EN-sn-cc "EV"		
s 5	SV5	EN-sn-cc "EV"		
SA5	SA5	EN-sn-cc "EV"		
TR5	TR5	EN-sn-cc "EV"		•
A23*	MA23*, AL2*, AL3*, TC2*, TC3*	BR-alc + TR-alc + (EN-m-sb/EN-m-alc)"EV"		
T2*	TA2*, TD2*, TM2*	BR-alc-la → (TR/BB-alc) → (EN-m-alc/EN-pcc)		
т3*	TA3*, TD3*, TM3*	BR-m → BB-en → (EN-m/EN-pcc)	BB-sb → SB	
s23*	SG23*, SM23*, AM23*	(TR/BB-alc) → EN-pec		
SA3*	SA3*	EN-pcc		
cv23*	CV23*	BR-alc-bb → BB-alc		
TR2*	TR2*, SR2*	EN-m		
ER23*	ER23*	BB-alc		
RO24*	RO24*	(EN-m-alc/EN-m-lg-sr)		
TR34*	TR34*	(EN-m-alc/EN-m-lg-sr)		
SR34*	SR34*	(EN-m-alc/EN-m-lg-sr)		
A4*	MA4*, AL4*, TC4*	TR → (EN-sr/EN-sn-sb)"EV"		
T4*	TA4*, TM4*	BB-en-alc + EN-pcc-sr		
CV4*	CV4*	BB-en-alc → EN-pcc-sr		
S4*	AV4*	EN-pcc-sr	SB	
SA4*	SA4*	EN-pcc-sr		
A5*	MA5*, AL5*, TC5*	TR-alr → EN-alr "EV"		·
T5*	TA5*, TM5*	(EN-sr-sb/EN-alr)		
S5*	AV5*	EN-alr		
SA5*	SA5*	EN-alr		
TP45*	TP45*	EN-alr		
TR5*	TR5*	EN-alr		
CR46*	CR46*	EN-alr		
RO5*	RO5*	EN-sn "EV"		
S6*	AV6*	ALR "EV"		
AA6*	AA6*	ALR		

3.7 LA VEGETATION DE LA REGION ECOLOGIQUE DU LAC SAKAMI



La région écologique du lac Sakami appartient au domaine des forêts très ouvertes et à la sous-zone biologique du Moyen-Subarctique (Ducruc et αl ., 1976). Elle est bornée au sud par la région écologique du lac Evans (latitude 52° N), au nord par celle de la rivière Kanaaupscow (latitude 54° N), à l'ouest par la région écologique de Fort-George (longitude 79° Ouest) et à l'est par celle du lac Nichicun (longitude 75° Ouest). L'altitude moyenne est d'en-

viron 175 m et varie entre 25 m à l'ouest et 400 m à l'est. Le relief, moutonné à ondulé de cette région, lui est conféré d'abord par les dépôts argilolimoneux de la mer de Tyrrell, fréquemment recouverts par de vastes tourbières. De nombreux affleurements rocheux supportent ici et là une mince couche de till. On trouve, aussi, des zones dominées par les plages soulevées de la mer de Tyrrell.

La température moyenne annuelle se situe autour de -2,5°C; la moyenne des précipitations annuelles est de l'ordre de 650 mm, tandis que les précipitations estivales sont inférieures à 400 mm, ce qui en fait la région écologique la plus sèche, à l'exception de la pointe Louis-X1V; la durée moyenne annuelle de la saison de croissance n'est plus que de 130 jours contre 140 pour le bas-subarctique (Wilson, 1971).

3.7.1 LES GROUPES ECOLOGIQUES

Etablis à partir de 183 stations écologiques de référence et 89 espèces, les 37 groupes écologiques sont présentés au tableau 72. Leurs profils écologiques sont à l'annexe 5. Les 12 groupes écologiques les plus fréquents sont maintenant traités.

Tableau 72 Les groupes écologiques de la région écologique du lac Sakami

			lac Sakami				
#	F.B.1	F. ²	NOM DES ESPECES	#	F.B.	F.	NOM DES ESPECES
1	Ai	29	Pinus banksiana(i)	22	ae	31	Kalmia polifolia
	mh	26	Polytrichum piliferum	1			
ĺ	li	15	Lecidea granulosa	23	As	41	Larix laricina(s) Larix laricina(i)
2	1t	17	Lycopodium sabinaefolium		Ai	22	Larix larigina(1)
1 2	lt	15	Epigaea repens	24	sp	30	Sphagnum nemoreum
	gr	14	Oryzopsis pungens	1	1t	20	Vaccinium oxycoccos
1	1t	11	Solidago hispida	25		٠,	Prunus pensylvanica
3	li	44	Stereocaulon paschale	25	an	11	Frunus pensytvantca
-	mh	15	Rhacomitrium heterosticum	26	lt	16	Solidago macrophylla
i				1	1t	11	Lycopodium obscurum
4	As an	71 63	Pinus banksiana(s) Salix humilis	27	1t	13	Rubus idaeus
	an	0.5	Satta numeros	"	an	12	Viburnum edule
5	li	15	Cladonia gonecha	1			
1	li	12	Cladonia crispata	28	As	12	Populus tremuloides(s)
6	ae	30	Vaccinium uliginosum	29	1t	23	Linnaea borealis
1	1t	26	Potentilla tridentata		1t	18	Trientalis borealis
	gr	23	Deschampsia flexuosa	1	As	15	Betula papyrifera(s)
7	1.	73	Cladonia comuta	1	an 1t	12 11	Amelanchier bartramiana Clintonia borealis
1 '	li li	54	Cladonia cornuta Cladonia chlorophaea	1	1	**	
1	1i	49	Cladonia cristatella	30	1t	49	Lycopodium annotinum
1	li li	23 16	Cladonia cenotea Cladonia gracilis	31	mh	83	Ptilium crista-castrensis
1	111	10	cradonta graettis) 31	mh	40	Peltigera aphtosa
8	11	120	Cladonia mitis		mh	28	Dicranum fuscescens
	li	90	Cladonia uncialis Polytrichum juniperinum	32	mh	20	Hylocomium splendens
1	mh	40	Folyti-tenum Juniperinum	1 32	iuri	20	ing to compain op tendent
9	ae	138	Vaccinium angustifolium	33	gr	13	Carex brunescens
1	ae	75	Kalmia angustifolia	1	1t	12 11	Viola pallens Calamagrostis canadensis
10	1t	42	Epilobium angustifolium	1	gr	11	outumagrootto samasmoto
				34	an	32	Alnus rugosa
11	an	51	Alnus crispa	1	an	18	Ribes glandulosum
12	ae	40	Vaccinium myrtilloides.	35	1t	54	Equisetum sylvaticum
1	1t	28	Geocaulon lividum	1	1t	47	Gaultheria hispidula
1	1	0.5	Cornus canadensis	1	lt	35 28	Rubus chamaemorus Sphagnum fuscum
13	lt li	85 51	Cladonia deformis	1	sp sp	23	Sphagnum robustum
1	1t	33	Maianthemum canadense	1	'		
1	١	26	Fatanitas malmatus	36	ae	34	Chamaedaphne calyculata
14	lt an	26 18	Fetasites palmatus Salix bebbiana	37	1t	23	Smilacina trifolia
1				1	sp	15	Sphagnum girgensohnii
15	mh	153	Pleurozium schreberi		gr	12	Carex trisperma
1	mh mh	87 86	Ptilidium ciliare Dicranum polysetum	1	Ai	11	A b ies balsamea(i)
1	mh	27	Dicranum scoparium				
1			07-4				
16	li li	141	Cladonia rangiferina Cladonia alpestris				
1	**	23,					COMPAGNES
17	As	151	Picea mariana(s)		an	12	Juniperus communis
1	Ai	166	Picea mariana(i)		ae	11	Vaccinium cespitosum
18	1t	53	Empetrum nigrum				89 espèces
1		116	Ladam anagular di aa				os capeces
19	ae	146	Ledum groenlandicum				nombre de relevés: 183
20	an	40	<u>Betula glandulosa</u>				
21	1t	80	Vaccinium vitis-idaea	1			
	mh	52	Polytrichum commune				
1	mh mh	50 31	Dicranum undulatum Peltigera canina				
i	mh	25	Nephroma articum	1			
1			-	1			

Forme biologique
 Fréquence

GE4: PINUS BANKSIANA(S)
Salix humilis

Les profils écologiques de ce groupe révèlent une très grande similarité avec ceux du groupe équivalent de la région du lac Mistassini:

- hauts de pentes convexes,
- drainage excessif à bon, sans seepage,
- forêts jeunes, très ouvertes et très basses,
- texture moyenne à grossière.

En peuplement (tableau 73) les exigences écologiques diffèrent peu. Par contre, on remarquera que, par rapport à la région du lac Mistassini (tableau 49), où seulement 37 p. 100 des pinèdes à pin gris colonisent les stations bien drainées, dans la région du lac Sakami on y retrouve 47 p. 100 des pinèdes.

GE8: CLADONIA MITIS
Cladonia uncialis
Polytrichum juniperinum

Groupe d'amplitude écologique assez large. C'est avant tout un groupe d'espèces pionnières après feu, colonisant les sables modérément bien drainés à excessivement drainés (tableau 74).

GE9: VACCINIUM ANGUSTIFOLIUM Kalmia angustifolia

Groupe écologique très fréquent et relativement ubiquiste, avec toutefois une préférence pour:

- les stations modérément à excessivement drainées, sans seepage,
- les jeunes forêts, très ouvertes et très basses,
- les textures moyennes.

En colonie (tableau 75) ce groupe caractérise avant tout les sables bien drainés à modérément bien drainés, sans seepage.

Tableau 73 Répartition du GE4 parmi les types écologiques

Types ēcologiques	RO1	AU1	SM1	SG1	T1	AF2	DU2	SM2 3	SG23	SR13	т23	SG23*	TOTAL
NR	4	3	3	9	6	4	3	7	3	5	18	2	NRT = 67
NP	2	3	3	6	4	2	1	3	3	2	5	1.	NPT = 35
FR	0,50	1,00	1,00	0,67	υ,67	0,50	0,33	0,43	1,00	0,40	0,28	0,50	FRT = 7,28
FRN	7	14	14	9	9	7	5	6	14	5	4	6	100%
	3												GE4 Pinus banksiana Salix humilis
seepage												_ 6%	
rocsable	//		L										1

Tableau 74 Répartition du GE8 parmi les types écologiques

Types ēcologiques	RO1	DU1	SM1	SG1	TY1	T1	AF2	DU2	SM23	SG23	SR13	TY23	т23	MA23	TA4	TM2 *	TOTAL
NR	4	3	3	9	2	2	4	3	7	3	5	12	15	17	3	2	NRT = 94
NP	4	2	2	7	2	1	3	3	7	3	4	11	11	2	1	1	NPT = 63
FR	1,00	0,67	0,67	0,78	1,00	0,50	0,75	1,00	1,00	1,00	0,80	0,92	0,73	0,12	0,33	0,50	FRT = 11,77
FRN	8	6	6	7	8	5	6	8	8	8	7	8	6	1	3	5	100%
4 _															57%	5%	Cladonia uncialis Polytrichum juniper num
seepage																<i>ا</i> ر	L

Tableau 75 Répartition du GE9 parmi les types écologiques

Types ē cologiques	RO1	SM1	SG1	T1	AF2	SM23	SG23	SR13	TY23	T23	SG23*	TM2*	TOTAL	
NR	4	3	9	2 .	4	7	3	5	12	13	2	2	NRT = 66	
NP	2	1	5	2	1	2	2	3	4	6	1	1	NPT = 30	
FR	υ,50	0,33	0,55	1,00	0,25	0,29	0,67	0,60	0,33	0,46	0,50	0,50	FRT = 5,98	
FRN	8	6	9	17	4	5	12	10	6	8	8	8	100%	
2-3								6	0%				Vaccinium angu Kalmia angusti	•
seepage											1	6%	J	
roc sable	- 8%	.	1	J	L					J		ı		
sable			<u> </u>	<u> </u>			- 60%			<u>」。32%</u>				

GE11: ALNUS CRISPA

Ce groupe monospécifique préfère:

- les pentes modérées à fortes,
- les sols modérément à imparfaitement drainés,
- les forêts ouvertes et hautes, à croissance rapide
- les textures moyennes à fines.

C'est une espèce de seconde venue, particulièrement après un incendie sur argile bien drainée, où elle forme des fourrés très denses. Elle occupe spécialement les stations modérément à imparfaitement drainées, parfois avec seepage, sur les tills et argiles (tableau 76).

Tableau 76 Répartition du GEll parmi les types écologiques

Types écologiques	DU2	SG23	TA2	MA23	MA4	MA23*	TA4 [*]	TOTAL
NR	3	3	4	17	6	3	2	NRT = 35
NP	1	1	2	7	1	1	1	NPT = 14
FR	0,33	υ,33	0,50	0,41	0,17	0,33	0,50	FRT = 2,5
FRN	13	13	19	16	7	13	19	100%
drainage 2-3					74% -			GE11
					74%			
						— 26% —		
4 _						— 26% —		
4 - seepage	2					26%		GE11 Alnus cris

GE13: CORNUS CANADENSIS
Cladonia deformis
Matanthemum canadense

C'est un groupe, à très vaste distribution, que l'on retrouve sur la majorité des conditions écologiques de la région, avec, toutefois, une préférence marquée pour les stations mésiques. En colonie, ce groupe devient un indicateur plus spécifique de drainage bon à modérément bon avec seepage (tableau 77).

Tableau 77 Répartition du GE13 parmi les types écologiques

Types écologiques	AF2	AL3	CV23*	MA23*	TOTAL	
NR	4	1	3	3	NRT = 11	
NP	1	1	3	2	NPT = 7	
FR	0,25	1,00	1,00	0,67	FRT = 2,92	
FRN	9	34	34	23	100%	
drainage 2-3 seepage		L	57	%	GE13 Cornus canad Cladonia def	ormis
loams			573	7.		
		34%				
limon						

GE15: PLEUROZIUM SCHREBERI
Ptilidium ciliare
Dicranum polysetum
Dicranum scoparium

C'est un groupe excessivement ubiquiste, sauf en ce qui concerne l'ouverture des peuplements, puisqu'il préfère les forêts peu ouvertes (annexe 8). Toutefois, cette ubiquité n'est qu'apparente, car, en colonie, ce groupe est essentiellement restreint aux stations bien drainées à imparfaitement drainées, avec ou sans seepage (tableau 78).

GE16: CLADONIA RANGIFERINA Cladonia alpestris

Ce groupe-ci est tout autant ubiquiste que le précédent, mais par contre occupe de préférence les stations ensoleillées (annexe 8). En colonie, c'est un groupe qui préfère des milieux excessivement drainés (49 p. 100) à modérément bien drainés sans jamais de seepage (tableau 79). D'autre part, il préfère les sables (69 p. 100) aux autres dépôts.

GE17: PICEA MARIANA(S)
Picea mariana(i)

Espèce omniprésente dans le territoire, on rencontre l'épinette noire dans toutes les conditions écologiques possibles, isolée, tout comme en peuplement (tableau 80).

GE19: LEDUM GROENLANDICUM

Espèce très ubiquiste qui, cependant, par rapport à l'épinette noire, est plus fréquente sur les stations imparfaitement drainées à mal drainées (tableau 81).

GE31: PTILIUM CRISTA-CASTRENSIS
Peltigera aphtosa
Dicranum fuscescens

C'est un groupe qui préfère les:

- stations modérément à imparfaitement drainées, avec seepage,
- vieilles forêts claires, hautes,
- stations à croissance rapide.

Tableau 78 Répartition du GE15 parmi les types écologiques

Types ∉cologiques	RO1	SG1	AF2	DU2	AM23	SM23	SG23	TY23	T23	MA23	SV45	MA45	SG23*	cv23*	T23*	MA23*	TA45*	TP4*	MA45*	AL5*	TOTAL
NR	4	9	4	3	2	7	3	12	17	17	3	10	2	3	3	3	3	2	4	2	NRT = 113
NP	2	1	1	2	2	3	1	4	13	10	2	9	2	3	3	1	3	2	4	1	NPT = 68
?R	0,50	0,11	0,25	0,67	1,00	0,43	0,33	0,33	0,76	0,59	0,67	0,90	1,00	1,00	1,00	0,33	1,00	1,00	1,00		FRT - 13,37
FRN	4	0	2	5	8	3	2	2	6	4	5	7	8	8	8	2	8	7	7	4	100%
eepage																52%			1		Dieranum polys Dieranum scopa
																					<u> </u>

Tableau 79 Répartition du GE16 parmi les types écologiques

Types ē cologiques	RO1	DU1	SM1	SG1	TY1	ті	AF2	SM2 3	SG23	SR13	ТҮ23	T23	MA23	sv4	TA4	MA4	TOTAL
NR	4	3	3	9	2	4	4	10	3	5	12	15	17	2	3	6	NRT = 102
NP	4	3	3	8	2	3	3	5	3	4	8	9	5	1	2	2	NPT = 65
FR	1,00	1,00	1,00	0,89	1,00	0,75	0,75	0,50	1,00	0,80	0,67	0,60	0,29	0,50	0,67	0,33	FRT = 11,75
FRN	9	9	9	8	8	6	6	4	9	6	6	5	2	4	6	3	100%
4															_ 13%		Cladonia rangiferi Cladonia alpestris
seepage: 0%									- 69%		1				_		

Tableau 80 Répartition du GE17 parmi les types écologiques

Types Scologiques	RO1	SM1	SG1	TY1	TAl	AF2	DU2	AM2 3	SM23	SG23	SR13	TY23	T23	MA23	SV45	TA4	MA45	SG23*	T2*	MA23*	T45*	MA45*	AL5*	TP4*	TOTAL
≀R	4	3	9	2	2	4	3	2	7	3	5	12	17	17	3	3	10	2	4	3	3	4	2	2	NRT - 126
1P	3	3	5	2	2	4	3	2	5	2	4	7	12	17	3	3	9	2	3	1	3	4	1	2	NPT 102
FR	0,75	1,00	0,55	1,00	1,00	1,00	1,00	1,00	0,71	0,67	0,80	0,58	0,71	1,00	1,00	1,00	0,90	1,00	0,75	0,33	1,00	1,00	0,50	1,00	FRT - 20,33
FRN	4	5	3	5	5	5	5	5	3	4	4	3	3	5	5	5	4	5	4	1	5	5	2	5	100%
seepage																					27%				Picea mariana
roc	4%	_							52%										•						
sable									_							J 27% L									

Tableau 81 Répartition du GE19 parmi les types écologiques

Types €cologiques	RO1	AM1	SG1	TY1	AF2	DU2	SM23	SG23	SR13	TY23	т23	MA23	SV45	TA4	MA45	SG23*	T23*	T45*	MA45*	TOTAL
NR	4	2	9	2	4	3	7	3	5	12	15	17	3	3	11	2	5	3	4	NRT = 114
NP	2	2	2	1	2	1	3	1	3	7	12	8	3	3	9	1	3	2	2	NPT 67
FR	0,50	1,00	0,22	0,50	0,50	0,33	0,43	0,33	0,60	0,58	0,80	0,47	1,00	1,00	0,82	0,50	0,60	0,67	0,50	FRT = 11,35
FRN	4	9	2	4	5	3	4	3	5	5	7	4	9	9	7	4	5	6	5	100%
																3	0.0			
4-5	·																			4
																	20%	7		•
eepage														·			20%	7		•
4-5 seepage oc sable oams	4%	, ,											53% [J 279				J	.	•

Tableau 82 Répartition du GE31 parmi les types écologiques

Types ēcologiques	DU2	AM2 3	SM23	SG23	Т3	MA23	SG23*	T2 3*	MA23*	TA4*	MA5*	TOTAL	
NR	3	2	7	3	3	17	2	3	3	2	3	NRT = 48	
NP	1	2	1	1	1	12	1	2	1	1	2	NPT = 25	
FR	0,33	1,00	0,14	0,33	0,33	0,71	0,50	0,67	0,33	0,50	0,67	FRT = 5,51	
FRN	6	18	3	6	6	13	9	12	6	9	12	100%	
4-5									_ 48%	2	1%	Ptilium cristo Peltigera aph Dicranum fusc	tosa
sable						2%		- ا _{27%} ا					

En colonie cette amplitude écologique n'est pas sensiblement différente (tableau 82). En l'absence de seepage, un microclimat plus humide favorisera généralement l'installation de ce groupe écologique.

GE34: ALNUS RUGOSA Ribes glandulosum

C'est un excellent groupe indicateur de:

- stations imparfaitement à mal drainées, avec seepage,
- humus bien décomposés (C/N bas),
- texture fine.

En peuplement (tableau 83), l'écologie de ce groupe est sensiblement la même que celle révélée par ses profils.

Tableau 83 Répartition du GE34 parmi les types écologiques

Types écologiques	MA23	MA4	MA23*	AL5*	AV6*	TOTAL	
NR	17	6	3	2	2	NRT 30	
NP	5	5	1	1	2	NPT 14	
FR	0,29	0,83	0,33	0,50	1,00	FRT 2,95	
FRN	10	28	11	17	34	100%	
drainage 2-3	3			_		GE34 Alnus rugo	0 s a
4 _ 5 _		28%			, 		
4 _ 5 _		28%			34%	Alnus rugo	

GE35: EQUISETUM SYLVATICUM
Gaultheria hispidula
Rubus chamaemorus
Sphagnum fuscum
Sphagnum robustum

Ce groupe écologique, plus fréquent que le précédent (Alnus rugosa), lui ressemble cependant beaucoup. C'est un groupe de stations imparfaitement drainées à mal drainées, avec seepage. A l'encontre d'Alnus rugosa, le groupe d'Equisetum sylvaticum accompagne plus fréquemment de vieilles forêts claires. En colonie, ce groupe est exclusif aux drainages imparfaits et mauvais (tableau 84).

Tableau 84 Répartition du GE35 parmi les types écologiques

Types écologiques	SV4	MA45	TP45*	MA45*	TOTAL
NR	2	10	2	4	NRT 18
NP	1	6	2	4	NPT 13
FR	0,50	0,60	1,00	1,00	FRT 3,10
FRN	16	19	32	32	100%
			J2	32	
drainage 4-5			00%		GE35 Equisetum sylvaticum
drainage 4-5		1			GE35 Equisetum sylvaticum Gaultheria hispidulo Rubus chamaemorus
drainage 4-5		1	00%		GE35 Equisetum sylvaticum Gaultheria hispidulo

3.7.2 LES TYPES SOCIO-ECOLOGIQUES DE VEGETATION

Outre les brûlis, très fréquents, la végétation de la région écologique du lac Sakami se répartit en cinq formations qui se divisent en 15 groupements, 15 sous-groupements et huit formes, pour donner 30 types socio-écologiques de végétation (tableau 85), dont on présente en annexe 16 (tableau 86) le tableau synthétique de niveau 2 et au tableau 87 le tableau synthétique de niveau 3.

3.7.2.1 LES PINEDES A PIN GRIS (tableaux 86, 87, 88)

GED: Pinus banksiana (GE4)

Remarque: Par rapport aux pinèdes des régions écologiques des lacs Evans et Mistassini, qui sont des forêts basses et très ouvertes, les pinèdes de cette région sont très ouvertes mais très basses (3 à 9 m). Quelques-unes d'entre elles sont des landes boisées. Beaucoup plus fréquentes que dans les régions précédentes, les pinèdes se divisent en quatre groupements, neuf sous-groupements et deux formes pour définir onze types socio-écologiques de végétation (tableau 88).

I. GROUPEMENT à Rhacomitrium heterosticum (PG-rh)

GED: Stereocaulon paschale (GE3)

Structure: lande boisée, très basse

Dépôts: affleurement rocheux

Drainage: excessif Croissance: modérée

II. GROUPEMENT à Cladonia mitis (PG-cm)

GED: Cladonia mitis (GE8)

Remarque: Jeunes forêts (moyenne d'âge 38 ans) évoluant vers la pinède à Cladonia alpestris.

A toute fin pratique, l'ensemble des pinèdes à Cladonia mitis (PG-cm) et à Cladonia alpestris (PG-ca) pourrait être considéré comme une même unité. On distingue trois sous-groupements:

Tableau 85 Nomenclature des types socio-écologiques de la région écologique du lac Sakami

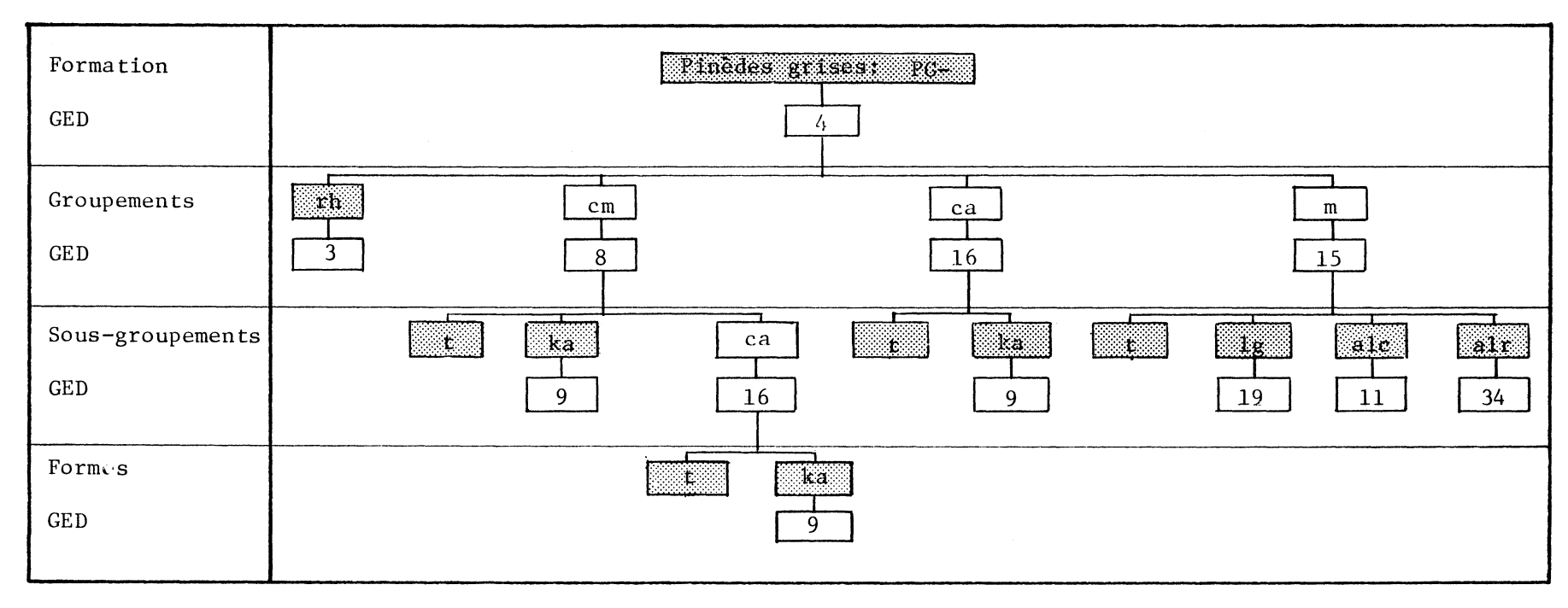
1.	BRULI	T.S.			
ĺ	1.1.	Polytrichum piliferum	:	-pp 1.	BR-pp
İ	1.2.	Cladonia cenotea		-cce 2.	
ł		1.2.1. Ledum groenlandicum		: -1g 3.	BR-cce-lg
	1.3.	Cladonia mitis	:	-cm 4.	BR-cm-t
		1.3.1. Ledum groenlandicum		: -1g 5.	BR-cm-lg
		Cladonia alpestris	:	-ca 6.	BR-ca
l	1.5.	Alnus crispa	:	-alc 7.	
l		1.5.1. Ledum groenlandicum		: -1g 8.	BR-alc-lg
l	1.6.	Pleurozium schreberi	:	-m	
		1.6.1. Ledum groenlandicum		: -1g 9.	
1	1./.	Alnus rugosa		-alr10.	
	1.8.	Chamaedaphne calyculata	:	-cc11.	BR-cc
2.	PINED	DES A PIN GRIS: PG			
	2.1.	Rhacomitrium heterosticum	:	-rh12.	PG-rh
		Cladonia mitis		-cm13.	
1		2.2.1. Kalmia angustifolia		: -ka14.	
1		2.2.2. Cladonia alpestris		: -ca15.	PG-cm-ca-t
l		2.2.2.1. Kalmia angustifolia	z	: -ka.16.	PG-cm-ca-ka
1	2.3.	Cladonia alpestris	:	-ca17.	PG-ca-t
		2.3.1. Kalmia angustifolia		: -ka18.	PG-ca-ka
į	2.4.	Pleurozium schreberi	:	-m19.	PG-m-t
1		2.4.1. Ledum groenlandicum		: -1g20.	-
1		2.4.2. Alnus crispa		: -alc21.	
		2.4.3. Alnus rugosa		: -alr22.	PG-m-alr
3.	TREMB	LAIES: TR			
	3.1.	Cladonia mitis	:	-cm23.	TR-cm
		Linnaea borealis		-1b24.	
4.	BETUL	AIES A BOULEAU BLANC: BB			
	4.1.	Linnaea borealis	:	-1b25.	BB-1b
5.	PESSI	ERES A EPINETTE NOIRE: EN			
	5.1.	Cladonia mitis	:	-cm26.	EN-cm
		Cladonia alpestris	:	-ca27.	EN-ca
	5.3.	Pleurozium schreberi	:	-m28.	
1		5.3.1. Alnus crispa		: -alc29.	
		5.3.2. Ledum groenlandicum		: -1g30.	-
1		5.3.2.1. Sphagnum nemoreum			EN-m-lg-sn
		5.3.3. Alnus rugosa		: -1g32.	
1	5 /.	5.3.3.1. Ledum groenlandicum			EN-m-alr-lg
l	5.4.	Ptilium crista-castrensis 5.4.1. Alnus crispa	:	-pcc34. : -alc35.	
1	5.5.	Sphagnum nemoreum		-sn36.	•
	5.6.	Chamaedaphne calyculata	:	-cc	
	5.7.	Equisetum sylvaticum		-es38.	
		5.7.1. Ledum groenlandicum		: -1g39.	
	5.8.	Sphagnum girgensohnii	:	-sg40.	
6.	AULNA	IES A AULNE GRIS: ALR			
	6.1.	Typique		t41.	AIR-+
	0.1.	+25 A400	•		
L					

Tableau 87 Tableau synthétique de niveau 3 des types socio-écologiques de végétation de la région écologique du lac Sakami

Typu socio-écologique de végétation	ВК-рр	BR-ccp-t	81CC 618	M-cs-1g	BR-ca	BR-alc-t	BR-alc-1g	BR-8-1g	BR-elr	BR-cc	PG-rh	PG-cm-t	PG-cm-ke	PG-cm-ca-t	PG-ca-t	PC-ca-ks	. PG. € . C	PC-8-18	PC-m-alc	110-0-1		13-1b	EN-CB	EN-ca	EN-+-t	EN-s-alc	2818-an	EN-m-alr-t	EN-m-elr-lg	EN-m-pcc-t	EN-m-pcc-a	u	Files	1-1-10	EN-88	ALR
Nombre de relevés	6	1 1	, 4	4	6	1,	1	2 9	5 10		1 12		4	6 3	- 1	7 1		1 20	2 21		1 3 23 2		10 26			10 2 29 3	2 0 31	1 32			1 35	36	37 3	2 2 38 39	1.	5 41
CARACTERISTIQUES ECOLOGIQUES DOMINANTES			1		T	T									T		T			T	1	T	T	T	T					-5	1	7			1	T
Drainage	1-2	2-3	2-3	2 1-	-2 2-	3 2	2	2-3	3	4	1	1	2	1 2	2 1	. 1	3	2	2	۱,	2 2	- 1 2-	3 2-	2-3	2-3	2-3 4	4-	5 2-3	3 4	2-3	2-3	.	5 5	5 5		5
Seepage	0	0)	0	0	0	0	0-1	0	0	0	0	0	0 (0 0	0	0	0	0-1	۰	0 0	-1 1	0	0	0-1	0-1 (-1 1	0	0	0	- 1	- 1	0 1	1 1	1-	
Cargile, limon et sable tr. fim	32	12		6 2	7 15	99		42	95	27		18	11	12	14 6	1	8 42			86	34 9	3 46	55	46	59	69	8 52	98	96		- 1		. 1.	90	- 71	
Force de la pente (%)	2		3 1	3 10	0 3	10		15	2	0	0	7	5	3 1	L 8	3	5	20	15		0 1			3	6	11 2	5 5	3	3		1	· 1	0 0	3	- 1	
Forme de la pente	x	x :	x	K R	-x x	x	x	R	R-X		x	X-R	X-B	X-R I	R-X X	ı x	-RR	x	R-X		R R	C-	RX	X-R	R	X-R C	-RR	R	R		- 1		C-R C			
Altitude (x100 pi.)	8	3,	3	2 8	1	5	8	6	7	7	3	6	7	5	- 1	, 7	3	7			2 2		15	6	6	7 1	6	7	6			_{້ ໃ}	7] 3	3 6	1-	
Densité du peuplement	7	}	,	, ,		F	F	7		•	E	D			D D			c			c 🕨		D	Ъ	c	e c		D	С		- 1	- 1	P	С	1-	
Hauteur du peuplement	5	1	- 1	5 5		5	5	5		5	4	4			4 4			3			4 3		14	3	3	3 :	-	. 4	3			- 1	4 2			
Type écologique synthétique	Sl	S23 :	523	T2 S	R13T2	A2	3 T2	T2	A23	54	R1	51	S23	S1 8	52 j S	1 S	1 T3	T2	S23	A4	523 A	23 C\	3 81	3 T2	A23	A23 A	4 44	A2	3 A4	A23	A23	A4	A5 /	A5 T	P4 R5	5
GROUPES ECOLOGIQUES		-	\dagger		+	+		-		Н	-				+		+			+	+	+	+	+	\vdash					<u> </u>	\dashv	+	+		+	\dagger
1. Pinus banksiana(i)		1	.		١.	١.					,	1	4		١,	١.	١.			.	. .	١.	1.		 	١.
2. Lycopodium sabinaefolium		١.	. 1	ι.	1	1.		١.	l.	۱. ا	1		1		. [.		1			.	. 1.	1.	١.	1.	١.						. [.	. 1		. [.	١.
3. Stereocaulon paschale		1.	. 1		4	1.					ß				. 2		1.				. 1.	1.	1.	1.	I.						. 1	. 1	. 1		. 1.	1.
. Pinus banksiana(s)		١. ا	. 1		١.	44	١. ا		1	١. ا	7	19	18	14		• •	1 30	10	*	2	. 11	١.	1,	1	1					1	.		.		١.	١.
5. Cladonia gonecha		1	.		1.				1.				3				1			7		Ι.	1.	1.							. 1	.	.		١.	Ι.
s. Vaccinium uliginosum		1.	. 1	ĭ.	1.	1.		١.			1				. 1 .		١.				. 1.	1.	1.	1.	١.						. 1	. 1	.			1.
7. Cladonia cornuta		,	al.	1 1	11	Ι.		1		۱. ا		1	1		Н.		١.			. 1	ı I.	1.	l,	1.	١.			1		 1		1.
B. Cladonia mitis	1	1	1	16 2	3 6	1.	2	1		1	10	17	21	15	139 2	2	6			. 10	35].	1.	20	3	1			2			1	1	1	. 3	١.	1.
9. Vaccinium angustifolium	9		- 10	7 1			51	4	١. ا		1	3			2		3	31	21		7 .	4	4	15	4	2			2	1	2	6	3		١.	١.
0. Epilobium angustifolium	1				1	3		١.	2	١. ا	1	١.		. 12	. P		٦.	-			1 3	١.	١.	١.	١.			3			. 1	.	.		١.	١.
1. Alnue oriepa		١.	.		١.	3	63	١.	2	۱. ا	.	1			. .	. 1	١.	1		15	. 4	,	١.	1.		29				3	10	.	.		١.	١.
2. Vaccinium myrtilloides					1	1		[10]	l.	.		1			. 2					.	ı .	,	1.	1.			.		1	1		.	.		١.	١.
3. Cornus canadensis	1	2	2	ι.	1	١.		Γ.	١. ا	۱. ا	.		2	. 1	ı .	. 1	2	1		ı٢	5 6	7	٦.	١.	1						.	.]	.		1	1.
4. Petasites palmatus		١.	.		١.	1		١.	6	١. ا					. .		۱.			<u>.</u> [. .	1.	7.	1.	١.			3	1		2	.	.		١.	١.
5. Pleurozium achreberi			4	. 2	1	2		19	3	.	1				. 1	. 2	10	22	19	14	. .	6	3	4	10	17	9 13	10	1.6	6	10	4	3	, ,	9	١.
6. Cladonia rangiferina		1	1	2 7		1 .		2	١. ا	1	9	5	1		N 13	. 3		1	2	3	ı .	١.	a	33	3	3	١.	9	1	2	1	15	4	. 2	١.	١.
7. Picea mariana(e)		2	3 .	2 4		1.		12	1	9	1	5	1	5	3 .	. 8	20	2	8	9	9 .	4	50	21	33	28	7 32	3.6	22	39	32	51	10	43 2	3 3	1
8. Empetrum nigrum			.		2	١.			١. ا	١. ا	.				. .		3	٠.		۔ ا	ᆈ.	1.	1	1				· ·			. 1	1	. 1	2 .	T.	٦.
9. Ledum groenlandicum	1	1		. 🕃	3	3		63	1	38		3	5	2	. .	. 3	1		4	3][63 9	4	9	23	10	10	A 79	1	47	3	1 [63	57	3 🕃	6	1.
0. Betula glandulosa		.	.	в .	٦.	1.				1.			. [15 .	1.	1.	1.	١.						. [.]	.	. 1	1.	1
1. Vaccinium vitis-idaša			.		١.	١.	.	١.	.	1		1			. 2	٠.	1.			1	. .	1.	1.	1.			1 2	2		2		1	1	1 1	١.	1.
2. Kalmia polyfolia		١.	.		1.	.		١.	.	1	.				. .		1.			1	. .	1.	1.	1.			·								.	1.
4. Sphagnum nemoreum	-		.		.		÷		-	2	.]				1.				. 1		2		. [14	3	. 2	-	
5. Prunus pensylvanica(i)	.	١.	.		1.	.	15		-	.	. [. 	1	1.	1.						٠	. [.	.		1.	1.
6. Solidayo macrophylla			.		.	.			1	•					· ·		.				· ·	1.	1.								1.
7. Rubus idasus			.		1.	2			2	-					٠ ٠		1.			٠ _		1.	1.	1.							.	.	.		1.	1.
8. Populus tremuloides(s)			1	3.	1.	1.			-	•					· ·			•		3 L	4	W 6.7		1					٠		.	.	.		1.	1.
9. Betula papyrifera(s)			. [نا	, •		•	•			•		· ·		1.	٠		1	. 2		ŭ ·	1.	ŀ			•		•	.	٠	.		.	1.
0. Lycopodium annotinum			. [1.	38	1		1	•	.		•		· ·	•	1	٠		1	1 6	14	1.	1.	ŀ	. :	ι.	٠	٠	r i	ارب	.	. [3	1 1	1 -	
1. Ptilium orista-castrensis		·	. [.	.		·	1	•	.	٠	•	•	· ·	•	1	1		- 1	· ·	3	1.	1.	5	6	3	7	1	-	31	.	· [5.	1	1.
2. Hylocomium aplendes			.		1.				•	•			•	٠	٠ ٠		1.	٠		- 1	. 2		1.	1.				3		1	.	.	.	з.	1.	1.
3. Carex brunescens		·	. [1	, ·		1	•		٠	•		· ·			٠	٠,		· ·	1.	1	1.		٠		,	·····		.	٠	.		1.	1
4. Alnus rujosa			. [1.	19	J -		26	•	.]				· ·		1.	٠	_	3	. 2	2	1.	1.				U_	-11		1		.	1	a 2	- 1-
5. Equisetum sylvaticum			.	٠, ٠		1	.		•	_13					· ·		1	٠		1	. 4	1.	1	1.		. :	2 2	1	1					17.4		
 Chamaedaphne valyoulata 		١.	. [8.	.	1.			-	14			•		· ·		.	٠			· ·							٠		٠			32	. 1 1 3		_ ²
1. Sphagnum girgenschnii						11				1																										1 1

Groupe écologique	œ	espèce	diagnostique
de la formation		du	sous - groupement
du groupement		de	la forme
autres espèces	im	portantes	

Tableau 88 Groupes écologiques diagnostiques des pinèdes à pin gris



1. Sous-groupement typique (PG-cm-t)

GED: aucun

Structure: forêt très ouverte, très basse

Dépôts: sable

Drainage: excessif à bon

Croissance: modérée

2. Sous-groupement à Kalmia angustifolia (PG-cm-ka)

GED: Vaccinium angustifolium (GE9)

Structure: forêt très ouverte, très basse

Dépôts: sable

Drainage: bon à modérément bon

Croissance: lente

3. Sous-groupement à Cladonia alpestris (PG-cm-ca)

GED: Cladonia alpestris (GE16)

Remarque: Peuplement de transition entre PG-cm et

PG-ca. On distingue deux formes:

a. Forme typique (PG-cm-ca-t)

GED: aucun

Structure: lande boisée, très basse

Dépôts: sable

Drainage: excessif à bon

Croissance: modérée

b. Forme à Kalmia angustifolia (PG-cm-ca-ka)

GED: Vaccinium angustifolium (GE9)

Structure: forêt très ouverte, très basse

Dépôts: sable Drainage: bon

Croissance: modérée

III. GROUPEMENT à Cladonia alpestris (PG-ca)

GED: Cladonia alpestris (GE16)

Remarque: Ce groupement représente l'aboutissement de la pinède à Cladonia mitis. On recon-

naît deux sous-groupements:

1. Sous-groupement typique (PG-ca-t)

GED: aucun

Structure: forêt très ouverte, très basse

Dépôts: sable

Drainage: excessif Croissance: modérée

2. Sous-groupement à Kalmia angustifolia (PG-ca-ka)

GED: Kalmia angustifolia (GE9)

Structure: forêt très ouverte, très basse

Dépôts: sable, till

Drainage: excessif à bon

Croissance: modérée

IV. GROUPEMENT à mousses (PG-m)

GED: Pleurozium schreberi (GE15)

Remarque: Groupement beaucoup moins fréquent que la pinède à lichens, il colonise des stations généralement mieux drainées et nettement plus productives: forêts ouvertes, basses et croissance rapide. Peu fréquente sur sable. On reconnaît quatre sous-groupements:

1. Sous-groupement typique (PG-m-t)

GED: aucun

Structure: forêt ouverte, basse

Dépôts: till

Drainage: modérément bon Croissance: très rapide

2. Sous-groupement à Ledum groenlandicum (PG-m-1g)

GED: Ledum groenlandicum (GE19)

Structure: forêt ouverte, basse

Dépôts: till Drainage: bon

Croissance: rapide

3. Sous-groupement à *Alnus crispa* (PG-m-alc)

GED: Alnus crispa (GE11)

Structure: forêt ouverte, basse

Dépôts: till et sable

Drainage: bon avec ou sans seepage

Croissance: rapide

4. Sous-groupement à Alnus rugosa (PG-m-alr)

GED: Alnus rugosa (GE34)

Structure: forêt ouverte, basse

Dépôts: argile marine Drainage: imparfait Croissance: rapide

3.7.2.2 LES TREMBLAIES (tableaux 86, 87)

GED: Populus tremulo?des (GE28)

Remarque: Limite nord de leur distribution, elles se cantonnent surtout sur les argiles modérément bien drainées, avec seepage. On reconnaît deux groupements:

I. GROUPEMENT à Cladonia mitis (TR-cm)

GED: Cladonia mitis (GE8)

Structure: forêt ouverte, très basse

Dépôts: sable Drainage: bon

Croissance: très lente

Remarque: C'est une forêt rabougrie

II. GROUPEMENT à Linnaea borealis (TR-1b)

GED: Betula papyrifera (GE29) Structure: forêt claire, basse

Dépôts: argile marine

Drainage: bon à modérément bon, avec seepage

Croissance: modérée

3.7.2.3 LES BETULAIES (tableaux 86, 87)

GED: Betula papyrifera (GE29)

Remarque: Colonise exclusivement les colluvions et les éboulis. Un seul groupement est reconnu.

I. GROUPEMENT à Linnaea borealis (BB-1b)

GED: Betula papyrifera (GE29)

Structure: forêt très ouverte, basse

Dépôts: colluvions et éboulis

Drainage: bon à modérément bon, avec seepage

Croissance: modérée

3.7.2.4 LES PESSIERES A EPINETTE NOIRE (tableaux 86, 87, 89)

GED: Picea mariana (GE17)

Remarque: Sur les stations mésiques, la pessière à épinette noire et lichens domine très nettement, tandis que la pessière à mousses colonise presque exclusivement les argiles marines. Les pessières à lichens sont généralement des forêts très ouvertes, tandis que les pessières à mousses sont ouvertes. On distingue sept groupements, sept sous-groupements et six formes qui définissent 15 types socio-écologiques de végétation (tableau 89).

I. GROUPEMENT à Cladonia mitis (EN-cm)

GED: Cladonia mitis (GE8)

Structure: forêt très ouverte, très basse

Dépôts: sable

Drainage: excessif à bon

Croissance: lente

Remarque: Jeunes forêts pionnières (âge moyen 40 ans). évoluant vers la pessière à Cladonia alpestris.

II. GROUPEMENT à Cladonia alpestris (EN-ca)

GED: Cladonia alpestris (GE16)

Structure: forêt très ouverte, basse

Dépôts: till, sable, argile
Drainage: bon à modérément bon

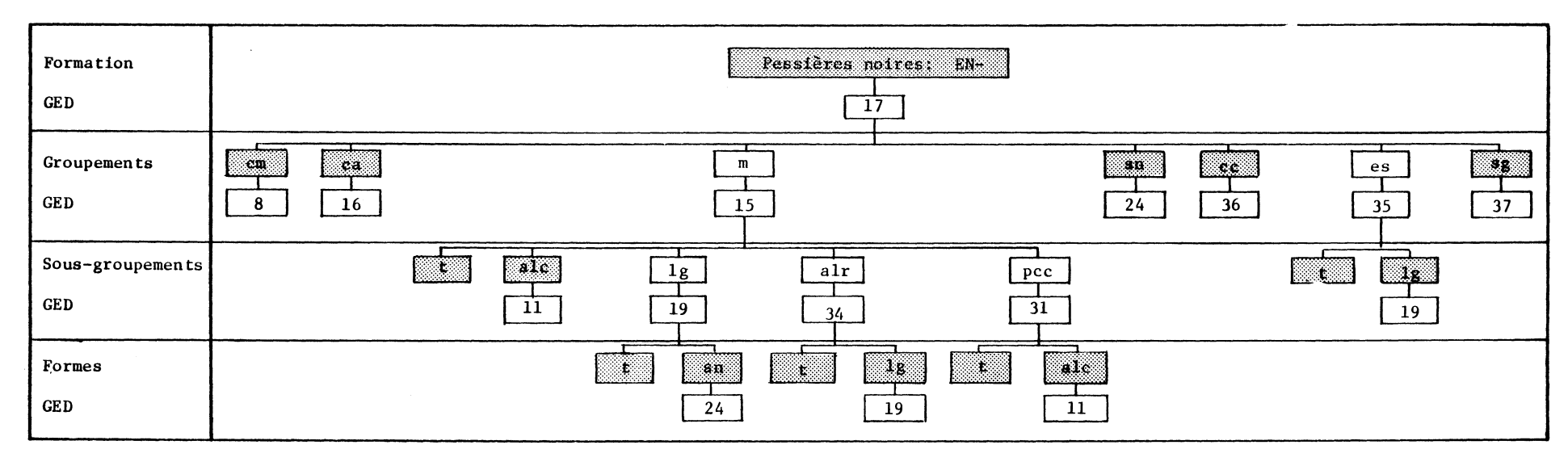
Croissance: modérée

Remarque: Forêt stable sur les stations de sable et till

et forêt de transition sur les sols argileux.

Age moyen: 97 ans.

Tableau 89 Groupes écologiques diagnostiques des pessières à épinette noire



III. GROUPEMENT à mousses (EN-m)

GED: Pleurozium schreberi (GE15)

Remarque: Forêts plus fermées et à croissance plus rapide que les pessières à lichens. Se scinde en cinq sous-groupements:

1. Sous-groupement typique (EN-m-t)

GED: aucun

Structure: forêt ouverte, basse ou haute

Dépôts: argile marine

Drainage: bon à modérément bon

Croissance: rapide

2. Sous-groupement à Alnus crispa (EN-m-alc)

GED: Alnus crispa (GE11)

Structure: forêt ouverte, basse

Dépôts: argile marine

Drainage: bon à modérément bon

Croissance: rapide

3. Sous-groupement à Ledum groenlandicum (EN-m-lg)

GED: Ledum groenlandicum (GE19)

Remarque: Vieilles forêts (150 ans), colonisant les sols imparfaitement drainés. On reconnaît deux formes:

a. Forme typique (EN-m-lg-t)

GED: aucun

Structure: forêt ouverte, basse

Dépôts: till

Drainage: imparfait avec ou sans seepage

Croissance: modérée

b. Forme à Sphagnum nemoreum (EN-m-lg-sn)

GED: Sphagnum nemoreum (GE24)

Structure: forêt ouverte, basse

Dépôts: argile marine

Drainage: imparfait à mauvais, avec seepage

Croissance: modérée

4. Sous-groupement à Alnus rugosa (EN-m-alr)

GED: Alnus rugosa (GE34)

Remarque: On reconnaît deux formes:

a. Forme typique (EN-m-alr-t)

GED: aucun

Structure: forêt très ouverte, très basse

Dépôts: argile marine

Drainage: bon à modérément bon

Croissance: rapide

b. Forme à Ledum groenlandicum (EN-m-alr-lg)

GED: Ledum groenlandicum (GE19)

Structure: forêt ouverte, basse

Dépôts: argile marine Drainage: imparfait Croissance: modérée

5. Sous-groupement à Ptilium crista-castrensis (EN-m-pcc)

GED: Ptilium crista-castrensis (GE31)

Remarque: Ici encore, la présence de *Ptilium crista-castrensis* est liée à la proximité d'un grand plan d'eau (La Grande Rivière). On distingue deux formes:

a. Forme typique (EN-m-pcc-t)

GED: aucun

Structure: forêt claire, basse

Dépôts: argile marine

Drainage: bon à modérément bon

Croissance: rapide

b. Forme à Alnus crispa (EN-m-pcc-alc)

GED: Alnus crispa (GE11)

Structure: forêt ouverte, basse

Dépôts: argile marine

Drainage: bon à modérément bon, avec seepage

Croissance: modérée

IV. GROUPEMENT à Sphagnum nemoreum (EN-sn)

GED: Sphagnum nemoreum (GE24)

Structure: forêt ouverte, basse

Dépôts: argile marine Drainage: imparfait Croissance: modérée

V. GROUPEMENT à Chamaedaphne calyculata (EN-ca)

GED: Chamaedaphne calyculata (GE36)

Structure: forêt très ouverte, très basse

Dépôts: argile marine

Drainage: mauvais Croissance: modérée

VI. GROUPEMENT à Equisetum sylvaticum (EN-es)

GED: Equisetum sylvaticum (GE35)

Remarque: Groupement lié aux argiles mal drainées, avec seepage. On reconnaît deux sous-groupements:

Sous-groupement typique (EN-es-t)

GED: aucun

Structure: forêt ouverte, basse ou haute

Dépôts: argile marine

Drainage: mauvais avec seepage

Croissance: modérée

2. Sous-groupement à Ledum groenlandicum (EN-es-lg)

GED: Ledum groenlandicum (GE19) Structure: forêt ouverte, basse

Dépôts: argile marine

Drainage: mauvais avec seepage

Croissance: modérée

VII. GROUPEMENT à Sphagnum girgensohnii (EN-sg)

GED: Sphagnum girgensohnii (GE37)

Structure: forêt ouverte, basse Dépôts: roc et champ de blocs Drainage: mauvais, avec seepage

Croissance: modérée

3.7.2.5 LES AULNAIES A AULNE GRIS (tableaux 86, 87)

GED: Alnus rugosa (GE34)

Structure: groupement arbustif

Dépôts: alluvions sableuses et argileuses

Drainage: très mauvais, avec seepage

Croissance: non applicable

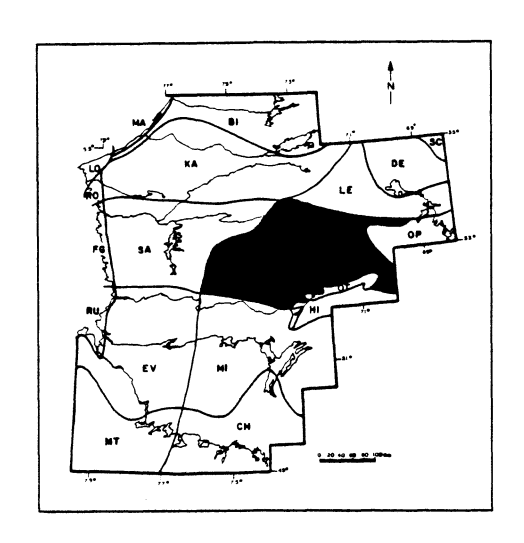
3.7.3 LES CHRONOSEQUENCES

Les chronoséquences végétales de la région écologique du lac Sakami sont présentées au tableau 89. Nous renvoyons le lecteur à la section 3.3 pour ce qui concerne l'approche théorique et pratique de la détermination des chronoséquences.

Tableau 90 Chronoséquences végétales de la région écologique du lac Sakami

TYPES ECOLOGIQUES SYNTHETIQUES	TYPES ECOLOGIQUES	CHRONOSEQUENCES	FEUX REPETES
71 S1	TA1, TD1, TH1, TY1, TM1 SG1, SM1, AM1, AF1	$BR-pp \rightarrow (PG-cm/PG-ca-ka) \rightarrow EN-ca$ $BR-pp \rightarrow (PG-cm/PG-ca-ka) \rightarrow EN-ca$	
D1	TP1, SE1, DU1, SA1, RO1	$BR-pp \rightarrow (PG-cm/PG-ca-ka) \rightarrow EN-ca$	
A23	MA23, AL2, AL3, TC2, TC3	$BR-alc \rightarrow TR-1b \rightarrow (EN-m-alc/EN-m)$	EN-cm → EN-ca
T2	TA2, TD2, TH2, TY2, TM2	BR-cm → PG-cm-ka → EN-cm → EN-ca	
т3	TA3, TD3, TH3, TY3, TM3	BR-ca → PG-cm-ka → EN-ca	
s23	SG23, SM23, AM23, AF2, AF3	BR-cm → PG-cm-ca-ka → EN-ca	
SA23	SA2, SA3	BR-cm → PG-cm-ca-ka → EN-ca	
TR21	TR21	BR-pp + PG-cm + EN-ca	
TR3	TR3	EN-ca	
TP23	TP23	EN-ca	
SR13	SR13	$BR-cm-lg \rightarrow PG-cm \rightarrow EN-cm \rightarrow EN-ca$	
RT14	RT14	EN-ca	
TR4	TR4	EN-cc	
A4	MA4, AL4, TC4	BR-alr → PG-m-alr → EN-m-alr-lg	
Т4	TA4, TM4	EN-m-1g	
S4	sv4	EN-m-1g	
SA4	SA4	EN-m-1g	
A5	MA5, AL5, TC5	EN-cc	
Т5	TA5, TM5	EN-cc	
S 5	sv5	EN-cc	
SA5	SA5	EN-cc	
TR5	TR5	EN-cc	
	MA23*, AL2*, AL3*, TC2*, TC3*	TR-lb → EN-m-pcc-alc	
T2*	TA2*, TD2*, TM2*	BR-m-lg → EN-m-alc	
т3*	TA3*, TD3*, TM3*	EN-m	
S23*	SG23*, SM23*, AM23*	PG-m-alc → EN-m	
SA3*	SA3*	EN-m	
CV23*	cv23*	BB-1b	
TR2*	TR2*, SR2*	EN-m-1g	
ER23*	ER23*	BB-1b	
	RO24*	EN-m-lg-sn	
TR34*	TR34*	EN-m-lg-sn	
SR34*	SR34*	EN-m-lg-sn	
	MA4*, AL4*, TC4*	EN-m-1g-sn	
	TA4*, TM4*	EN-m-alc	
	CV4*	EN-m-alc	
	AV4*	EN-m-alc	
	SA4*	EN-m-alc	
	MA5*, AL5*, TC5*	ALR → (EN-es/EN-sg)	
	TA5*, TM5*	EN-es-1g	
	AV5*	EN-es-1g	
	SA5*	EN-es-1g	
TP45*	TP45*	ALR → EN-sg	
TR5*	TR5*	EN-m-sn	
	CR46*	EN-m	
	R05*	EN-sg	
	AV6*	ALR	
	AA6*	ALR	
,			

3.8 LA VEGETATION DE LA REGION ECOLOGIQUE DU LAC NICHICUN



La région écologique du lac Nichicun appartient au domaine des forêts très ouvertes et à la sous-zone biologique du Moyen-Subarctique (Ducruc et al., 1976). Elle est bornée au sud par les régions écologiques du lac Mistassini et des monts Otish (52° de latitude Nord), au nord par les régions écologiques de la rivière Kanaaupscow et du lac Le Grand (54° de latitude Nord), à l'ouest par celle du lac Sakami (75° de longitude Ouest) et à l'est par la région du lac Opiscotéo (75° de longitude Ouest). L'altitude moyenne est d'envi-

ron 425 m, soit 250 m de plus que dans la région du lac Sakami; elle varie de 175 m à l'ouest à 800 m à l'est. Le relief de cette région est en général accentué, mais varie de ondulé à très accidenté. Il est contrôlé par le soubassement rocheux, lequel est recouvert, dans la moitié ouest, par des tills généralement minces (moins de 1 m) et dans la moitié est, par des moraines de décrépitude très caillouteuses et des drumlins.

La température annuelle se situe près de -3,5°C, donc plus basse que dans la région du lac Sakami; la moyenne des précipitations annuelles varie entre 700 et 800 mm dont environ 450 mm tombent de mai à septembre; la moyenne annuelle de la saison de croissance est d'environ 120 jours, soit 10 de moins que dans la région du lac Sakami.

3.8.1 LES GROUPES ECOLOGIQUES

Etablis à partir de 350 stations écologiques de référence et de 114 espèces, les 41 groupes écologiques sont présentés au tableau 91. Leurs profils écologiques sont à l'annexe 6. Les 15 groupes écologiques les plus fréquents seront maintenant traités.

Les groupes écologiques de la région écologique du lac Nichicun Tableau 91

#	F.B. ¹	F. ²	NOM DES ESPECES	#	F.B.	F.	NOM DES ESPECES
	li	28	Cetraria nivalis	23	1t	19	Lycopodium obscurum
_	li	27	Cetraria islandica	1	an	13	Prunus pensylvanica(i)
			Ct	24	an	11	Betula borealis
2	li mh	113 60	Stereocaulon paschale Rhacomitrium heterosticum	24	an	11	De tata Por carre
l				25	an	52	Alnus crispa
3	mh	60	Polytrichum piliferum	26	1.	81	Solidago macrophylla
4	1t	49	Lycopodium alpinum	26	1t	01	Borrango macroping rea
`	li	49	Lecidea granulosa	27	an	23	Sorbus decora
l	1t	47	Potentilla tridentata Oryzopsis canadensis	28	mh	182	Ptilium crista-castrensis
1	gr gr	43 23	Oryzopsis canadensis Oryzopsis pungens	20	mh	110	Polytrichum commune
1	1t	23	Melampyrum lineare		mh	78	Dicranum scoparium
l	li	18	Cladonia cenotea		mh mh	69 51	Nephroma articum Peltigera aphtosa
5	an	143	Salix humilis		ши	71	rettigera aphitota
1	ae	103	Kalmia angustifolia	29	lt	139	Lycopodium annotinum
			To a service and the service a		1t	70	Coptis groenlandica
6	lt an	54 46	Lycopodium sabinaefolium Juniperus communis	30	As	27	Betula papyrifera(s)
1	a11	75	· · · · · · · · · · · · · · · · · · ·		Ai	19	Betula papyrifera(i)
7	li	102	Cladonia deformis_		an	28	Ribes glandulosum
1	li	83	Cladonia cristatella Cladonia chlorophaea		1t	20	Dryopteris spinulosa
1	li li	68 52	Cladonia chiorophaea Cladonia digitata	31	gr	22	Calamagrostis canadensis
	li	45	· Cladonia gonecha		1t	13	Rubus pubescens
	li	36	Cladonia multiformis Cladonia verticillata	22	40	50	Aties balmamea(s)
	li	13	craonia : eritettiata	32	As Ai	65	Abies balsamea(i)
8	11	53	Cladonia coccifera				
1	1t	44	Epigaea repens	33	1t	56	Equisetum sylvaticum Sphagnum girgensohnii
9	li	240	Cladonia alpestris		sp nnh	33 22	Hylocomium splendens
,	li	240	Cladonia rangiferina		an	18	Viburnum edule
l	li	195	Cladonia mitis	24	1.	42	Linnaea borealis
l	li mh	158 167	Cladonia uncialis Ptilidium ciliare	34	lt lt	33	Trientalis borealis
1	mit	107	1 bbbbabish Cobbat C		1t	20	Dryopteris disjuncta
10	mh	116	Dicranum undulatum		an	18	Salix bebbiana Rubus idaeus
ļ	mh	109	Dicranum polysetum		1t	13	Rubus radeus
111	1t	76	Geocaulon lividum_	35	1t	109	Gaultheria hispidula
					sp	66	Sphagnum nemoreum
12	mh li	94 50	Polytrichum juniperinum Cladonia crispata	36	ae	84	Kalmia polifolia
	1t	49	Epilobium angustifolium		1t	49	Vaccinium oxycoccos
			at 1		sp	28	Sphagnum fuscum
13	li li	146 101	<u>Cladonia cornuta</u> Cladonia gracilis	37	ae	79	Chamaedaphne calyculata
1	mh	50	Peltigera canina	-			
1			D 4 1 . 1 1 1	38	gr	27	Carex trisperma
14	an gr	153 141	<u>Betula glandulosa</u> Deschampsia flexuosa		lt sp	19 19	Smilacina trifolia Sphagnum warnstorfianum
	gr	1-1	•		mh	13	Aulacomn m palustre
15	1t	90	Clintonia borealis	20		37	· Vaccinium cespitosum
	an	65	alle lanchier Dartramiana	39	ae lt	17	Petasites palmatus
16	ae	246	Vaccinium angustifolium		-		-
1	1t	216	Vaccinium vitis-idaea	40	sp	12	Sphagnum papillosum Carex paupercula
	lt lt	204 81	Cornus canadensis Maianthemum canadense		gr	11	cares paspercan
	"	31		41	1t	68	Rubus chamaemorus
17	ae	100	Vaccinium myrtilloides		sp	47 28	Sphagnum robustum Sphagnum recurvum
18	As	251	Picea mariana(s)		sp 1t	14	Listera cordata
1 10	Ai	280	Picea mariana(i)				
1	ae	287	Ledum groenlandicum				COMPAGNES
19	mh	277	Pleurozium schreberi		mh	23	Mylia anomala
"	mh	92	Dicranum fuscescens		mh	15	Rhacomitrium canescens
-	,		Tanin Taninina(a)		1t	13 14	Lycopodium complanatum · Stereocaulon tomentosum
20	As Ai	74 46	Larix laricina(s) Larix laricina(i)		li an	11	Lonicera villosa
1	, AL	70			sp	1	Sphagnum riparium
21	1t	152	Empetrum nigrum				
	ae	89	Vaccinium uliginosum				114 espèces
22	As	66	Pinus banksiana(s)				005
ı	Ai	30	Pinus banksiana(i)				305 relevés

Forme biologique
 Fréquence

GE5: SALIX HUMILIS
Kalmia angustifolia

C'est un groupe xérophytique qui caractérise:

- les hauts de pentes convexes,
- les drainages bons à excessifs, sans seepage,
- les landes boisées jeunes et adultes.

En colonie, c'est un groupe écologique dont l'amplitude est encore plus restreinte (tableau 92). Il colonise les drainages excessifs (65 p. 100) sans seepage, sur sable (79 p. 100).

GE9: CLADONIA ALPESTRIS
C. rangiferina
C. mitis
C. uncialis
Ptilium ciliare

Parfaitement adapté aux conditions climatiques de cette région écologique, ce groupe a une amplitude écologique très large. On note, toutefois, une diminution de sa fréquence vers les sols imparfaitement à mal drainés. Il préfère nettement les stations très ouvertes. En colonie, ce groupe se limite aux sables modérément bien drainés à excessivement drainés (tableau 93).

GE14: BETULA GLANDULOSA
Deschampsia flexuosa

C'est un groupe très fréquent dans cette région écologique. L'analyse des profils révèle donc une ubiquité certaine avec, cependant, des préférences marquées et un certain dualisme dans le comportement. Préférence pour les stations en altitude, pour les groupements très ouverts. Le dualisme de son comportement est notable pour plusieurs variables: ce groupe préfère à la fois les hauts de pentes convexes et les bas de pentes concaves, les drainages bons à excessifs autant que mauvais, les jeunes forêts comme les vieilles. Par contre, en formation dense (tableau 94), ce groupe est un excellent indicateur de sols bien drainés à modérément bien drainés avec seepage.

Tableau 92 Répartition du GE5 parmi les types écologiques

Types écologiques	AF1	AM1	SG1	T1	AF2	SM23	SG23	т23	TOTAL	
NR	2	2	6	4	4	8	5	113	NRT = 144	
NP	2	1	2	2	2	1	2	29	NPT = 41	
FR	1,00	0,50	0,33	0,50	0,50	0,13	0,40	0,26	FRT = 3,62	
FRN	28	14	9	14	14	4	11	7	100%	
1					1		•	-		
drainage 1 _ 2-3			5%			3	5%		GE5 Salix humilis Kalmia angusti	ifoli
2-3	3			. – – – – .		3	5%		Salix humilis	C.fo

Tableau 93 Répartition du GE9 parmi les types écologiques

Types écologiques	AF1	SM1	SG1	T1	AF23	SM23	SG23	т23	AL23	Т4	TOTAL	
NR	2	7	6	9	7	11	5	121	2	15	NRT = 185	
NP	1	6	5	7	4	9	5	92	2	6	NPT = 137	1.
FR	0,50	0,86	0,83	0,78	0,57	0,82	1,00	0,76	1,00	0,40	FRT = 7,52	
FRN	7	11	11	10	8	11	13	10	13	6	100%	
4 -										6%	Cladonia ra Cladonia mi	=
seepage: 0%											Cladonia un	cialis
								_ 	4		Ptilidium c	ıllare
sable				L				/n/ L				

Types écologiques	Т2	cv23*	T5 [*]	TOTAL	
NR	82	13	9	NRT = 104	
NP	15	3	1	NPT = 19	
FR	0,18	0,23	0,11	FRT = 0,52	
FRN	35	44	21	100%	
drainage 2-3		9% 	_ 21%	GE14 Betula gland Deschampsia	
seepage					

Tableau 94 Répartition du GE14 parmi les types écologiques

GE15: CLINTONIA BOREALIS
Amelanchier bartramiana

L'étude des profils de ce groupe démontre une préférence générale pour les sols bien à imparfaitement drainés, avec ou sans seepage.

Par contre, en colonie dense, c'est un groupe indicateur exclusif aux tills et colluvions, bien drainés à modérément bien drainés, avec seepage (tableau 95).

GE16: VACCINIUM ANGUSTIFOLIUM
V. vitis-idaea
Cornus canadensis
Matanthemum canadense

Quasi omniprésentes, les espèces de ce groupe sont en général peu révélatrices de conditions précises. On remarque, cependant, par les profils, une légère préférence pour les sols modérément bien drainés à excessivement drainés. Ce que le tableau 96 confirme, lorsque ce groupe est en colonie dense.

Types T23* CV23 TOTAL écologiques NR 10 13 NRT = 23NP NPT = 10FR FRT = 0,860,40 0,46 FRN 47 53 100% drainage 2-3 _ _ 100% GE15 Clintonia borealis Amelanchier bartramiana

Tableau 95 Répartition du GE15 parmi les types écologiques

GE18: PICEA MARIANA(S)
Picea mariana(i)
Ledum groenlandicum

Présent dans huit relevés sur dix, c'est un groupe totalement ubiquiste, comme en témoigne les profils écologiques (annexe 10) et le tableau 97.

GE19: PLEUROZIUM SCHREBERI Dicranum fuscescens

Encore plus fréquentes que celles du groupe précédent, les espèces de ce groupe colonisent tous les types d'habitat de cette région écologique. Cependant, lorsqu'on ne retient que les relevés où le groupe est abondant, l'image est totalement différente (tableau 98). Ce groupe devient alors un excellent indicateur des stations bien drainées à modérément bien drainées, avec seepage.

Tableau 96 Répartition du GE16 parmi les types écologiques

Types écologiques	SM1	SG1	T1	AF23	SM23	SG23	т23	T45	T23*	cv23*	TOTAL	
NR	7	6	8	7	11	5	121	21	17	13	NRT = 216	
NP	7	5	6	3	10	4	102	7	6	6	NPT = 156	
FR	1,00	0,83	υ,75	0,43	0,71	0,80	0,84	0,33	0,35	0,46	FRT = 6,70	
FRN	15	12	11	6	14	12	13	5	5	7	100%	
								57%			Vaccinium a	-
seepage									1	2%	Cornus cana Maianthemum	densis
sable			59%					<i>ا</i> ر	1 <i>7</i> 7			
loams		1	59%		41%	, '			10		ı	

Tableau 97 Répartition du GE18 parmi les types écologiques

Types e cologiques	AF1	SM1	SG1	T1	AF23	SM23	SG23	T23	AL23	T4 5	SM23*	т23*	cv23*	AV45*	T45*	TOTAL
NR	2	7	6	9	7	11	5	121	2	26	2	17	13	4	22	NRT = 254
NP	2	7	4	7	5	7	4	117	2	22	2	17	12	3	21	NPT = 247
FR	1,00	1,00	0,67	0,78	0,71	0,64	0,80	0,97	1,00	0,85	1,00	1,00	0,92	0,75	0,95	FRT = 13,04
FRN	8	8	5	6	5	5	6	7	8	6	8	8	7	6	7	100%
2-3	3									- 54%						Picea mariana(s)
2-3	3						I			547						Picea mariana(s)
										54%		19% -			1	Picea mariana(s) Picea mariana(i)
4-5														L	I	_l
															1	Picea mariana(i)
4-5				 				·					36%			Picea mariana(i)

Tableau 98 Répartition du GE19 parmi les types écologiques

Types écologiques	AF3	AM23	SG23	т23	T45	SM23*	т23*	cv23*	AV23*	T45*	TOTAL	
NR	3	3	5	90	23	2	17	1:3	3	21	NRT = 180	
NP	1	1	1	16	9	2	13	12	2	9	NPT = 66	
FR	0,33	0,33	0,20	0,18	0,39	1,00	0,76	0,92	0,67	0,43	FRT = 5,21	
FRN	6	6	4	3	8	19	15	18	13	8	100%	
drainage 2-3					84%			16%			GE19 Pleurozium schro Dicranum fusces	
seepage								73%			•	
sable				·		J _{48%} L	_					
loams				L	·		5		, .		J	

GE22: PINUS BANKSIANA(S)
Pinus banksiana(i)

La position au 22^e rang de ce groupe est due à une erreur que l'avancement des travaux ne nous a pas permis de corriger. C'est un groupe indicateur:

- de sols excessivement drainés, sans seepage,
- de jeunes forêts ouvertes à très ouvertes.

En peuplements purs, le pin gris est une espèce pionnière des sables excessivement drainés (tableau 99). Il faut noter que sa fréquence va en diminuant d'est en ouest.

GE25: ALNUS CRISPA

Peu fréquente, cette espèce dans sa distribution générale est une excellente indicatrice de stations riches:

- moyennes à fortes pentes concaves,
- drainage modérément bon à mauvais, avec seepage,
- rapport C/N de l'humus bas,
- forêts claires et hautes,
- stations à croissance rapide.

En colonie cependant, son amplitude écologique se limite aux tills et colluvions modérément drainés à bien drainés avec seepage (tableau 100). On observe, d'autre part, un cas d'antagonisme climatique. Alors que dans les régions écologiques antécédentes, Alnus crispa se cantonnait aux stations modérément bien drainées, dans la région écologique du lac Nichicun, Alnus rugosa est disparue et Alnus crispa le remplace, occupant ainsi toutes les classes de drainage.

GE28: PTILIUM CRISTA-CASTRENSIS
Polytrichum commune
Dicranum scoparium
Nephroma arcticum
Peltigera aphtosa

Moins fréquent que le groupe de *Pleurozium schreberi* (GE19) c'est un groupe préférentiel:

Tableau 99 Répartition du GE22 parmi les types écologiques

Types écologiques	AF1	SM1	SG1	Т1	AF2	SM23	SG23	т23	TOTAL	
NR	2	5	6	4	4	8	6	86	NRT = 121	
NP	2	3	1	2	1	1	2	11	NPT = 23	
FR	1,00	υ,60	0,17	0,50	0,25	0,13	0,33	0,13	FRT = 3,11	
FRN	32	19	6	16	8	4	11	4	100%	
drainage 1_2-3 seepage: 0%					-	2:	7%	-	GE22 Pinus banksi Pinus banksi	
sable		[80%						
loams					•	20% -				

Tableau 100 Répartition du GE25 parmi les types écologiques

Types éc ologiques	T23*	cv23*	TOTAL
NR	10	13	NRT = 23
NP	6	6	NPT = 12
FR	0,60	0,46	FRT = 1,06
FRN	57	43	100%
drainage 2-3	310	00%	GE25 Alnus crispa
seepage	10	00%	
loams	10	00%	

- des pentes moyennes à fortes,
- des drainages imparfaits à mauvais, avec seepage,
- des forêts claires, hautes et à croissance rapide.

Par contre, en colonie, c'est essentiellement un groupe indicateur des tills et colluvions bien à modérément bien drainés, avec seepage (tableau 101). C'est également un groupe qui préfère les microclimats plus humides, tout comme dans les régions écologiques précédentes.

GE29: LYCOPODIUM ANNOTINUM Coptis groenlandica

Ce sont des espèces relativement fréquentes et très bonnes indicatrices de conditions minérotrophiques:

- pentes concaves, moyennes à fortes,
- drainage modérément bons à imparfaits, avec seepage,
- humus bien décomposés.

En colonie, ce sont des espèces exclusives aux tills et colluvions, bien à modérément bien drainés, avec seepage (tableau 102).

Tableau 101 Répartition du GE28 parmi les types écologiques

Types écologiques	AF23	AM23	Т3	Т4	SM23*	т23*	cv23*	AV4*	T4*	т5*	TOTAL
NR	7	3	18	17	3	17	13 .	3	7	10	NRT = 98
NP	2	1	3	7	2	11	8	1	5	3	NPT = 43
FR	υ,29	υ,33	0,17	0,41	0,67	0,65	0,62	0,33	0,71	0,30	FRT = 4,48
FRN	6	7	4	9	15	15	14	7	16	7	100%
4 _ 5 _ seepage =				L		_ 25% 	- -	4%		7%	Ptilium crista-castrensa Polytrichum commune Dicranum scoparium Nephroma articum
sable					35%		55%		J	***************************************	Peltigera aphtosa

Types T23* cv23* écologiques TOTAL 10 13 NRT = 23NR 9 NP 6 NPT = 15FR FRT = 1,290,60 0,69 FRN 47 53 100% drainage 2-3__ 100% GE 29 Lycopodium annotinum seepage ____100% Coptis groenlandica

Tableau 102 Répartition du GE29 parmi les types écologiques

GE30: BETULA PAPYRIFERA(S)
Betula papyrifera(i)
Ribes glandulosum
Dryopteris spinulosa

loams ____

____100%

Un des groupes les plus minérotrophiques:

- très fortes pentes, concaves,
- drainage modérément bon et mauvais, avec seepage,
- humus bien décomposés,
- forêts claires, hautes à croissance rapide.

En peuplement, le bouleau blanc se cantonne exclusivement aux stations les plus riches, surtout les colluvions bien à modérément bien drainées, avec seepage (tableau 103). Parfois ce groupe déborde jusqu'aux stations à mauvais drainage.

Types écologiques	T23*	cv23*	T5 *	TOTAL	
NR	10	13	13	NRT = 36	
NP	3	8	2	NPT = 13	
FR	0,30	0,62	0,15	FRT = 1,07	
FRN	28	58	14	100%	
drainage 2-3 5 _ seepage	8	100%	_ 14%	GE30 Betula papyr Betula papyr Ribes glandu Dryopteris s	ifera(i losum
					-

Tableau 103 Répartition du GE30 parmi les types écologiques

GE32: ABIES BALSAMEA(S) Abies balsamea(i)

Le sapin se concentre surtout dans les parties les plus hautes de la région, là où la pluviosité et l'humidité atmosphérique sont plus grandes. C'est un excellent indicateur:

- de bas de pentes fortes, concaves,
- de drainage imparfait à mauvais, avec seepage,
- de vieilles forêts claires, hautes.

En peuplement, le sapin occupe principalement les tills et alluvions récentes, imparfaitement à mal drainées, avec seepage (tableau 104). Toutefois, dans 35 p. 100 des cas, il colonise les tills et colluvions bien à modérément bien drainés, avec seepage.

Types écologiques	т3	T45	T23*	cv23*	AV45*	T45*	TOTAL	
NR	4	21	9	13	4	22	NRT = 63	
NP	1	6	5	2	3	17	NPT = 34	
FR	0,25	0,29	0,56	0,15	0,75	0,77	FRT = 2,77	
		1 30	20	6	27	28	100%	
FRN	9	. 10	20				100%	
drainage 2-3	3	35%		5%		-	GE32 Abies balsar	
drainage 2-3	;	35%	65			-	GE32 Abies balsan	

Tableau 104 Répartition du GE32 parmi les types écologiques

GE33: EQUISETUM SYLVATICUM Sphagnum girgensohnii Hylocomium splendens Viburnum edule

Un regard sur les profils écologiques révèle une grande similarité avec le groupe écologique du sapin (GE32). Une variable fait toutefois exception: la force de la pente pour laquelle le sapin préfère les fortes pentes alors que ce groupe domine dans les pentes moyennes à faibles. C'est donc un groupe généralement situé plus bas sur la pente que le groupe du sapin. C'est bien d'ailleurs ce que démontre le tableau 105 où 1'on peut voir que, en colonie, ce groupe est exclusif aux drainages imparfaits ou mauvais, avec seepage.

Tableau 105 Répartition du GE33 parmi les types écologiques

l	AV45*	т5*	TOTAL	
NR	4	15	NRT = 19	
NP	2	10	NPT = 12	
FR	0,50	0,67	FRT = 1,17	
FRN	43	57	100%	
drainage 4-5			GE33 Equisetum sy Sphagnum gir Hylocomium s	rgensohnii splendens
sable	_ 43%		Viburnum edi	ile

Tableau 106 Répartition du GE41 parmi les types écologiques

NR	Types écologiques	Т3	T4	Т5	T4*	T5*	TOTAL	
FR	NR	4	15	6	7	13	NRT = 45	
FRN 15 8 10 34 33 100% drainage 3 15% 4 42% GE41 Rubus chamaemorus Sphagnum robustur Sphagnum robustur Sphagnum recurvus	NP	1	2	1	4	7	NPT = 15	
drainage 315% 442% 533% GE41 Rubus chamaemorus Sphagnum robustus Sphagnum recurvus	FR	ა,25	0,13	0,17	0,57	0,54	FRT = 1,66	
4	FRN	15	8	10	34	33	100%	
seepage67% Listera cordata								

GE41: RUBUS CHAMAEMORUS
Sphagnum robustum
Sphagnum recurvum
Listera cordata

C'est un groupe écologique qui caractérise fréquemment les sols organiques, mais qui déborde largement sur les sols minéraux imparfaitement à mal drainés, avec un humus épais. C'est un indicateur:

- de bas de pentes concaves,
- de sols imparfaitement à mal drainés, avec seepage,
- de vieilles forêts, claires et hautes.

L'analyse de son comportement écologique en colonie (tableau 106) ne révèle rien de plus que ses profils écologiques.

3.8.2 LES TYPES SOCIO-ECOLOGIQUES DE VEGETATION

Outre les brûlis, la végétation de la région écologique du lac Nichicun se répartit en six formations qui se divisent en 17 groupements, 18 sous-groupements et huit formes pour donner 33 types socio-écologiques de végétation (tableau 107) dont on présente en annexe 17 (tableau 108) le tableau synthétique de niveau 2 et au tableau 109 le tableau synthétique de niveau 3.

3.8.2.1 LES PINEDES A PIN GRIS (tableaux 108, 109, 110)

GED: Pinus banksiana (GE22)

Remarque: Tout comme dans la région écologique du lac Sakami, les pinèdes à pin gris sont des forêts très ouvertes et très basses. On distingue deux groupements et quatre sous-groupements (tableau 110).

Tableau 107 Nomenclature des types socio-écologiques de la région écologique du lac Nichicun

```
1. BRULIS: BR
   1.1. Cetraria nivalis
                                    : -cn . . . . 1. BR-cn
: -pp . . . 2. BR-pp
: -lec . . . . 3. BR-lec

    Polytrichum piliferum
    Lecidea granulosa

   1.4. Kalmia angustifolia
                                      : -ka..... 4. BR-ka
                                      : -ca..... 5. BR-ca
   1.5. Cladonia alpestris
   1.6. Vaccinium angustifolium
1.7. Betula glandulosa
1.8. Chamaedaphne calyculata
                                    2. PINEDES A PIN GRIS: PG
   2.1. Cladonia alpestris
                                       : -ca..... 9. PG-ca-t
        2.1.1. Kalmia angustifolia
                                        : -ka......10. PG-ca-ka
   2.2. Pleurozium schreberi
                                       : -m.....11. PG-m-t
        2.2.1. Alnus crispa
                                            : -alc.....12. PG-m-alc
3. BETULAIES A BOULEAU BLANC: BB
   3.1. Clintonia borealis3.2. Alnus crispa3.3. Sphagnum girgensohnii
                                      : -cb...........13. BB-cb
: -alc..........14. BB-alc
                                      : -sg......15. BB-sg
4. LANDES ALPINES: ALP
   4.1. Cetraria nivalis
                                       5. PESSIERES A EPINETTE NOIRE: EN

      5.1.1. Kalmia angustifolia
      : -ca.
      17. EN-ca-t

      5.1.2. Pleurozium schreberi
      : -ka.
      18. EN-ca-ka

      5.1.3.1 Chhamaedaphne calyculata
      : -cc.
      20 EN-ca-m

      5.1.3.1 Chhamaedaphne calyculata
      : -cc.
      20 EN-ca-m

   5.1. Cladonia alpestris
               : -sn..21. EN-ca-cc-sn
   5.2.2. Abies balsamea : -sh 2/2. EN-m-t
                                           · : -sb......24. EN-m-sb-t
   Abies balsamea : -sb
5.4.1. Sphagnum nemoreum : -sn.....32. EN-sb-sr
5.4.2. Sphagnum girgensohnii : -sg......33. EN-sb-sg
   5.4. Abies balsamea
                                             : -sn......32. EN-sb-sn
   6. SAPINIERES: SB
   6.1. Pleurozium schreberi
                                 : -m.....36. SB-m
   6.2. Sphagnum girgensohnii
                                 : -sg......37. SB-sg
                                 6.3. Betula papyrifera
                                  6.4. Sphagnum riparium
7. AULNAIES A AULNE VERT: ALC
        7.1. Ribes glandulosum
```

Tableau 109 Tableau synthétique de niveau 3 des types socio-écologiques de végétation de la région écologique du lac Nichicun

		•	.6		ч.		-	•	u-	-	.a		ь.			_		_	- 0	, — -	1		_	_			_				-									
Type socio-écologique de végétation	1	M-pp	BR-lec	M-ks	B-ca	BR-ve	BR-bg	BR-cc	PG-ca-t		į į	88 −cb	13-41c	B-6g	1	El-ca-t	2	28-cs-4	Di-ca-cc-t	EN-ca-cc-an	EN-4-1	EN-18	EK-8-6b-t	EN-a-ab-pcc	Ne-se-en	100	EN-m-t		T-pcc-1				ř	М -сс	r a	3-8	Q- 83	S-eri	ALC-rg-t	ALC-13-08
Nombre de relevés Numéro	1	7 2	8	5	8 5	3	1 7	4 8	10		2 1 11 12	5 13	7	2			21 18		10 20		9 22	6 23	8 24	5 25	5 26		5 28		3 4		6 32	6	6 34	7 35		2	38	1 39		1 41
CARACTERISTIQUES ECOLOGIQUES DOMINANTES				Ī	Γ							Γ	Ī																	1										
Drainage	2	2	2	2	2	1-:	2	۱ ،	1-2				3 2-						3 1-3		1 -	3 2-3				4-5			2-3		4-5	- 1	4-5	5			5	5	1 -	4-5
Seepage	0	0	0	0	0	0	0	٥			0 1	1	1	1			45		0	0	40	L 0-1		1 29	0 44	1 38	1 44	0			1	34	1	0 51	1	1	1	1		1
% argile, limon et sable tr. fin Force de la pente (%)	37 0	42 2	6	35 6	7	24 11	52	32			43 41 7 30				30 7	39	4	9	41 3	43 6	18	18	35 25	7	4		19	3				4	0	4	36 22	61	70	37		3
Forme de la pente	x		×	x	x	R	x	c			X-R R	x-				x-				X-R		X-I			R-1			0			C-R		R-0	c	l .	R-		c		X R
Altitude (x100 pi.)	21			13		13	17	15	13	13	10 10			16	19	16	12	16	15	16	15	12	17	14	17	18	14	17	13			17	15	14	30	15		22	18	18
Densité du psuplement	P			P		,	7	,			D D		c			E	E	D	E	E	D	c	D	С	D	D	D	D				c	c	D				c		
Hauteur du peuplement	5	5	5	5	5	5	5	5					13	٠.	1 5	3			3			3		2	3							3	3	3	3] 3			٠.
Type écologique synthétique	T2	T2	T2	T2	T2	T2	T2	14	T2	T2	T2 T3	CV.	3, CV	3 75	71	12	T2	Т3	T2	T4	T2	Т3	T2	T/4	T4	T5 "	T5 "	T4	S23*	13	T4 -	T5	ŢP5	T5	T2	Ī 84	85	175	1 73	1775
GROUPES ECOLOGIQUES	T	T	T		T		T		<u> </u>	7		T	t	t	T	T					T							1		7		7			r	T	T	T	T	
1. Cetraria mivalie				Ŀ								1.			T															.						.			1.	
22. Pinus banksiana(s)	1:	1.		4	1:	١.	١.		1	*		4	1.	1.	5	1:		٠	•	٠	1	•				٠	•		•	١.	•	.	:		١.	1.	1.		1.	•
Stereooaulon paschale Polytrichum piliferum	1			i	1		١.	'	1	:		1	ľ	1	ľ	1	•	•	•		1		•	•	•	•			•		•		:		١.		1		1	
4. Potentilla tridentata		1	ė		1	i :	1	i	1:	: 1	: :	L	1.	1:	l:	1.	Ċ	Ċ	Ċ	1	l.					•	:			: 1						1:	1:	1:	I.	·
5. Saliz humilie	1	1	1		i	1	Ι.				3 4		١.	1.	١.	١.					1									.		. [١.	١.	١.	١.	١.	
1. Cladonia deformie	١.	١.	1	Γ.	٦.	١.	١.	١.		-	1.	١.	1.	1.	١.		_			<u>.</u>	١.									.]		. 1		١. ا			١.		1.	
9. Cladonia alpestris	3		2	6		۱.	4		100		3 2	١.	1.	1.	5				,,,	IJ	3	2	1		3	1	1	3	1	1		1	1	3	1	.	.	.	-	
10. Dioranum undulatum		١	١.	.		١.		3		1	1 3	·	1.	.	.		1			1	1	٠	٠					1	٠	٠		.]	٠		٠.			·	.	٠
11. Georaulon lividum		ا ا		١.		١.	·	· .	٠.	.		١.	1.	1.	1	١.	٠	1	1	1	ŀ	•	٠	•	٠	٠	٠	1	•	٠	٠	.	٠	•	٠			1:		•
12. Polytrichum juniperinum	1	3	1	١.	1	1		1		٠ ا	. 1	١.	1.		l:	١.	•			•	1		٠	:		•		٠ ا	•	٠	•	.]	•		٠.	1.		2		•
13. Cladonia cornuta 14. Betula glandulosa	,	1;	1 5	١.	3	6		5		٠ ا			2		1.	,	•	1	1		١.	•		•	1	,	1	i	•	١.	•	.	,				1:	3	Ľ	
15. Clintonia borsalis	Ι΄.	l.	l.	1.	1.	١.	23	í	1	: 1			lli	1.	I.	l.	Ċ				l:	Ċ				•	•	. 1				. 1				1.	I.	1.	L	
16. Vaccinium angustifolium	4	5	,	4	4	0.4	10	4	6	4	1.	7	4	2	1	4	4	4	2	2	1	1	2	1	2	2	. [M	2	2	1	1	1	1	3	1	1	1	١.	1
17. Vaccinium myrtilloides	١.	١.	١.	2	١.		3			5	27 1		1.	1.	۱.	<u>L</u>	1			1	1	2	1	2		1	1	-1	2	2	2	1	·	3	١.	.		١.	1.	3
18. Piosa mariana(s)	3	3	3	3	5	8	26	,		5	14 1	5	6	2		N.	, A	Ų	. 15	16	22	40	14	. 8	-11	4	11	44		4	4	4	24	2	11	8	·	.	1	1
19. Plaurosium sohreberi	1	١.	·	1.	1		31	7	3	3	32 1	16	13	1	1	4	4		4	3	37	31	28	14	36	23	16	23	5	'	5	•	3	8	23	13	1	1	5	7
20. Larix laricina(s)	ض	١.	١.		1:	١.	١.		١.	.		١.	1.	1.		i	•	•	٠				:	:	:	1	٠	:	•	١.	:	:1	2			ļ ·		١.		•
21. Empetrum nigrum 37. Chamaedaphne calyculata	العا	1	1	1:	1] .	١.	2		.]		١.	1	1:	7.21	1 *	•	•	1	್ಷ		٠	,		1	5	1	2 2		- 1		1	1 18	i.	1	1:	1:	1	1:	•
23. Lycopodium obscurum		1:	1	1		:	1	1.25			. 2	I.	1	1:	1	I :	Ċ	·			1								:		•				l :	I.	1:	1:	L	
24. Betula borealis		1.	1.		1.] .	1.	١.] .			.	1	1.	١.	١.										i		. 1				.		١. ١		1.			Ŀ	3
25. Alnus orispa	١.	1.		١.	١.	١.	١.			.		1	1	9		١.						1					2	1	1	٠			1	$ \cdot $	1	4				8.1
26. Solidago maorophylla	١.	1.		-			1.	1		.]] 4	4	7.	1 .	۱.			1	1				1				.	· · · · ·	ان		.	1		١.	.	3	3	6	3
28. Ptilium orista-castrensis	٠.			1.		١.	١.		١.	۱ -	1 1	1	2	1.	1	١.		1	٠	•	2	4	4	10	1	3	1	3	14	230	•	1	:	1	6	1	1	1	1:	
29. Lycopodium annotinum	١.		١.	1.	١.	١.	١.	1			. 1	14	24			١.	•	•	•	•	1	•	•	1	٠	1	٠		•	١.	1	1	2		1	1	1	1	3	
 Betula papyrifera(s) Calamagrostis canadensis 	١.			1.	١.		1.			1	. 1	122	+	۳	1	1	•					•	•	•	•	•	•		:	1	•		1		l	1:	10		2	*
32. Abies balsamea(s)		1:	1:	1:	1:	1:	1:	1	l :			2	1.	I.		Ι.	Ċ		·	Ċ				Ť		1	Ċ					•	•		m	102			۱.	
33. Equisetum sylvatioum	l i	L	Ι.	1.	1	1.	1.					1.			1	١.					1.		1327	1				.		۱.						15		ī	1.	
34. Limaea borealis	١.	١.	١.	١.	١.		١.	١.		.		1	2	1		١.				÷							<u>.</u>	ا ـٰ		. [. •		3		۱.	1	2	1	2	ī
35. Gaultheria hiepidula				.			١.	٠.		.		1.	1.	1.	.								1	1		1		3				1	1	9	١.	1.	1.	1.	1.	
36. Kalmia polifolia	٠.	1 .		1.				3				1 .	1.	1.	١.	١.		•	٠	1	1		٠		2	٠		2		.	3	1	1	6	١.	1.	1.			٠
38. Carex trisperma				1.							٠.	1.	.	1 2		١.	•	•				٠	٠	•	٠	٠		:	•	١.	٠	3	4	1	١.		١.		1.	
39. Vaccinium ceapitosum	٠.		١.	١.	١.	١.		١.	١.		. 1	1.	1.	2	Ι.	١.	•		•	•	1	٠	•	٠	•		•	2	•	.	•	.	1		١.	1.	1	1.		
40. Sphagnum papillosum 41. Rubus ohamasmõrus	٠.	١.		1:			1			:		1:		1	1:	1	:	:			[•		•	. 2			i	:	:	9		2			1:	1:	2	1	4
41. Kubus ohamasmorus C. Sphagnum riparium		1:	1:	1:	1:	1:	1:	:		:		1	1:	1:	1:	1	•	Ċ	Ċ		.					und		1				1	-		Ü	I.	L	63	1	
	<u> </u>		<u> </u>	<u>.</u>	<u>. </u>	<u>.</u>	<u>. </u>	<u></u>	<u> </u>	1		-		1	1						<u>. </u>				Gr	oup	e é	colo	gique	0.	J 65	spěd		dia	gno	stiq	ue	ثتنار	1	
																								ſ		de	la f	orm	ation				du	S OU	1 5 - Ç	jrou	pem	ent		
																								Ì		au	gro	JD e r	nent		ñ	m	de							
																								ſ		!			pèce:	s ju	mee.					.,.				
																								L		1				- "	.,,,,,,									

Tableau 110 Groupes écologiques diagnostiques des pinèdes à pin gris

I. GROUPEMENT à Cladonia alpestris (PG-ca)

GED: Cladonia alpestris (GE9)

Remarque: Près de 90 p. 100 des pinèdes appartiennent à ce groupement. On reconnaît deux sous-groupements:

1. Sous-groupement typique (PG-ca-t)

GED: aucun

Structure: forêt très ouverte, très basse

Dépôts: till et sable Drainage: bon à excessif

Croissance: modérée

2. Sous-groupement à Kalmia angustifolia (PG-ca-ka)

GED: Salix humilis (GE5)

Structure: forêt très ouverte, très basse

Dépôts: sable et till Drainage: excessif à bon

Croissance: modérée

Remarque: L'âge moyen de ce sous-groupement est

de 39 ans contre 52 ans pour le sous-

groupement typique.

II. GROUPEMENT à mousses (PG-m)

GED: Pleurozium schreberi (GE19)

Remarque: Très peu fréquentes, ces pinèdes croissent plus rapidement que les précédentes. On distingue deux sous-groupements:

1. Sous-groupement typique (PG-m-t)

GED: aucun

Structure: forêt très ouverte, basse

Dépôts: till Drainage: bon

Croissance: rapide

2. Sous-groupement à Alnus crispa (PG-m-alc)

GED: Alnus crispa (GE25)

Structure: forêt très ouverte, basse

Dépôts: till

Drainage: modérément bon avec seepage

Croissance: rapide

3.8.2.2 LES BETULAIES A BOULEAU BLANC (tableaux 108, 109, 111)

GED: Betula papyrifera (GE30)

Remarque: C'est une formation qui caractérise, essentiellement, les colluvions bien à modérément bien drainées, avec seepage. On distingue trois groupements (tableau 111).

Tableau 111 Groupes écologiques diagnostiques des bétulaies à bouleau blanc

Formation	Bétulaies blanches: BB-
Groupements GED	25 33

I. GROUPEMENT à Clintonia borealis (BB-cb)

GED: Clintonia borealis (GE15)

Structure: forêt claire, basse

Dépôts: colluvions et till

Drainage: bon à modérément bon, avec seepage

Croissance: modérée

II. GROUPEMENT à Alnus crispa (BB-alc)

GED: Alnus crispa (GE25)

Structure: forêt ouverte à claire, basse

Dépôts: colluvions

Drainage: bon à modérément bon, avec seepage

Croissance: modérée

III. GROUPEMENT à Sphagnum girgensohnii (BB-sg)

GED: Equisetum sylvaticum (GE33)

Structure: forêt claire à ouverte, basse

Dépôts: till

Drainage: mauvais, avec seepage

Croissance: lente

3.8.2.3 LES LANDES ALPINES (ALP-cn) (tableaux 108, 109)

GED: Cetraria nivalis (GE1)

Structure: landes Dépôts: roc et till Drainage: excessif

Croissance: stations improductives

Remarque: Ces landes colonisent certains sommets exposés de cette région. Le caractère alpin de ces groupements n'est pas évident, pas davantage que le caractère arctique. Toutefois, étant donné la latitude de cette région écologique (entre le 52 et le 54 degré de latitude Nord) et la variation de l'ensoleillement journalier, il est évident qu'il ne s'agit pas encore de conditions arctiques. En fait, c'est avant tout l'exposition aux vents qui conditionne l'installation de ces landes; le

vent, prévenant toute accumulation de neige, crée des conditions similaires à celles dominant sur les sommets de montagnes. D'autre part, l'absence de véritable cortège floristique arctique milite en faveur d'une appellation alpine. A partir de quelle latitude devrions-nous parler de landes arctiques plutôt que de landes alpines? Sans pouvoir trancher définitivement cette question, nous pensons que toutes les régions appartenant à la zone subarctique, c'est-à-dire appartenant à une zone où la forêt, même très ouverte, est encore la composante physionomique dominante, ne sauraient être appelées régions de landes arctiques. Par contre, à partir de l'Hémi-arctique, où les forêts telles que définies dans cette étude (couverture supérieure à 25 p. 100), ne constituent plus la physionomie dominante, ces types de landes à lichens pourraient être appelées landes arctiques. Pour résumer, nous parlerons de landes alpines à travers les zones biologiques du Boréal et du Subarctique, tandis que nous parlerons de landes arctiques dans les zones biologiques de l'Hémiarctique et de l'Arctique.

3.8.2.4 LES PESSIERES A EPINETTE NOIRE (tableaux 108, 109, 112)

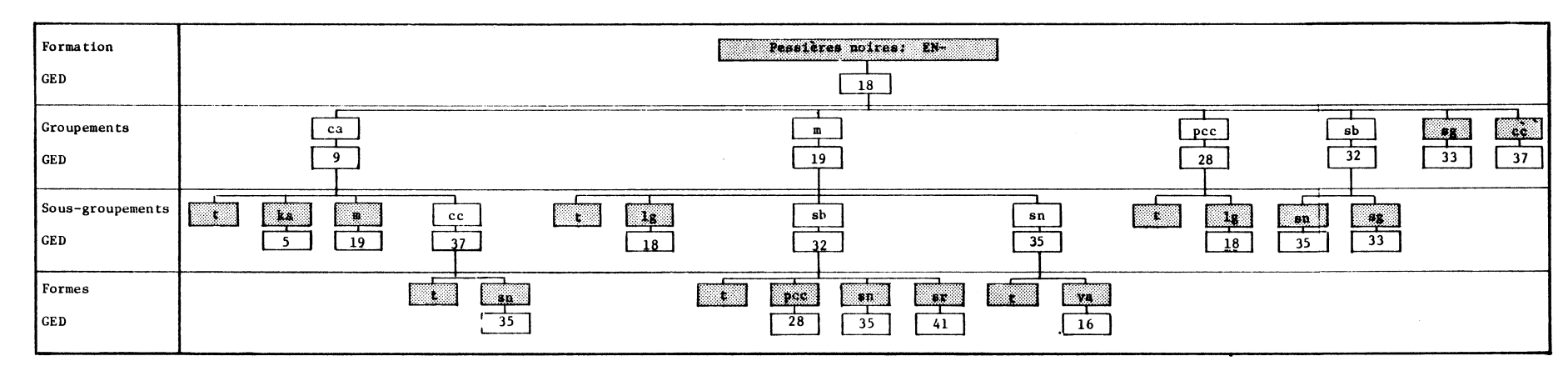
GED: Picea mariana (GE18)

Remarque: Plus encore que dans la région écologique du lac Sakami, les pessières à épinette noire de la région du lac Nichicun sont avant tout à cladonies (environ sept pessières à cladonies pour trois pessières à mousses). Les peuplements y sont encore plus ouverts, atteignant fréquemment la lande boisée. On divise la pessière à épinette noire de Nichicun en six groupements, d'inégale importance, douze sous-groupements et huit formes, définissant ainsi 19 types socio-écologiques de végétation (tableau 112).

I. GROUPEMENT à Cladonia alpestris (EN-ca)
GED: Cladonia alpestris (GE9)

Remarque: C'est le groupement le plus important parmi les pessières à épinette noire. On reconnaît quatre sous-groupements:

Tableau 112 Groupes écologiques diagnostiques des pessières à épinette noire



1. Sous-groupement typique (EN-ca-t)

GED: aucun

Structure: lande boisée à forêt très ouverte, basse

Dépôts: till, sable

Drainage: modérément bon à excessif Croissance: modérée (souvent lente)

Remarque: Très pauvre floristiquement, ce type se compose essentiellement d'épinette noire, de Cladonia alpestris, de Cladonia mitis, de Vaccinium angustifolium, de Ledum groen-landicum et de Pleurozium schreberi sous la couronne des épinettes.

2. Sous-groupement à Kalmia angustifolia (EN-ca-ka)

GED: Salix humilis (GE5)

Structure: lande boisée à forêt très ouverte, basse

Dépôts: till Drainage: bon

Croissance: modérée

Sous-groupement à mousses (EN-ca-m)

GED: Pleurozium schreberi (GE19)

Structure: forêt très ouverte, basse

Dépôts: till

Drainage: modérément bon

Croissance: modérée

Remarque: Caractérise des milieux plus frais que

les sous-groupements précédents.

4. Sous-groupement à Chamaedaphne calyculata (EN-ca-cc)

GED: Chamaedaphne calyculata (GE37)

Remarque: Chamaedaphne calyculata, jusqu'alors
limités aux sols mal drainés, commence à
empiéter sur les sols mieux drainés. C'est
un phénomène de compensation de facteur
où un climat plus humide et plus froid
rend cette espèce plus compétitive. On
reconnaît deux formes:

a. Forme typique (EN-ca-cc-t)

GED: aucun

Structure: lande boisée, basse

Dépôts: till Drainage: bon

Croissance: modérée

b. Forme à Sphagnum nemoreum (EN-ca-cc-sn)

GED: Gaultheria hispidula (GE35) Structure: lande boisée, très basse

Dépôts: till

Drainage: imparfait Croissance: lente

II. GROUPEMENT à mousses (EN-m)

GED: Pleurozium schreberi (GE19)

Remarque: Groupement de stations plus fraîches, généralement enrichies par le seepage. La densité et la croissance y sont généralement meilleurs. Même si la croissance dépasse rarement la classe modérée, elle se situe toujours dans la moitié supérieure de cette classe. On distingue quatre sous-groupements:

1. Sous-groupement typique (EN-m-t)

GED: aucun

Structure: forêt très ouverte, basse

Dépôts: till

Drainage: modérément bon, parfois avec seepage

Croissance: modérée

2. Sous-groupement à Ledum groenlandicum (EN-m-1g)

GED: Picea mariana (GE18)

Structure: forêt ouverte, basse

Dépôts: till

Drainage: modérément bon, avec ou sans seepage

Croissance: modérée

Remarque: Age moyen de 30 ans supérieur à la pes-

sière à mousses typique.

3. Sous-groupement à sapin (EN-m-sb)

GED: Abies balsamea (GE32)

Remarque: Alors que l'altitude moyenne de la pessière à mousses typique et de la pessière à mousses et Ledum groenlandicum est de 400 m, celle de la pessière à mousses et sapin est de 500 m. Ceci permet de supposer, entre autres, que le sapin est lié à une plus grande précipitation, accompagnée d'une humidité atmosphérique plus élevée. Une plus grande fréquence des stations à seepage permet également d'expliquer ce sousgroupement à sapin. On a reconnu quatre formes:

a. Forme typique (EN-m-sb-t)

GED: aucun

Structure: forêt très ouverte, basse

Dépôts: till, colluvions

Drainage: bien à modérément bien drainé, avec

seepage

Croissance: modérée

b. Forme à Ptilium crista-castrensis (EN-m-sb-pcc)

GED: Ptilium crista-castrensis (GE28)

Structure: forêt ouverte, basse

Dépôts: till

Drainage: imparfait à mauvais, avec seepage

Croissance: modérée (parfois rapide)

Remarque: Toutes les stations écologiques de référence formant ce type socioécologique sont soumises à un microclimat plus humide, engendré par la

proximité d'un grand plan d'eau.

c. Forme à Sphagnum nemoreum (EN-m-sb-sn)

GED: Gaultheria hispidula (GE35)

Structure: forêt très ouverte, basse

Dépôts: till

Drainage: imparfait Croissance: modérée

Remarque: L'absence de seepage semble le fac-

teur différentiateur entre cette

forme et la suivante.

d. Forme à Sphagnum recurvum (EN-m-sb-sr)

GED: Rubus chamaemorus (GE41)

Structure: forêt très ouverte, basse

Dépôts: till

Drainage: imparfaitement à mal drainé, avec

seepage

Croissance: modérée

4. Sous-groupement à Sphagnum nemoreum (EN-m-sn)

GED: Gaultheria hispidula (GE35)

Remarque: C'est le sous-groupement qui caractérise les sols imparfaitement drainés. On a reconnu deux formes:

a. Forme typique (EN-m-sn-t)

GED: aucun

Structure: forêt très ouverte, basse

Dépôts: till et colluvions

Drainage: imparfait à mauvais, avec seepage

Croissance: modérée

b. Forme à Vaccinium angustifolium (EN-m-sn-va)

GED: Vaccinium angustifolium (GE16) Structure: forêt très ouverte, basse

Dépôts: till

Drainage: imparfait Croissance: modérée III. GROUPEMENT à Ptilium crista-castrensis (EN-pcc)

GED: Ptilium crista-castrensis (GE28)

Remarque: Groupement situé en bordure de grands plans d'eau. On reconnaît deux sous-groupements:

1. Sous-groupement typique (EN-pcc-t)

GED: aucun

Structure: forêt ouverte, basse

Dépôts: till

Drainage: bon à modérément bon, avec seepage

Croissance: rapide

Remarque: C'est le seul type socio-écologique de

végétation à croissance rapide.

2. Sous-groupement à Ledum groenlandicum (EN-pcc-lg)

GED: Picea mariana (GE18)

Structure: forêt ouverte, basse

Dépôts: till

Drainage: modérément bon

Croissance: modérée

IV. GROUPEMENT à sapin (EN-sb)

GED: Abies balsamea (GE32)

Remarque: Groupement situé en altitude, sur sols imparfaitement à mal drainés. On distingue deux sous-groupements:

1. Sous-groupement à Sphagnum nemoreum (EN-sb-sn)

GED: Gaultheria hispidula (GE35) Structure: forêt très ouverte, basse

Dépôts: till

Drainage: imparfait avec seepage

Croissance: modérée

2. Sous-groupement à Sphagnum girgensohnii (EN-sb-sg)

GED: Equisetum sylvaticum (GE33)

Structure: forêt ouverte, basse

Dépôts: till

Drainage: mauvais, avec seepage

Croissance: modérée

V. GROUPEMENT à Sphagnum girgensohnii (EN-sg)

GED: Equisetum sylvaticum (GE33)

Structure: forêt ouverte, basse

Dépôts: champs de blocs

Drainage: imparfait à mauvais, avec seepage

Croissance: modérée

Remarque: Ce groupement à Sphagnum girgensohnii est

exclusif à ces champs de blocs dérivés de

moraines.

VI. GROUPEMENT à Chamaedaphne calyculata (EN-cc)

GED: Chamaedaphne calyculata (GE37)

Structure: forêt très ouverte, basse

Dépôts: till

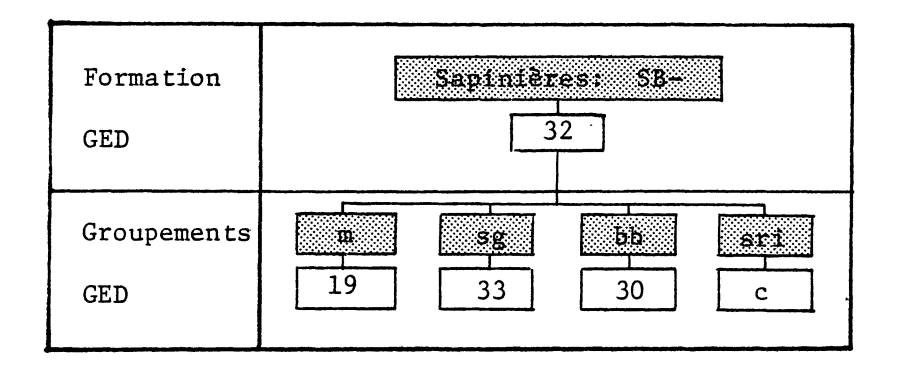
Drainage: mauvais Croissance: modérée

3.8.2.5 LES SAPINIERES (tableaux 108, 109, 113)

GED: Abies balsamea (GE32)

Remarque: Les sapinières sont essentiellement situées dans la partie la plus élevée de cette région écologique. L'altitude moyenne de cette formation est de 550 m. Une plus grande précipitation ainsi qu'une plus grande humidité atmosphérique y favorisent donc le sapin. On reconnaît quatre groupements (tableau 113).

Tableau 113 Groupes écologiques diagnostiques des sapinières



I. GROUPEMENT à mousses (SB-m)

GED: Pleurozium schreberi (GE19)

Structure: forêt claire, basse

Dépôts: till

Drainage: bon à modérément bon, avec seepage

Croissance: rapide

II. GROUPEMENT à Sphagnum girgensohnii (SB-gg)

GED: Equisetum sylvaticum (GE33)

Structure: forêt claire, basse

Dépôts: alluvions récentes et champs de blocs

Drainage: imparfait à mauvais, avec seepage

Croissance: modérée

III. GROUPEMENT à bouleau blanc (SB-bb)

GED: Betula papyrifera (GE30)

Structure: forêt claire, basse

Dépôts: alluvions récentes

Drainage: mauvais, avec seepage

Croissance: très rapide

IV. GROUPEMENT à Sphagnum riparium (SB-sri)

GED: Sphagnum riparium (c)

Structure: forêt ouverte, haute

Dépôts: till

Drainage: mauvais, avec seepage

Croissance: non observée

3.8.6.2 LES AULNAIES A AULNE VERT (tableaux 108, 109)

GED: Alnus crispa (GE25)

Remarque: Comme on l'a déjà noté à la section des groupes écologiques (3.8.1), Alnus crispa dans la région écologique du lac Nichicun, remplace Alnus rugosa sur les stations mal drainées. C'est d'autre part une espèce très agressive après feu sur les stations modérément bien drainées, avec seepage. On reconnaît un seul groupement:

I. GROUPEMENT à Ribes glandulosum (ALC-rg)

GED: Betula papyrifera (GE30)

Remarque: Se divise en deux sous-groupements:

Sous-groupement typique (ALC-rg-t)

GED: aucun

Structure: formation arbustive

Dépôts: till

Drainage: modérément bon, avec seepage

Croissance: non applicable

Remarque: Dense fourré d'Alnus crispa prévenant

toute regénération forestière pour de

très longues périodes.

2. Sous-groupement à Sphagnum girgensohnii (ALC-rg-sg)

GED: Equisetum sylvaticum (GE33)

Structure: formation arbustive

Dépôts: champs de blocs

Drainage: imparfait à mauvais, avec seepage

Croissance: non applicable

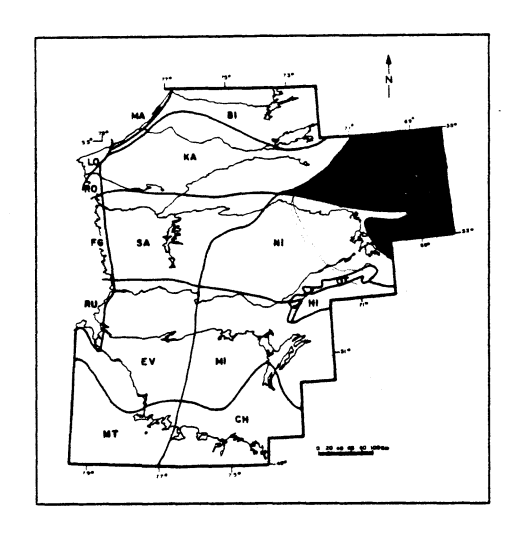
3.8.3 LES CHRONOSEQUENCES

Les chronoséquences végétales de la région écologique du lac Nichicun sont présentées au tableau 114. Nous renvoyons le lecteur à la section 3.3 pour ce qui concerne l'approche théorique et pratique de la détermination des chronoséquences.

Tableau 114 Chronoséquences végétales de la région écologique du lac Nichicun

TYPES ECOLOGIQUES SYNTHETIQUES	TYPES ECOLOGIQUES	CHRONOSEQUENCES	CLIMAT LOCAL PLUS HUMIDE
т1	TA1, TD1, TH1, TY1, TM1	[BR-ka → (PG-ca/PG-ca-ka) → EN-ca][ALP-cn]	
S1	SG1, SM1, AM1, AF1	$[BR-ka \rightarrow (PG-ca/PG-ca-ka) \rightarrow EN-ca][ALP-cn]$	
D1	TP1, SE1, DU1, RO1	$[BR-ka \rightarrow (PG-ca/\underline{PG-ca-ka}) \rightarrow EN-ca][ALP-cn]$	
A23	AL2, AL3,	EN-ca-m	
Т2	TA2, TD2, TH2, TY2, TM2	$(BR-pp/BR-lec) \rightarrow PG-ca \rightarrow EN-ca$	
Т3	TA3, TD3, TH3, TY3, TM3	BR-ka → (EN-ca/EN-ca-m)	(EN-pcc-lg/EN-m-sh-sn)
S23	SG23, SM23, AM23, AF2, AF3	$(BR-ca/BR-ka) \rightarrow (PG-ca/PG-ca-ka) \rightarrow EN-ca$;
SA23	SA2, SA3	non-applicable	
TR21	TR21	BR-ca → EN-ca	
TR3	TR3	PG-ca-ka → EN-ca-cc	
TP23	TP23	EN-ca	
SR13	SR13	PG-ca-ka → EN-ca	
RT14	RT14	EN-ca	·
TR4	TR4	EN-ca-cc-sn	
A4	AL4	EN-m-alr-1g "SA"	
Т4	TA4, TM4	BR-cc → (EN-ca-cc-sn/EN-m-sn-va)	(EN-m-sb-sn/EN-m-sb)
S4	SV4	$BR-cc \rightarrow EN-ca-cc-sn$	
SA4	SA4	non-applicable	
A5	AL5	EN-cc "SA"	
T5	TA5, TM5	BR-cc → EN-cc	EN-m-sb-sn
S5	sv5	EN-cc	
SA5	SA5	non-applicable	
TR5	TR5	EN-cc	
A23*	AL2*, AL3*	EN-m-pcc-alc "SA"	
T2*	TA2*, TD2*, TM2*	$BB-alc \rightarrow (EN-m-sb/EN-pcc)$	SB-m
T3*	TA3*, TD3*, TM3*	(ALC-rg/BB-alc) → (EN-m-sb-pcc/EN-pcc)	SB-m
S23*	SG23*, SM23*, AM23*	(EN-m/EN-pcc)	EN-m-sb
SA3*	SA3*	non-applicable	
CV23*	CV23*	(BB-alc/ALC-rg) → EN-m-sb	
TR2*	TR2*, SR2*	EN-m-sb	
ER23*	ER23*	BB-alc	
RO24*	R024*	EN-m-sb	
TR34*	TR34*	EN-m-sb	
SR34*	SR34*	EN-m-sb	
A4*	AL4*	EN-m-lg-sn "SA"	
T4*	TA4*, TM4*	(EN-m-sb-pcc/EN-m-sb-sr)	EN-sb-sn
CV4*	CV4*	EN-m-sn	
S4*	AV4*	EN-m-sb-pcc	SB-sg
SA4*	SA4*	non-applicable	
A5*	AL5*	ALR -> (EN-es/EN-sg) "SA"	
T5*	TA5*, TM5*	BB-sg → (EN-sb-sg/EN-sb-sn)	SB-sri
S5*	AV5*	EN-sb-sg	SB-bb
SA5*	SA5*	non-applicable	
TP45*	TP45*	ALC-rg-sg → EN-sg	SB-sg
TR5*	TR5*	ALC-rg-sg → EN-sg	
CR46*	CR46*	EN-m-sb	
R05*	RO5*	EN-sg	
S6*	AV6*	ALR "SA"	
AA6*	AA6*	non-applicable	

3.9 LA VEGETATION DES REGIONS ECOLOGIQUES DU LAC LE GRAND, DU LAC OPISCOTEO, DU LAC DELORME ET DES MONTS SCHEFFERVILLE



La région écologique du lac Opiscotéo appartient au domaine des forêts très ouvertes et à la sous-zone biologique du Moyen-Subarctique, tandis que les régions du lac Le Grand et du lac Delorme sont dans le domaine des landes boisées. La région écologique du lac Le Grand est située dans la sous-zone du Haut-Subarctique alors que les régions du lac Delorme et des monts Schefferville relèvent de la zone de

l'Hémiarctique. Toutefois, la région des monts Schefferville appartient au domaine des landes à lichens. Ces régions sont bornées au sud-est par 53° de latitude Nord, au sud-ouest par la région écologique du lac Nichicun, au nord-ouest par celle de la rivière Kanaaupscow (72° de longitude Ouest), au nord par 44° de latitude Nord et à l'est par 68° de longitude Ouest. L'altitude moyenne de cet ensemble de régions écologiques est de 575 m et varie entre 450 m à l'ouest et 850 m à l'est. Le relief général de ces régions est accidenté à très accidenté. La physiographie est dominée à l'ouest par des tills minces (moins de 1 m d'épaissuer), au centre par d'immenses dépôts morainiques de décrépitude et à l'est par des tills épais ainsi que des zones dominées par des tourbières minérotrophes (fen).

La température moyenne annuelle se situe près de -4,0°C; la moyenne des précipitations annuelles se situe autour de 800 mm, avec un maximum de 900 mm à l'extrême est, dont près de 450 mm sous forme de pluie entre mai et septembre; la durée annuelle moyenne de la saison de croissance est autour de 110 jours (Wilson, 1971).

3.9.1 LES GROUPES ECOLOGIQUES

Etablis à partir de 149 stations écologiques de référence et de 84 espèces, les 27 groupes écologiques sont présentés au tableau 115. Leurs profils écologiques sont à l'annexe 7. Les 14 groupes écologiques les plus fréquents sont maintenant discutés.

Tableau 115 Les groupes écologiques des régions écologiques du lac Le Grand, du lac Opiscotéo, du lac Delorme et des monts Schefferville

		-	-	· · · · · ·			
#	F.B. ¹	F. ²	NOM DES ESPECES	#	F.B.	F.	NOM DES ESPECES
<u> </u>		26	Anatostanhullos alnina	17		61	Larix laricina(s)
1	ar	26	Arctostaphyllos alpina	1 1/ 1	As		Larix laricina(i)
	li	21	Alectoria ochroleuca	1 1	Ai	46	Larix laricina(i)
	li	19	Cetraria nigricans	1			Q. 1
	ar	14	Loiseleuria procumbens	18	sp	44	Sphagnum nemoreum
	ar	11	Diapensia lapponica		mh	26	Dicranum polysetum
2	li	51	Cetraria nivalis	19	ae	35	Chamaedaphne calyculata
	li	26	Cetraria islandica				
	gr	25	Carex bigelowii	20	1t	93	Lycopodium annotinum Cornus canadensis
	li	19	Cladonia amaurocraea		1t	80	Cornus canadensis
3	1i	63	Stereccaulon paschale	20A	As	6	Betula papyrifera(s) Betula papyrifera(i)
	li l	41	Cladonia coccifera	1	Ai	4	Betula papyrifera(i)
	mh	37	Polytrichum piliferum	1	į		
1	li	21	Lecidea granulosa	21	mh	64	Ptilium crista-castrensis
1	mh	11	Rhacomitrium canescens		mh	62	Polytrichum commune
1				1	mh	59	Nephroma articum
4	1i	21	Cladonia multiformis		mh	49	Dicranum fuscescens
]	11 11	16	Cladonia crispata	1	mh	35	Peltigera canina
1	**	10			mh	28	Peltigera aphtosa
5	li l	57	Cladonia uncialis		ae	39	Vaccinium cespitosum
	mh	17	Rhacomitrium heterosticum		ae		. accomban coop o ocom
(li li	12	Stereocaulon tomentosum	22	1t	42	Solidago macrophylla
1	11	12	Stereocauton tomentosum	22	lt l	34	Coptis groenlandica
6	1.	54	Cladonia deformia		1	20	Amelanchier bartramiana
l °	11		<u>Cladonia deformis</u> Cladonia chlorophaea		an	18	Clintonia borealis
	li	39			lt		Linnaea borealis
1	li l	36	Cladonia digitata		lt lt	18 15	Innaed borealis Trientalis borealis
7	mh	54	Polutrichum iuninaninum		1.	10	II venturo poreuro
1 ′	li li	33	Polytrichum juniperinum Cladonia cristatella	23	1t	63	Rubus chamaemorus
	11	رر	oraconta ci totarerra	23	ae	53	Kalmia polifolia
8	ae	28	Vaccinium myrtilloides		1t	52	Gaultheria hispidula
1			vaccontain mgr obootac	1 1	sp	33	Sphagnum robustum
9	an	28	Salix humilis		1t	29	Vaccinium oxycoccos
1				1 1	sp	23	Sphagnum fuscum
10	an	94	Betula glandulosa	1	mh	21	Mylia anomala
1	a	74	<u>Betata gtanaatooa</u>		sp	14	Sphagnum recurvum
11	l 1t	125	Vaccinium vitis-idaea		- P	- '	Spring 100000000
	gr	61	Deschampsia flexuosa	24	As	39	Abies balsamea(s)
1	5-	**		-	Ai	29	Abies balsamea(i)
12	ar	122	Empetrum nigrum		mh	18	Hylocomium splendens
	ae	121	Vaccinium uliginosum				- J
1				25	1t	33	Equisetum sylvaticum
13	li	134	Cladonia alpestris		gr	17	Carex trisperma
1	li	128	Cladonia rangiferina		an	14	Salix planifolia
	li	87	Cladonia mitis				_
			_	26	an	12	<u>Alnus crispa</u>
14	ae	136	Ledum groenlandicum	1			
	ae	91	Vaccinium angustifolium	27	gr	13	Calamagrostis canadensis
	mh	128	Pleurozium schreberi				
	li	79	Cladonia cornuta				COMPAGNES
	mh	67	Dicranum scoparium				
1	li	59	Cladonia gracilis		li	18	Cladonia gonecha
1	mh	58	Dicranum undulatum		1t	23	Epilobium angustifolium
1					sp	1	Sphagnum girgensohnii
15	As	115	Picea mariana(s)				
1	Ai	128	Picea mariana(i)				84 espèces
	mh	85	Ptilidium ciliare				F 22
16	1t	29	Geocaulon lividum				149 relevés
"							
1.	Forme 1						

Forme biologique
 Fréquence

GE1: ARCTOSTAPHYLOS ALPINA
Alectoria ochroleuca
Cetraria nigricans
Loiseleuria procumbens
Diapensia lapponica

C'est un groupe d'espèces arctiques-alpines, qui dans les régions écologiques de l'Hémiarctique, colonisent les stations les plus exposées. Elles poussent sur:

- les hauts de pentes convexes,
- les drainages excessifs à bons, sans seepage.

Très rarement, quelques arbres arrivent à s'installer. En colonie, ces espèces dominent sur les sols excessivement drainés (tableau 116).

Tableau 116 Répartition du GEl parmi les types écologiques

Types écologiques	RO1	SG1	Т2	TOTAL	
NR	3	2	27	NRT = 32	
NP	1	1	11	NPT = 13	
FR	0,33	0,50	0,41	FRT = 1,24	
FRN	27	40	33	100%	
drainage 1 _ 2 _			_ 33%	Arctostaphy	-
seepage: 0%			_ 33%	Arctostapny Alectoria od Cetraria nig	chroleuca
roc			ı	Loiseleuria Diapensia la	-
sable		_ 40%			

GE2: CETRARIA NIVALIS
Cetraria islandica
Carex bigelowii
Cladonia amaurocraea

C'est un groupe d'espèces arctiques-alpines, un peu plus fréquent que ne l'est le groupe précédent. L'amplitude écologique est plus grande, tout en restant relativement restreinte. C'est un groupe qui préfère les:

- hauts de pentes convexes,
- sols excessivement à bien drainés, sans seepage,
- terrains dépourvus de végétation arborescente.
 Toutefois, on le trouve parfois accompagnant des landes boisées et même des forêts très ouvertes.

En colonie (tableau 117), c'est un groupe préférant les stations excessivement drainées.

Tableau 117 Répartition du GE2 parmi les types écologiques

Types écologiques	RO1	SG1	T1	т2	Т3	TOTAL	
NR	5	2	5	27	11	NRT = 50	
NP	4	2	2	13	2	NPT = 23	•
FR	0,80	1,00	0,40	0,48	0,18	FRT = 2,86	
FRN	28	35	14	17	6	100%	
2 _ 3				_ 17%	6%	Cetraria nii Cetraria is Carex bigelo	landica owii
_						107 adomia am	
seepage: 0%						Cladonia amo	
_		_ 35%					iurocrae

GE3: STEREOCAULON PASCHALE
Cladonia coccifera
Polytrichum juniperinum
Lecidea granulosa
Rhacomitrium canescens

C'est un groupe de milieu xérique, mais qui, éventuellement, peut déborder sur les stations mésiques. C'est un indicateur de:

- hauts et milieux de pentes, convexes à régulières,
- drainage excessif à modérément bon, sans seepage,
- landes à forêts très ouvertes,
- milieux récemment brûlés (jeunes peuplements).

En colonie c'est avant tout un groupe d'espèces colonisant les sables dénudés excessivement drainés (tableau 118).

Tableau 118 Répartition du GE3 parmi les types écologiques

Types écologiques	SG1	T1	SG23	Т23	TOTAL	
NR	3	5	3	32	NRT = 43	
NP	2	2	1	5	NPT = 10	
FR	0,67	0,40	0,33	0,16	FRT = 1,56	
FRN	43	26	21	10	100%	
drainage 1_2-3			3	1%	GE3 Stereocaulo	
					Cladonia co	•
seepage: 0%					Polytrichum	_
					Lecidea gra	nulosa
		64%		•	Rhacomi triw	n canescens
sable		04%				

GE10: BETULA GLANDULOSA

Cette espèce est généralement compagne et donc faiblement indicatrice de:

- hauts et milieux de pentes, régulières à convexes,
- drainages imparfaits à excessifs, généralement sans seepage,
- terrains découverts jusqu'à la forêt très ouverte.

En colonie, cette espèce devient plus exigeante et se limite aux sols bien à modérément bien drainés (tableau 119). C'est une espèce pionnière après feu, particulièrement agressive sur les pentes à seepage, allant jusqu'à former des fourrés très denses qui ressemblent aux fourrés à *Alnus crispa* de la région écologique du lac Nichicun.

Tableau 119 Répartition du GE10 parmi les types écologiques

Types écologiques	SM23	Т23	T2*	TOTAL
NR	4	28	2	NRT = 34
NP	3	6	2	NPT = 11
FR	0,75	0,21	1,00	FRT = 1,96
FRN	38	11	51	100%
drainage 2-3				GE10 Betula glandulos
drainage 2-3-seepage			51%	1

GE12: EMPETRUM NIGRUM Vaccinium uliginosum

C'est un groupe très fréquent et donc de large amplitude écologique. Les profils écologiques révèlent donc peu de chose.

Par contre, en colonie, ce groupe se limite aux drainages modérément bon à excessifs, avec une préférence pour ce dernier (tableau 120).

GE13: CLADONIA ALPESTRIS
Cladonia rangiferina
Cladonia mitis

Présent dans neuf relevés sur dix, ce groupe est totalement ubiquiste. En colonie, cependant, il préfèrera les sols excessivement à modérément bien drainés, sans seepage (tableau 121).

GE14: LEDUM GROENLANDICUM
Vaccinium angustifolium
Pleurozium schreberi
Cladonia cornuta
Cladonia gracilis
Dicranum scoparium
Dicranum undulatum

Les profils écologiques de ce groupe sont presque parfaitement plats, révélant une très grande ubiquité. Seules, peut-être, la densité et la hauteur des forêts tendent à montrer que ce groupe préfère les milieux forestiers.

En peuplement, quoique colonisant tantôt les drainages excessifs et tantôt les mauvais drainages, dans plus de la moitié des cas ce groupe préfère les drainages moyens (tableau 122).

GE15: PICEA MARIANA(S)
Picea mariana(i)
Ptilidium ciliare

Présente dans plus de 75 p. 100 des cas, l'épinette noire n'a pas vraiment de signification écologique. C'est le groupe le plus ubiquiste d'entre tous pris isolément ou en peuplement (tableau 123).

Tableau 120 Répartition du GE12 parmi les types écologiques

Types ēcologiques	RO1	SM1	SG1	Tl	SM23	SG23	т23	Т4	T23*	cv23*	T4*	T5*	TOTAL	
NR	3	2	2	6	4	3	40	7	12	5	15	8	NRT = 107	
NP	2	1	2	5	1	1	29	2	7	2	6	4	NPT = 62	
FR	0,67	0,50	1,00	0,83	0,25	0,33	0,23	0,29	0,58	0,40	0,40	0,50	FRT = 6,48	
FRN	10	8	16	13	4	5	11	4	9 .	6	6	8	100%	
									1	0%			Vaccinium ul	iginosı
seepage										29)%		4	

Tableau 121 Répartition du GE13 parmi les types écologiques

Types écologiques	RO1	SM1	SG1	T1	SM23	SG23	т23	Т4	т23*	T4*	TOTAL	·
NR	5	2	2	6	4	3	45	9	8	15	NRT = 99	
NP	3	2	2	5	4	3	36	6	3	3	NPT = 67	
FR	0,60	1,00	1,00	0,83	1,00	1,00	0,80	0,67	0,38	0,20	FRT = 7,47	
FRN	8	13	13	11	14	13	11	9	5	3	100%	
4 _									12%		GE13 Cladonia alp Cladonia ran Cladonia mit	igiferin
										- 8%		
rocsable		L		1	-	7						

Tableau 122 Répartition du GE14 parmi les types écologiques

Types ēcologiques	SM1	SG1	Tl	SM23	SG23	т23	SV4	т4	т2*	т3*	T4*	т5*	TOTAL	
NR	2	2	6	4	3	44	1	9	6	7	15	8	NRT = 107	
NP	2	1	3	4	2	30	1	7	6	7	13	4	NPT = 80	
FR	1,00	0,50	0,50	1,00	0,67	0,68	1,00	0,78	1,00	1,00	0,87	0,50	FRT = 9,50	
FRN	11	5	5	10	7	7	11	8	11	11	9	5	100%	
				 ·					2		6%	5%	Vaccinium an Pleurozium s Cladonia cor Cladonia gra	chreberi nuta
sable					4%	」 」 56%		_					Dicranum sco	-

Tableau 123 Répartition du GE15 parmi les types écologiques

€ cologiques	RO1	SM1	SG1	T1	SM23	SG23	т23	SV4	Т4	TR4	sv5	Т5	т23*	cv23*	т4*	T5*	TOTAL
NR ·	3	2	2	6	4	3	44	1	7	2	1	1	12	5	15	8	NRT = 116
NP	1	2	2	3	4	2	29	1	7	2	1	1	9	3	14	7	NPT = 87
FR	0,33	1,00	1,00	0,50	1,00	0,67	0,66	1,00	1,00	1,00	1,00	1,00	0,75	0,60	0,93	0,88	FRT = 13,32
FRN	1	8	8	3	8	5	5	8	8	8	8	8 .	5	4	7	6	100%
												3		22% -			Picea mariana
														22	2%		_
seepage																	

GE20: LYCOPODIUM ANNOTINUM Cornus canadensis

Relativement plus fréquent que dans les autres régions écologiques, ce groupe semble présenter, à travers ses profils, une plus large amplitude écologique. Cette plus grande fréquence s'explique par le fait que les stations à seepage représentent 34 p. 100 de l'ensemble des stations, comparativement à 22 p. 100 pour la région du lac Sakami ou 11 p. 100 pour la région écologique de la rivière Kanaaupscow. L'échantillonnage y est donc peut-être pour quelque chose, mais il reflète le caractère montagneux de ces régions écologiques.

Malgré une grande amplitude écologique les profils de ce groupe démontrent une préférence pour:

- les drainages modérément bons à mauvais, avec seepage (60 p. 100 des cas),
- les forêts claires, hautes.

En colonie la valeur indicatrice de ce groupe est plus grande (tableau 124): stations bien à modérément bien drainées (57 p. 100) avec seepage (69 p. 100).

GE20b: BETULA PAPYRIFERA(S)
Betula papyrifera(i)

La trop faible fréquence du bouleau blanc explique l'absence de profils écologiques. Toutefois, une compilation de la distribution des bétulaies à bouleau blanc révèle que ces dernières sont exclusivement liées aux tills et colluvions, bien à modérément bien drainés, avec seepage (tableau 125).

GE21: PTILIUM CRISTA-CASTRENSIS
Polytrichum commune
Nephroma arcticum
Dicranum fuscescens
Peltigera canina
Peltigera aphtosa
Vaccinium cespitosum

Presque exclusivement formé de mousses et d'hépatiques, ce groupe écologique est avant tout un excellent indicateur de conditions

Types T23* cv23* T45* écologiques Т3 T4 TOTAL 6 2 NR 18 5 17 NRT = 48NP 1 3 NPT = 200,50 0,44 0,60 0,46 FR 0,17 FRT = 3,13FRN 23 21 20 100% drainage 2-3____ 57% GE20 Lycopodium annotinum _ 43% ____ Cornus canadensis

Tableau 124 Répartition du GE20 parmi les types écologiques

Tableau 125 Répartition du GE20b parmi les types écologiques

Types écologiques	T2 *	CV23*	TOTAL	
NR	5	5	NRT = 10	
NP	2	3	NPT = 5	
FR	0,40	0,60	FRT = 1,00	
FRN	40	60	100%	
drainage 2-3			GE206 Betula papyr Betula papyr	1
loams	100	0%		

microclimatiques plus humides et de stations riches. Il préfère:

- les parties hautes du territoire,
- les fortes pentes régulières ou concaves,
- les sols modérément bien à mal drainés, avec seepage,
- les vieilles forêts hautes et plutôt fermées.

La répartition de ce groupe parmi les types écologiques précise encore mieux son amplitude écologique (tableau 126).

Tableau 126 Répartition du GE21 parmi les types écologiques

Types écologiques	Т3	т3*	CV23*	T4*	T5*	TOTAL
NR	5	7	5	15	8.	NRT = 40
NP	1	5	1	6	3	NPT = 16
FR	0.20	0,21	0,20	0,40	0,38	FRT = 1,89
FRN	11	37	11	21	20	100%
drainage 2-3		59%				GE21
drainage 2-3	}	59%		_ 21%	_	GE21 Ptilium crista-castrens
4 _	}				20%	
4 _					20%	Ptilium crista-castrens
4 _					20%	Ptilium crista-castrens Polytrichum commune
4 _ 5					20%	Ptilium crista-castrens Polytrichum commune Nephroma articum
4 _ 5			89		20%	Ptilium crista-castrens Polytrichum commune Nephroma articum Dicranum fuscescens

GE22: SOLIDAGO MACROPHYLLA
Coptis groenlandica
Amelanchier bartramiana
Clintonia borealis
Linnaea borealis
Trientalis borealis

Ce groupe d'espèces du Boréal, se cantonne, ici, dans les stations les plus riches et les plus productives. C'est un groupe indicateur:

- de fortes pentes concaves,
- de sols mal drainés à modérément bien drainés, avec seepage,
- de forêts claires, hautes et moyennement productives.

En colonie c'est un groupe exclusif aux colluvions et tills, bien à modérément bien drainés, avec seepage (tableau 127).

Tableau 127 Répartition du GE22 parmi les types écologiques

Types écologiques	T2*	cv23*	TOTAL					
NR	5	5	NRT = 10					
NP	2	4	NPT = 6					
FR	0,40	0,80	FRT = 1,20					
FRN	33	67	100%					
drainage 2-3		0%	GE22 Solidago mac: Coptis groen Amelanchier i	landica bartramiana				
			Linnaea borealis Trientalis borealis					

GE23: RUBUS CHAMAEMORUS
Kalmia polifolia
Gaultheria hispidula
Sphagnum robustum
Sphagnum fuscum
Sphagnum recurvum
Vaccinium oxycoccos
Mylia anomale

Ce groupe colonise principalement les sols organiques très mal drainés, mais déborde aussi sur les sols minéraux, imparfaitement à mal drainés, avec une légère préférence pour le seepage. En colonie, l'image est sensiblement identique avec, toutefois, une nette indifférence vis-à-vis du seepage (tableau 128).

GE24: ABIES BALSAMEA(S)
Abies balsamea(i)
Hylocomium splendens

Lié à une plus grande humidité atmosphérique, le sapin est, aussi, un excellent indicateur des stations modérément bien à mal drainées, avec seepage. Quoique moins fréquent sur les sols modérément bien drainés (annexe 12), en peuplement, il se répartit également sur les trois classes les plus lentes de drainage (tableau 129).

3.9.2 LES TYPES SOCIO-ECOLOGIQUES DE VEGETATION

Outre les brûlis, la végétation des régions écologiques du lac Le Grand, du lac Opiscoté, du lac Delorme et des monts Scheffer-ville se répartit en quatre formations qui se divisent en 12 groupements, 12 sous-groupements et sept formes, pour donner 24 types socio-écologiques de végétation (tableau 130) dont on présente en annexe 18 (tableau 131) le tableau synthétique de niveau 2 et au tableau 132 le tableau synthétique de niveau 3.

Tableau 128 Répartition du GE23 parmi les types écologiques

Types écologiques	Т3	SV45	Т45	тз*	T4*	т5*	TOTAL
NR	5	2	6	7	15	8	NRT = 43
NP	1	2	2	3	8	5	NPT = 21
FR	0,20	1,00	0,33	0,43	0,53	0,63	FRT = 3,12
FRN	6	32	11	14	17	20	100%
				-			7 [
4-5	5 '	l		80%			Rubus chamaemorus Kalmia polifolia
seepage				. 80%	51%		.
				. 80%	51%		Kalmia polifolia Gaultheria hispid
seepage				. 80%			Kalmia polifolia Gaultheria hispic Sphagnum robustum
seepage				. 80%			Kalmia polifolia Gaultheria hispic Sphagnum robustum Sphagnum fuscum

Tableau 129 Répartition du GE24 parmi les types écologiques

Types écologiques	т3	Т4	тз*	T4*	T5*	TOTAL	
NR	5	5	7	17	6	NRT = 40	
NP	1	1	4	7	4	NPT = 17	
FR	0,20	0,20	0,57	0,41	0,67	FRT = 2,05	
FRN	10	10	28	20	32	100%	
drainage 2	<u> </u>	1 200				CE2/	
			30%		32%	GE24 Abies balsa Abies balsa	mea(i)
4 _			30%		32%	Abies balsa	mea(i)

Tableau 130 Nomenclature des types socio-écologiques de végétation des régions écologiques du lac Le Grand, du lac Opiscotéo, du lac Delorme et des monts Schefferville

```
1.
  BRULIS: BR
   1.1. Polytrichum piliferum
                                    : -pp..... 1. BR-pp
   1.2. Betula glandulosa
                                     : -bg...... 2. BR-bg
   1.3. Cladonia alpestris
                                     : -ca..... 3. BR-ca
                                     : -alc..... 4. BR-alc
   1.4. Alnus crispa
2. BETULAIES A BOULEAU BLANC: BB
   2.1. Lycopodium annotinum
                                    : -la..... 5. BB-la
3. LANDES ALPINES: ALP
   3.1. Cetraria nivalis
                                     : -cn..... 6. ALP-cn-t
                                         : -ao..... 7. ALP-cn-ao
        3.1.1. Alectoria ochroleuca
        3.1.2. Cladonia alpestris
                                          : -ca..... 8. ALP-cn-ca
  PESSIERES A EPINETTE NOIRE: EN
   4.1. Cetraria nivalis
                                     : -cn..... 9. EN-cn
        Cladonia alpestris
                                     4.2.1. Betula glandulosa
                                          : -bg......11. EN-ca-bg-t
               4.2.1.1.
                       Vaccinium ul.
                                               : -vu..12. EN-ca-bg-vu
                                         : -cc......13. EN-ca-cc-t
        4.2.2. Chamaedaphne calyculata
               4.2.2.1. Sphagnum nem.
                                               : -sn..14. EN-ca-cc-sn
               4.2.2.2.
                        Sphagnum rob.
                                               : -sr..15. EN-ca-cc-sr
   4.3. Pleurozium schreberi
                                     : -m.....16. EN-m-t
        4.3.1. Vaccinium uliginosum
                                         : -vu......17. EN-m-vu-t
                                               : -sf..18. EN-m-vu-sf
               4.3.1.1. Sphagnum fus.
        4.3.2. Ptilium crista-castrensis
                                          : -pcc......19. EN-m-pcc
        4.3.3. Sphagnum robustum
                                          : -sr......20. EN-m-sr
        4.3.4. Sphagnum nemoreum
                                          : -sn......21. EN-m-sn
   4.4. Ptilium crista-castrensis
                                     4.4.1. Sphagnum nemoreum
                                          : -sn......23. EN-pcc-sn
   4.5. Abies balsamea
                                     : -sb
        4.5.1. Pleurozium schreberi
                                          : -m.....24. EN-sb-m
        4.5.2. Equisetum sylvaticum
                                          : -es......25. EN-sb-es
        Sphagnum girgensohnii
                                     : -sg......26. EN-sg
   4.7. Chamaedaphne calyculata
                                     5.
  SAPINIERES: SB
   5.1. Typique
                                     : t......28. SB-t
```

Tableau 132 Tableau synthétique de niveau 3 des types socio-écologiques de végétation des régions écologiques du lac Le Grand, du lac Opiscotéo, du lac Delorme et des monts Schefferville

Type socio-écologique de végétation	ВК-рр	BR-bg	BR-ca	BR-alc	BB-1a	LA-cn-t	LA-cn-ao	LA-cn-ca	EN-cn	EN-ca-t	EN-ca-bg-t	EN-ca-bg-vu	EN-ca-cc-t	EN-ca-cc-sn	EN-ca-cc-sr	EN-m-t	EN-m-vu-t	EN-m-vu-sf	ЕМ-т-рсс	EN-m-sr	EN-m-sn	EN-pcc-t	EN-pcc-sn	EN-sb-m	EN-sb-es	EN-sg	EN-cc	SB-t
Nombre de relevés	5	3	2	2	4	3		ı	2	34	6	5	2	3	1	4	5	2	4	5	1	2	1	1	4	1	1	3
Numéro	1	2	3	4	5	6	7	8	9	10	11	12	13	14	15	16	17	18	19	20	21	22	23	24	25	26	27	28
CARACTERISTIQUES ECOLOGIQUES DOMINANTES																												
Drainage	1-2	2	2	2-3	2-3	1-2	2	1-3	1	1-3	2	2-3	4	4	4	3-4	2-3	4	3-4	4	4	4	3	3-5	5	5	5	4
Seepage	0	1-0	0	1	1	0	0	0	0	0	0	0	0	0	1	0	1	1	1	1	0	1	1	1	1	1	0	1
% argile, limon et sable tr. fin	20	46		17	37	42	42	43		37	31	47	45	59		41	36	45	40	38	40	41		35	38		42	10
Force de la pente (%)	5	22	0	37	34	1	3	3	0	7	3	4	7	3	15	7	22	9	31	8	0	17	20	12	2	10	2	4
Forme de la pente	x	х	х-с	c	С	х	x	x	X	x	X-R	X-R	X- C	X-C	: c	x-c	R-C	R	С	С	R	С	С	c-x	С	С	С	С
Altitude (x100 pi.)	20	22	19	22	18	20	22	21	18	19	17	19	16	19	23	20	21	18	18	19	18	21	22	21	18	21	15	18
Densité du peuplement	F	F	F	F	В	F	F	F	D	Е	E	E	E	D	E	С	С	D	С	D	E	С	D	С	D	D	D	D
Hauteur du peuplement	5	5	5	5	3	5	5	5	4	4	4	4	4	4	4	3	3	3	3	4	3	3	3	3	3	3	4	4
Type écologique synthétique	Т2	T2*	Т2	CV3	°cv3	* S1	T2	T2	S1	τ23	S23	Т3	TR4	T4	T4 *	Т3	т3*	T4*	T4*	T4*	S4	T4*	TR3	*T4	т5	Т5	* S5	TP4*
GROUPES ECOLOGIQUES																												
1. Arctostaphyllos alpina			1			1	5	.		١.																		١.
2. Cetraria nivalis	١.			١.		16		77	9														1					١.
3. Stereocaulon paschale	4	١.	١.		١.	1	•	2	1	١.	1																	١.
5. Cladonia uncialis	1							.		1			1											١.				١.
6. Cladonia deformis	١.		١.		١.	ļ.		.	1	١.			1			1					.			١.		1		١.
7. Polytrichum juniperium	2					1		1																				١.
8. Vaccinium myrtilloides					١.			.		1						1			1	1						3		
9. Salix humilis	1	<u>.</u>			١.			.				····							1							:		۱.
10. Betula glandulosa	8	71	1	1	١.	4	2	4	2	1	ZX	20	3		3		1	3	1	3			1	1		1		
11. Vaccinium vitis-idaea	2	1	1		1	1	1	1	1	1	1	1	2		1	1	1	2	2	1	1	2				3		
12. Empetrum nigrum	1	3	1			5	7	4	5	4	•	9	3	1	27	2	5	9	4	7	1	1	1	4	3	9	3	2
13. Cladonia alpestris	١.	5	22		1	3	5	19	14	27	27	20	30	23	14	11	5	17	4	4	2	1	1	3		2	6	١.
14. Ledum groenlandicum	3	11	6	1	12			2	3	5	4	7	1	7	4	12	13	9	13	10	15	3	5	9	2	4	3	2
15. Picea mariana - s			1		1	1		1	10	10	12	11	8	11	6	19	14	8	22	18	7	14	14	18	12	14	5	2
16. Geocaulon lividum					-		•	.				1	3		3		•	•	•	•		1				1		٠ .
17. Larix laricina - s			2		·			.	2		•	1	•	2	٠		٠	•	•	1	ا نے	•	2		4	٠		· .
18. Sphagnum nemoreum					ŀ		•	.	•		•	•	1	11		1	•	•	1	3	2	1	8		٠		2	٠.
19. Chamaedaphne calyculata	·				i		•	.	9		•	•	15	2.6	38	٠	٠	•	٠	٠	15	•	1	٠.	6	٠	38	1
20. Lycopodium annotinum		4		8	12		•	.	•	1	•	1	2	•	2	1	•	1	3	٠		1	2	3	٠	3		1
20b. Betula papyrifera(s)				2	44		•	.	•		٠	•		٠	٠		•		÷	•		i i	8					
21. Ptilium crista-castrensis		1		1	1		•	.	•		•	•	•	٠	•	1	2	1	5	1	1	4	•	2		4	1	١.
22. Solidago macrophylla				7	4	١.	•	.	•		•	٠	•	•	1		٠ ،	$\dot{\neg}$:	•	•			1		l :
23. Rubus chamaemorus	١.	•	•	١.	•		• '	.	•		•	٠.	•	1	3	1	. (2	1 [4	5		1	2	3	2	9	
24. Abies balsamea - s		١.					•	.	•		•	•	٠	٠	٠	1	•	•	1	1		•	1	9	ا د		:	27
25. Equisetum sylvaticum				ė	1:		•	.	•		•	٠	٠	٠	•	•	•	•	•	•	•	:			8	2	1	2
26. Alnus crispa				-	4		•	.	•		٠	•	•	٠		•	•	٠	•	•		1	3			•		2
27. Calamagrostis canadensis	١.	١.	١.	1			•	.	•		•	•	•	•		•	•	•	•	•		٠	•		ان			
C Sphagnum girgensohnii		١.	١.		١.	١.	•	.	•	١.	•		•	٠	•	•	• •	•	•	٠	.		•	١.	8	63		7



3.9.2.1 LES BETULAIES A BOULEAU BLANC (tableaux 131, 132)

GED: Betula papyrifera (GE20b)

Remarque: On ne reconnaît qu'un seul groupement.

I. GROUPEMENT à Lycopodium annotinum (BB-la)

GED: Lycopodium annotinum (GE20)

Structure: forêt claire, basse

Dépôts: colluvions et till

Drainage: bon à modérément bon, avec seepage

Croissance: lente

3.9.2.2 LES LANDES ALPINES (tableaux 131, 132, 133)

GED: Cetraria nivalis (GE2)

Remarque: En principe, selon les critères que nous nous sommes données pour distinguer l'alpin de l'arctique, nous devrions avoir des landes alpines dans la région écologique du Haut-Subarctique (lac Le Grand et lac Opiscotéo) et des landes arctiques dans la région appartenant à l'Hémiarctique (lac Delorme et monts Schefferville). Nous préférons, pour la clarté de l'exposé, garder le terme de lande alpine pour ces régions écologiques. D'ailleurs nous verrons plus loin (chapitre 4), qu'en analyse finale, seule de ces quatre régions écologiques, celle des monts Schefferville sera conservée dans la zone Hémiarctique. Ces landes alpines se scindent en trois groupements (tableau 133).

I. GROUPEMENT typique (ALP-cn-t)

GED: aucun

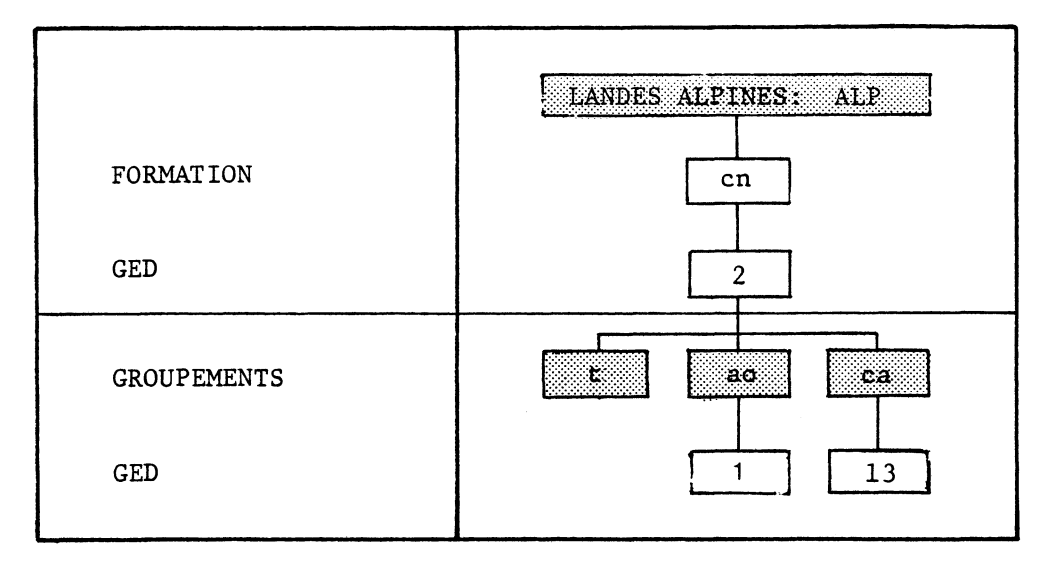
Structure: lande

Dépôts: sable et till

Drainage: excessif à bon

Croissance: stations improductives

Tableau 133 Groupes écologiques diagnostiques des landes alpines



II. GROUPEMENT à Alectoria ochroleuca (ALP-cn-ao)

GED: Alectoria ochroleuca (GE1)

Structure: lande

Dépôts: till Drainage: bon

Croissance: stations improductives

III. GROUPEMENT à Cladonia alpestris (ALP-cn-ca)

GED: Cladonia alpestris (GE13)

Structure: lande

Dépôts: till

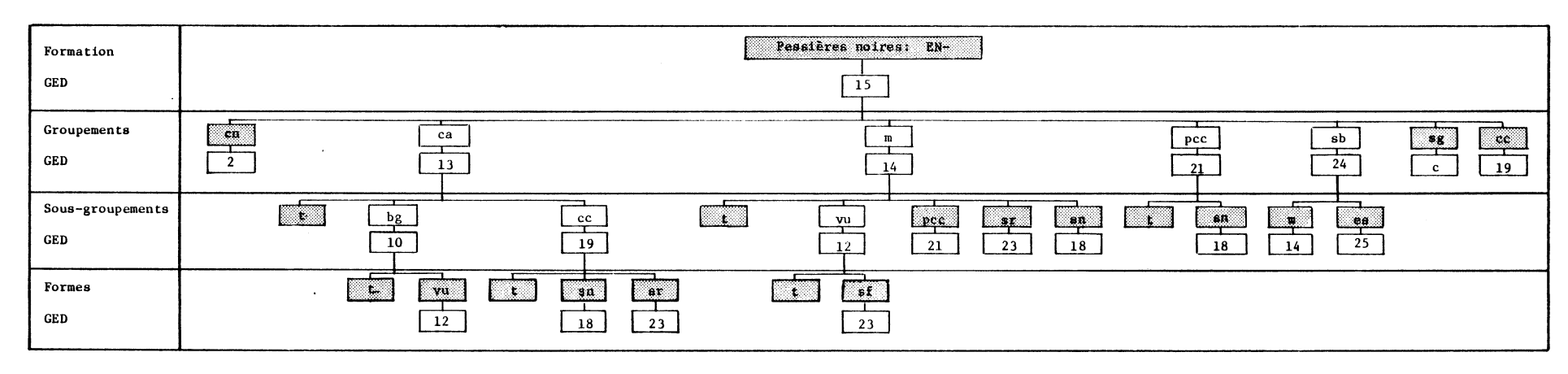
Drainage: excessif à modérément bon Croissance: stations improductives

3.9.2.3 LES PESSIERES A EPINETTE NOIRE (tableaux 131, 132, 134)

GED: Picea mariana(s) (GE15)

Remarque: Seule formation véritablement importante (la lande alpine vient loin derrière), la pessière à épinette noire est, tout comme dans la région écologique du lac Nichicun, une lande boisée. Par contre, la hauteur y est d'une classe inférieure: lande boisée très basse (3-9 m) contre la lande boisée basse (9-15 m). On reconnaît sept groupements, douze sous-groupements et sept formes qui définissent 19 types socio-écologiques de végétation (tableau 134).

Tableau 134 Groupes écologiques diagnostiques des pessières à épinette noire



I. GROUPEMENT à Cetraria nivalis (EN-cn)

GED: Cetraria nivalis (GE2)

Structure: lande boisée, très basse Dépôts: affleurements rocheux et sable

Drainage: excessif Croissance: lente

Remarque: peu fréquent, ce groupement colonise des

stations plus exposées aux vents.

II. GROUPEMENT à Cladonia alpestris (EN-ca)

GED: Cladonia alpestris (GE13)

Remarque: C'est le groupement le plus important, spatialement, de cette région écologique.

Il représente approximativement 55 p. 100 des pessières des régions écologiques concernées. Ce sont des landes boisées très basses. On distingue trois sous-groupements:

1. Sous-groupement typique (EN-ca-t)

GED: aucun

Structure: lande boisée, très basse

Dépôts: till

Drainage: bon à modérément bon

Croissance: lente

2. Sous-groupement à Betula glandulosa (EN-ca-bg)

GED: Betula glandulosa (GE10)

Remarque: La présence du bouleau glanduleux semble lié à la génèse du peuplement. En effet, le bouleau glanduleux est une espèce pionnière après feu et persiste dans le peuplement un certain temps, puis disparaît. Ainsi l'âge moyen de ce sous-groupement est de 25 ans inférieur à celui du sous-groupement typique (70 ans contre 95 ans). On distingue deux formes:

a. Forme typique (EN-ca-bg-t)

GED: aucun

Structure: lande boisée, très basse

Dépôts: sable et till

Drainage: bon à modérément bon

Croissance: modérée

b. Forme à Vaccinium uliginosum (EN-ca-bg-vu)

GED: Empetrum nigrum (GE12)

Structure: lande boisée, très basse

Dépôts: till

Drainage: modérément bon

Croissance: lente

3. Sous-groupement à Chamaedaphne calyculata (EN-ca-cc)

GED: Chamaedaphne calyculata (GE19)

Remarque: Ce sous-groupement de la pessière à cladonies colonise les sols imparfaitement drainés. On reconnaît trois formes:

a. Forme typique (EN-ca-cc-t)

GED: aucun

Structure: lande boisée, très basse

Dépôts: till très mince

Drainage: imparfait Croissance: lente

b. Forme à Sphagnum nemoreum (EN-ca-cc-sn)

GED: Sphagnum nemoreum (GE18)

Structure: forêt très ouverte, très basse

Dépôts: till

Drainage: imparfait Croissance: lente

c. Forme à Sphagnum robustum (EN-ca-cc-sr)

GED: Rubus chamaemorus (GE23)

Structure: lande boisée, très basse

Dépôts: till

Drainage: imparfait avec seepage

Croissance: lente

III. GROUPEMENT à mousses (EN-m)

GED: Ledum groenlandicum (GE14)

Remarque: Ce groupement réunit tous les peuplements les plus productifs parmi les pessières: densité et hauteur supérieures (forêts ouvertes et basses, contre landes boisées très basses pour la pessière à cladonies). La pessière à mousses domine sur les sols modérément à mal drainés avec seepage.

Ledum groenlandicum est presque toujours présent et couvre en moyenne 15 p. 100 du parterre, sans jamais dépasser 40 p. 100. On reconnaît cinq sous-groupements:

1. Sous-groupement typique (EN-m-t)

GED: aucun

Structure: forêt ouverte, basse

Dépôts: till

Drainage: modérément bon à imparfait

Croissance: lente

2. Sous-groupement à Vaccinium uliginosum (EN-m-vu)

GED: Empetrum nigrum (GE12)

Remarque: On distingue deux formes:

a. Forme typique (EN-m-vu-t)

GED: aucun

Structure: forêt ouverte, basse

Dépôts: till et colluvions

Drainage: bon à modérément bon, avec seepage

Croissance: modérée

b. Forme à Sphagnum fuscum (EN-m-vu-sf)

GED: Rubus chamaemorus (GE23)

Structure: forêt très ouverte, basse

Dépôts: till

Drainage: imparfait, avec seepage

Croissance: lente

3. Sous-groupement à Ptilium crista-castrensis (EN-m-pcc)

.GED: Ptilium crista-castrensis (GE21)

Structure: forêt ouverte, basse

Dépôts: till

Drainage: modérément bon à imparfait, avec seepage

Croissance: modérée

4. Sous-groupement à Sphagnum robustum (EN-m-sr)

GED: Rubus chamaemorus (GE23)

Structure: forêt très ouverte, très basse

Dépôts: till

Drainage: imparfait, avec seepage

Croissance: lente

5. Sous-groupement à Sphagnum nemoreum (EN-m-sn)

GED: Sphagnum nemoreum (GE18) Structure: lande boisée, basse

Dépôts: alluvions récentes

Drainage: imparfait Croissance: lente

IV. GROUPEMENT à Ptilium crista-castrensis (EN-pcc)

GED: Ptilium crista-castrensis (GE21)

Remarque: On reconnaît deux sous-groupements:

1. Sous-groupement typique (EN-pcc-t)

GED: aucun

Structure: forêt ouverte, basse

Dépôts: till

Drainage: imparfait, avec seepage

Croissance: modérée

2. Sous-groupement à Sphagnum nemoreum (EN-pcc-sn)

GED: Sphagnum nemoreum (GE18)

Structure: forêt très ouverte, basse

Dépôts: till très mince

Drainage: modérément bon, avec seepage

Croissance: modérée

V. GROUPEMENT à sapin (EN-sb)

GED: Abies balsamea (GE24)

Remarque: On distingue deux sous-groupements:

1. Sous-groupement à mousses (EN-sb-m)

GED: Ledum groenlandicum (GE14)

Structure: forêt ouverte, basse

Dépôts: till

Drainage: modérément bon à mauvais, avec seepage

Croissance: modérée

Remarque: Dans ce sous-groupement le sapin occupe en moyenne 15 p. 100 de la strate arborescente, alors que dans le sous-groupement suivant il en est absent, mais occupe

15 p. 100 de la strate arbustive.

2. Sous-groupement à Equisetum sylvaticum (EN-sb-es)

GED: Equisetum sylvaticum (GE25)

Structure: forêt très ouverte, très basse

Dépôts: till

Drainage: mauvais, avec seepage

Croissance: lente

VI. GROUPEMENT à Sphagnum girgensohnii (EN-sg)

GED: Sphagnum girgensohnii (c)

Structure: forêt très ouverte, basse

Dépôts: till

Drainage: mauvais, avec seepage

Croissance: non observée

VII. GROUPEMENT à Chamaedaphne calyculata (EN-cc)

GED: Chamaedaphne calyculata (GE19)

Structure: forêt très ouverte, très basse

Dépôts: alluvions récentes

Drainage: imparfait Croissance: lente

3.9.2.4 LES SAPINIERES (tableaux 131, 132)

GED: Abies balsamea (GE24)

Remarque: Très peu fréquentes dans ces régions écologiques, les sapinières occupent des stations très marginales. Un seul groupement est identifié:

1. GROUPEMENT typique (SB-t)

GED: aucun

Structure: forêt très ouverte, très basse

Dépôts: champs de blocs

Drainage: imparfait, avec seepage

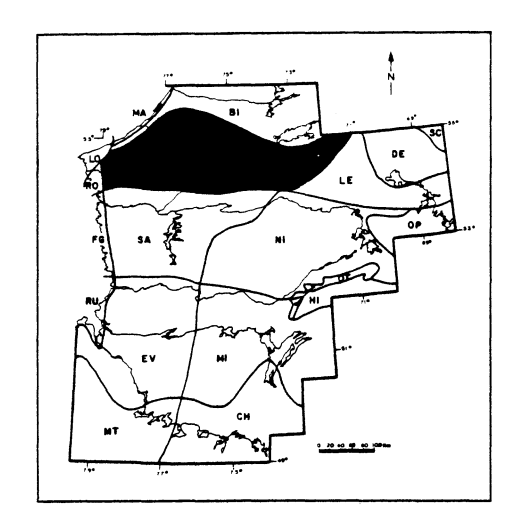
Croissance: lente

3.9.3 LES CHRONOSEQUENCES

Les chronoséquences végétales des régions écologiques du lac Le Grand, du lac Opiscotéo, du lac Delorme et des monts Schefferville sont présentées au tableau 135. Nous référons le lecteur à la section 3.3 pour ce qui concerne l'approche théorique et pratique de la détermination des chronoséquences.

	VIIIe		
TYPES ECOLOGIQ UE S SYNTHETIQUES	TYPES ECOLOGIQUES	CHRONOSEQUENCES	CLIMAT LOCAL PLUS HUMIDE
77	TA1, TD1, TH1, TY1, TM1	[PB-pp PN-pp][AVP]	
T1	SG1, SM1, AM1, AF1	[BR-pp → EN-ca][ALP-cn]	
S1		[BR-pp + EN-ca][ALP-cn]	
D1	TP1, SE1, DU1, SA1, RO1	[BR-pp → EN-ca][ALP-cn]	
1 1	MA23, AL2, AL3, TC2, TC3	non-applicable	
T2	TA2, TD2, TH2, TY2, TM2	[(BR-pp/BR-ca) \rightarrow (EN-ca/EN-ca-bg)][ALP-cn-ao]	TV 1
T3	TA3, TD3, TH3, TY3, TM3	[BR-bg + EN-ca][ALP-en-ca]	EN-sb-m
S23	SG23, SM23, AM23, AF2, AF3	[BR-ca + (EN-ca/EN-ca-bg)][ALP-cn]	
SA23	SA2, SA3	non-applicable	
TR21	TR21	(ALP-cn/ALP-cn-ao)	
TR3	TR3	EN-ca	
TP23	TP23	EN-ca	
SR13	SR13	[EN-ca][ALP-cn]	
RT14	RT14	EN-ca	
TR4	TR4	(EN-ca-cc/EN-ca-cc-sn)	
A4	MA4, AL4, TC4 TA4, TM4	non-applicable (EN-m/EN-m-sr)	
T4	SV4		
S4		EN-m-sn	
SA4	SA4	non-applicable	
A5	MA5, AL5, TC5	non-applicable	TN -1
T5	TA5, TM5	EN-cc	EN-sb-es
S5	SV5	EN-cc	
SA5	SA5	non-applicable	
TR5	TR5	<u>EN-cc</u>	
A23*	MA23*, AL2*, AL3*, TC2*, TC3*	non-applicable	
T2*	TA2*, TD2*, TM2* TA3*, TD3*, TM3*	BR-bg → BB-la → <u>EN-sb-m</u> BB-la → (EN-sb-m/EN-m-vu)	
T3* S23*	SG23*, SM23*, AM23*		C.D.
SA23*	SA3*	EN-sb-m non-applicable	SB
CV23*	CV23*	BR-alc → BB-la → EN-m-pcc	
TR2*	TR2*, SR2*	EN-m-pcc	
ER23*	ER23*	BB-la	
RO24*	R024*	EN-pcc-sn	
TR34*	TR34*	EN-pcc-sn	
SR34*	SR34*	EN-pcc-sn	
A4*	MA4*, AL4*, TC4*	non-applicable	
T4*	TA4*, TM4*	(EN-m-sr/EN-m-pcc)	(EN-sb-m/EN-sb-es)
CV4*	CV4*	EN-m-sr	(
S4*	AV4*	EN-m-sr	
SA4*	SA4*	non-applicable	
A5*	MA5*, AL5*, TC5*	non-applicable	
T5*	TA5*, TM5*	(EN-sb-m/EN-sb-es)	
S5*	AV5*	EN-sb-m	
SA5*	SA5*	non-applicable	
TP45*	TP45*	EN-sg	SB
TR5*	TR5*	EN-sg	
CR46*	CR46*	EN-sg	
RO5*	R05*	EN-sg	
S6*	AV6*	SA	
AA6*	AA6*	non-applicable	
		,	

3.10 LA VEGETATION DE LA REGION ECOLOGIQUE DE LA RIVIERE KANAAUPSCOW



La région écologique de la rivière Kanaaups-cow appartient au domaine des landes boisées et à la sous-zone biologique du Haut-Subarctique (Ducruc et al., 1976). Cette région écologique est bornée au sud par la région du lac Sakami (par 54° de latitude Nord), au nord par celle du lac Bienville (par 55° de latitude Nord), à l'ouest par la région écologique de la rivière Roggan et à l'est par celle du lac Le Grand (72° de longitude Ouest). L'altitude moyenne de cette

région se situe autour de 275 m et varie entre 50 m à l'ouest et 550 m à l'est. Le relief général est faiblement accidenté. On retrouve deux grandes unités physiographiques. A l'ouest, les affleurements rocheux et les tills minces (moins de 1 m) dominent, accompagnés dans le fond des vallées par des dépôts marins argilo-limoneux. A l'est, les tills minces et épais ainsi que des grandes zones de tills drumlino des sont les dépôts dominants.

La température moyenne annuelle varie entre -3,0 et -4,0°C; la moyenne des précipitations annuelles égale 700 mm, dont 400 mm entre mai et septembre; la durée annuelle moyenne de la saison de croissance est d'environ 110 jours.

3.10.1 LES GROUPES ECOLOGIQUES

Etablis à partir de 236 stations écologiques de référence et de 90 espèces, les 31 groupes écologiques sont présentés au tableau 136. Leurs profils écologiques sont à l'annexe 8. Les 12 groupes écologiques les plus fréquents seront maintenant traités.

GE4: POLYTRICHUM PILIFERUM
Lecidaea granulosa
Cladonia cristatella
Solidago hispida

Les groupes écologiques de la région écologique de la rivière Kanaaupscow Tableau 136

				T	T	1	
	,	2					
#	F.B. ¹	F. ²	NOM DES ESPECES	#	F.B.	F.	NOM DES ESPECES
1	Ai	24	Pinus banksiana(i)	19	ae	195	Vaccinium angustifolium
•	A1			1	an	191	Betula glandulosa
2	1t	33	Lycopodium complanatum	1	mh	144	Ptilidium ciliare
_	gr	13	Carex deflexa		1t	141	Cornus canadensis
3	an	104	Salix humilis_	20	Ai	228	Picea mariana(i)
	1				ae	220	Ledum groenlandicum
4	mh	109	Polytrichum piliferum	1	lt	218	Vaccinium vitis-idaea
	li	84	Lecidea granulosa	1	ae	161	Vaccinium uliginosum
	li	76	Cladonia cristatella			-01	Pleurozium schreberi
	1t	20	Solidago hispida	21	mh	184	Picea mariana(s)
_	١.		Polytrichum juniperinum	1	As	158 148	Empetrum nigrum
5	mh.	112	Epilobium angustifolium	1	lt lt	89	Lycopodium annotinum
	lt lt	106 39	Maianthemum canadense		11	09	ngcopoatan anno tritan
			Catnania nivalia	22	an	15	Alnus crispa
6	li	81 59	Cetraria nivalis_ Cetraria islandica	23	lt	16	Trientalis borealis
	li li	42	Umbilicaria hyperborea	43	1	10	
	li	16	Cladonia bellidiflora	24	ae	33	Vaccinium cespitosum
7	1t	124	Potentilla tridentata	25	mh	100	Dicranum fuscescens
'	1t	120	Lycopodium sabinaefolium	1	mh	81	Nephroma articum
	1t	24	Epigaea repens	i	mh	65	Polytrichum commune
	1			1	mh	51	Peltigera aphtosa
8	As	24	Pinus banksiana(s) Kalmia angustifolia		mh	14	Peltigera canina
	ae	18	Kaimia angustijotta	26	mh	13	Hylocomium splendens
9	li	31	Cladonia amaurocraea	1			
	li	28	Cetraria nigricans	27	As	61	Larix laricina(s) Larix laricina(i)
	li	21	Cetraria ericetorum		Ai	49	
	li	12	Umbilicaria proboscidea	1	mh	34	Peltigera scabrosa
10	li	172	Cladonia gonecha	28	ae	53	Kalmia polifolia
	li	172	Cladonia cornuta		ae	40	Chamaedaphne calyculata
	li	160	Cladonia crispata	1			
	1i	141	Cladonia coccifera	29	sp	46	Sphagnum nemoreum
	1i	134	Cladonia gracilis	}	1t	38	Rubus chamaemorus
	1i	86	Cladonia deformis		sp	27	Sphagnum robustum
	li	25	Cladonia pleurota	1	1t	23	Vaccinium oxycoccos
			01 1	ı	1t	23	Gaultheria hispidula
11	li	166	Cladonia uncialis		sp	14	Sphagnum fuscum
	li	163	Stereocaulon paschale Rhacomitrium heterosticum	30	, ,	25	Petasites palmatus
	mh	109	Iniperus communis	30	1t	25	Le Me vice parma vas
	an	68	Tarrepor ao Communes	31	mh	39	Ptilium crista-castrensis
12	li	24	Cladonia macrophylla	1 "	1t	36	Equisetum sylvaticum
1-4	**	-7	and the state of t	1	an	11	Salix planifolia
13	gr	17	Carex bigelowii				COMPAGNES
14	gr	34	Oryzopsis canadensis				
	"				mh	20	Mylia anomala
15	ae	24	Vaccinium myrtilloides		an	18 18	Amelanchier bartramiana Poa palustris
14		57	Dicranum undulatum		gr li	17	Parmelia centrifuga
16	mh lt	14	Coptis groenlandica		li	14	Cladonia squamosa
	1		· £ · · · · · · · · · · · · · · ·		11	11	Cladonia chlorophaea
17	gr	141	Deschampsia flexuosa				-
	1t	67	Geocaulon lividum	1		l	90 canànas
	1t mh	43 39	Solidago macrophylla Dicranum polysetum				90 espèces
		3,	• •		1		236 relevés
18	li	212	Cladonia mitis_		1	1	
	li	· 195	Cladonia alpestris		- 1	1	
	li	177	Cladonia rangiferina		j	1	
					- 1		
	ــــــــــــــــــــــــــــــــــــــ	1			1		

Forme biologique
 Fréquence

Groupe d'espèces qui s'installent presque immédiatement après un incendie, lorsque le sol minéral est à nu. C'est un groupe qui préfère:

- les milieux et hauts de pentes convexes,
- le drainage excessif à modérément bon, sans seepage,
- la texture grossière à moyenne.

En colonie, toutefois, ces espèces croissent de préférence sur les sables excessivement drainés (tableau 137).

GE5: POLYTRICHUM JUNIPERINUM Epilobium angustifolium Matanthemum canadense

Groupe pionnier, comme le précédent, il croît cependant sur des stations plus fraîches:

- pentes faibles à fortes,
- drainage excessif à imparfait, parfois avec seepage,
- généralement peuplement très jeune, mais demeure sous les vieux peuplements,
- texture moyenne.

Par contre, en colonie, c'est encore un groupe indicateur de drainage excessif, quoique dans 40 p. 100 des cas ils croissent sur les sols bien à modérément bien drainés (tableau 138).

GE6: CETRARIA NIVALIS
Cetraria islandica
Umbilicaria hyperborea
Cladonia bellidiflora

Ce groupe d'espèces arctiques-alpines devient très fréquent dans cette région. Cependant on le rencontre surtout sur les:

- parties les plus hautes de la région,
- pentes faibles, convexes et exposées aux vents,
- sols excessivement à modérément bien drainés, sans seepage.

En ne considérant que les relevés où ce groupe est abondant, on remarque une nette préférence pour les sables excessivement drainés (tableau 139).

Tableau 137 Répartition du GE4 parmi les types écologiques

Types écologiques	RO1	SM1	SG1	T1	SM23	SG23	т23	TOTAL	
NR	7	6	3	11	16	14	84	NRT = 141	
NP	1	2	1	8	5	5	19	NPT = 41	
FR	0,14	0,33	0,33	0,73	0,31	0,36	0,23	FRT = 2,43	
FRN	6	14	14	30	12	15	9	100%	
0 0						36%		Da Zai Land alai an	
2-3 seepage: 0%	3							Polytrichum Lecidea gran Cladonia cri Solidago his	ulosa statell

Tableau 138 Répartition du GE5 parmi les types écologiques

Types écologiques	SM1	Tl	SM23	SG23	T23	TOTAL	
NR	6	11	16	14	75	NRT = 122	
NP	1	6	2	3	12	NPT = 24	
FR	0,17	0,55	0,13	0,21	0,16	FRT = 1,22	
FRN	14	45	11	17	13	100%	
drainage 12-3		. - -		_ 41%		GE5 Polytrichum j Epilobium ang	
seepage: 0%						Epilobium and Maianthemum o	-
sable	L_	42%			ı		

Tableau 139 Répartition du GE6 parmi les types écologiques

Types écologiques	SM1	SG1	Tl	SG23	т23	TOTAL	
NR	6	3	5	14	59	NRT = 87	
NP	1	1	1	1	7	NPT = 11	
FR	0,17	0,33	0,20	0,07	0,12	FRT = 0.89	
FRN	19	37	23	8	13	100%	
		709				l and	
drainage 1 _ 2-3					1%	GE6 Cetraria ni	valis
					17	GE6 Cetraria ni Cetraria is	
					17	Cetraria ni	landica
2-3				2	17	Cetraria ni Cetraria is	landica hyperbore
2-3			ŗ		17.	Cetraria ni Cetraria is Umbilicaria	landica hyperbore

GE8: PINUS BANKSIANA(S)

A toutes fins pratiques, le pin gris atteint, dans cette région écologique, sa limite septentrionale, au moins en peuplement. Il se cantonne aux stations de:

- milieux de pentes régulières,
- bon drainage, sans seepage,
- texture moyenne à grossière.

En peuplement, il se limite essentiellement aux sables bien drainés (tableau 140).

Tableau 140 Répartition du GE8 parmi les types écologiques

Types écologiques	SM1	T1	AF2	SM23	т2	TOTAL
NR	7	5	5	15	29	NRT = 61
NP	3	1	3	6	3	NPT = 16
FR	0,43	0,20	0,60	0,40	0,10	FRT = 1,73
FRN	25	12	34	23	6	100%
		1.7.				GE1
drainage 1				_ 63%	ingana managangan ang ang ang managang managang managang managang managang managang managang managang managang	Pinus banksian
2-3				_ 63%		Pinus banksian
				_ 63%	4	Pinus banksian

GE10: CLADONIA GONECHA
Cladonia cornuta
Cladonia crispata
Cladonia coccifera
Cladonia gracilis
Cladonia deformis
Cladonia pleurota

Groupe de lichens excessivement fréquent. Cladonia gonecha, par exemple, est présent dans sept relevés sur dix. Ce sont des espèces pionnières, mais qui persistent comme compagnes tout au long de l'évolution des peuplements. Leurs profils écologiques relativement aplatis en témoignent. Par contre, en colonie, ces espèces se limitent aux drainages modérément bons à excessifs (tableau 141). Elle sont plus fréquentes sur sables que sur tills.

Tableau 141 Répartition du GE10 parmi les types écologiques

Types écologiques	SM1	Tl	AF2	SM23	SG23	т23	TOTAL	
NR	7	6	5	15	14	81	NRT = 128	
NP	2	5	3	6	3	13	NPT = 32	•
FR	0,28	0,83	0,60	0,40	0,21	0,16	FRT = 2,49	
FRN	12	33	24	16	8	7	100%	
seepage: 0%				55	· / ·		Cladonia gon Cladonia cor Cladonia cri	nuta
						J	Cladonia coc	cifer
sable		60%				·	1 I	

GE11: CLADONIA UNCIALIS
Stereocaulon paschale
Rhacomitrium heterosticum
Juniperus communis

Peu de choses distinguent ce groupe écologique du précédent, si ce n'est une préférence un peu plus marquée pour les sols secs. Cette préférence est cependant nettement plus forte lorsqu'on ne considère que les colonies importantes. Dans ce cas, ces espèces sont presques exclusives aux sables excessivement drainés (tableau 142).

GE18: CLADONIA MITIS
Cladonia alpestris
Cladonia rangiferina

Avec le groupe de l'épinette noire arbustive (GE20), c'est le groupe le plus fréquent de cette région écologique. Il est présent dans 90 p. 100 des relevés. Seuls les sols mal drainés accusent une fréquence moindre de ce groupe. En colonie, par contre, il croît surtout sur les sols modérément bien à excessivement drainés (tableau 143).

GE19: BETULA GLANDULOSA
Vaccinium angustifolium
Ptilidium ciliare
Cornus canadensis

Présent dans 80 p. 100 des relevés, ce groupe écologique a une grande importance dans le paysage végétal de cette région. Dans sa distribution générale, c'est un groupe ubiquiste avec, toutefois, une légère préférence pour les sols bien drainés et les peuplements très ouverts. En formation dense, c'est avant tout un groupe caractéristique des sols modérément bien à excessivement drainés (tableau 144).

GE20: PICEA MARIANA(I)

Ledum groenlandicum

Vaccinium vitis-idaea

Vaccinium uliginosum

Présent dans 97 p. 100 des relevés, ce groupe écologique est totalement ubiquiste. Aucune préférence n'est révélée par les profils écologiques. En peuplement ce groupe est présent sept fois sur dix. Son comportement ne révèle pas de sensibles restrictions écologiques (tableau 145).

Tableau 142 Répartition du GE11 parmi les types écologiques

Types écologiques	RO1	AF1	SM1	SG1	T1	AF2	SM23	SG23	т23	TOTAL	
NR	7	2	6	3	11	5	15	14	74	NRT = 137	
NP	6	2	3	3	6	2	1	3	23	NPT = 49	
FR .	0,86	1,00	0,50	1,00	0,55	0,40	0,07	0,21	0,31	FRT = 4,90	
FRN	18	21	10	21	11	8	1	4	6	100%	
drainage 1_			81%				<u> </u>			GE11	
_							-	1.09		GE11	
_							1	19%		Cladonia und	
2-3							1	19%		Cladonia uno Stereocaulon	n paschale
_							1	19%		Cladonia und Stereocaulon Rhacomitriu	n paschale m heterosticu
2-3 seepage: 0%	3 <i>-</i>						1	19%		Cladonia uno Stereocaulon	n paschale m heterosticu
2-3	3 <i>-</i>						1	19%		Cladonia und Stereocaulon Rhacomitriu	n paschale m heterosticu
2-3 seepage: 0%	3 <i>-</i>						1	19%		Cladonia und Stereocaulon Rhacomitriu	n paschale m heterosticu

Tableau 143 Répartition du GE18 parmi les types écologiques

Types é cologiques	RO1	SM1	SG1	T1	AF23	SM23	SG23	SR13	TY2	T23	MA23	т4	MA4	TOTAL	
NR	7	8	3	11	6	15	14	7	3	85	5	7	4	NRT = 175	
NP	6	4	3	8	6	14	12	6	3	69	4	6	3	NPT = 144	
FR	0,86	0,50	1,00	0,73	1,00	0,93	0,86	0,86	1,00	0,81	0,80	0,86	0,75	FRT = 10,96	
FRN	8	5	9	7	9	8	8	8	9	7	7	8	7	100%	
														Cladonia rang	iferin
seepage: 0%															•
roc	8%														
rocsable				ـ 47%			<u>J</u>		1						
sable										31%	-		-1		
loams															

Tableau 144 Répartition du GE19 parmi les types écologiques

Types ēcologiques	RO1	SM1	SG1	T1	AF23	SM23	SG23	SR13	TY2	T23	MA23	т4	т23*	TOTAL	
NR	7	8	3	11	6	15	14	7	3	85	5	6	3	NRT = 173	
NP	6	4	3	11	6	15	14	7	3	76	5	4	2	NPT = 156	
FR	0,86	0,50	1,00	1,00	1,00	1,00	1,00	1,00	1,00	0,89	1,00	0,67	0,67	FRT = 11,59	
FRN	7	4	9	9	9	9	9	9	9	7	9	5	5	100%	
seepage													5%	Ptilidium cil Cornus canade	
rocsable	7%	.		,	L			,	,		.				
sable			1	58%								<u> </u>		4	
								26)%				j		

Tableau 145 Répartition du GE20 parmi les types écologiques

Types é cologiques	RO1	SM1	SG1	Tl	AF23	SM23	SG23	SR23	TY2	T23	MA23	т4	MA4	T23*	T45*	MA4*	TOTAL	
NR	7	9	3	11	6	15	14	7	3	88	5	4	4	5	10	3	NRT = 194	
NP	7	9	3	7	6	8	12	7	3	79	5	4	4	4	10	3	NPT = 172	
FR	1,00	1,00	1,00	0,64	1,00	0,53	0,86	1,00	1,00	0,90	1,00	1,00	1,00	1,00	1,00	1,00	FRT = 14,09	
FRN	7	6	7	4	7	4	6	7	6	6	7	7	7	5	7	7	100%	
seepage															19%		Vaccinium vit	
										29% [

GE21: PICEA MARIANA(S)
Pleurozium schreberi
Empetrum nigrum
Lycopodium annotinum

La nécessité de créer deux groupes écologiques sur la base de la hauteur de l'épinette noire est démontrée par les profils écologiques de ces deux groupes. Alors que l'épinette noire, strate arbustive (GE20), se caractérise par des profils plats, l'épinette noire, strate arborescente (GE21), présente quelques tendances à préférer les:

- bas de pentes concaves,
- drainage modérément bon à mauvais,
- fréquence légèrement plus grande pour le seepage,
- peuplements plus fermés et plus hauts.

Cette distinction se confirme également quand on restreint l'analyse aux formations denses (tableau 146). Ainsi ce groupe colonise les drainages excessifs dans 10 p. 100 des cas contre 24 p. 100 pour le groupe précédent. Sur les stations à seepage la fréquence de ce groupe est de 41 p. 100 contre 19 p. 100 pour le groupe précédent.

GE29: SPHAGNUM NEMOREUM
Sphagnum robustum
Sphagnum fuscum
Rubus chamaemorus
Vaccinium oxycoccos
Gaultheria hispidula

C'est le groupe caractéristique des:

- bas de fortes pentes, concaves,
- sols imparfaitement à mal drainés, avec seepage,
- vieilles forêts ouvertes (qui constituent les peuplements les plus denses de cette région).

En colonie dense (tableau 147), l'amplitude écologique de ce groupe n'est pas différente.

GE31: PTILIUM CRISTA-CASTRENSIS
Equisetum sylvaticum
Salix planifolia

Ce groupe colonise fréquemment les mêmes stations que le groupe précédent (GE29), mais semble plus exigeant en ce qui concerne le seepage et plus restreint aux mauvais drainages. Par contre, en colonie

Tableau 146 Répartition du GE21 parmi les types écologiques

Types écologiques	Ro1	SG1	Tl	AF23	SM23	SG23	т23	A23	т4	A4	S23*	T23*	T45*	A4*	TOTAL	
NR	7	3	8	6	18	14	85	5	7	4	2	5	10	3	NRT = 177	
NP	2	1	3	2	9	7	58	4	5	3	2	4	9	3	NPT = 112	
FR	0,29	0,33	0,38	0,33	0,50	0,50	0,68	0,80	0,71	0,75	1,00	0,80	0,90	1,00	FRT = 8,97	
FRN	3	3	4	4	6	6	8	9	8	8	11	9	10	11	100%	
seepage												4	1%		Empetrum nig	
	- 3%	<u>. </u>	4	L					·					_4		
rocsable													1			

Tableau 147 Répartition du GE29 parmi les types écologiques

Types écologiques	SV4	MA5	AV4*	T4*	MA4*	т5*	TP45*	TOTAL	
NR	1	1	1	4	3	3	3	NRT = 16	
NP	1	1	1	2	3	3	2	NPT = 13	
FR	1,00	1,00	1,00	0,50	1,00	1,00	0,67	FRT = 6,17	
FRN	16	16	16	9	16	16	11	100%	
drainage 4-5				100%				GE29 Spḥagnum nem	oreum
seepage					_ 68%			Sphagnum rob	
								Sphagnum fus	
sable		_ - 32%			i			Rubus chamae	morus
loams				<u>- </u>	36%			Vaccinium ox	ycoccos
limon				32%	1			Gaultheria h	

Tableau 148 Répartition du GE31 parmi les types écologiques

Types écologiques	т23	SV4	т4	MA45	SM23*	т3*	MA23*	AV4 *	T45*	TP45*	MA4*	TOTAL	\ \
NR	4	1	3	5	1	1	1	1	7	3	3	NRT = 30	N.
NP	1	1	1	2	1	1	1	1	5	3	3	NPT = 20	
FR	0,25	1,00	0,33	0,40	1,00	1,00	1,00	1,00	0,71	1,00	1,00	FRT = 8,69	
FRN	3	11	4	5	11 ·	11	12	12	8	11	12	100%	
drainage 2-3	5					- 63%				1			sta-castrensi
					·	- 03%						Equisetum s	ylvaticum
seepage								77%				Salix plani	folia
sable		<u></u>			34% —		ı		.	1	i	·	

(tableau 148), son amplitude écologique semble plus large vis-à-vis du drainage. Cette apparente contradiction ne s'explique que par les distorsions que peuvent entraîner sous certaines conditions, les calculs statistiques.

3.10.2 LES TYPES SOCIO-ECOLOGIQUES DE VEGETATION

Outre les brûlis, très abondants, la végétation de la région écologique de la rivière Kanaaupscow se répartit en cinq formations qui se divisent en huit groupements et sept sous-groupements pour donner 13 types socio-écologiques de végétation (tableau 149). Cette faible diversité végétale est un reflet à la fois des conditions climatiques rigoureuses et de la faible diversité des stations écologiques à travers cette région. A titre d'exemple, les stations à seepage ne représentent que 10 p. 100 de 1'ensemble des stations échantillonnées lesquelles se veulent un reflet de la diversité écologique du territoire. On présente le tableau synthétique de niveau 2 en annexe 19 (tableau 150) et le tableau synthétique de niveau 3 au tableau 151.

3.10.2.1 LES PINEDES A PIN GRIS (tableaux 150, 151)

GED: Pinus banksiana(i) (GE1)
Pinus banksiana(s) (GE8)

Remarque: Etant donné l'abondance de feux récents (moins de 20 ans) dans cette région écologique, nous avons préféré, pour faciliter l'établissement des chronoséquences, séparer les pinèdes très jeunes, qui ne sont pas encore des forêts dans le sens que nous donnons à ce terme (densité supérieure à 25 p. 100 et surtout hauteur supérieure à trois mètres) des pinèdes adultes. A toutes fins pratiques, cependant, les deux groupements distingués peuvent être réunis sous un même vocable.

I. GROUPEMENT des jeunes pinèdes à Cladonia mitis (PG(i)-cm)

GED: Cladonia mitis (GE18)

Structure: formation arbustive

Dépôts: sable

Drainage: bon à modérément bon

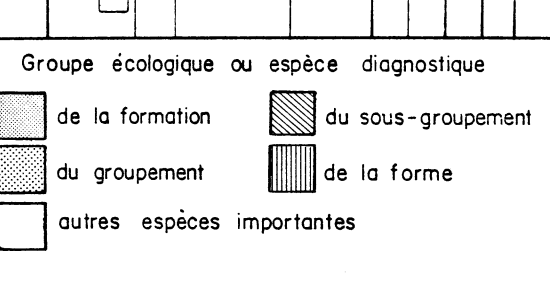
Croissance: non observée

Tableau 149 Nomenclature des types socio-écologiques de la région écologique de la rivière Kanaaupscow

1.	BRULI	S: BR		
	1.2. 1.3.	Polytrichum piliferum 1.1.1. Sphagnum nemoreum Lecidea granulosa Cladonia mitis 1.3.1. Polytrichum piliferum 1.3.2. Lecidea granulosa Pleurozium schreberi 1.4.1. Alnus crispa	: -pp.	sn t op lec
2.	PINED	ES A PIN GRIS: PG		
	2.1.	Cladonia mitis 2.1.1. jeune 2.1.2. adulte	: -cm : PG(i)-cm	em
3.	AULNA	IES A AULNE VERT: ALC		
	3.1.	Typique	: t11. ALC-t	
4.	LANDE	S ALPINES: ALP		
	4.1.	Cetraria nivalis	: -cn12. ALP-cn	
5.	LANDE	S A LICHENS: LL	•	
	5.1.	Cladonia alpestris	: -ca13. LL-ca	
6.	PESSI	ERES A EPINETTE NOIRE: EN		
	6.1.	Cladonia alpestris 6.1.1. Cetraria nivalis 6.1.2. Chamaedaphne calycula 6.1.3. Sphagnum nemoreum	: -ca	en ec
	6.2.	Pleurozium schreberi 6.2.1. Equisetum sylvaticum 6.2.2. Sphagnum robustum	: -m	3
	6.3.	Sphagnum robustum	: -sr	•

Tableau 151 Tableau synthétique de niveau 3 des types socio-écologiques de végétation de la région écologique de la rivière Kanaaupscow

																		_		_	
Type socio-écologique de végétation	BR-pp-t	BR-pp-sn	BR-lec	BR-cm-t	BR-cm-pp	BR-cm-lec	BR-m-t	BR-m-alc	PG(i)-cm	РС-сш	ALC	LA-cn	LL-ca	EN-ca-t	EN-ca-cn	EN-ca-cc	EN-ca-sn	EN-m-t	EN-m-es	EN-m-sr	EN-sr
Nombre de relevés	16	1	10	11	9	2	1	3	6	15	2	7	10	91	6	4	2	3	4	9	5
Numéro	1	2	3	4	5	6	7	8	9	10	11	12	13	14	15	16	17	18	19	20	21
CARACTERISTIQUES ECOLOGIQUES DOMINANTES																				-	
Drainage	1-3	4	1-3	2	1-2	1-3	2-3	1-3	2-3	2-3	2-3	1-2	1-2	2-3	2	4	4	2	2-3	4	5
Seepage	0	0	0	0	0	0	0	0	0	0	1	0	0	0	0	0	0	1	1	1	1
% argile, limon et sable tr. fin	31	98	35	42	29	42	98	50	24	27	43	32	34	38	42	71	64	36	47	58	47
Force de la pente (%)	3	1	2	5	3	4	2	2	3	7	64	1	4	2	3	2	2	35	17	7	4
Forme de la pente	х	X	х	х	X	Х	x	X	х	R	c-x	х	х	Х	х	X-R	Х	x	С	R-C	R
Altitude (x100 pi.)	11	7	11	11	7	7	7	9	8	8	13	12	7	10	13	8	6	11	6	9	10
Densité du peuplement	F	F	F	F	F	F	F	F	F	Е	F	F	F	E	E	E	D	D	D	D	D
Hauteur du peuplement	5	5	5	5	5	5	5	5	5	4	5	5	5	4	4	4	4	3	3	3	3
Type écologique synthétique	S23	A4	S23	S23	S23	T1	A23	A23	S23	S23	CV3*	S1	S1	S23	Т2	A4	A4	т2*	A23	* T4 *	т5*
1. Pinus banksiana(i) 3. Salix humilis 4. Polytrichum piliferum		· 5	3 14	1	. 1 5	2 8			39 2 3	2		1									
5. Polytrichum juniperinum	3	6	1	1	2	•	2	•	2		1	·		•	Ė	•	•	١.	•	•	•
6. Cetraria nivalis	i ÷	<u>.</u>	l:	Ŀ	<u></u>	<u>.</u>	<u> </u>	<u>.</u>	÷	H	٠	كا	1	٠	5	٠	•		•	•	
7. Potentilla tridentata	1	<u> </u>	1	1	1	1	1	<u> </u>	1	1			1	٠	٠	•	•	٠	٠	٠	
8. Pinus banksiana(s)	:	•		:	•	•	:	:	l :	ع				:	•	1	•	:	٠	•	•
10. Cladonia gonecha	1	1	2	1	1	4	1	1.	1	1	•		1	1	1	:	1	1	٠	•	
11. Cladonia uncialis	١.	•	1	3	2	2	1	•		1		2	2	2	2	1	3	•	•		
12. Cladonia macrophylla	١.	•		1	•	1	١.	•						•	•	•	•	•	•	•	
13. Carex bigelowii		٠		•	•	٠		•		١.	1	•		•	•	٠	1	•	•	•	
14. Oryzopsis canadensis		•			•	•	٠.	•	:			•		•	•	•	•	•	1	•	
15. Vaccinium myrtilloides	.	:		١.	•	•	١.	•	1				•	٠	•	•	٠	•	•	•	
16. Dicranum undulatum	'	1			•	:	:	•					•	•	•	•	•	•	•	•	
17. Deschampsia flexuosa		1				1	1	•	Ċ							•	·	;	٠	•	
18. Cladonia mitis	2		2	17	17	13	6	2	18	25	1	14	18	27	19	*******	23	4	3	3	١.
19. Betula glandulosa	6	4	7	6	7	10	1	8	3	3	6	1	4	3	3	1	2	2	1	1	
20. Picea mariana(i)	2	4	5	5	5	8	11	5	3	3	4	4	4	6	4	7	5	8	10	10	L
21. Picea mariana(s)	١.	•		1	•	•	16	14		1		2	1	5	4	9	8	29	24	19.	12
22. Alnus crispa		•			•	•	١.	30		١.	<u> </u>			•	•	•	•	•	٠	•	
23. Trientalis borealis		•	•		٠	٠	:	٠			1	•	•	•	•	•	٠	•	•	•	١.
24. Vaccinium cespitosum		3	•		•	•	1	•			1			٠	•	•	,	i e	5	2	
25. Dicranum fuscescens		•	•		•	٠	1	•	'		•			•	•	•	1	9			
26. Hylocomium splendens		:			•	•	3	٠	•	١.	•	•		•	٠	٠	•	•	2	•	
27. Larix laricina(s)	.	1			•	٠		•	١.	•	.			٠	٠		2	٠	1	٠	
28. Kalmia polifolia	.	1			•	•	•	•	١.	١.			.	٠	٠	19	.	•	•	اج	3
29. Sphagnum nemoreum		3			•	•	, -	•	.	•	•			٠	٠	•	3	•	1	5	9
20 D :						•	15	•	1 .			!	. 1	•	•		1	•	1	1	
30. Petasites palmatus	'	رتي		1			۔ ا		l				1					,		,	رئا
30. Petasites palmatus 31. Ptilium crista-castrensis	:	5					5		ŀ					•	•	1	3	1	5	1	6



II. GROUPEMENT adulte de pinède à Cladonia mitis (PG-cm)

GED: Cladonia mitis (GE18)

Structure: lande boisée, très basse

Dépôts: sables

Drainage: bon à modérément bon

Croissance: modérée

3.10.2.2 LES AULNAIES A AULNE VERT (tableaux 150, 151)

GED: Alnus crispa (GE22)

Remarque: Formation consécutive aux incendies, dont on ne reconnaît qu'un seul groupement:

I. GROUPEMENT typique (ALC-t)

GED: aucun

Structure: formation arbustive

Dépôts: colluvions et till

Drainage: bon à modérément bon, avec seepage

Croissance: non applicable

3.10.2.3 LES LANDES ALPINES (tableaux 150, 151)

GED: Cetraria nivalis (GE6)

Remarque: Dans cette formation, qui colonise les stations les plus exposées, on ne distingue qu'un seul groupement.

I. GROUPEMENT typique (ALP-cn-t)

GED: aucun

Structure: lande

Dépôts: sable et till

Drainage: excessif à bon

Croissance: stations improductives

3.10.2.4 LES LANDES A LICHENS (tableaux 150, 151)

GED: Cladonia mitis (GE18)

Remarque: Deux explications, non exclusives, peuvent être fournies quant à la présence de cette formation. On peut penser que sous certaines conditions de perturbations intenses, l'action régressive du feu sur le dynamisme végétal empêche la réinstallation de l'épinette noire (Gerardin $et\ al.$, 1974). D'autre part, il est fort possible, que sous certaines conditions climatiques plus rigoureuses que dans l'ensemble de la région, la lande à lichens soit une formation climatique (Ducruc $et\ al.$, 1976). On ne distingue qu'un seul groupement.

I. GROUPEMENT typique (LL-ca-t)

GED: aucun

Structure: lande

Dépôts: affleurements rocheux, sables et tills

Drainage: excessif à bon

Croissance: stations improductives

3.10.2.5 LES PESSIERES A EPINETTE NOIRE (tableaux 150, 151 152)

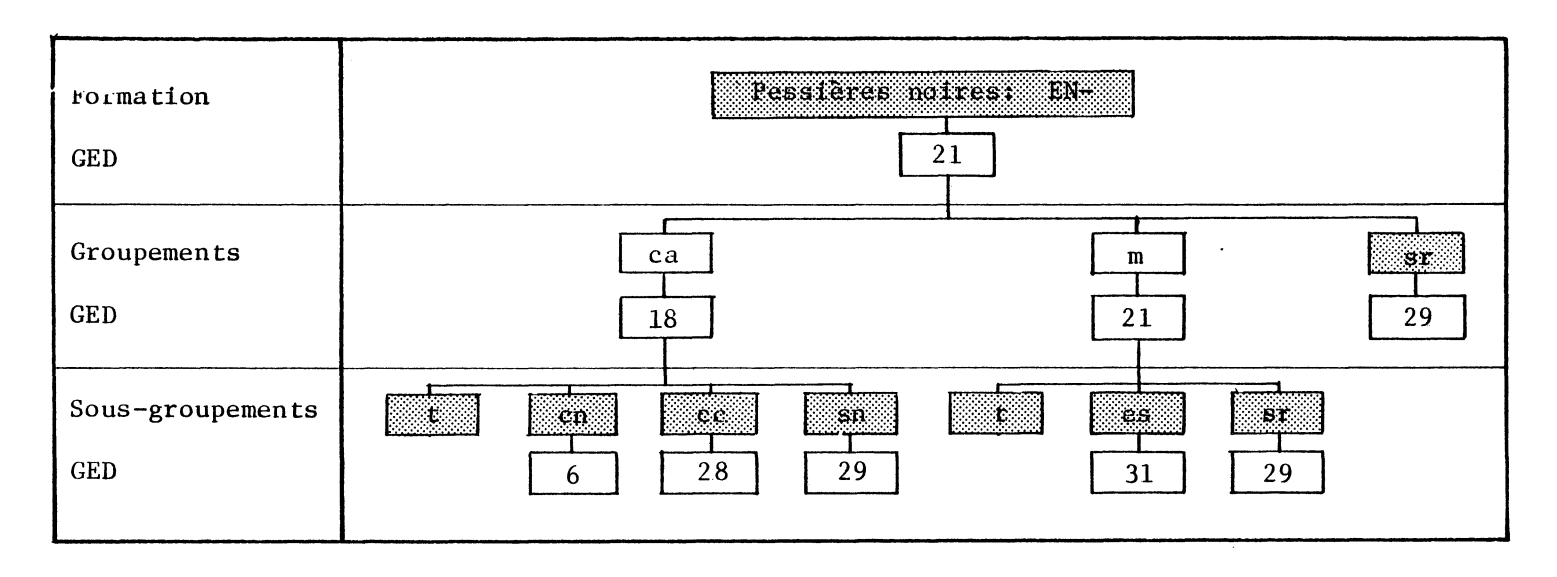
GED: Picea mariana(s) (GE21)

Remarque: A quelques exceptions près, les pessières à épinette noire de la région de la rivière Kanaaupscow ne sont plus des forêts mais des landes boisées (densité inférieure à 25 p. 100). Seules les pessières à mousses appartiennent au groupe des forêts, mais ne dépassent jamais les forêts très ouvertes (25 à 40 p. 100 de densité) et très basses (3 à 9 m de hauteur moyenne). On distingue trois groupements et sept sousgroupements qui forment sept types socio-écologiques de végétation (tableau 152).

I. GROUPEMENT à Cladonia alpestris (EN-ca) GED: Cladonia mitis (GE18)

Remarque: Ce groupement représente plus de 80 p. 100 de l'ensemble des pessières à épinettes noires. On reconnaît quatre sous-groupements:

Tableau 152 Groupes écologiques diagnostiques des pessières à épinette noire



1. Sous-groupement typique (EN-ca-t)

GED: aucun

Structure: lande boisée, très basse

Dépôts: till et sable

Drainage: bon à modérément bon (parfois excessif

ou imparfait)

Croissance: modérée

Remarque: C'est le type socio-écologique le plus fréquent, et de loin, de cette région écologique. Il est intéressant de noter que si les conditions climatiques ne favorisent guère une densité même moyenne, la croissance en hauteur des épinettes ne diffère pas sensiblement de celle mesurée dans les régions écologiques du Moyen-Subarctique (régions écologiques des lacs Sakami et Nichicun). Une saison de croissance plus longue dans la partie ouest du territoire de la Baie-James (Wilson, 1971) pourrait constituer une explication valable.

2. Sous-groupement à Cetraria nivalis (EN-ca-cn)

GED: Cetraria nivalis (GE6)

Structure: lande boisée, très basse

Dépôts: till
Drainage: bon

Croissance: lente

Remarque: Ce sont des groupements plus exposés
qui sont donc soumis à un microclimat
plus rigoureux, dont les effets se font
sentir au niveau de la croissance en

hauteur.

3. Sous-groupement à Chamaedaphne calyculata (EN-ca-cc)

GED: Kalmia polifolia (GE28)

Structure: lande boisée

Dépôts: till et argile marine

Drainage:imparfait Croissance: modérée 4. Sous-groupement à Sphagnum nemoreum (EN-ca-sn)

GED: Sphagnun nemoreum (GE29)

Structure: forêt très ouverte, très basse Dépôts: till très mince et argile marine

Drainage: imparfait Croissance: lente

II. GROUPEMENT à mousses (EN-m)

GED: Picea mariana(s) (GE21)

Remarque: Ce sont des peuplements plus fermés et plus hauts (forêts très ouvertes, basses) que les peuplements à lichens. Ils colonisent exclusivement les stations à seepage.

Ledum groenlandicum est toujours associé à ces forêts et couvre en moyenne 15 p. 100 du parterre. On distingue trois sous-groupements:

1. Sous-groupement typique (EN-m-t)

GED: aucun

Structure: forêt très ouverte, basse

Dépôts: till

Drainage: bon à imparfait, avec seepage

Croissance: modérée

2. Sous-groupement à Equisetum sylvaticum (EN-m-es)

GED: Ptilium crista-castrensis (GE31) Structure: forêt très ouverte, basse

Dépôts: till et argile marine

Drainage: bon à modérément bon, avec seepage

Croissance: modérée

3. Sous-groupement à Sphagnum robustum (EN-m-sr)

GED: Sphagnum nemoreum (GE29)

Structure: forêt très ouverte, basse

Dépôts: till et argile marine

Drainage: imparfait, avec seepage

Croissance: lente

III. GROUPEMENT à Sphagnum robustum (EN-sr)

GED: Sphagnum nemoreum (GE29)

Structure: forêt très ouverte, basse

Dépôts: till et argile marine Drainage: mauvais, avec seepage

Croissance: modérée

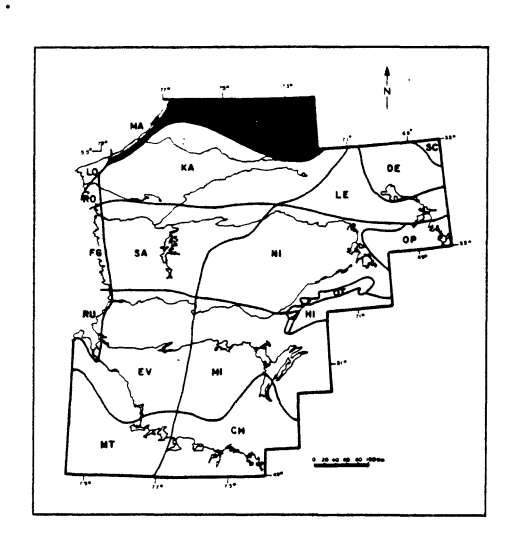
3.10.3 LES CHRONOSEQUENCES

Les chronoséquences végétales de la région écologique de la rivière Kanaaupscow sont présentées au tableau 153. Nous renvoyons le lecteur à la section 3.3 pour ce qui concerne l'approche théorique et pratique de la détermination des chronoséquences.

. Tableau 153 Chronoséquences végétales de la région écologique de la rivière Kanaaupscow

TYPES	
S1	
D1	P-cn]
D1	P-cn]
M23	_
T3	
T3	n]
SA23 SA2	
TR21 TR3 TR3 TR3 BR-pp + PG(1)-cm + EN-ca][ALP-cn] TR3 TR3 TR3 BR-pp + EN-ca EN-ca SR13 SR13 SR13 BR-cm-pp + EN-ca EN-ca SR14 RT14 RT14 EN-ca EN-ca EN-ca BR-pp-sn + EN-ca EN-ca-cc BR-pp-sn + EN-ca-cc (EN-ca/EN-ca-cc) SA SV4 (EN-ca-cc/EN-m-sr) SA4 SA4 A5 MA5, AL5, EN-m-sr S5 SV5 EN-cc "SA" SA5 SA5 TR5 TR5 A23* MA23*, AL2*, AL3*, EN-mes T2* TA2*, TD2*, TM2* EN-m SA3* SA3* SA3* (EN-m-es) SA3* SA3* SA3* (EN-m-es) SA3* SA3* SA3* (EN-m-es) SA3* SA3* SA3* (EN-m-es) SA3* SA3* CV23* SR23*, MM23* (EN-m/EN-m-es) SA3* SA3* CV23* CV23* ALC + EN-m TR2* TR2*, SR2* EN-m ER23* ER23* ER23* ALC EN-m-sr	n]
TR3 TR3 TR3 BR-pp + EN-ca EN-ca EN-ca EN-ca EN-ca EN-ca EN-ca EN-ca EN-ca EN-ca EN-ca EN-ca EN-ca-cc "SA" EN-cc s EN-cc "SA" EN-m-es EN-cc "SA" EN-m-es EN-cc "SA" EN-m-es	n]
TP23 TP23 EN-ca SR13 SR13 BR-cm-pp + EN-ca RT14 RT14 EN-ca TR4 TR4 EN-ca-cc A4 MA4, AL4, BR-pp-sn + EN-ca-cc T4 TA4, TM4 (EN-ca-cc/EN-ca-cc) S4 SV4 (EN-ca-cc/EN-m-sr) SA4 SA4 EN-ca-cc A5 MA5, AL5, EN-m-sr S5 SV5 EN-cc "SA" SA5 SA5 EN-cc "SA" EN-cc "SA" EN-cc "SA" EN-cc "SA" EN-m-es EN-cc "SA" EN-m-es EN-m-es EN-m S23* SG23*, SM23*, AM23* (EN-m-EN-m-es) CV23* CV23* CV23* TR2* TR2*, SR2* EN-m ER23* ER23* ALC EN-m-sr ALC EN-m-sr ER34* TR34* ALC + EN-m-sr SR34* SR34* ALC + EN-m-sr EN-m-sr (EN-m-sr/EN-sr)	
SR13 SR13 BR-cm-pp → EN-ca RT14 RT14 EN-ca = cc A4 MA4, AL4, BR-pp-sn → EN-ca-cc T4 TA4, TM4 (EN-ca-cc/EN-ca-cc) S4 SV4 (EN-ca-cc/EN-m-sr) SA4 AA5 MA5, AL5, T5 TA5, TM5 EN-cc "SA" S5 SV5 EN-cc "SA" SA5 EN-cc "SA" TR5 TR5 EN-cc "SA" A23* MA23*, AL2*, AL3*, EN-m-es T2* TA2*, TD2*, TM2* EN-m T3* TA3*, TD3*, TM3* (EN-m-es/EN-m) S23* SG23*, SM23*, AM23* (EN-m/EN-m-es) CV23* CV23* ALC + EN-m TR2* TR2*, SR2* EN-m ER23* ER23* ALC ER23* ER23* ALC ER34* ALC EN-m-sr TR34* TR34* ALC + EN-m-sr SR34* SR34* ALC EN-m-sr (EN-m-sr/EN-sr) (EN-m-sr/EN-sr) (EN-m-sr/EN-sr)	
RT14 RT14 EN-ca TR4 TR4 EN-ca-cc A4 MA4, AL4, BR-pp-sn → EN-ca-cc T4 TA4, TM4 (EN-ca/EN-ca-cc) S4 SV4 (EN-ca-cc/EN-m-sr) SA4 AA5 MA5, AL5, EN-m-sr T5 TA5, TM5 EN-cc "SA" EN-cc "SA" S5 SV5 EN-cc "SA" EN-cc "SA" TR5 EN-cc "SA" EN-m-es EN-m-es T2* TA2*, TD2*, TM2* EN-m-es EN-m-es T3* TA3*, TD3*, TM3* (EN-m-es/EN-m) (EN-m/EN-m-es) S23* SG23*, SM23*, AM23* (EN-m/EN-m-es) (EN-m/EN-m-es) CV23* CV23* ALC + EN-m ER23* ER23* ALC EN-m ER23* ER23* ALC EN-m-sr TR34* TR34* ALC + EN-m-sr SR34* SR34* ALC + EN-m-sr SR34* SR34* ALC + EN-m-sr CV23* CV23* CV24* EN-m-sr EN-m-sr CV24* EN-m-sr CV24*	
TR4 A4 A4 A4 A4 A4 A4 A4 A4 A4	
A4 MA4, AL4, T4 TA4, TM4 (EN-ca-cc) S4 SV4 (EN-ca-cc/EN-m-sr) SA4 SA4 SA4 (EN-ca-cc) A5 MA5, AL5, T5 TA5, TM5 (EN-cc "SA" SA5 SA5 SA5 (EN-cc "SA" TR5 TR5 TR5 (EN-cc "SA" A23* MA23*, AL2*, AL3*, T2* TA2*, TD2*, TM2* (EN-m-es) S23* SG23*, SM23*, AM23* (EN-m-es) SA3* SA3* CV23* CV23* ALC EN-m TR2* TR2*, SR2* (EN-m) ER2* ER2* ER2* ER2* ER2* ALC ER2* EN-m ALC → EN-m EN-m-sr EN-m-sr EN-m-sr EN-m-sr EN-m-sr EN-m-sr EN-m-sr EN-m-sr EN-m-sr	
T4	
S4 SV4 (EN-ca-cc/EN-m-sr) SA4 SA4 EN-ca-cc A5 MA5, AL5, EN-m-sr T5 TA5, TM5 EN-cc "SA" S5 SV5 EN-cc "SA" SA5 TR5 EN-cc "SA" A23* MA23*, AL2*, AL3*, EN-m-es T2* TA2*, TD2*, TM2* EN-m T3* TA3*, TD3*, TM3* (EN-m-es/EN-m) S23* SG23*, SM23*, AM23* (EN-m/EN-m-es) SA3* SA3* (EN-m/EN-m-es) CV23* CV23* ALC → EN-m ER23* ER23* ALC ER23* ER23* ALC EN-m-sr ALC → EN-m-sr TR34* TR34* ALC → EN-m-sr SR34* SR34* ALC → EN-m-sr A4* MA4*, AL4*, (EN-m-sr/EN-sr)	
SA4 SA4 EN-ca-cc A5 MA5, AL5, EN-m-sr T5 TA5, TM5 EN-cc "SA" S5 SV5 EN-cc "SA" EN-cc "SA" EN-cc "SA" EN-m-cc "SA" EN-m-es EN-m-es EN-m-es T2* TA2*, TD2*, TM2* EN-m T3* TA3*, TD3*, TM3* (EN-m-es/EN-m) S23* SG23*, SM23*, AM23* (EN-m/EN-m-es) SA3* CV23* ALC + EN-m TR2* TR2*, SR2* EN-m ER23* ER23* ALC EN-m-sr ALC EN-m-sr TR34* TR34* ALC + EN-m-sr SR34* SR34* ALC + EN-m-sr A4* MA4*, AL4*, (EN-m-sr/EN-sr)	
A5	
T5	
S5 SV5 SA5 SA5 TR5 TR5 A23* MA23*, AL2*, AL3*, T2* TA2*, TD2*, TM2* T3* TA3*, TD3*, TM3* S23* SG23*, SM23*, AM23* SA3* (EN-m/EN-m-es) CV23* CV23* TR2* TR2*, SR2* ER23* ER23* RO24* RO24* TR34* TR34* SR34* SR34* A4* MA4*, AL4*,	
SA5 SA5 EN-cc "SA" TR5 TR5 EN-cc "SA" A23* MA23*, AL2*, AL3*, EN-m-es T2* TA2*, TD2*, TM2* EN-m T3* TA3*, TD3*, TM3* (EN-m-es/EN-m) S23* SG23*, SM23*, AM23* (EN-m/EN-m-es) SA3* CV23* ALC + EN-m TR2* TR2*, SR2* EN-m ER23* ER23* ALC RO24* RO24* EN-m-sr TR34* TR34* ALC + EN-m-sr SR34* SR34* EN-m-sr A4* MA4*, AL4*, (EN-m-sr/EN-sr)	
TR5 A23* MA23*, AL2*, AL3*, T2* TA2*, TD2*, TM2* T3* TA3*, TD3*, TM3* S23* SG23*, SM23*, AM23* (EN-m-es/EN-m) (EN-m/EN-m-es) CV23* CV23* CV23* ALC + EN-m ER23* ER23* RO24* RO24* TR34* TR34* SR34* ALC EN-m-sr ALC + EN-m-sr ALC + EN-m-sr ALC + EN-m-sr ALC + EN-m-sr ALC + EN-m-sr ALC + EN-m-sr ALC + EN-m-sr ALC + EN-m-sr ALC + EN-m-sr ALC + EN-m-sr CR34* ALC + EN-m-sr CR34* ALC + EN-m-sr CR34* ALC + EN-m-sr CR34* ALC + EN-m-sr CR34* ALC + EN-m-sr	
A23* MA23*, AL2*, AL3*, EN-m-es T2* TA2*, TD2*, TM2* EN-m T3* TA3*, TD3*, TM3* (EN-m-es/EN-m) S23* SG23*, SM23*, AM23* (EN-m/EN-m-es) SA3* SA3* (EN-m/EN-m-es) CV23* CV23* ALC + EN-m ER23* ER23* ALC ER23* ER23* ALC RO24* RO24* EN-m-sr TR34* TR34* SR34* ALC + EN-m-sr SR34* SR34* ALA*, (EN-m-sr/EN-sr)	
T2* TA2*, TD2*, TM2* EN-m T3* TA3*, TD3*, TM3* (EN-m-es/EN-m) S23* SG23*, SM23*, AM23* (EN-m/EN-m-es) SA3* SA3* (EN-m/EN-m-es) CV23* CV23* ALC + EN-m TR2* TR2*, SR2* EN-m ER23* ER23* ALC RO24* RO24* EN-m-sr TR34* TR34* ALC + EN-m-sr SR34* SR34* ALC + EN-m-sr SR34* SR34* (EN-m-sr)	
T3* TA3*, TD3*, TM3* (EN-m-es/EN-m) S23* SG23*, SM23*, AM23* (EN-m/EN-m-es) SA3* SA3* (EN-m/EN-m-es) CV23* CV23* ALC + EN-m TR2* TR2*, SR2* EN-m ER23* ER23* ALC RO24* RO24* EN-m-sr TR34* TR34* ALC + EN-m-sr SR34* SR34* ALC + EN-m-sr SR34* SR34* (EN-m-sr/EN-sr)	
S23* SG23*, SM23*, AM23* (EN-m/EN-m-es) SA3* (EN-m/EN-m-es) CV23* CV23* ALC → EN-m TR2* TR2*, SR2* EN-m ER23* ER23* ALC R024* R024* EN-m-sr TR34* TR34* ALC → EN-m-sr SR34* SR34* EN-m-sr A4* MA4*, AL4*, (EN-m-sr/EN-sr)	
$\begin{array}{cccccccccccccccccccccccccccccccccccc$	
$ \begin{array}{cccccccccccccccccccccccccccccccccccc$	
TR2* TR2*, SR2* EN-m ER23* ER23* ALC RO24* RO24* EN-m-sr TR34* TR34* ALC → EN-m-sr SR34* SR34* EN-m-sr A4* MA4*, AL4*, (EN-m-sr/EN-sr)	
ER23* ER23* ALC RO24* RO24* EN-m-sr TR34* TR34* ALC → EN-m-sr SR34* SR34* EN-m-sr A4* MA4*, AL4*, (EN-m-sr/EN-sr)	
RO24* RO24* EN-m-sr TR34* TR34* ALC → EN-m-sr SR34* SR34* EN-m-sr A4* MA4*, AL4*, (EN-m-sr/EN-sr)	
TR34* TR34* ALC → EN-m-sr SR34* SR34* EN-m-sr A4* MA4*, AL4*, (EN-m-sr/EN-sr)	
SR34* SR34* <u>EN-m-sr</u> A4* MA4*, AL4*, (EN-m-sr/EN-sr)	
A4* MA4*, AL4*, (EN-m-sr/EN-sr)	
T4* TA4*, TM4* EN-m-sr	
CV4* CV4* <u>EN-m-sr</u>	
S4* AV4* EN-m-sr	
SA4* SA4* <u>EN-m-sr</u>	
A5* MA5*, AL5*, <u>EN-sr</u>	
T5* TA5*, TM5* EN-sr	
S5* AV5* <u>EN-sr</u>	
SA5* SA5* EN-sr	
TP45*	
TR5* TR5* <u>EN-sr</u>	
CR46* CR46* <u>EN-sr</u>	
R05* R05* <u>EN-sr</u>	
S6* AV6* <u>SA</u>	
AA6* AA6* <u>SA</u>	

3.11 LA VEGETATION DE LA REGION ECOLOGIQUE DU LAC BIENVILLE



La région écologique du lac Bienville appartient au domaine des landes à lichens et à la zone biologique de l'Hémiarctique (Ducruc et al., 1976). Cette région est bornée au sud par la région écologique de la rivière Kanaaupscow (latitudes 55-55°30'N), au nord par 56° de latitude Nord, à l'ouest par la région écologique des îles de Manitounouc et à l'est par 72° de longitude Ouest. L'altitude moyenne de cette région est d'environ 350 m, variant de 50 m à l'ouest à 550 m à l'est. Le relief moutonné à accidenté de cette région lui

est conféré par la roche en place. Trois grandes unités géomorphologiques caractérisent cette région. A l'ouest, se situe une zone d'affleurements rocheux et de placage de till très mince et dont les fonds de vallée sont comblés par les dépôts argilo-limoneux de la mer de Tyrrel. Au centre, les tills minces (30 cm à 100 cm d'épaisseur) dominent. A l'est, on retrouve les grandes moraines de décrépitude.

La température moyenne annuelle se situe près de -5,0°C; la moyenne des précipitations annuelles est d'environ 700 mm, dont 400 mm tombent durant les mois de mai à septembre; la durée annuelle moyenne de la saison de croissance varie entre 110 et 100 jours (Wilson, 1971).

3.11.1 LES GROUPES ECOLOGIQUES

Etablis à partir des 97 stations écologiques de référence et de 64 espèces, les 23 groupes écologiques sont présentés au tableau 154. Leurs profils écologiques sont à l'annexe 9. On remarque que pour les variables C/N de l'humus et classe d'indice de croissance, les profils n'ont pas été calculés. Ceci s'explique par le trop petit nombre de mesures effectuées sur ces variables. Les huit groupes écologiques les plus fréquents seront maintenant étudiés.

Tableau 154 Les groupes écologiques de la région écologique du lac Bienville

				+			
#	F.B. ¹	F. ²	NOM DES ESPECES	#	F.B.	F.	NOM DES ESPECES
1	li	21 11	Alectoria Ochroleuca Luzula confusa	16	ae	39	Vaccinium angustifolium
	gr		·	17	an	86	Betula glandulosa '
2	ar ar	21 16	Salix uva-ursi Arctostaphyllos alpina	18	gr	38	Carex bigelowii
	mh ae	16 15	Rhacomitrium lanuginosum Ledum decumbens	19	As	24	Larix laricina(s)
3	li	32	Cetraria nigricans		Ai	19	Larix laricina(i)
	li	30	Cladonia amaurocraea	20	ae	20	Vaccinium cespitosum
4	li	45	<u>Cetraria islandica</u>	21	gr 1t	39 37	Deschampsia flexuosa Lycopodium annotinum
1 -	1 1.	63	Cetraria nivalis	1			
5	li		Cecraria nivaris	1	1t	36	Cornus canadensis
	mh	28	Polytrichum piliferum		1t	21	Solidago macrophylla
6	mh	36	Rhacomitrium heterosticum	22	mh mh	66 41	Pleurozium schreberi Nephroma articum
7	mh	42	Polytrichum juniperinum		mh mh	27 16	Polytrichum commune Peltigera aphtosa
8	1t	19	Lycopodium sabinaefolium		mh	15	Peltigera scabrosa
9	1t	28	Potentilla tridentata	23	1t	25	Rubus chamaemorus
1		1		1	ae	22	Kalmia polifolia
10	l lt	21	Epilobium angustifolium	1	sp	17	Sphagnum nemoreum
1	li	19	Cladonia squamosa	1	1t	14	Equisetum sylvaticum
1				1		1	Variation and account
1	li	15	Cladonia cristatella		1t	11	Vaccinium oxycoccos
1	li	13	Lecidea granulosa		sp	11	Sphagnum robustum
	li	12	Cladonia pleurota				
11	li li	61 56	Cladonia gonecha Cladonia coccifera				
1		1					
1	li	54	Cladonia uncialis	l l			1
1	1i	47	Cladonia crispata				
	li	29	Cladonia deformis				
12	1i	68	Stereocaulon paschale		1.	, ,	COMPAGNES
1					li	17	Cladonia bellidiflora
13	li	92	Cladonia alpestris		1t	16	Geocaulon lividum
1	li	82	Cladonia mitis		an	14	
	li	72	Cladonia rangiferina		li	12	Salix humilis Umbilicaria hyperborea
14	1i	64	Cladonia gracilis				64 espèces
	li	56	Cladonia cornuta				97 relevés
15	1t	91	Vaccinium vitis-idaea	1			3) LeTeAes
1	ar	84	Empetrum nigrum	1			j
1	ae	82	Vaccinium uliginosum				
1	Ai	76	Picea mariana(i)	1			
1	As	56	Picea mariana(s)	1			
1				1			1
1	ae	77	Ledum groenlandicum				
1	mh	61	Ptilidium ciliare	1			
I	mh	43	Dicranum fuscescens				
4							

Forme biologique
 Fréquence

GE1: ALECTORIA OCHROLEUCA Luzula confusa

C'est un groupe d'espèces arctiques, relativement plus abondantes que dans les régions précédentes (25 p. 100 des relevés). On les trouve, principalement, sur les hauts de pentes convexes, excessivement drainées. Elles sont exclusivement liées aux landes arctiques. En colonie (tableau 155), elles occupent dans 86 p. 100 des cas les sols excessivement drainés et se partagent entre les affleurements rocheux et le till.

Tableau 155 Répartition du GE1 parmi les types écologiques

Types écologiques	RO1	Tl	т23	TOTAL	
NR	6	2	20	NRT = 28	
NP	3	1	3	NPT = 7	
FR	0,50	0,50	0,15	FRT = 1,15	
FRN	43	43	14	100%	
drainage 1_ 2-3	38		_ 14%	GE1 Alectoria och	
seepage: 0%				Luzula confus	ra
roc	43%				
	L	_ 57			

GE3: CETRARIA NIGRICANS Cladonia amaurocraea

Présentes dans le tiers des relevés, ces espèces arctiques ont une amplitude écologique un peu plus grande que celle du groupe précédent (GE1). Cette amplitude est plus grande vis-à-vis des positions et formes de la pente, du drainage et de l'ouverture des peuplements. En colonie (tableau 156), dans 26 p. 100 des cas, ces espèces croissent sur des sols bien à modérément bien drainés.

GE5: CETRARIA NIVALIS Polytrichum piliferum

On trouve ce groupe dans plus de six relevés sur dix. Jusqu'à cette région écologique, *Cetraria nivalis* était particulièrement restreint aux sols excessivement drainés, tandis qu'ici son amplitude s'élargit considérablement: il va jusqu'à croître dans des stations imparfaitement drainées. Toutefois, en formation dense (tableau 157), ce groupe occupe dans 100 p. 100 des cas les sols excessivement à modérément bien drainés et particulièrement les sables.

GE12: STEREOCAULON PASCHALE

Ce lichen, quoique présent dans les autres régions écologiques, atteint ici un maximum de fréquence (70 p. 100). Il possède donc une assez grande amplitude écologique que révèlent bien ses profils. Toutefois, on note une préférence pour les sols les mieux drainés, de texture moyenne à grossière. Cette préférence est encore plus nette lorsque on ne considère que les relevés où cette espèce est abondante. Le tableau 158 révèle, en effet, une fréquence de 73 p. 100 pour le drainage excessif et de 60 p. 100 pour les sables.

GE13: CLADONIA ALPESTRIS
Cladonia mitis
Cladonia rangiferina

Présent dans 95 p. 100 des relevés de végétation, ce groupe est le plus fréquent de tous. C'est donc un groupe totalement ubiquiste. En formation dense, il est présent dans 69 p. 100 des relevés et démontre alors une préférence pour les sols modérément bien à excessivement drainés. Il est totalement absent des sols mal drainés (tableau 159).

Tableau 156 Répartition du GE3 parmi les types écologiques

Types écologiques	RO1	DU1	SG1	Tl	DU2	т2	т3	TOTAL	
NR	6	1	1	1	1	17	9	NRT = 36	
NP	3	1	1	1	1	2	1	NPT = 10	
FR	0,50	1,00	1,00	1,00	1,00	0,12	0,11	FRT = 4,73	
FRN	11	21	21	21	21	3	2	100%	
drainage 1_ 2						4%		GE3 Cetraria nia	aricans
					2			GE3 Cetraria nig Cladonia amo	
2_				· ·	2		 2%	Cetraria nig	

Tableau 157 Répartition du GE5 parmi les types écologiques

Types écologiques	RO1	DU1	SG1	T1	DU2	SG23	т23	т3*	TOTAL	
NR	6	1	1	4	1	3	40	2	NRT = 58	
NP	4	1	1	3	1	3	14	1	NPT = 25	
FR	0,67	1,00	1,00	0,75	1,00	1,00	0,35	0,50	FRT = 6,27	
FRN	10	16	16	12	16	16	6	8	100%	
2-3							46%		Cetraria nival	
seepage								8%	Polytrichum pi	lifer
roc	10%	.	,				_			
				649		ı				

Tableau 158 Répartition du GE12 parmi les types écologiques

Types écologiques	RO1	DU1	SG1	T1	DU2	т2	т3	TOTAL
NR	6	1	1	1	1	17	9	NRT = 36
NP	4	1	1	1	1	2	2	NPT = 12
FR	0,67	1,00	1,00	1,00	1,00	0,12	0,22	FRT = 5,01
FRN	13	20	20	20	20	3	4	100%
drainage l_			73%			0.097		GE12
drainage l_			73%					GE12 Stereocaulon pascha
drainage 1			73%				4%	1

Tableau 159 Répartition du GE13 parmi les types écologiques

Types écologiques	RO1	AF1	AU1	SG1	T1	SM23	SG23	Т23	SV4	Т4	т3*	TOTAL	
NR	4	1	1	1	5	5	3	44	1	4	2	NRT = 71	
NP	4	1	. 1	1	5	4	3	41	1	4	2	NPT = 67	
FR	1,00	1,00	1,00	1,00	1,00	0,80	1,00	0,93	1,00	1,00	1,00	FRT = 10,73	
FRN	10	9	9	9	9	8	9	10	9	9	9	100%	٠.
									1	6% 8%		Cladonia alpe Cladonia miti Cladonia rang	s
seepage											_ 9%	•	
roc	107												

GE15: PICEA MARIANA(S)
Picea mariana(i)
Vaccinium vitis-idaea
Vaccinium uliginosum
Empetrum nigrum

C'est un groupe faiblement indicateur, qui colonise autant les sols bien drainés que les sols mal drainés, avec ou sans seepage. En peuplement, il occupe également toutes les classes de drainage, mais avec une fréquence relative de 60 p. 100 pour les tills imparfaitement à mal drainés (tableau 160).

GE17: BETULA GLANDULOSA

Considérée isolément, cette espèce se rencontre dans 89 p. 100 des relevés et présente donc des profils relativement aplatis. En formation dense (tableau 161), toutefois, cette espèce préfère les stations bien à modérément bien drainées et forme d'inextricables fourrés sur les colluvions et tills modérément bien drainés avec seepage et récemment brûlés.

GE22: PLEUROZIUM SCHREBERI
Nephroma arcticum
Polytrichum commune
Peltigera aphtosa
Peltigera scabrosa

Ce groupe de mousses et d'hépatiques est un bon indica-

teur de:

- milieux et bas de pentes, concaves ou régulières,
- sols modérément bien à imparfaitement drainés, avec seepage,
- milieux forestiers.

En colonie, c'est un indicateur quasi exclusif de seepage; il croît uniquement sur les tills et les colluvions (tableau 162).

3.11.2 LES TYPES SOCIO-ECOLOGIQUES DE VEGETATION

Outre les brûlis, la végétation de la région écologique du lac Bienville se répartit en cinq formations qui se divisent en sept groupements et 15 sous-groupements, pour donner 18 types socio-écologiques de végétation (tableau 163) dont on présente en annexe 20 (tableau 164) le tableau synthétique de niveau 2 et au tableau 165 le tableau synthétique de niveau 3.

Tableau 160 Répartition du GE15 parmi les types écologiques

Types écologiques	RO1	T1	SM23	т23	S4	Т4	Т5	т23*	cv23*	т4*	т5*	TOTAL	
NR	4	3	4	34	1	4	1	3	3	1	2	NRT = 60	
NP	2	2	3	22	1	4	1	2	1	1	2	NPT = 41	
FR	0,50	0,67	0,75	0,65	1,00	1,00	1,00	0,67	0,33	1,00	1,00	FRT = 8,57	
FRN	6	7	9	7	12	12	12	7	4	12	12	100%	
5_								36% —	- 24% 			Vaccinium viti Vaccinium ulig	
seepage									3	33%		Empetrum nigru	m
roc	6%			- 21%									

Tableau 161 Répartition du GE17 parmi les types écologiques

Types ácologiques	RO1	SG1	SM23	SG23	T23	т3*	cv23*	T4*	TOTAL
NR	4	2	4	3	44	2	3	3	NRT = 65
NP	1	2	1	3	13	2	2	3	NPT = 27
FR	0,25	1,00	0,25	1,00	0,30	1,00	0,67	1,00	FRT = 5,47
FRN	5	18	5	18	6	18	12	18	100%
drainage 1 2-3		23%			59%			_1	GE17 Betula glandulo
2-3	3							18%	
2-3	3						54%	18%	
2-3 4_	3 5%							18%	

Tableau 162 Répartition du GE22 parmi les types écologiques

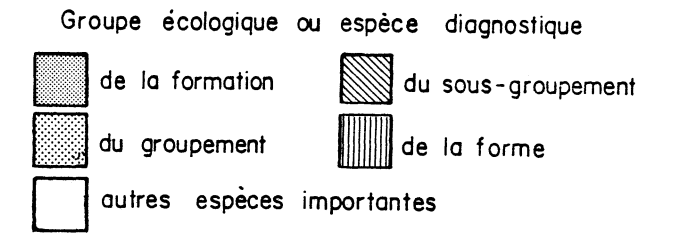
Types écologiques	Т5	т3*	cv23*	T4*	T5 *	TOTAL	
NR	1	1	3	2	2	NRT = 9	
NP	1	1	3	2	2	NPT = 9	
FR	1,00	1,00	1,00	1,00	1,00	FRT = 5,00	
FRN	20	20	20	20	20	100%	
drainage 2-3 4-4 5-			0% 40%	_ 20%		GE22 Pleurozium so Nephroma arta	icum
seepage			80	7,		Polytrichum o Peltigera aph Peltigera sco	htosa

Tableau 163 Nomenclature des types socio-écologiques de végétation de la région écologique du lac Bienville

1.	BRULIS: BR	
	1.1. Cladonia alpestris 1.2. Vaccinium angustifolium 1.3. Betula glandulosa	: -ca
2.	LANDES ARCTIQUES: LA	
	2.1. Cetraria nivalis 2.1.1. Cladonia alpestris 2.1.1.1. Betula glandulos 2.1.2. Alectoria ochroleuca	: -cn
	2.2. Alectoria ochroleuca	: -ao 8. LA-ao
3.	LANDES A LICHENS: LL	
	3.1. Cladonia alpestris 3.1.1. Betula glandulosa	: -ca
4.	LANDES A ARBUSTES: L	
	4.1. Betula glandulosa 4.1.1. Pleurozium schreberi 4.1.2. Sphagnum robustum	: -bg : -m11. L-bg-m : -sr12. L-bg-sr
5.	PESSIERES A EPINETTE NOIRE: EN	
	5.1. Cladonia alpestris 5.1.1. Cetraria nivalis 5.1.2. Betula glandulosa 5.1.3. Larix laricina 5.1.4. Sphagnum nemoreum	: -ca
	5.2. Pleurozium schreberi 5.2.1. Sphagnum robustum	: -m
	5.3. Sphagnum robustum	: -sr
6.	KRUMMHOLZ: K	
	6.1. Picea mariana 6.1.1. Vaccinium uliginosum	: -en : -vu21. K-en-vu

Tableau 165 Tableau synthétique de niveau 3 des types socio-écologiques de la région écologique du lac Bienville

Type socio-écologique de végétation	ВК-са	BR-va	BR-bg	LA-cn-t	LA-cn-ca-t	LA-cn-ca-bg	LA-cn-ao	LA-ao	LĽ-ca-t	LL-ca-bg	L-bg-m	L-bg-sr	EN-ca-t	EN-ca-cn	EN-ca-bg	EN-ca-me	EN-ca-sn	EN-m-t	EN-m-sr	EN-sr	K-en-vu
Nombre de relevés Numéro	2	2	1	3	7 5	6	2	1 8	4	11 10	3 11	1 12	22 13	2 14	6 15	4 16	1 17	2 18	4 19	1 20	1 21
CARACTERISTIQUES ECOLOGIQUES DOMINANTES																					
Drainage Seepage Z argile, limon et sable tr. fin Force de la pente (%) Forme de la pente Altitude (x100 pi.) Densité du peuplement Hauteur du peuplement Type écologique synthétique	2 0 45 01 X 12 F 5 T2	2 0 42 04 R 14 F 5 T2	2 0 40 08 X 13 F 5 T2	1-3 0 37 01 X 15 F 5	1-3 0 47 02 X 14 F 5 T2	1-2 0 27 04 X 10 F 5	1-2 0 45 02 X 14 F 5 T2	2 0 35 10 X 12 F 5 T2	2 0 41 03 X 10 F 5	2-3 0 36 05 X . 12 F 5	1 36 25 C 15 F	1 27 75 X 14 F	0 39 05 R-X 12 E 4	11 E 4	2-3 0 38 12 X 13 E 4	2-3 0 47 02 X 13 E 4	0 29 00 R 10 E 4	2-3 1 31 29 R 13 D 4 CV3	1 29 07 C 12 D	4-5 1 02 R 13 E 4	0 29 10 C 17 F
1. Alectoria ochroleuca 2. Salix uva-ursi 3. Cetraria nigricans 4. Cetraria islandica 5. Cetraria nivalis 6. Rhacomitrium heterosticum 7. Polytrichum juniperinum 8. Lycopodium sabinaefolium 9. Potentilla tridentata 10. Epilobium angustifolium 11. Cladonia gonecha 12. Stereocaulon paschale 13. Cladonia alpestris 14. Cladonia gracilis 15. Picea mariana(s) 16. Vaccinium angustifolium 17. Betula glandulosa				1 2	2 1 4		20 1 1 2	2 · · · · · · · · · · · · · · · · · · ·			2 2 71										
18. Carex bigelowii 19. Larix laricina(s) 20. Vaccinium cespitosum 21. Deschampsia flexuosa 22. Pleurozium schreberi 23. Sphagnum nemoreum		1			1						1 1 3	· · 7	1		1 1 2	8 1 2	1	1 32		1	3 1 9 8



3.11.2.1 LES LANDES ARCTIQUES (tableaux 164, 165, 166)

GED: Cetraria nivalis (GE5)

Remarque: Les landes arctiques représentent 20 p. 100 de l'échantillonnage total. Alors que dans les régions écologiques précédentes ces landes caractérisaient surtout les stations très exposées et excessivement drainées, dans la région du lac Bienville, où les conditions climatiques sont encore plus contraignantes, la lande arctique colonise d'une façon significative les sols bien drainés et même parfois modérément bien drainés. On distingue trois groupements et deux sous-groupements qui définissent quatre types socio-écologiques de végétation (tableau 166).

Formation

GED

Groupements

GED

Sous-groupements

GED

Landes arctiques: LA
ca

ao

13

1

Sous-groupements

gED

17

Tableau 166 Groupes écologiques diagnostiques des landes arctique.

I. GROUPEMENT typique (LA-cn-t)

GED: aucun

Structure: lande Dépôts: till

Drainage: excessif à modérément bon

Croissance: station improductive

II. GROUPEMENT à Cladonia alpestris (LA-cn-ca)

GED: Cladonia alpestris (GE13)

Remarque: On reconnaît deux sous-groupements:

1. Sous-groupement typique (LA-cn-ca-t)

GED: aucun

Structure: lande

Dépôts: till et affleurements rocheux Drainage: excessif à modérément bon Croissance: stations improductives

2. Sous-groupement à Betula glandulosa (LA-cn-ca-bg)

GED: Betula glandulosa (GE17)

Structure: lande

Dépôts: sable et till

Drainage: bon à excessif

Croissance: stations improductives

III. GROUPEMENT à Alectoria ochroleuca (LA-cn-ao)

GED: Alectoria ochroleuca (GE1)

Structure: lande

Dépôts: till

Drainage: bon à excessif

Croissance: stations improductives

3.11.2.2 LES LANDES A LICHENS (tableaux 164, 165)

GED: Cladonia alpestris (GE13)

Remarque: Quoiqu'on ne puisse écarter une régression dynamique à l'origine d'une telle formation, il faut, semble-t-il attribuer leur existence aux rigoureuses conditions climatiques de cette région écologique appartenant à l'Hémiarctique. Il faut noter que, dans l'ensemble des relevés de cette formation, l'épinette noire est très souvent présente dans la strate arborescente (recouvrement \(\leq 5 \) p. 100) et/ou dans la strate arbustive. La lande à lichens peut donc correspondre à un degré encore plus grand d'ouverture des peuplements lié à un

climat de plus en plus sévère. Cependant, au crédit de l'hypothèse de régression dynamique, il faut probablement dire que l'abondance du bouleau glanduleux (Betula glandulosa) peut être liée à des feux très anciens. Toujours est-il, cependant, que ces landes à lichens semblent aujourd'hui très stables et doivent finalement être considérées comme climaciques. On reconnaît un seul groupement et deux sous-groupements:

I. GROUPEMENT à Cladonia alpestris (LL-ca)

GED: Cladonia alpestris (GE13)

Remarque: On distingue deux sous-groupements:

1. Sous-groupement typique (LL-ca-t)

GED: aucun

Structure: lande

Dépôts: till Drainage: bon

Croissance: stations improductives

2. Sous-groupement à Betula glandulosa (LL-ca-bg)

GED: Betula glandulosa (GE17)

Structure: lande

Dépôts: till et sable

Drainage: bon à modérément bon

Croissance: stations improductives

Remarque: Le bouleau glanduleux couvre en moyenne

40 p. 100 du parterre.

3.11.2.3 LES LANDES A ARBUSTES (tableaux 164, 165)

GED: Betula glandulosa (GE17)

Remarque: Ces landes à arbustes bas, sont à rapprocher des brûlis régénérés en aulnes verts (*Alnus crispa*) que l'on trouve, sur colluvions et tills modérément bien drainés avec seepage, dans presque toutes les régions écologiques précédentes. Ici, le bouleau glanduleux remplace l'aulne vert. Ces bétulaies, de par leur agressivité, empêchent, pour des périodes excessivement longues, toute évolution vers des groupements forestiers colonisant généralement ces stations riches. C'est ainsi que, même si cette formation est consécutive aux incendies, il faut, à toutes fins pratiques, la considérer comme étant stable. On reconnaît un seul groupement et deux sous-groupements.

I. GROUPEMENT à Betula glandulosa (L-bg)

GED: Betula glandulosa (GE17)

Remarque: On distingue deux sous-groupements:

1. Sous-groupement typique (L-bg-t)

GED: aucun

Structure: formation arbustive basse

Dépôts: colluvions

Drainage: bon à modérément bon, avec seepage

Croissance: non applicable

2. Sous-groupement à Sphagnum robustum (L-bg-sr)

GED: Rubus chamaemorus (GE23)

Structure: formation arbustive basse

Dépôts: colluvions

Drainage: imparfait à mauvais, avec seepage

Croissance: non applicable

3.11.2.4 LES PESSIERES A EPINETTE NOIRE (tableaux 164, 165, 167)

GED: Picea mariana (GE15)

Remarque: Les pessières à épinette noire de la région écologique du lac Bienville occupent les stations les moins exposées. Ce sont, tout comme dans la région précédente, des landes boisées très basses. Si, physionomiquement, rien ne les distingue de celles de la région de la rivière Kanaaupscow, la croissance des épinettes, par contre, est plus lente. On reconnaît trois groupements et sept sous-groupements qui définissent huit types socio-écologiques de végétation (tableau 167).

I. GROUPEMENT à Cladonia alpestris (EN-ca)

GED: Cladonia alpestris (GE13)

Remarque: Se divise en cinq sous-groupements:

1. Sous-groupement typique (EN-ca-t)

GED: aucun

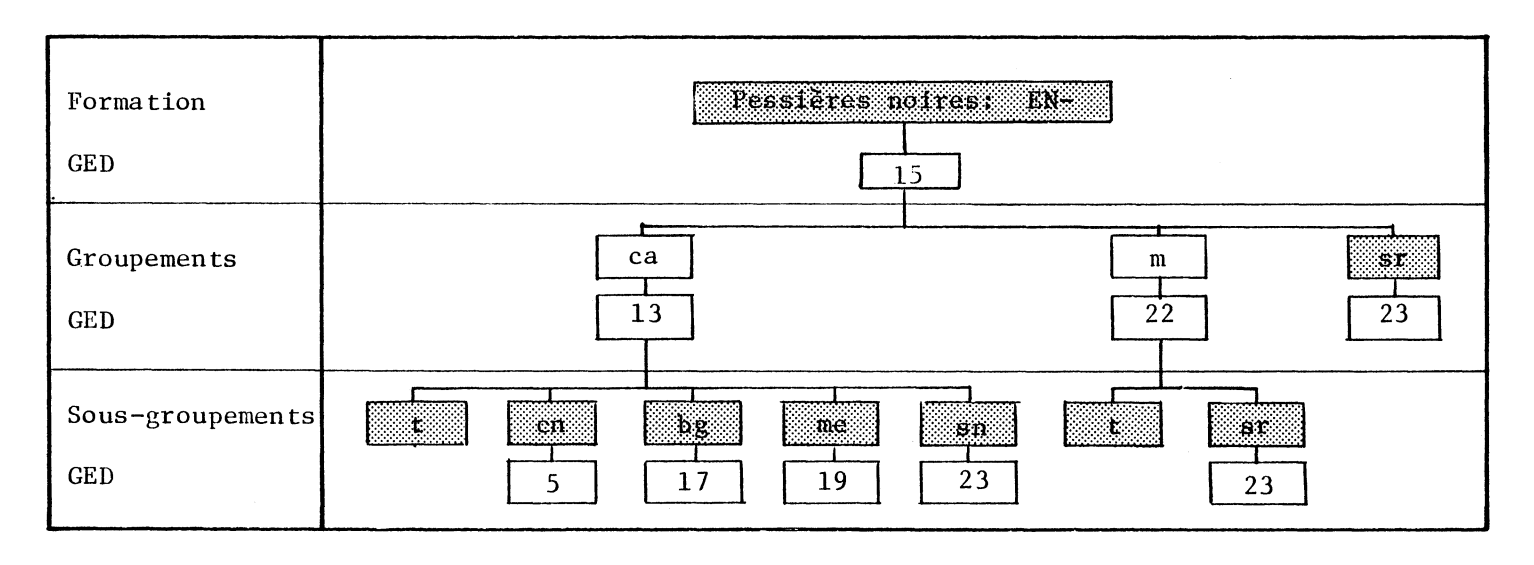
Structure: lande boisée, très basse

Dépôts: till

Drainage: bon à modérément bon (parfois imparfait)

Croissance: lente

Tableau 167 Groupes écologiques diagnostiques des pessières à épinette noire



2. Sous-groupement à Cetraria nivalis (EN-ca-cn)

GED: Cetraria nivalis (GE5)

Structure: lande boisée, très basse Dépôts: till et affleurements rocheux

Drainage: bon à excessif Croissance: non observée

3. Sous-groupement à Betula glandulosa (EN-ca-bg)

GED: Betula glandulosa (GE17)

Structure: lande boisée, très basse

Dépôts: till

Drainage: modérément bon à bon

Croissance: lente

4. Sous-groupement à mélèze (EN-ca-me)

GED: Larix laricina (GE19)

Structure: lande boisée, très basse

Dépôts: till

Drainage: bon à modérément bon

Croissance: lente

Remarque: Le mélèze commence, ici, à apparaître régulièrement pour devenir, plus au nord, de plus en plus fréquent (Ducruc,

1976).

5. Sous-groupement à Sphagnum nemoreum (EN-ca-sn)

GED: Rubus chamaemorus (GE23)

Structure: lande boisée, très basse

Dépôts: alluvions Drainage: imparfait Croissance: lente

II. GROUPEMENT à mousses (EN-m)

GED: Pleurozium schreberi (GE22)

Remarque: Ce groupement occupe toutes les stations riches (seepage). On distingue deux sous-groupements:

1. Sous-groupement typique (EN-m-t)

GED: aucun

Structure: forêt très ouverte, très basse

Dépôts: till et colluvions

Drainage: bon à modérément bon, avec seepage

Croissance: lente

2. Sous-groupement à Sphagnum robustum (EN-m-sr)

GED: Rubus chamaemorus (GE23)

Structure: forêt très ouverte, basse

Dépôts: till

Drainage: imparfait à mauvais, avec seepage

Croissance: modérée

Remarque: Avec le groupement suivant, ce TSEV

est le plus productif de cette région

écologique.

III. GROUPEMENT à Sphagnum robustum (EN-sr)

GED: Rubus chamaemorus (GE23)

Structure: lande boisée, très basse

Dépôts: champ de blocs

Drainage: imparfait à mauvais, avec seepage

Croissance: modérée

3.11.2.5 LES KRUMMHOLZ (tableaux 164, 165)

Remarque: Dans les zones les plus élevées en altitude, sur des stations exposées et dans certaines dépressions, on trouve des formations très rabougries dominées par l'épinette noire. Le contrôle écologique principal de la hauteur de ces krummholz est l'épaisseur de la neige, épaisseur au delà de laquelle les épinettes ne peuvent croître. Des conditions climatiques rigoureuses, comme le vent, le froid et la neige, prévalent durant l'hiver au-dessus du couvert nival et limitent considérablement la croissance en hauteur des épinettes. Ce type de formation est toutefois peu fréquent dans le territoire. On ne distingue qu'un seul groupement.

I. GROUPEMENT à épinette noire (K-en)

GED: Picea mariana (GE15)

Remarque: On reconnaît un seul sous-groupement:

1. Sous-groupement à Vaccinium uliginosum (K-en-vu)

GED: Picea mariana (GE15)

Structure: krummholz

Dépôts: till

Drainage: mauvais

Croissance: stations improductives

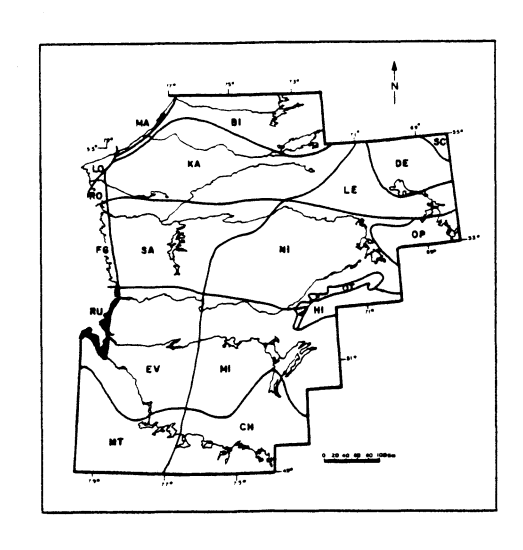
3.11.3 LES CHRONOSEQUENCES

Les chronoséquences végétales de la région écologique du lac Bienville sont présentées au tableau 168. Nous renvoyons le lecteur à la section 3.3 pour ce qui concerne l'approche théorique et pratique de la détermination des chronoséquences.

Tableau 168 Chronoséquences végétales de la région écologique du lac Bienville

TYPES ECOLOGIQUES SYNTHETIQUES	TYPES ECOLOGIQUES	CHRONOSEQUENCES	FEUX REPETES
Tl	TA1, TD1, TH1, TY1, TM1	[LA-cn][LL-ca → EN-ca]	
S1	SG1, SM1, AM1, AF1	[LA-cn][LL-ca \rightarrow EN-ca]	
D1	TP1, SE1, DU1, SA1, RO1	[LA-cn][LL-ca \rightarrow EN-ca]	
A23	MA23, AL2, AL3,	EN-ca "KA"	
T2	TA2, TD2, TH2, TY2, TM2	[(BR-ca/BR-bg) → LL-ca-bg → EN-ca][LA-cn]	
T3	TA3, TD3, TH3, TY3, TM3	[LL-ca-bg + (EN-ca/EN-ca-bg)][LA-cn]	
S23	SG23, SM23, AM23, AF2, AF3	[LL-ca-bg \rightarrow (EN-ca/EN-ca-bg)][LA-cn]	
SA23	SA2, SA3	[LL-ca-bg \rightarrow (EN-ca/EN-ca-bg)][LA-cn]	
TR21	TR21	LA-cn-ca	
TR3	TR3	EN-ca	
TP23	TP23		
SR13	SR13	EN-ca	
RT14	RT14	EN-ca EN-ca	
TR4	TR4	EN-ca	
A4	MA4, AL4,	EN-ca-cc "KA"	
T4	TA4, TM4	EN-ca	
S4	SV4	EN-ca-sn	
SA4	SA4	EN-ca-sn	
A5	MA5, AL5, TC5	EN-m-sr "KA"	
T5	TA5, TM5	(EN-cc/Ken-vu) "KA"	
S5	SV5	EN-cc "KA"	
SA5	SA5	EN-cc "KA"	·
1	TR5	EN-cc "KA"	
TR5 A23*	MA23*, AL2*, AL3*,	EN-m-es "KA"	
T2*	TA2*, TD2*, TM2*	EN-m	
T3	TA3*, TD3*, TM3*	EN-m	LL-ca-bg → EN-ca-bg
S23*	SG23*, SM23*, AM23*	EN-m	in ca bg / in ca bg
SA3*	SA3*	EN-m	
CV23*	CV23*	L-bg-m → EN-m	
TR2*	TR2*, SR2*	EN-m	
ER23*	ER23*	L-bg-m → EN-m	
RO24*	RO24*	LL-ca-bg	
TR34*	TR34*	L-bg-sr	
SR34*	SR34*	L-bg-sr	
A4*	MA4*, AL4*,	EN-m-sr "KA"	
T4*	TA4*, TM4*	L-bg-m → EN-m-sr	
CV4*	CV4*	L-bg-sr	
S4*	AV4*	EN-m-sr	
SA4*	SA4*	EN-m-sr	
A5*	MA5*, AL5*,	EN-sr "KA"	
T5*	TA5*, TM5*	EN-m-sr	
S5*	AV5*	EN-m-sr	
SA5*	SA5*	EN-m-sr	
TP45*	TP45*	EN-sr	
TR5*	TR5*	EN-sr	
CR46*	CR46*	EN-m-sr	
R05*	R05*	· EN-sr	
S6*	AV6*	SA	
AA6*	AA6*	SA	

3.12 LA VEGETATION DE LA REGION ECOLOGIQUE DE LA BAIE DE RUPERT



Les six régions écologiques suivantes, dites régions écologiques marginales à cause de leur localisation en périphérie du territoire, sont petites et faiblement échantillonnées. Conséquemment, il fut impossible d'analyser leur végétation sous l'angle des groupes écologiques. On s'est donc limité à établir des tableaux d'affinité floristique des relevés effectués dans chaque région. Ces tableaux ont permis de définir des types de végétation pour lesquels les

chronoséquences furent extrapolées.

La région écologique de la baie de Rupert appartient au domaine des forêts claires et à la sous-zone biologique du Bas-Subarctique (Ducruc et al., 1976). Cette région s'étend, le long de la côte de la baie James, de l'embouchure de l'Eastmain (52° de latitude N), à la péninsule du Ministikawatin (51° de latitude N). Ne dépassant guère 10 km de largeur elle s'arrête à la région écologique du lac Evans. L'altitude moyenne de cette région est de 25 m et varie de 0 m à 150 m. Le relief général est plat à ondulé. L'ensemble de cette région est dominée par des tourbières reposant sur les dépôts argileux, lesquels affleurent parfois, ici et là. Quelques zones de plages soulevées sont dispersées à travers la région.

C'est une région à fortes influences maritimes: brouillards fréquents et forts vents. La température moyenne annuelle se situe entre 0 et $-2,5^{\circ}$ C; les précipitations totales annuelles sont inférieures à 700 mm, tandis que celles ayant lieu de mai à septembre n'atteignent pas 400 mm; la durée annuelle moyenne de la saison de croissance est de 140 jours (Wilson, 1971).

3.12.1 LES TYPES SOCIO-ECOLOGIQUES DE VEGETATION

La végétation de la région écologique de la baie de Rupert se répartit en six formations qui se divisent en huit groupements, sept sous-groupement et deux formes pour donner onze types socio-écologiques de végétation (tableau 169) dont on présente le tableau floristique (tableau 170). Dans la description de chaque unité on remplace le groupe écologique diagnostique par les espèces principales caractérisant l'unité.

3.12.1.1 LES PEUPLERAIES A PEUPLIER BAUMIER

Espèce principale: Populus balsamifera

Remarque: On reconnaît un seul groupement:

I. GROUPEMENT à Alnus rugosα (PB-alr)

Espèces principales: Alnus rugosa

Equisetum sylvaticum Lonicera involucrata

Mitella nuda Actaea rubra

Structure: forêt claire, haute

Dépôts: argile lacustre

Drainage: imparfait, avec seepage

Croissance: modérée

3.12.1.2 LES PESSIERES A EPINETTE BLANCHE

Espèce principale: Picea glauca

Remarque: C'est la formation climatique qui caractérise cette région écologique. On reconnaît un seul groupement.

I. Espèce principale: Abies balsamea

Remarque: Se divise en trois sous-groupements:

1. Sous-groupement à Ptilium crista-castrensis (EB-sb-pcc)

Espèce principale: Ptilium crista-castrensis

Structure: forêt ouverte, basse

Dépôts: sable

Drainage: bon à modérément bon

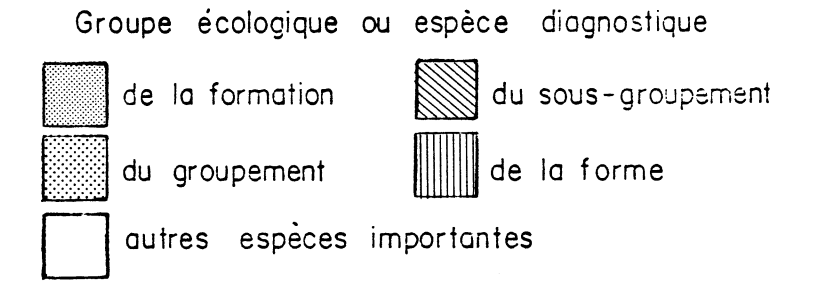
Croissance: non observée

Tableau 169 Nomenclature des types socio-écologiques de végétation de la région écologique de la baie de Rupert

1.		RAIE BOREALE: Inus rugosa	PB	:-alr···			1.	PB-alr
.2.	1 200-2-	RES A EPINETTE	BLANCHE: EB					
	2.		erista-castrensis	:-sb	:-pcc		2.	EB-sb-pcc
	2.	.1.2 Pleurozii 2.1.2.1			: -m	:-t	3.	EB-sb-m-t
		2.1.2.2	Sphagnum warnstorfianum			:-sw	4.	EB-sb-m-sw
3.	SAPINI	ERES: SB			•			
		etula papyrifer .1.1 Hylocomii		:-bb	:-hs		5.	SB-bb-hs
4.		S A PIN GRIS:					6	PC-aa
	4.1 C	ladonia alpestr	ris	:-ca····			0.	rG-ca
5.	5.1 C	RES A EPINETTE ladonia alpestr leurozium schre	ris	:-ca			7.	EN-ca
	5	.2.1 typique .2.2 Abies bai						
	_	hamaedaphne cai		:-cc····	• • • • • •		10.	EN-cc
6.		ALPINES: ALP	3	:-cn			11.	ALP-cn

Tableau 170 Tableau des types socio-écologiques de végétation de la baie de Rupert

TYPE SOCIO-ECOLOGIQUE DE VEGETATION	PB-alr	EB-sb-pcc	EB-sb-m-sw	EB-sb-m-t	SB-bb-hs	PG-ca	EN-ca	EÑ-m-t	EN-m-sb	EN-cc	ALP-cn
NUMERO DU RELEVE	5207	5021	4042	5208	5315	5 308	4632	5316	5307	5309	5306
Type écologique Altitude Force de la pente (%) Forme de la pente Densité du peuplement Hauteur du peuplement % argile, limon, sable tr. fin	AL4* 01 00 P B 2	SG23 00 00 P C 2 06	MA4 00 01 P B 3	MA4* 01 05 P B 1 98	SR3* 01 05 X C 3 57	SM23 01 05 C D 3	SM23 01 05 X E 3 05	SV4 01 01 P B 2 60	TP4* 02 08 C C 3	SV5 01 00 P E 4 08	RO1 05 02 X F 5
Populus balsamifera(s) Populus balsamifera(i)	63 1			1		:					:
Alnus rugosa Equisetum sylvaticum Lonicera involucrata Mitella nuda Actaea rubra	15 3 3 3		1	3 1 1 1			· · ·	• • •		•	
Picea glauca(s) Picea glauca(i)	i i	38	38 _38	38	•	•	•	•	•	•	·
Ptilium crista-castrensis Pleurozium schreberi Equisetum arvense Tomenthy num nitens Sphaynum warnstorfianum Cornus canadensis Abies balsamea(s) Abies balsamea(i) Betula papyrifera(s) Hylocomium splendens Picea mariana(s) Picea mariana(i) Gaultheria hispidula Sphagnum robustum Pinus banksiana(s) Cladonia alpestris Chamaedaphne calyculata Scirpus cespitosus Carex oligosperma Sphagnum nemoreum Sphagnum nemoreum Sphagnum fuscum Alnus crispa Empetrum nigrum Actinogyra muenlenbergii Cetraria nivalis Cetraria islandica Cormicularia divergens		63 3 	3 38 15 15 18 3 3 3 	1 38 1	3 15 	. 15 	. 15 	3 63 3 1 1 15 63 3 	15 15 15 15 1 38 1 	. 15	



2. Sous-groupement à mousses (EB-sb-m)

Espèce principale: Pleurozium schreberi

Remarque: On distingue deux formes:

a. Forme typique (EB-sb-m-t)

Espèce principale: aucune

Structure: forêt claire, très haute

Dépôts: argile marine

Drainage: imparfait, avec seepage

Croissance: très rapide

b. Forme à Sphagnum warnstorfianum (EB-sb-m-sw)

Espèces principales: Sphagnum warnstorfianum

Equisetum arvense Tomenthypnum nitens

Alnus crispa

Structure: forêt claire, basse

Dépôts: argile marine Drainage: imparfait Croissance: lente

3.12.1.3 LES SAPINIERES

Espèce principale: Abies balsamea

Remarque: On reconnaît un seul groupement.

I. GROUPEMENT à bouleau blanc (SB-bb)

Espèce principale: Betula papyrifera

Remarque: On distingue un seul sous-groupement.

1. Sous-groupement à Hylocomium splendens (SB-bb-hs)

Espèce principale: Hylocomium splendens

Structure: forêt claire, basse

Dépôts: sable sur roc

Drainage: modérément bon, avec seepage

Croissance: rapide

3.12.1.4 LES PINEDES A PIN GRIS

Espèce principale: Pinus banksiana

Remarque: Forêt originant de feu intense. On

ne reconnaît qu'un seul groupement.

I. GROUPEMENT à Cladonia alpestris

Espèce principale: Cladonia alpestris

Structure: forêt très ouverte, basse

Dépôts: sable

Drainage: bon à modérément bon

Croissance: modérée

3.12.1.5 LES PESSIERES A EPINETTE NOIRE

Espèce principale: Picea mariana

Remarque: Généralement limitée aux sols im-

parfaitement à mal drainés, la pessière à épinette noire se divise en trois groupements:

I. GROUPEMENT à Cladonia alpestris (EN-ca)

Espèce principale: Cladonia alpestris

Structure: lande boisée, basse

Dépôts: sable

Drainage: bon à modérément bon

Croissance: rapide

Remarque: Peuplement probablement consécutif à des

feux très sévères.

II. GROUPEMENT à mousses (EN-m)

Espèces principales: Pleurozium schreberi

Gaultheria hispidula

Remarque: On distingue deux sous-groupements:

1. Sous-groupement typique (EN-m-t)

Espèce principale: aucune

Structure: forêt claire, haute

Dépôts: alluvions
Drainage: imparfait

Croissance: rapide

2. Sous-groupement à sapin

Espèce principale: Abies balsamea (EN-m-sb)

Structure: forêt ouverte, basse

Dépôts: champs de blocs

Drainage: imparfait, avec seepage

Croissance: modérée

II. GROUPEMENT à Chamaedaphne calyculata (EN-cc)

Espèces principales: Chamaedaphne calyculata

Scirpus cespitosus Carex oligosperma Sphagnum fuscum

Structure: lande boisée, très basse

Dépôts: alluvions Drainage: mauvais Croissance: lente

3.12.1.6 LES LANDES ALPINES

Remarque: Le vocable de landes alpines peut paraître exagéré. En fait, ces landes sont liées aux stations exposées aux forts vents d'ouest entraînant des conditions "alpines", similaires à celles décrites précédemment pour les régions écologiques du Haut-Subarctique. Un groupement est décrit.

I. GROUPEMENT à Cetraria nivalis (ALP-cn)

Espèces principales: Cetraria nivalis

Empetrum nigrum

Actinogyra muenlenbergii

Cetraria islandica

Cormicularia divergens

Structure: lande

Dépôts: affleurements rocheux

Drainage: excessif

Croissance: station improductive

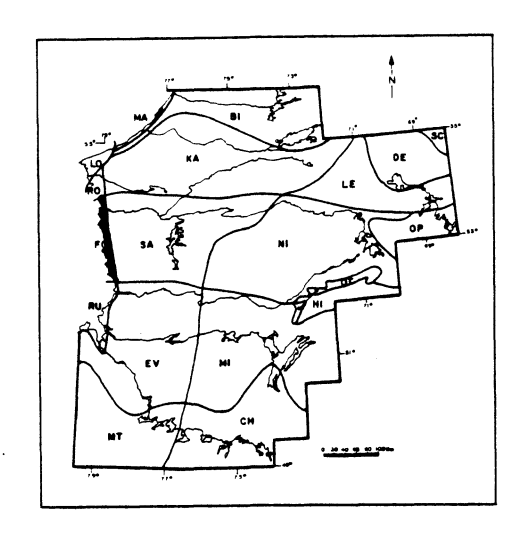
3.12.2 LES CHRONOSEQUENCES

Les chronoséquences végétales de la région écologique de la baie de Rupert sont présentées au tableau 171. Nous renvoyons le lecteur à la section 3.3 pour ce qui concerne l'approche théorique et pratique de la détermination des chronoséquences. Il faut noter, que pour toutes les régions écologiques à venir et y compris celle-ci, les extrapolations sont très nombreuses, étant donné le faible échantillonnage.

Tableau 171 Chronoséquences végétales de la région écologique de la baie de Rupert

TYPES ECOLOGIQUES SYNTHETIQUES	TYPES ECOLOGIQUES	CHRONOSEQUENCES
T1	TA1, TD1, TH1, TY1, TM1	PG-ca → EN-ca "EV"
S1	SG1, SM1, AM1, AF1	PG-ca → EN-ca "EV"
D1	TP1, SE1, DU1, SA1, RO1	[EN-ca][ALP-cn-alc]
A23	MA23, AL2, AL3, TC2, TC3	EB-sb-m
Т2	TA2, TD2, TH2, TY2, TM2	EB-sb-m
т3	TA3, TD3, TH3, TY3, TM3	EB-sb-m
S23	SG23, SM23, AM23, AF2, AF3	EB-sb-pcc
SA23	SA2, SA3	EB-sb-pcc
TR21	TR21	EN-ca
TR3	TR3	EB-sb-m
TP23	TP23	EB-sb-m
SR13	SR13	EN-ca "EV"
RT14	RT14	EN-ca "EV"
TR4	TR4	EN-m
A4	MA4, AL4, TC4	EB-sb-m-sw
Т4	TA4, TM4	EN-m
S4	SV4	EN-m
SA4	SA4	EN-m
A5	MA5, AL5, TC5	EN-sn "EV"
T5	TA5, TM5	EN-cc
S5	sv5	EN-cc
SA5	SA5	EN-cc
TR5	TR5	EN-cc
A23*	MA23*, AL2*, AL3*, TC2*, TC3*	EB-sb-m
T2*	TA2*, TD2*, TM2*	EB-sb-m
T3*	TA3*, TD3*, TM3*	EB-sb-m
S23*	SG23*, SM23*, AM23*	EB-sb-m
SA3*	SA3*	EB-sb-m
CV23*	CV23*	non-applicable
TR2*	TR2*, SR2*	SB-bb-hs
ER23*	ER23*	non-applicable
RO24*	RO24*	SB-bb-hs
TR34*	TR34*	SB-bb-hs
SR34*	SR34*	SB-bb-hs
A4 *	MA4*, AL4*, TC4*	(EB-sb-m/Pb-alr)
T4*	TA4*, TM4*	EN-m-sb
CV4*	CV4*	non-applicable
S4*	AV4*	EN-m-sb
SA4*	SA4*	EN-m-sb
A5*	MA5*, AL5*, TC5*	EN-alr "EV"
T5*	TA5*, TM5*	<u>EN-sn</u> "EV" <u>EN-sn</u> "EV"
S5*	AV5*	EN-sn "EV"
SA5*	SA5*	
TP45*	TP45*	EN-m-sb <u>EN-sn</u> "EV"
TR5*	TR5*	
CR46*	CR46* R05*	non-applicable EN-sn "EV"
R05*	AV6*	ALR "EV"
AA6*	AA6*	ALR "EV"
AAU	·····	

3.13 LA VEGETATION DE LA REGION ECOLOGIQUE DE FORT-GEORGE



La région écologique de Fort-George appartient au domaine des forêts très ouvertes et à la sous-zone biologique du Moyen-Subarctique (Ducruc et al., 1976). C'est une étroite bande côtière coincée entre les régions écologiques de la baie de Rupert au sud et de la rivière Roggan au nord (54° de latitude N). L'altitude moyenne de cette région est de 25 m et varie entre 0 m et 100 m. Le relief régional est moutonné. Les plages soulevées, s'appuyant sur des affleurements,

sont les caractéristiques géomorphologiques essentielles de cette région écologique.

Le climat maritime de cette région est prononcé. La température moyenne annuelle se situe près de -2,5°C; la moyenne annuelle des précipitations totales est d'environ 650 mm, dont un peu moins de 400 mm tombent de mai à septembre; la durée annuelle moyenne de la saison de croissance est légèrement supérieure à 120 jours (Wilson, 1971).

3.13.1 LES TYPES SOCIO-ECOLOGIQUES DE VEGETATION

Outre un brûlis, la végétation de la région écologique de Fort-George se répartit en deux formations lesquelles se divisent en quatre groupements et cinq sous-groupements pour donner huit types socio-écologiques de végétation (tableau 172) dont on présente le tableau floristique (tableau 173).

3.13.1.1 LES PESSIERES A EPINETTE BLANCHE

Espèce principale: Picea glauca

Remarque: On note la forte abondance de

Empetum nigrum dans cette formation (tableau 173). Deux groupements sont reconnus.

I. GROUPEMENT à Cladonia alpestris (EB-ca)

Espèce principale: Cladonia alpestris

Structure: lande boisée, basse

Dépôts: sable

Drainage: excessif et bon

Croissance: modérée

Remarque: La région écologique de Fort-George se

distingue de celle de la baie de Rupert par une plus grande ouverture

des peuplements ainsi que par l'abondance de lichens.

Tableau 172 Nomenclature des types socio-écologiques de végétation de la région écologique de Fort-George

1.	BRUL	IS: BR			
	1.1	Cladonia alpestris	:-ca	1.	BR-ca
		•			
2.	PESS	IERES A EPINETTE BLANCHE: EB			
	2.1	Cladonia alpestris	:-ca	2.	EB-ca
	2.2	Pleurozium schreberi	:-m		
		2.2.1 typique	:-t	3.	EB-m-t
		2.2.2 Calamagrostis canadensis	:-cca	4.	EB-m-cca
3.	PESS	IERES A EPINETTE NOIRE: EN			
	3.1	Cladonia alpestris	:-ca	5.	EN-ca
	3.2	Pleurozium schreberi	:-m		
		3.2.1 typique	:-t	6.	EN-m-t
		3.2.2 Salix planifolia	:-spl	7.	EN-m-spl
		3.2.3 Betula glandulosa	:-bg	8.	EN-m-bg

II. GROUPEMENT à mousses (EB-m)

Espèces principales: Pleurozium schreberi

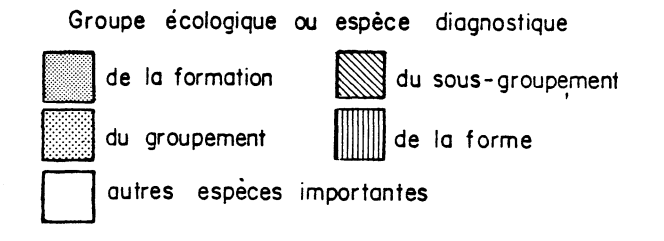
Ledum groenlandicum

Betula glandulosa

Remarque: Colonise généralement les sols imparfaitement drainés. Ce groupement se distingue de celui de la baie de Rupert par

Tableau 173 Tableau des types socio-écologiques de végétation de la région écologique de Fort-George

TYPE SOCIO-ECOLOGIQUE DE VEGETATION	EB-ca	EB-ca	ЕВ-ш-сса	EB-m-t	EB-m-t	EN-ca	EN-ca	EN-ca	EN-ca	ЕМ-са	EN-ca	EN-m-t	EN-m-t	EN-m-spl	EN-m-1g	ВК-са
NUMERO DU RELEVE	4634	5590	5589	3010	5587	3308	3101	3103	3301	4635	3202	3005	3322	3016	5588	3324
Type écologique Altitude (x100 pi.) Force de la pente (%) Forme de la pente Densité du peuplement Hauteur du peuplement % argile, limon, sable tr. fin	SM1 01 00 P E 3	TY2 01 05 X E 4 48	SR3* 00 05 C E 3 23	TA4 01 00 C C 3 18	TA4 00 02 C D 3 06	DU1 01 00 X F 4 04	AMI 00 00 P E 4 01	AF2 01 00 X D 4 08	TD2 02 07 X E 4 34	SG23 02 05 X D 3	AM23 01 00 P D 4 06	TA4 01 05 X F 5	SV4 01 02 P C 3 27	MA5 01 01 C D 4	RO5* 00 02 P E 4	SG1 01 00 X F 5 04
Picea mariana(s) Picea mariana(i)	3 3		3 3	:	•	15 3	15 3	38 3	15 15	15 3	38 15	38 3	63 15	15 3	15 3	15 15
Picea glauca(s) Picea glauca(i)	15 1	15 3	15	15 3	38 3	:	:	1	:	:	:		:	:	l ·	
Empetrum nigrum	3	15	15	15	15	3	1	1	3	1	3	1	1	3	3	
Cladonia alpestris Cladonia rangiferina Cladonia mitis	83	63 3 3	1 1 1	15 1 1	3	63 1 3	3 3 38	38 35	63 1 3	#8 3 1	88 15 3	3 3	15 3 3	3 3 15	1	38 38 15
Pleurozium schreberi Ledum groenlandicum Betula glandulosa	15 15 1	15 1 3	63 38 15	63 38 15	88: 15 15	1 3	3 3 15	15 15	3 3 3	15 3 1	15 38 15	83 15	63 3 1	38 38 •	88 63 38	1 3 •
Calamagrostis canadensis			15	•					•			٠	•	3	1	
Vaccinium cespitosum Juniperus communis Cornus canadensis	1 1	3	1	15 15 15	3 1	3	1 . 3	1 1	1 15 1	1	1 . 3	3	3 3	1 1	•	1 3 3
Alnus crispa			3	•	15			•		•					3	
Pinus banksiana(s) Vaccinium angustifolium	3		•	•	:	•	:	i	15	15 15	3	3	3	15	•	3
Salix planifolia Equisetum arvense	:		3	3	:		1	•	•	•		:	•	15 15	1	
Sphagnum robustum Sphagnum nemoreum	:	•	3 3	:	•	:	:	:	:	:	•	•		:	3 1	



la forte abondance de Ledum groenlandicum et de Betula glandulosa et par une plus grande ouverture de la forêt. On distingue deux sous-groupements.

1. Sous-groupement typique (EB-m-t)

Espèce principale: aucune

Structure: forêt ouverte, basse

Dépôts: till

Drainage: imparfait Croissance: rapide

2. Sous-groupement à Calamagrostis canadensis (EB-m-cca)

Espèce principale: Calamagrostis canadensis

Structure: lande boisée, basse

Dépôts: sable

Drainage: modérément bon, avec seepage

Croissance: modérée

3.13.1.2 LES PESSIERES A EPINETTE NOIRE

Espèce principale: Picea mariana

Remarque: On distingue deux groupements: un sur

les sols bien à modérément bien drainés et l'autre sur les sols imparfaitement à mal drainés.

I. GROUPEMENT à Cladonia alpestris (EN-ca)

Espèces principales: Cladonia alpestris

Cladonia rangiferina

Cladonia mitis

Structure: lande boisée à forêt très ouverte, très basse

Dépôts: sable

Drainage: excessif à bon

Croissance: lente

II. GROUPEMENT à mousses (EN-m)

Espèce principale: Pleurozium schreberi

Remarque: Colonise les sols imparfaitement à mal drai-

nés. On distingue trois sous-groupements.

1. Sous-groupement typique (EN-m-t)

Espèce principale: aucune

Structure: forêt ouverte, basse

Dépôts: till et alluvions

Drainage: imparfait Croissance: modérée

2. Sous-groupement à Salix planifolia (EN-m-sp1)

Espèces principales: Salix planifolia

Equisetum arvense

Structure: forêt très ouverte, très basse

Dépôts: argile marine

Drainage: mauvais Croissance: modérée

3. Sous-groupement à Betula glandulosa (EN-m-bg)

Espèce principale: *Betula glandulosa* Structure: lande boisée, très basse

Dépôts: affleurements rocheux Drainage: mauvais, avec seepage

Croissance: très lente

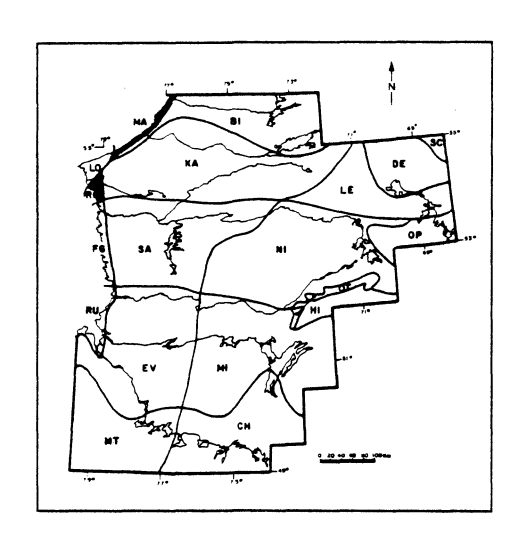
3.13.2 LES CHRONOSEQUENCES

Les chronoséquences végétales de la région écologique de Fort-George sont présentées au tableau 174. Nous renvoyons le lecteur à la section 3.3 pour ce qui concerne l'approche théorique et pratique de la détermination des chronoséquences.

Tableau 174 Chronoséquences végétales de la région écologique de Fort-George

TYPES ECOLOGIQUES SYNTHETIQUES	TYPES ECOLOGIQUES	CHRONOSEQUENCES
T1	TA1, TD1, TH1, TY1, TM1	(EB-ca/EN-ca)
S1	SG1, SM1, AM1, AF1	(EB-ca/EN-ca)
D1	TP1, SE1, DU1, SAJ. RO1	(EB-ca/EN-ca)
A23	MA23, AL2, AL3,	EB-sb-m "RU"
T2	TA2, TD2, TH2, TY2, TM2	(EB-ca/EN-ca)
T3	TA3, TD3, TH3, TY3, TM3	(EB-ca/EN-ca)
S23	SG23, SM23, AM23, AF2, AF3	(EN-ca/EB-ca)
SA23	SA2, SA3	(EN-ca/EB-ca)
TR21	TR21	EN-ca
TR3	TR3	EN-ca
TP23	TP23	EN-ca
SR13	SR13	EN-ca
RT14	RT14	EN-ca
TR4	TR4	EB-m
A4	MA4, AL4,	EB-sb-m-sw "RU"
т4	TA4, TM4	EB-m
S4	sv4	(EN-m/EB-m)
SA4	SA4	(EN-m/EB-m)
A5	MA5, AL5,	EN-m-spl
T5	TA5, TM5	EN-cc "RU"
S5	sv5	EN-cc "RU"
SA5	SA5	EN-cc "RU"
TR5	TR5	EN-cc "RU"
A23*	MA23*, AL2*, AL3*,	EB-sb-m "RU"
T2*	TA2*, TD2*, TM2*	EB-sb-m "RU"
T3*	TA3*, TD3*, TM3*	EB-sb-m "RU"
S23*	SG23*, SM23*, AM23*	EB-sb-m "RU"
SA3*	SA3*	EB-sb-m "RU"
CV23*	CV23*	non-applicable
TR2*	TR2*, SR2*	SB-bb-hs "RU"
ER23*	ER23*	non-applicable
RO24*	RO24*	EN-m-lg-sn "SA"
TR34*	TR34*	EN-m-lg-sn "SA"
SR34*	SR34*	EN-m-lg-sn "SA"
A4*	MA4*, AL4*,	(EB-sb-m/Pb-alr) "RU"
T4*	TA4*, TM4*	EN-m-sb "RU"
CV4*	CV4*	non-applicable
S4*	AV4*	EN-m-sb "RU"
SA4*	SA4*	EN-m-sb "RU"
A5*	MA5*, AL5*,	EN-alr "RU"
T5*	TA5*, TM5*	EN-sn "RU"
S5*	AV5*	EN-sn "RU"
SA5*	SA5*	EN-sn "RU"
TP45*	TP45*	EN-m-sb "RU"
TR5*	TR5*	EN-sn "RU"
CR46*	CR46*	non-applicable
RO5*	RO5*	EN-m-1g
S6*	AV6*	ALR "SA"
AA6*	AA6*	ALR "SA"
L		

3.14 LA VEGETATION DES REGIONS ECOLOGIQUES DES ILES DE MANITOUNOUC ET DE LA RIVIERE ROGGAN



Etant donné le sous-échantillonnage (trois stations écologiques de référence) de la région écologique de la rivière Roggan, nous avons intégré cette région à celle des îles de Manitounouc pour les besoins de l'analyse floristique. La région écologique de la rivière Roggan appartient au domaine des landes boisées et à la sous-zone du Haut-subarctique tandis que celle des îles de Manitounouc est classée dans le domaine des landes à lichens et dans la zone biologique de l'Hémiarctique. La

région de la rivière Roggan est située au nord de celle de Fort-George, derrière (à l'est) la pointe Louis-XIV et au sud des îles de Manitounouc. Cette dernière région est une étroite bande côtière (moins de 5 km de largeur) qui se poursuit au delà de la limite nord du territoire étudié (56° de latitude N). L'altitude moyenne de ces deux régions écologiques est de 50 m et varie de 0 à 150 m. Le relief accidenté de la région des îles de Manitounouc est conféré par les cuestas protérozoïques bordant la baie d'Hudson. Le front de ces cuestas est à l'est, le revers plongeant dans la mer d'Hudson. La surface rocheuse est généralement dénudée. La région écologique de la rivière Roggan est dominée essentiellement par un grand ensemble drumlinoïde qui lui confère un relief ondulé. En bordure de la mer on retrouve des plages soulevées.

Le climat de ces deux régions est évidemment fortement influencé par la mer d'Hudson. La température moyenne annuelle se situe près de -4,0°C; la moyenne annuelle des précipitations totales est d'environ 600 mm dont plus de 350 mm sont répartis de mai à septembre; la durée annuelle moyenne de la saison de croissance est d'environ 110 jours (Wilson, 1971).

3.14.1 LES TYPES SOCIO-ECOLOGIQUES DE VEGETATION

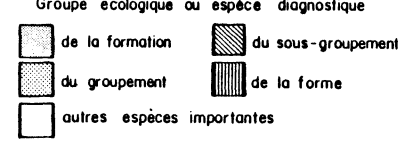
La végétation des régions écologiques de la rivière Roggan et des îles de Manitounouc se répartit en six formations qui se divisent en dix groupements et quatre sous-groupements pour donner douze types socio-écologiques de végétation (tableau 175) dont on présente le tableau floristique (tableau 176). On remarque que dans ces régions deux "étages" de végétation cohabitent. Sur toutes les stations exposées dominent les landes, tandis que les stations protégées abritent les formations arborées.

Tableau 175 Nomenclature des types socio-écologiques de végétation des régions écologiques des îles de Manitounouc et de la rivière Roggan

1.	PESSIERES A EPINETTE BLANCHE: EF	3
	1.1 Cladonia alpestris	:-ca 1. EB-ca
	1.2 Hylocomium splendens	:-hs 2. EB-hs
	1.3 Pleurozium schreberi	:-m 3. EB-m
2.	PESSIERES A EPINETTE NOIRE: EN	
	2.1 Cladonia alpestris	:-ca
	2.1.1 typique	:-t 4. EN-ca-t
	2.1.2 Sphagnum nemoreum	:-sn 5. EN-ca-sn
3.	LANDES ARCTIQUES: LA	
	3.1 Salix uva-ursi	:-su 6. LA-su
	3.2 Dryas integrifolia	:-di 7. LA-di
	3.3 Cetraria nivalis	:-cn 8. LA-cn
4.	LANDES A LICHENS: LL	
	4.1 Cladonia alpestris	:-ca 9. LL-ca-t
	4.1.1 Betula glandulosa	:-bg 10. LL-ca-bg
5.	LANDES A MOUSSES: LM	
	5.1 Carex bigelowii	:-cbi 11. LM-cbi
6	LANDES A ARBUSTES: L	
"	6.1 Betula glandulosa	tuba 12 I ba
	o.i becava granuarosa	:-bg 12. L-bg

Tableau 176 Tableau des types socio-écologiques de végétation des régions écologiques des îles de Manitounouc et de la rivière Roggan

TYPE SOCIO-ECOLOGÍQUE DE VECETATION NOMBRE DU BELEVE	5480	5173	5 5 5792	5560	5793	5594	5188	5895	5481	5494	후 의 5496	5696	5585	看 图 5586	5460	5591	₽ 13 5584	₽ ∰ 5582	育 日 5592	5796	5798	5799	5797	5479	3 5461	5583	5791	₹ 1 5896	5909	5581	5910	5555	5381	5495	Š
Type écologique Mégion écologique Lititude (xiOO pi.) Force de la pente (I) Forme de la pente Densité du peuplement dauteur du peuplement I argile, limon, sable tr. fin	DU1 MA 04 03 X E 3 02	TY2 BO 01 05 X P 5	SG2 3 MA 03 10 P B 4 21		SG23 MA 01 00 P E 4		DU2 RO 02 50 X E 4	SM23 MA 01 02 P D 4		SG2* MA 01 08 X E 3			SR3* MA 01 05 P D 3		SV4* MA 02 01 P D 3	MA5 MA 01 00 P D 4 70	SG2* MA 01 15	SR3* MA 01 05 P E 4	AV4* MA 01 15 P D 3 04	TA2 MA 02 01 X E 3 42	SG23 HA 03 05 X E 4 09	TY3 MA 03 01 X E	TA4 MA 02 10 X E 3	RO1 MA 04 05 X	RO1 MA 05 05 05 X P 5	ROU1 MA 01 10 P F 5		SG23 MA 01 03 P F 5	SM23 MA 02 00 P F 5	DU1 MA 00 20 C F 5	SM1 MA 02 00 P F 5	TA1 RO 01 02 P F 5	DU2 MA 01 01 P F 5 06	TP23 MA 03 04 X F 5	SG2 MA 00 01 P F 5
Picea glauca(s) Picea glauca(i)		13	¥.	Ľ	Ш	ľ	33	ä	ť	11	;	13	ř	<u>"</u>	15	38 _4	<u>"</u> _	15 3	30	:	:	:	:	:	i	i	i	i	:	i	3	3 1	3 1	3	ż
Cladonia alpestris Cladonia mitis	1	*	*	Ħ	1		3	i	:	15 3	3	:	:	:	3	15 3	15 1	15 3	3	3	63 15	ji Li		<u>.</u>	15 15	1	النا	j	15 15	3	3	;; ;;	ü	ä	3 15
Pleurozium schreberi Hylocomium splendens	1	3	3	:	15	38	15	3 64	15 63	15 34	38 38	1	1	3	648 3	63 1	15 15	63 3	y	15	3	15	15)	:	:	:		1	:	54	3	3	3 1		3
Betula glandulosa Alnus oriepa Viburnum sdule Vacorium vitte-idasa Vacorium uliqinosum Saliz oordifolia Juniperus communis Shepherdia canadensis Plosa martana(s) Saliz uva-ursi Ledum daoumbens Saliz vestita Vacorium oxyococos Bmpetrum nigrum Linnaas boraalis Cornus canadensis Petasites palmatus Trientalis borealis Konesse uniflora Coptis groenlandica Calamagnostic canadensis Equisettum sylvatioum Revoolenaan	3	3 3 3 	63	3	38	15	1	3 15	3 1 			15 15 15 	1 38 15 3	1 15 3 3	15	38	1	3	3	1	3 3 3 3 	38	1	1	1	i i i	3				3	34	3 3		1 1
Solidago macrophylla Carex bigelowii Arctostaphylos alpina	:	:	i	:	:	:	i	3	i	i	:	1	3	•	:	:	i	3	1		:	3	3	3	3	; 1	; 1	j 15	İ5	38	3	<u>.</u>	3	3 3	屰
Cares vaginata Kieroohloe alpina Cares esirpoidea Lagopadism annotinum Pedicularie labradorica Diapeneta lapporica Drigeneta lapporica Drigeneta lapporica Surifraga oppositifotia Stiene acaultie Astragalue alpinue Dicramen fuecescene Polytrichum pitiferum Sphagnum nemoreum Rhacomitrium lanuginoum Cladonia gracitie Cladonia pracitie Cladonia cornuta Cladonia cornuta Cladonia cornuta Cladonia ornuta Cladonia ornuta Cladonia patione Peltigera aphthosa Cetraria nivolis Cetraria nivolis Cladonia comurorea Alestoria ochroleuca Cladonia chaurorea Cladonia bellidiflora Cornelularia diveryene Cetraria fisiocam Cetraria fisiocam Cetraria divicus	3 	1 1 1 1 1 1 1	1 1 1 1 1 1 1 1 1 1 1 1 1 1 1 1 1 1 1 1	3 3 			3 	1	3 3 3 3	3	3 3 3	15 · · · · · · · · · · · · · · · · · · ·			3			3	1 1			15 1 3 1		3 1			1	3 3		311111111111111111111111111111111111111	3 		3	3 1	



3.14.1.1 LES PESSIERES A EPINETTE BLANCHE

Espèce principale: Picea glauca

Remarque: On distingue trois groupements.

I. GROUPEMENT à Cladonia alpestris (EB-ca)

Espèces principales: Cladonia alpestris

Cladonia mitis

Cladonia rangiferina

Structure: lande boisée, très basse à basse

Dépôts: sable

Drainage: bon à modérément bon

Croissance: lente

Remarque: C'est le groupement qui colonise les stations les plus sèches. Betula glandulosa peut parfois occuper jusqu'à 75 p. 100 du parterre.

II. GROUPEMENT à Hylocomium splendens (EB-hs)

Espèce principale: Hylocomium splendens

Structure: forêt très ouverte, basse

Dépôts: sable

Drainage: bon à modérément bon, avec seepage

Croissance: modérée

Remarque: C'est le groupement le plus "productif" de cette région écologique. Alnus crispa et Empetrum nigrum sont fréquemment abondants.

III. GROUPEMENT à mousses (EB-m)

Espèce principale: Pleurozium schreberi

Structure: forêt très ouverte, basse

Dépôts: sable

Drainage: modérément bon à imparfait, avec seepage

Croissance: lente

3.14.1.2 LES PESSIERES A EPINETTE NOIRE

Espèce principale: Picea mariana

Remarque: Formation peu fréquente, dont on

ne reconnaît qu'un seul groupement.

I. GROUPEMENT à Cladonia alpestris (EN-ca)

Espèces principales: Cladonia alpestris

Cladonia mitis

Remarque: On distingue deux sous-groupements:

1. Sous-groupement typique (EN-ca-t)

Espèce principale: aucune

Structure: lande boisée, basse

Dépôts: till et sable

Drainage: bon à modérément bon

Croissance: lente

2. Sous-groupement à Sphagnum nemoreum (EN-ca-sn)

Espèce principale: Sphagnum nemoreum

Structure: lande boisée, basse

Dépôts: till et sable

Drainage: modérément bon à imparfait

Croissance: lente

3.14.1.3 LES LANDES ARCTIQUES

Remarque: Ces landes arctiques sont installées principalement sur le revers exposé aux vents marins des cuestas qui forment les Îles de Manitounouc. Un trop faible échantillonnage ne nous a pas permis de cerner clairement l'écologie de ces formations arctiques. Nous distinguons principalement un groupement sur roc et deux groupements sur sable. Il faut noter que pour alléger la présentation, la liste des espèces présentes sur ces landes est incomplète. Toutefois, nous tenons dans nos fichiers une liste complète des espèces relevées.

I. GROUPEMENT à Salix uva-ursi

Espèces principales: Salix uva-ursi

Carex bigelowii
Ledum decumbens

Rhacomitrium lanuginosum

Cetraria nivalis
Cetraria islandica

Structure: lande

Dépôts: affleurements rocheux cristallins ou basalti-

ques et schistes

Drainage: excessif

Croissance: stations improductives

II. GROUPEMENT à Dryas integrifolia

Espèces principales: Dryas integrifolia

Arctostaphyllos alpina

Structure: lande Dépôts: sable

Drainage: bon à modérément bon Croissance: stations improductives

III. GROUPEMENT à Cetraria nivalis

Espèces principales: Cetraria nivalis

Carex bigelowii
Cetraria nigricans

Structure: lande Dépôts: sable

Drainage: bon à modérément bon

Croissance: stations improductives

3.14.1.4 LES LANDES A LICHENS

Remarque: Colonisent des stations protégées mais généralement très sèches. L'épinette blanche est toujours présente mais couvre moins de 5 p. 100 du parterre. On distingue un groupement.

I. GROUPEMENT à Cladonia alpestris (LL-ca)

Espèces principales: Cladonia alpestris

Cladonia mitis

Picea glauca

Remarque: Se divise en deux sous-groupements:

1. Sous-groupement typique (LL-ca-t)

Espèce principale: aucune

Structure: lande

Dépôts: champ de blocs

Drainage: bon à modérément bon

Croissance: non applicable

2. Sous-groupement à Betula glandulosa (LL-ca-bg)

Espèce principale: Betula glandulosa

Structure: lande

Dépôts: sable et till

Drainage: excessif à bon Croissance: non applicable

3.14.1.5 LES LANDES A MOUSSES

Espèce principale: Pleurozium schreberi

Remarque: On reconnaît un seul groupement.

I. GROUPEMENT à Carex bigelowii (LM-cbi)

Espèce principale: Carex bigelowii

Structure: lande

Dépôts: sable éolien

Drainage: excessif

Croissance: stations improductives

3.14.1.6 LES LANDES A ARBUSTES

Remarque: On distingue un seul groupement.

I. GROUPEMENT à Betula glandulosa (L-bg)

Espèces principales: Betula glandulosa

Cladonia mitis

Empetrum nigrum

Cladonia rangiferina

Structure: lande

Dépôts: sable

Drainage: bon à modérément bon

Croissance: non applicable

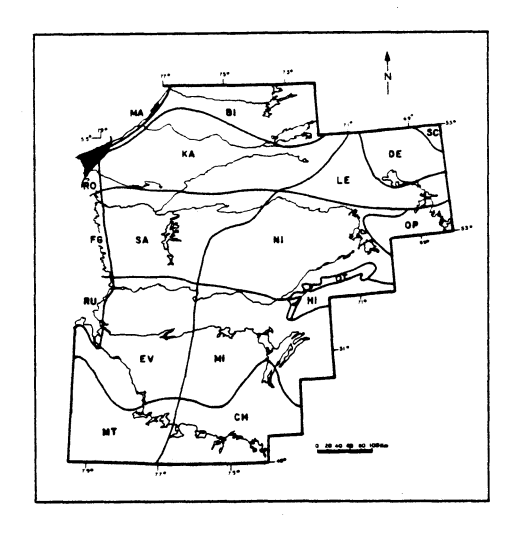
3.14.2 LES CHRONOSEQUENCES

Les chronoséquences végétales des régions écologiques de la rivière Roggan et des îles de Manitounouc sont présentées au tableau 177. Nous renvoyons le lecteur à la section 3.3 pour ce qui concerne l'approche théorique et pratique de la détermination des chronoséquences.

Tableau 177 Chronoséquences végétales des régions écologiques des îles de Manitounouc et de la rivière Roggan

TYPES ECOLOGIQUES SYNTHETIQUES TA1, TD1, TH1, TY1, TM1 LL-ca-bg S1 SG1, SM1, AM1, AF1 LL-ca-bg D1 TP1, SE1, DU1, SA1, RO1 A23 MA23, AL2, AL3, T2 TA2, TD2, TH2, TY2, TM2 TA3, TD3, TH3, TY3, TM3 (EB-m/EN-ca)	ļ
\$1 SG1, SM1, AM1, AF1 LL-ca-bg D1 TP1, SE1, DU1, SA1, RO1 [LA-su][EB-ca] A23 MA23, AL2, AL3, EB-ca T2 TA2, TD2, TH2, TY2, TM2 (EB-ca/EN-ca)	!
\$1 \$G1, \$M1, \$M1, \$AF1 \$LL-ca-bg \$D1 \$TP1, \$E1, \$DU1, \$A1, \$R01 \$[LA-su][EB-ca] \$A23 \$MA23, \$AL2, \$AL3, \$\frac{EB-ca}{(EB-ca/EN-ca)}\$ \$T2 \$TA2, \$TD2, \$TH2, \$TY2, \$TM2 \$(EB-ca/EN-ca)	!
D1 TP1, SE1, DU1, SA1, RO1 [LA-su][EB-ca] A23 MA23, AL2, AL3, EB-ca T2 TA2, TD2, TH2, TY2, TM2 (EB-ca/EN-ca)	!
A23 MA23, AL2, AL3, <u>EB-ca</u> T2 TA2, TD2, TH2, TY2, TM2 (EB-ca/EN-ca)	!
T2 TA2, TD2, TH2, TY2, TM2 (EB-ca/EN-ca)	
,,, (LD CA/LIN-CA/	
T3 TA3, TD3, TH3, TY3, TM3 (EB-m/EN-ca) S23 SG23, SM23, AM23, AF2, AF3 [EB-ca][LA-cn]	
SA23 SA2, SA3 [EB-ca][LA-cn]	
EB-Cajina-Cii	
<u> </u>	
mn22	
<u> </u>	
DE CA	
m/	
<u> </u>	
1	
in-ca-sii	
LB-m/ LB-ms /	
me	
11.5, 11.5 <u>11.5 11.5 11.5 11.5 11.5 11.5 11.</u>	
1 1 1 1 1 1 1 1 1 1 1 1 1 1 1 1 1 1 1	
<u>EB-ur</u>	
l	
1 1 1 1 1 1 1 1 1 1 1 1 1 1 1 1 1 1 1	
(111-113/1111-111)	
- (10 110) 110 110	
ion applicable	
TRE , SKE EB-III	
non-applicable	
70 24 t	
TR34* TR34* EB-hs (FB-hs (FB-m)	
(EB-115/EB-111)	
7/4	
non applicable	
C4/4	
<u> </u>	
ms+ ====================================	
054	
LD-IIS	
m/54	
ms +	
CT / 6 th	
nos+	
06+	
3.1	
AA6* AA6* <u>SA</u>	

3.15 LA VEGETATION DE LA REGION ECOLOGIQUE DE LA POINTE LOUIS-XIV



La région écologique de la pointe Louis-XIV appartient au domaine des landes arctiques et à la zone arctique (Ducruc et αl ., 1976). Comme le notent ces auteurs, c'est probablement l'avant-poste arctique le plus méridional du globe. L'altitude moyenne de cette petite région est de 50 m et varie de 0 à 100 m. Le relief est faiblement ondulé. C'est un paysage de plages glacio-marines très riches en coquillages.

Constamment battue par les vents d'ouest et couverte de brouillards, cette région est toutefois soumise à un régime de précipitations faibles: 600 mm de précipitations totales annuelles.

3.15.1 LES TYPES SOCIO-ECOLOGIQUES DE VEGETATION

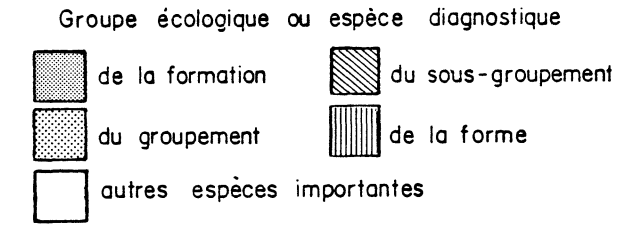
Tableau 178 Nomenclature des types socio-écologiques de végétation de la région écologique de la pointe Louis-XIV

1.	BRULIS: BR		
	1.1 Polytrichum piliferum	:-pp 1.	BR-pp
2.	LANDES ARCTIQUES: LA		
	2.1 Dryas integrifolia	:-di 2.	LA-di
	2.2 Rhacomitrium lanuginosum	:-r1 3.	LA-r1
	2.3 Rhacomitrium canescens	:-rc 4.	LA-rc
	2.4 Cetraria nivalis	:-cn	LA-cn
	2.5 Salix uva-ursi	:-su	LA-su
	2.6 Betula glandulosa	:-bg 7.	LA-bg
	2.7 Salix reticulata	:-sar 8.	LA-sar
-	2.8 Salix cordifolia	:-sc 9.	LA-sc

La végétation de la région écologique de la pointe Louis-XIV se répartit sous une formation en huit groupements lesquels définissent huit types socio-écologiques de végétation (tableau 178) dont on présente le tableau floristique (tableau 179). On se rappelle que la

Tableau 179 Tableau des types socio-écologiques de végétation de la région écologique de la pointe Louis-XIV

TYPE SOCIO-ECOLOGIQUE DE VEGETATION	LA-d1	LA-di	LA-di	LA-d1	LA-d1	LA-r1	LA-rl	LA-rc	LA-cn	LA-cn	LA-su	LA-bg	, LA-sc	LA-sar	ВК-рр
NUMERO DU RELEVE	5922	5931	5748	5926	5750	5930	5927	5189	5749	5747	5928	5476	5477	5921	5187
Type écologique Altitude (x 100 pi.) Force de la pente (%) Forme de la pente Densité du peuplement Hauteur du peuplement % argile, limon, sable tr. fin	RO1 10 03 X F 5	SM1 01 01 C F 5 06	SG23 00 03 P F 5	SG23 01 05 X F 5	SM2 3 00 02 X F 5 21	RO1 01 01 X F 5	SG23 01 03 P F 5	DU1 02 01 P F 5	SG23 01 00 X F 5	SM23 00 00 X F 5 06	SM23 01 00 P F 5 05	TY2 01 00 X F 5 13	SV4 01 03 C F 5	AV5* 01 01 P F 5	SG23 02 01 X F 5 03
Rhacomitrium lanuginosum Rhacomitrium canescens Salix cordifolia Empetrum nigrum Dryas integrigolia Hylocomium splendens Cladonia rangiferina Polytrichum piliferum Cladonia mitis Betula glandulosa Shepherdia canadensis Arctostaphylos alpina Sphaerophorus globosus Cetraria nivalis Ochrolechia frigida Salix reticulata Alectoria nidulifera Salix wa-ursi Pleurozium schreberi Carex aquatilis Scorpidium scorpioides Meesea trifaria Juncus albescens Carex bigelowii Vaccinium uliginosum Poa arctica Silene acaulis Astragalus eucosmus Oxytropis hudsonima Cladonia alpestris Cetraria islandica Alectoria ochroleuca		38 15 15 15 15 15 		3	1	15 	15	3 	3 15 3 						



région de la pointe Louis-XIV appartient à la zone arctique et se définit entre autres par l'absence complète d'espèces arborescentes. Toutes les stations sont donc improductives.

3.15.1.1 LES LANDES ARCTIQUES

Remarque: A la lecture du tableau 179, il apparaît clairement que les variables habituellement discriminantes sur le plan de la composition floristique ne fonctionnent plus dans une région comme celle-ci où le vent, la neige et l'humidité atmosphérique sont probablement les facteurs déterminants de la composition floristique. Or, étant donné notre niveau de perception, il est impossible de consacrer suffisamment de temps à de telles régions. Sur une base floristique, cinq groupements sont reconnus.

I. GROUPEMENT à Dryas integrifolia (LA-di)
Espèces principales: Dryas integrifolia
Cladonia rangiferina
Arctostaphyllos alpina
Sphaerophorus globosus
Cetraria islandica
Alectoria ochroleuca

Dépôts: sable

Drainage: bon à modérément bon

II. GROUPEMENT à Rhacomitrium lanuginosum (LA-r1)
Espèces principales: Rhacomitrium lanuginosum
Sphaerophorus globosus
Ochrolechia frigida
Salix reticulata
Silene acaulis

Dépôts: roc et sable

Drainage: excessif à modérément bon

III. GROUPEMENT à Rhacomitrium canescens (LA-rc)

Espèce principale: Rhacomitrium canescens

Dépôts: sable éolien Drainage: excessif

IV. GROUPEMENT à Cetraria nivalis (LA-cn)

Espèces principales: Cetraria nivalis
Cladonia mitis

Empetrum nigrum

Dépôts: sable

Drainage: bon à modérément bon

V. GROUPEMENT à Salix uva-ursi (LA-su)

Espèces principales: Salix uva-ursi

Cladonia mitis

Cladonia alpestris

Empetrum nigrum

Dépôts: sable

Drainage: bon à modérément bon

VI. GROUPEMENT à Betula glandulosa (LA-bg)

Espèces principales: Betula glandulosa

Empetrum nigrum Cladonia mitis Ledum decumbens

Dépôts: till remanié (plage)

Drainage: bon

Remarque: Le bouleau glanduleux ne dépasse pas 30 cm

de hauteur. A l'exception d'un groupement, les landes arctiques à arbustes colonisent les dépressions où une accumulation de neige

permet un certain développement en hauteur

de la végétation.

VII. GROUPEMENT à Salix cordifolia (LA-sc)

Espèces principales: Salix cordifolia

Hylocomium splendens

Betula glandulosa Salix reticulata

Pleurozium schreberi

Dépôts: alluvions
Drainage: imparfait

VIII. GROUPEMENT à Salix reticulata (LA-sar)

Espèces principales: Salix reticulata

Carex aquatilis

Scorpidium scorpioides

Juncus albescens

Dépôts: alluvions récentes

Drainage: mauvais, avec seepage

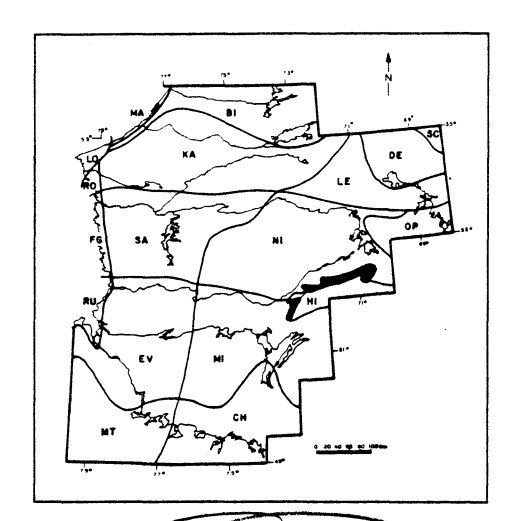
3.15.2 LES CHRONOSEQUENCES

Les chronoséquences végétales de la région écologique de la pointe Louis-XIV sont présentées au tableau 180. Nous renvoyons le lecteur à la section 3.3 pour ce qui concerne l'approche théorique et pratique de la détermination des chronoséquences.

Tableau 180 Chronoséquences végétales de la région écologique de la pointe Louis-XIV

10010 1111		
TYPES ECOLOGIQUES SYNTHETIQUES	TYPES ECOLOGIQUES	CHRONOSEQUENCES
mı	mal mpl mul mvl mvl	(7.4. 1.17.4)
Tl	TA1, TD1, TH1, TY1, TM1	(LA-di/LA-cn)
S1	SG1, SM1, AM1, AF1	(LA-di/ <u>LA-cn</u>)
D1	TP1, SE1, DU1, SA1, RO1	LA-di
A23	MA23, AL2, AL3,	<u>LA-cn</u>
T2	TA2, TD2, TH2, TY2, TM2	(LA-di/LA-cn)
Т3	TA3, TD3, TH3, TY3, TM3	(<u>LA-di/LA-cn</u>)
S23	SG23, SM23, AM23, AF2, AF3	(LA-di/LA-cn)
SA23	SA2, SA3	(<u>LA-di/LA-cn</u>)
TR21	TR21	(<u>LA-di/LA-cn</u>)
TR3	TR3	(<u>LA-di/LA-cn</u>)
TP23	TP23	(<u>LA-di/LA-cn</u>)
SR13	SR13	(<u>LA-di/LA-cn</u>)
RT14	RT14	<u>LA-cn</u>
TR4	TR4	LA-sc
A4	MA4, AL4,	LA-sc
T4	TA4, TM4	LA-sc
S4	SV4	LA-sc
SA4	SA4	LA-sc
A5	MA5, AL5,	LA-sc
T5	TA5, TM5	LA-sar
S5	SV5	LA-sar
SA5	SA5	LA-sar
TR5	TR5	LA-sar
A23*	MA23*, AL2*, AL3*,	LA-su
T2*	TA2*, TD2*, TM2*	LA-su
T3*	TA3*, TD3*, TM3*	LA-su
S23*	SG23*, SM23*, AM23*	LA-su
SA3*	SA3*	LA-su
CV23*	CV23*	non-applicable
TR2*	TR2*, SR2*	LA-su
ER23*	ER23*	non-applicable
RO24*	R024*	LA-su
TR34*	TR34*	LA-su
SR34*	SR34*	LA-su
A4*	MA4*, AL4*,	LA-sc
T4*	TA4*, TM4*	LA-sc
CV4*	CV4*	non-applicable
S4*	AV4*	LA-sc
SA4*	SA4*	LA-sc
A5*	MA5*, AL5*,	LA-sc
T5*	TA5*, TM5*	LA-sar
S5*	AV5*	LA-sar
SA5*	SA5*	LA-sar
TP45*	TP45*	LA-sc
TR5*	TR5*	LA-sar
CR46*	CR46*	non-applicable
RO5*	RO5*	LA-sar
S6*	AV6*	SA
AA6*	AA6*	SA SA
		===
		المستوان والمستوان

3.16 LA VEGETATION DE LA REGION ECOLOGIQUE DES MONTS OTISH



La région écologique des monts Otish est classée dans le domaine des forêts claires et dans la sous-zone du Bas-Subarctique (Ducruc et al., 1976). Elle est située aux environs du 52^e degré de latitude Nord et s'étend entre le 70^e et le 72^e degrés de longitude Ouest. Elle est bornée, au nord, par la région écologique du lac Nichicun et au sud, par celle du lac Hippocampe. L'altitude moyenne de cette région est de 750 m et varie de 525 m à 1000 m.

C'est une région montagnarde formée d'un groupe de hautes collines rocheuses dont le front escarpé est orienté vers le nord-ouest. Les tills minces dominent le paysage, particulièrement les sommets, alors que les flancs sont fréquemment couverts de tills épais et de colluvions dérivées de tills.

La température moyenne annuelle est située aux environs de -3,0°C, quoique sur les sommets il faille s'attendre à une moyenne plus basse; la moyenne annuelle des précipitations totales est de 800 mm, dont 500 mm tombent de mai à septembre; la durée annuelle moyenne de la saison de croissance est de 120 jours, mais probablement moindre sur les sommets (Wilson, 1971).

3.16.1 LES TYPES SOCIO-ECOLOGIQUES DE VEGETATION

La région écologique des monts Otish se divise en deux étages: un étage inférieur caractérisé par une végétation forestière et un étage supérieur caractérisé par une végétation alpine (krummholz et landes alpines). La végétation de l'étage inférieur se répartit en trois formations, lesquelles se divisent en six groupements et sept sous-groupements pour donner dix types socio-écologiques de végétation (tableau 181). La végétation de l'étage supérieur se répartit en deux formations qui se divisent en six groupements, cinq sous-groupements et deux formes pour donner huit types socio-écologiques de végétation (tableau 181). Le tableau floristique des deux étages est donné au tableau 182.

Tableau 181 Nomenclature des types socio-écologiques de végétation de la région écologique des monts Otish

		ETAGE INFERIEUR		
1.	BETUI	LAIES A BOULEAU BLANC: BB		2 0 S
	1.1	Lycopodium annotinum 1.1.1 typique 1.1.2 Abies balsamea	:-la1. :-sb2.	BB-la-t
2.	SAPTI	NIERES: SB		
		Pleurozium schreberi	:-m	
		2.1.1 Picea glauca Sphagnum riparium	:-eb3. :-sri4.	
3.	PESS	IERES A EPINETTE NOIRE: EN		· · ·
	3.2	Abies balsamea 3.1.1 Pleurozium schreberi 3.1.2 Hylocomium splendens 3.1.3 Sphagnum robustum 3.1.4 Sphagnum fuscum Cladonia alpestris Sphagnum nemoreum	:-sb :-m	EN-sb-hs-206 EN-sb-sr EN-sb-sf EN-ca
		ETAGE SUPERIEUR (AI	LPIN)	
4.	KRUM	MHOLZ: K	•	
		Picea glauca 4.1.1 Cladonia mitis Abies balsamea 4.2.1 Picea mariana 4.2.1.1 Cladonia alpestris 4.2.1.2 Pleurozium schreberi		K-eb-cm K-sb-en-ca K-sb-en-m
5.	LAND	ES ALPINES: ALP		
	5.2 5.3	Cetraria nivalis 5.1.1 typique 5.1.2 Alectoria ochroleuca Cetraria nigricans Rhacomitrium vanuginosum Alectoria ochroleuca 5.4.1 Betula glandulosa	:-cn :-t14. :-ao15. :-cni16. :-rl17. :-ao :-bg18.	ALP-cn-ao ALP-cni ALP-r1

ETAGE						ETAGE	INFERI	EUR														ETAC	E SUPE	ERIEUR		и)		
TYPE SOCIO-ECOLOGIQUE DE VEGETATION	BB-1a, C	BB-1a - L★	BB-la-sb	SB-m-eb	SB-sri	EN-sb-m	EN-sb-m	EN-sb-hs-sre	EN-sb-sr	EN-sb-sf	EN-ca	EN-ca	EN-sn 🀔	EN-sn	К-еb-сm	K-sb-en-ca	K-sb-en-m 💉	K-sb-en-m	K-sb-en-m	K-bg-alc-	ALP-cn-t	ALP-cn-t	ALP-cn-ao	-ALP-cn-ao 🐇	ALP-cn-ao	ALP-cni	ALP-r1	ALP-r1
NUMERO DU RELEVE	4468	4469	4349	4460	4657	4261	4648	4197	4241	4196	4259	4262	4664	4339	4676	4675	4656	4195	4063	4467	4242	4526	4260	4194	4198	4667	4654	4348
Type écologique Altitude (x 100 pi.) Force de la pente (%) Forme de la pente Densité du peuplement Hauteur du peuplement % argile, limon, sable tr. fin	ER2* 28' 45 C C 3 43	27 ' 30 C B 3	CV2* 25 20 C C C 3	CV2* 26 20 C C C 2	CV4* 25 25 C D 3	TR3* 26 10 C D 3 28	TA4* 18 10 C C 2 23	TA4* 25 25 C C 2 22	TA4* 24 10 C C C 3 52	TA5* 25 25 C D 3	SG23 18 00 P E 3 45	TM3 26 05 X E 4	TH3 17 05 C E 3 23	TA5* 20 00 C D 3 60	TR3 31 10 X F 5 53	TM3* 31 12 C F 5 47	TR4* 26 20 X F 5	RO5* 27 28 C F 5	RO5* 25 19 P F 5	ER2* 31 99 P F 5	TM2 25 03 X F 5	TA3 33 03' X F 5 54	TM3 30 00 X F 5 47	TR4 27 05 X F 5 49	TR4 27 00 C F 5	TA2 32 00 X F 5 30	RT14 26 00 X F 5 30	RT14 30 03 X F 5 34
Picea mariana(s) Picea mariana(i)	1	1 3	3	i	3	15 15	38 1	38 3	15 15	15 · 3	15 15	15 15	15 38	15 15	:	63	i 5	63	38	1	:	:	:	3	:	:	:	:
Abies balsamea(s) Abies balsamea(i)	:	i		38 15	38 15	1 15	1 38	15 15	15 38	15 38	:	:	i	:	:	15	63	15	15	:	:		:	•	:	:	:	:
Picea glauca(s) Picea glauca(i)	:	:	:		:	:	:	:	:	:	:	:	:	:	15	:	. :	:	:	:	:	:	:	:	:	:	:	:
Cladonia alpestris Cladonia rangiferina Cladonia mitis	i	1	1 3	:	1	3 3 1	:	:	3	:	637 15 15	63 3 3	3	:	15	38	i	3	3 1	3	1	38 38	1	3	15 3	1	3 38	3 3 3
Pleurozium schreberi Sphagnum nemoreum	38	15	63	631	3			15	15 15	3	15	15 1	38	15 63		:				3 .5	:			i	:		:	
Hylocomium splendens Sphagnum recurvum Sphagnum recurvum Sphagnum rusutum Sphagnum rusutum Betula papyrifera(s) Betula papyrifera(i) Lycopodium annotinum Cornus canadensis Solidago macrophylla Sphagnum riparium Cetraria nivalis Cetraria islandica Nephroma articum Alactoria ochroleuca Ninocomitrium lanuginosum vicornus rivonlaudium Alectoria ochroleuca Ninocomitrium lanuginosum vicornus rivonlaudium Alectoria vitivilui Sphagnum girgenschnii Betula glandulosa Ledum gocenlandicum vaccinium angustifolium vaccinium angustifolium vaccinium uliginosum vaccinium uliginosum vaccinium uliginosum vaccinium iliginosum vaccinium vacc	38 3 15 15 	1	38 15 15 15	1 3 3 3 3 3 1 1 3 3 3 3 1 1 3 3 3	1	1 15	15 · · · · · · · · · · · · · · · · · · ·	15	333333333333333333333333333333333333333	15	3 3 3 3 3 3 3 3 3 3 3 3 3 3 3 3 3 3 3 3	1 1	3 3	3 3 1	15 15 15 1 1 1 1 1 1 1 1 1 1 1 1 1 1 1	3 11	3 3	63	15 3 1 1 3 3 15 38 	3	15	15 	15 15 15 15 15 15 15 15 15 15 15 15 15 1	338 15 15 15 10 10 10 10 10 10 10 10 10 10 10 10 10	15 3 3 3 3 3 3 3 3 3 3 3 3 3 3 3 3 3 3 3	3 3 3	15 1 1 3 	38
· · · · · · · · · · · · · · · · · · ·	۱ ے ا	A 1		-				N				1.00	······				, 0		e éco	logique	ou e	espèc	e dia	gnosti	ique		***************************************	
≈ 3 (3)		· · · · · · · · · · · · · · · · · · ·								٠	1 /				:d 7	•		de		mation			du sou	us-gro forme	oupem	ient		

ETAGE INFERIEUR

3.16.1.1 LES BETULAIES A BOULEAU BLANC

Espèce principale: Betula papyrifera

Remarque: Ce sont généralement des peuplements qui colonisent les colluvions des hauts de pentes du front des monts Otish. Avec les sapinières, ces bétulaies sont les derniers peuplements forestiers avant l'étage alpin. On ne distingue qu'un seul groupement.

I. GROUPEMENT à Lycopodium annotinum (BB-la) V V
Espèces principales: Lycopodium annotinum
Cornus canadensis
Pleurozium schreberi
Solidago macrophylla
Alnus crispa
Dryopteris spinulosa
Trientalis borealis

Remarque: On reconnaît deux sous-groupements.

1. Sous-groupement typique (BB-la-t)

Espèce principale: aucune

Structure: forêt ouverte ou claire, basse

Dépôts: colluvions et éboulis

Drainage: bon à modérément bon, avec seepage

Croissance: lente

Sous-groupement à sapin (BB-la-sb)
 Espèce principale: Abies balsamea
 Structure: forêt ouverte, basse

Dépôts: colluvions

Drainage: bon à modérément bon, avec seepage

Croissance: non observée

3.16.1.2 LES SAPINIERES

Espèce principale: Abies balsamea

Remarque: On distingue deux groupements:

I. GROUPEMENT à mousses (SB-m)

Espèce principale: Pleurozium schreberi

Remarque: On reconnaît un seul sous-groupement:

1. Sous-groupement à épinette blanche (SB-m-eb) \checkmark \checkmark

Espèce principale: Picea glauca Structure: forêt ouverte, haute

Dépôts: colluvions

Drainage: bon à modérément bon, avec seepage

Croissance: rapide

Remarque: La présence de l'épinette blanche est ici encore liée à une humidité atmosphérique plus élevée, créée par la fréquences des nuages à cette altitude.

2. Sous-groupement à Sphagnum riparium (SB-sri)

Espèce principale: Sphagnum riparium

Structure: forêt très ouverte, basse

Dépôts: colluvions

Drainage: imparfait à mauvais, avec seepage

Croissance: modérée

3.16.1.3 LES PESSIERES A EPINETTE NOIRE

Espèce principale: Picea mariana

Remarque: On reconnaît trois groupements.

I. GROUPEMENT à sapin (EN-sb)

Espèce principale: Abies balsamea

Remarque: C'est le groupement forestier le plus fréquent de cet étage. Il domine particulièrement sur les tills imparfaitement drainés, avec seepage. On reconnaît quatre sous-groupements.

1. Sous-groupement à mousses (EN-sb-m) ✔

Espèce principale: Pleurozium schreberi

Structure: forêt ouverte, haute

Dépôts: till

Drainage: modérément bon à imparfait, avec seepage

Croissance: modérée

2. Sous-groupement à Hylocomium splendens (EN-sb-hs)

Espèces principales: Hylocomium splendens

Sphagnum recurvum

Structure: forêt ouverte, haute

Dépôts: till

Drainage: imparfait, avec seepage

Croissance: rapide

3. Sous-groupement à Sphagnum robustum (EN-sb-sr) $\sqrt{}$

Espèces principales: Sphagnum robustum

Pitlium crista-castrensis

Structure: forêt ouverte, basse

Dépôts: till

Drainage: imparfait, avec seepage

. Croissance: modérée

4. Sous-groupement à Sphagnum fuscum

Espèces principales: Sphagnum fuscum

Hylocomium splendens

Structure: forêt très ouverte, basse

Dépôts: till

Drainage: mauvais

Croissance: modérée

II. GROUPEMENT à Cladonia alpestris (EN-ca)

Espèces principales: Cladonia alpestris

Cladonia rangiferina

Cladonia mitis

Structure: lande boisée, basse à très basse

Dépôts: sable et till

Drainage: modérément bon à bon

Croissance: modérée

III. GROUPEMENT à Sphagnum nemoreum (EN-sn)

Espèces principales: Sphagnum nemoreum

Pleurozium schreberi

Structure: forêt très ouverte, basse

Dépôts: till

Drainage: modérément bon à mauvais, avec ou sans seepage

Croissance: modérée

ETAGE SUPERIEUR

3.16.1.4 LES KRUMMHOLZ

Remarque: Cette formation coniférienne prostrée se localise principalement entre la bétulaie à bouleau blanc de l'étage inférieur et les landes alpines des sommets. Elle occupe des stations généralement concaves où la neige, en s'accumulant, protège les épinettes et le sapin contre l'action abrasive de la neige soufflée par le vent et la dessication hivernale. Ces formations ne dépassent jamais 3 m de hauteur. On reconnaît trois groupements.

I. GROUPEMENT à épinette blanche (K-eb)

Espèce principale: Picea glauca

Remarque: On distingue un seul sous-groupement.

1. Sous-groupement à Cladonia mitis (K-eb-cm)

Espèces principales: Cladonia mitis

Cladonia alpestris Cetraria nivalis Cetraria islandica

Empetrum nigrum

Structure: krummholz
Dépôts: till très mince
Drainage: modérément bon
Croissance: non applicable

II. GROUPEMENT à sapin (K-sb)

Espèce principale: Abies balsamea

Remarque: On reconnaît un seul sous-groupement:

1. Sous-groupement à épinette noire (K-sb-en)√

Espèces principales: Picea mariana

Betula glandulosa Vaccinium uliginosum

Empetrum nigrum

Remarque: On distingue deux formes:

a. Forme à Cladonia alpestris (K-sb-en-ca)
Espèces principales: Cladonia alpestris
Cladonia mitis

Structure: krummholz

Dépôts: till

Drainage: modérément bon, avec seepage

Croissance: non applicable

Structure: krummholz

Dépôts: affleurements rocheux et till très mince

Drainage: imparfait à mauvais, avec seepage

Croissance: non applicable

III. GROUPEMENT à Betula glandulosa (K-bg)
Espèce principale: Betula glandulosa

Remarque: On distingue un seul sous-groupement

1. Sous-groupement à Alnus crispa (K-bg-alc) Espèces principales: Alnus crispa

Ledum groenlandicum
Alectoria ochroleuca
Sphagnum girgensohnii
Cladonia amaurocraea

Structure: krummholz Dépôts: éboulis

Drainage: bon à modérément bon, avec seepage

Croissance: non applicable

3.16.1.5 LES LANDES ALPINES

Remarque: Les landes alpines couvrent l'ensemble des hauts sommets convexes, exposés aux vents, des monts Otish. Le pattern de distribution de la neige semble le facteur écologique prépondérant dans le déterminisme écologique de cet étage. Toutefois, aucune étude en ce sens n'a pu être entreprise dans le cadre de ce projet. Les grandes catégories de matériaux de surface semblent aussi jouer un rôle actif dans la distribution de la végétation. On reconnaît trois groupements d'inégale importance, en étendue, et deux sous-groupements.

I. GROUPEMENT à Cetraria nivalis (ALP-cn) \checkmark Espèces principales: Cetraria nivalis Betula glandulosa Salix uva-ursi

Remarque: C'est le groupement le plus fréquent. le divise en deux sous-groupements.

1. Sous-groupement typique (ALP-cn-t)

Espèce principale: aucune

Structure: lande

Dépôts: till

Drainage: bon à modérément bon

2. Sous-groupement à Alectoria ochroleuca (ALP-cn-ao) \vee

Espèces principales: Alectoria ochroleuca

Rhacomitrium lanuginosum

Structure: lande

Dépôts: till très mince

Drainage: imparfait

II. GROUPEMENT à Cetraria nigricans (ALP-cni) V

Espèce principale: Cetraria nigricans

Structure: lande

Dépôts: till

Drainage: bon

III. GROUPEMENT à Rhacomitrium lanuginosum (ALP-r1)

Espèces principales: Rhacomitrium lanuginosum

Cladonia mitis

Structure: lande

Dépôts: affleurements rocheux et till très mince

Drainage: pattern de drainage excessif à imparfait

Remarque: Rhacomitrium lanuginosum est associée essen-

tiellement aux affleurements rocheux.

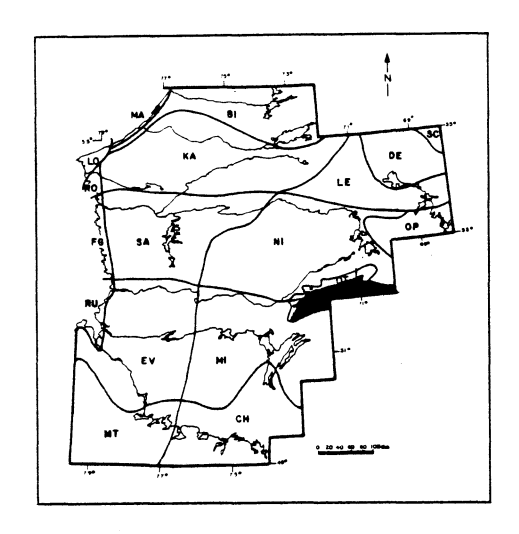
3.16.2 LES CHRONOSEQUENCES

Les chronoséquences des deux étages de la région écologique des monts Otish sont présentées au tableau 183. Nous renvoyons le lecteur à la section 3.3 pour ce qui concerne l'approche théorique et pratique de la détermination des chronoséquences.

Tableau 183 Chronoséquences végétales de la région écologique des monts Otish

		CHRONOSEQUENCES									
TYPES COLOGIQUES SYNTHETIQUES	TYPES ECOLOGIQUES	ETAGE SUPERIEUR	ETAGE INFERIEUR								
T1	TA1, TD1, TH1, TY1, TM1	ALP-cn	EN-ca								
S1	SG1, SM1, AM1, AF1	ALP-cn	EN-ca								
D1	TP1, SE1, DU1, SA1, RO1	ALP-cn	EN-ca								
A23	MA23, AL2, AL3, TC2, TC3	non-applicable	non-applicable								
T2	TÃ2, TD2, TH2, TY2, TM2	(ALP-cn/ALP-cni)	EN-ca								
т3	TA3, TD3, TH3, TY3, TM3	ALP-en	(EN-ca/EN-sn)								
S23	SG23, SM23, AM23, AF2, AF3	ALP-čn	EN-ca								
SA23	SA2, SA3	non-applicable	non-applicable								
TR21	TR21	ALP-cn	EN-ca								
TR3	TR3	K-eb-ca	EN-ca								
TP23	TP23	ALP-en	EN-ca								
SR13	SR13	ALP-cn	EN-ca								
RT14	RT14	ALP-r1	FN-ca								
TR4	TR4	ALP-cn-ao	EN-ca-cc-sn "NI"								
A4	MA4, AL4, TC4	non-applicable	non-applicable								
T4	TA42 TM4	ALP-cn-ao	EN-ca-cc-sn "NI"								
S4	SV4	AT P-on	EN-ca-cc-sn "NI"								
SA4	SA4	non-applicable	non-applicable								
A5	MAS ALS TOS	non-applicable	non-applicable								
T5	TA5, TM5	ALP-cn	EN-cc "NI"								
55 55	CONTRACT CON	ALP-cn									
SA5	SV5 SA5	1	EN-cc "NI"								
TR5	TR5	non-applicable ALP-cn	non-applicable								
A23*			EN-cc "NI"								
	MA23*, AL2*, AL3*, TC2*, TC3*		non-applicable								
T2*	TA2*, TD2*, TM2*	ALP-cn K-sh-en-ca	$BB-1a \rightarrow SB-eb-m$								
T3*	TA3*, TD3*, TM3*		BB-la → SB-eb-m								
S23*	SG23*, SM23*, AM23*	ALP-cn	$BB-1a \rightarrow SB-eb-m$								
SA3*	3A3	non-applicable	non-applicable								
CV23*	CV23*	K-sb-en-m	BB-la → SB-eb-m								
TR2*	TR2*, SR2*	K-sb-en-m	SB-eb-m								
∃R23*	ER23*	ALP-ao-sg	BB-1a								
R024*	3024*	ALP-cn 5	EN-sb-sr								
TR34*	TR34*	K-sb-en-m	EN-sb-m								
SR34*	SR34*	K-sb-en-m	EN-sb-m								
Λ4*	MA4*, AL4*, TC4*	non-applicable	non-applicable								
T4*	TA4*, TM4*	ALP-cn	(EN-sb-m/EN-sb-sr)								
CV4*	CV4*	K-sb-en-m	SB-sri								
S4*	AV4*	ALP-cn	EN-sb-sr								
SA4*	SA4*	non-applicable	non-applicable								
A5*	MA5*, AL5*, TC5* ,	non-applicable	non-applicable								
T5*	TA5*, TM5*	ALP-cn	(EN-sb-sf/EN-sn)								
S5*	AV5*	ALP-cn	EN-sn								
SA5*	SA5*	non-applicable	non-applicable								
TP45*	TP45*	ALP-cn	EN-sb-sr								
TR5*	TR5* & 7	ALP-cn	EN-sn								
CR46*	CR46*	K-sb-en-m-sr	SB-sri								
RO5*	RO5*	K-sb-en-m-sr	SB-sri								
S6*	AV6*	non-applicable	ALR								
\A6*	AA6*	non-applicable	non-applicable								

3.17 LA VEGETATION DE LA REGION ECOLOGIQUE DU LAC HIPPOCAMPE



La région écologique du lac Hippocampe appartient au domaine des forêts claires et à la sous-zone biologique du Bas-Subarctique (Ducruc et al., 1976). Cette région est en quelque sorte le revers des monts Otish. Elle est donc bornée au nord par la région écologique des monts Otish, au sud par le 52 degré de latitude Nord, à l'ouest et au sud-ouest par la région écologique du lac Mistassini et à l'est par le 70 degré de longi-

tude Ouest. L'altitude moyenne est de 725 m et varie entre 475 m et 1000 m. Ces hauts plateaux se caractérisent par un relief ondulé, conféré par le soubassement rocheux. Les moraines de décrépitude couvrent la majeure partie de cette région. On y retrouve aussi des tills épais et des champs de drumlins.

La température moyenne annuelle est d'environ -2,5°C; la moyenne annuelle des précipitations totales est de 900 mm, dont 500 mm tombent de mai à septembre, ce qui en fait la région écologique la plus humide du territoire; la durée annuelle moyenne de la saison de croissance se situe entre 120 et 130 jours (Wilson, 1971).

3.17.1 LES TYPES SOCIO-ECOLOGIQUES DE VEGETATION

La végétation de la région écologique du lac Hippocampe se répartit en trois formations qui se divisent en cinq groupements et cinq sous-groupements pour donner huit types socio-écologiques de végétation (tableau 184) dont on présente le tableau floristique (tableau 185).

Tableau 184 Nomenclature des types socio-écologiques de végétation de la région du lac Hippocampe

1.	PESSIERES A EPINETTE BLANCHE: EB 1.1 Pleurozium schreberi	:-m1. EB-m
2.	SAPINIERES: SB 2.1 Pleurozium schreberi 2.1.1 Betula papyrifera 2.2 Sphagnum girgensohnii	:-m :-bb
3.	PESSIERES A EPINETTE NOIRE: EN 3.1 Abies balsamea 3.1.1 Cladonia rangiferina 3.1.2 Pleurozium schreberi 3.1.3 Sphagnum nemoreum 3.1.4 Sphagnum robustum 3.2 Cladonia alpestris	:-sb :-cr

3.17.1.1 LES PESSIERES A EPINETTE BLANCHE

Espèce principale: Picea glauca

Remarque: Le climat nettement plus humide de cette région écologique favorise l'installation de l'épinette blanche. On reconnaît un seul groupement.

I. GROUPEMENT à mousses (EB-m)

Espèces principales: Pleurozium schreberi

Ptilium crista-castrensis

Alnus crispa

Lycopodium annotinum

Structure: forêt très ouverte, haute

Dépôts: till

Drainage: modérément bon

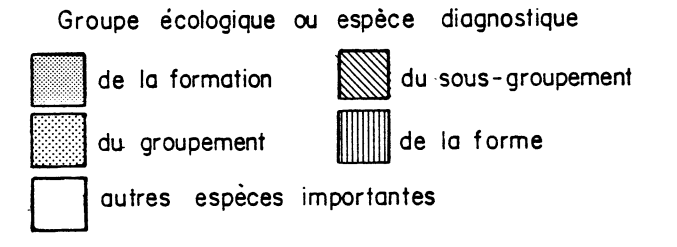
Croissance: rapide

3.17.1.2 LES SAPINIERES

Espèce principale: Abies balsamea

Tableau 185 Tableau des types socio-écologiques de végétation de la région écologique du lac Hippocampe

T					·									
TYPE SOCIO-ECOLOGIQUE DE VEGETATION	EB-m	SB-m-bb	SB-88	EN-sb-cr	EN-sb-m	EN-sb-m	EN-sb-m	EN-sb-m	EN-sb-m	EN-sb-m	EN-sb-sn	EN-sb-sr	EN-sb-sr	EN-ca
NUMERO DU RELEVE	4352	4661	4662	4542	4658	4463	4660	4543	4256	4248	4659	4550	4464	4255
Type écologique Altitude (xl00 pi.) Force de la pente (%) Forme de la pente Densité du peuplement Hauteur du peuplement % argile, limon, sable tr. fin	TM3 24 05 X D 2 41	CV2* 18 40 P C 3 48	TA4* 18 10 C D 2 16	TH2 23 05 X E 3 36	TH2 26 00 X E 4	TD3 26 00 X D 3 45	TD3 26 20 P E 3 47	TD3 23 08 P D 3 43	TM3 22 05 X E 5	TA4 22 01 X D 3 42	TA4 26 00 X E 4 48	TA4* 30 08 C D 3 45	TA5* 26 08 C D 3	TD3 22 02 X E 3 51
Picea glauca(s) Picea glauca(i)	38 3		•	:	:	•	:	:	•		•		•	•
Abies balsamea(s) Abies balsamea(i)		38 15	15 38	15 13	3	3 3	3 15	15 38	15 38	3	3	3 63	13 13	
Picea mariana(s) Picea mariana(i)	15 3	15 3	3	15 15	3 15	15 15	15 15	38 38	15 3	38 15	3	15 3	1.5 3	15 15
Betula papyrifera(s) Betula papyrifera(i)			3	:		:	:	:	:		•			
Pleurozium schreberi Ptilium crista-castrensis	63 38	63 15	1	15 1		34///	341111	3	63	15	38 1	38 3	15 3	15 1
Alnus crispa Lycopodium annotinum	15 15	:	i	3	:	:	•	:	•		i	•	i	i
Dicranum fuscescens Hylocomium splendens Sphagnum robustum Sphagnum recurvum Sphagnum girgensohnii Cladonia rangiferina Cladonia alpestris	3 3	15 15 1	3 1 15 15 38	1 : :	3	3	15	: 15 : 1	3	3	1 3	3 i	3 63 i	3 1
Ledum groenlandicum Vaccinium angustifolium Vaccinium uliginosum Vaccinium cespitosum Vaccinium vitis-idaea	15 3 3 1	3	i 1	15 38 3	15 3 15 3 1	3 15 3 3	1 1 3 3 1	3 15 3	3	3 15 15 3	15 3 15 3	i i	15 3 15 3	38 15 15 15
Betula glandulosa Cormus canadensis Gaultheria hispidula Empetrum nigrum Clintonia borealis Dryopteris disjuncta	15 15 1	3 3 .	3 3 1 3	15 15 15 15 1	3 1 3 3	1 3 3 3 3	3 3 1 1	15 38 38	3 3 3	3 15 3	1 3 3 1	3 3	3 3	15 3 3 3
Equisetum sylvaticum Carex trisperma Smilacina trifolia Cladonia gracilis Sphagnum nemoreum	3	1	3 3	1 3	3 1	3 3	· · · · · · · · · · · · · · · · · · ·	3 15				•	3 3 3 1	1 3



Remarque: Cette région écologique, caractérisée par des précipitations élevées, se distingue des autres par l'omniprésence du sapin en peuplement pur ou mélangé avec l'épinette noire. On reconnaît deux groupements parmi les sapinières:

I. GROUPEMENT à mousses (SB-m)

Espèces principales: Pleurozium schreberi

Dicranum fuscescens Hylocomium splendens

Ptilium crista-castrensis

Remarque: On distingue un seul sous-groupement.

1. Sous-groupement à bouleau blanc (SB-m-bb)

Espèce principale: Betula papyrifera

Structure: forêt ouverte, basse

Dépôts: colluvions

Drainage: bon à modérément bon, avec seepage

Croissance: rapide

II. GROUPEMENT à Sphagnum girgensohnii (SB-sg)

Espèces principales: Sphagnum girgensohnii

Sphagnum recurvum
Sphagnum robustum
Carex trisperma
Smilacina trifolia

Structure: forêt très ouverte, haute

Dépôts: till

Drainage: imparfait, avec seepage

Croissance: très rapide

3.17.1.3 LES PESSIERES A EPINETTE NOIRE

Espèce principale: Picea mariana

Remarque: C'est la formation principale de cette région écologique. Ce sont généralement des forêts dont l'aspect très tourmenté, pour ne pas dire rabougri, témoigne de conditions climatiques hivernales très rigoureuses (givre, verglas, forts vents). Elle se divise en deux groupements.

I. GROUPEMENT à sapin (EN-sb)

Espèce principale: Abies balsamea

Remarque: Ce groupement représente 90 p. 100 des

pessières. On reconnaît trois sous-groupements.

1. Sous-groupement à mousses (EN-sb-m)

Espèce principale: Pleurozium schreberi

Structure: forêt très ouverte, basse

Dépôts: till

Drainage: modérément bon

Croissance: lente

2. Sous-groupement à Sphagnum nemoreum (EN-sb-sn)

Espèces principales: Sphagnum nemoreum

Pleurozium schreberi Ledum groenlandicum Vaccinium uliginosum

Structure: lande boisée, très basse

Dépôts: till

Drainage: imparfait Croissance: lente

3. Sous-groupement à Sphagnum robustum (EN-sb-sr)

Espèces principales: Sphagnum robustum Sphagnum recurvum

Pleurozium schreberi

Structure: forêt très ouverte, basse

Dépôts: till

Drainage: imparfait à mauvais, avec seepage

Croissance: modérée

II. GROUPEMENT à Cladonia alpestris (EN-ca)

Espèces principales: Cladonia alpestris

Ledum groenlandicum

Vaccinium angustifolium

Vaccinium uliginosum

Betula glandulosa

Structure: lande boisée, basse

Dépôts: till

Drainage: modérément bon

Croissance: lente

3.17.2 LES CHRONOSEQUENCES

Les chronoséquences végétales de la région écologique du lac Hippocampe sont présentées au tableau 186. Nous renvoyons le lecteur à la section 3.3 pour ce qui concerne l'approche théorique et pratique de la détermination des chronoséquences.

Tableau 186 Chronoséquences végétales de la région écologique du lac Hippo-campe

campe										
TYPES ECOLOGIQUES SYNTHE TIQUES	TYPES ECOLOGIQUES	CHRONOSEQUENCES								
T1	TA1, TD1, TH1, TY1, TM1	EN-LB-ca "MI"								
S1	SG1, SM1, AM1, AF1	EN-LB-ca "MI"								
D1	TP1, SE1, DU1, SA1, RO1	EN-LB-ca "MI"								
A23	MA23, AL2, AL3, TC2, TC3	non-applicable								
T2	TA2, TD2, TH2, TY2, TM2	EN-sb-m								
T3	TA3, TD3, TH3, TY3, TM3	(EN-sb-m/EB-m)								
S23	SG23, SM23, AM23, AF2, AF3	EN-sb-m								
SA23	SA2, SA3	non-applicable								
TR21	TR21	EN-LB-ca "MI"								
TR3	TR3	EN-sb-m								
TP23	TP23	EN-LB-ca "MI"								
SR13 RT14	SR13	EN-LB-ca "MI"								
	RT14	EN-sb-m								
TR4	TR4	EN-sb-m								
A4	MA4, AL4, TC4 TA4, TM4	non-applicable								
T4	· ·	(EN-sb-sn/EN-sb-m)								
S4	SV4	EN-sb-m								
SA4	SA4	non-applicable								
A5	MA5, AL5, TC5	non-applicable EN-sb-sn								
T5	TA5, TM5									
S5	SA5	EN-sb-sn non-applicable								
SA5 TR5	TR5									
A23*	MA23*, AL2*, AL3*, TC2*, TC3*	EN-sb-sn								
T2*	TA2*, TD2*, TM2*	non-applicable SB-m-bb								
T3*	TA3*, TD3*, TM3*	SB-m-bb								
S23*	SG23*, SM23*, AM23*	SB-m-bb								
SA3*	SA3*	non-applicable								
CV23*	CV23*	SB-m-bb								
TR2*	TR2*, SR2*	EN-sb-m								
ER23*	ER23*	SB-m-bb								
RO24*	R024*	SB-m-bb								
TR34*	TR34*	SB-m-bb								
SR34*	SR34*	SB-m-bb								
A4*	MA4*, AL4*, TC4*	non-applicable								
T4*	TA4*, TM4*	(EN-sb-sr/SB-sg)								
CV4*	CV4*	SB-sg								
S4*	AV4*	EN-sb-sr								
SA4*	SA4*	non-applicable								
A5*	MA5*, AL5*, TC5*	non-applicable								
T5*	TA5*, TM5*	EN-sb-sre								
S5*	AV5*	EN-sb-sre								
SA5*	SA5*	non-applicable								
TP45*	TP45*	SB-sg								
TR5*	TR5*	EN-sb-sre								
CR46*	CR46*	SB-sg								
RO5*	RO5*	EN-sb-sre								
S6*	AV6*	<u>SA</u>								
AA6*	AA6*	non-applicable								

.

4 LES REGIONS ECOLOGIQUES

Au chapitre 2, on a vu que le territoire à l'étude a été subdivisé en 19 régions écologiques préliminaires. Ces régions ont été presque essentiellement définies à partir de la distribution de certaines espèces, de la détermination de groupes écoclimatiques et de la répartition des types physionomiques de végétation (Ducruc $et\ al.$, 1976). Il s'agit maintenant de donner un contenu plus précis à ces régions écologiques, à partir de la connaissance du comportement social des espèces et de la dynamique des groupements végétaux.

4.1 REMPLACEMENTS DE FACTEURS

En observant le comportement d'une espèce on s'aperçoit, qu'à l'intérieur de son aire de distribution, il se modifie ou plutôt évolue parallèlement avec certains gradients climatiques; lorsque le climat régional devient défavorable à l'installation d'une espèce donnée, elle recherche alors des stations édaphiquement plus favorables. En analysant ces remplacements de facteurs, on peut découvrir des seuils éco-climatiques significatifs. C'est ainsi que dans le cas des huits régions ou groupes de régions écologiques utilisés dans le chapitre précédent, on a retenu, à titre d'exemple, huit espèces pour lesquelles nous avons défini le profil écologique pour cinq variables. Ces profils sont présentés à l'annexe 10. Ces huit espèces sont les suivantes:

1. Stereocaulon paschale

Ne commençant à apparaître qu'au nord des régions écologiques des lacs Matagami et Chibougamau, cette espèce colonise essentiellement des sites excessivement drainés, sans seepage et accompagne des groupements très ouverts. A partir de la région écologique du lac Sakami, l'espèce devient plus abondante, moins exclusive quant au drainage, presque indifférente à la densité du couvert. Cette évolution atteint son optimum dans la région écologique du lac Bienville ou Stereocaulon paschale croît sur toutes les classes de drainage et dans 35 p. 100 des cas sur des stations à seepage.

2. Pleurozium schreberi

Malgré la tendance à l'ubiquité de cette espèce, on dénote à partir de la région écologique de la rivière Kanaaupscow une légère préférence pour les stations mal drainées à seepage.

3. Equisetum sylvaticum

D'une façon générale, cette espèce se trouve dans des stations mal drainées, et cette préférence s'accentue en allant vers le nord, s'accompagnant d'une quasi exclusivité pour le seepage. De plus, ayant peu de préférence quant à la densité des peuplements dans les régions méridionales, cette espèce préfèrera de plus en plus les groupements fermés à mesure qu'elle remonte vers le nord.

4. Ptilium crista-castrensis

Espèce avant tout boréale, son abondance décroît du sud vers le nord; elle disparaît des relevés dans la région écologique du lac Bienville. De sa situation d'indifférence au seepage jusqu'aux régions écologiques des lacs Sakami et Nichicun où elle devient préférentielle, elle devient quasi exclusive sur les stations à seepage au nord de ces deux régions.

5. Gaultheria hispidula

La distribution écologique de cette espèce quant au seepage est assez similaire à celle de l'espèce précédente. Elle s'en distingue toute-fois par une nette préférence pour les stations mal drainées en allant vers le nord.

6. Alnus crispa

Jusqu'à la région écologique du lac Nichicun, cette espèce est liée aux stations mésiques avec ou sans seepage. A partir de là, jusqu'au nord, cette espèce présente un cas d'antagonisme climatique (Gounot, 1958) en remplaçant Alnus rugosa dans toutes les stations mal drainées avec seepage.

Nous avons, par ce phénomène peu courant, un très bel exemple de seuil écoclimatique.

7. Abies balsamea

Absente des régions de la rivière Kanaaupscow et du lac Bienville, cette espèce recherche dans la zone du Subarctique, les stations les plus abritées et les plus riches. Elle est d'autre part favorisée par des microclimats plus humides.

8. Betula papyrifera

Cette espèce ne se rencontre plus au nord du Moyen-Subarctique. Dans la zone boréale, elle préfère faiblement le seepage pour devenir plus exigeante dans le Bas-Subarctique et finalement exclusive des stations à seepage dans le Moyen-Subarctique.

4.2 DISTRIBUTION DES PRINCIPALES COMMUNAUTES VEGETALES PARMI LES REGIONS ECOLOGIQUES

En partant du principe (discutable) que l'échantillonnage de la végétation dans le Territoire de la Baie-James est représentatif de l'importance en étendue des diverses communautés végétales, on a établi une série d'histogrammes permettant d'exprimer l'unicité de chaque région écologique par une combinaison propre de communautés végétales. Il faut toutefois noter que l'image de la végétation régionale reste imparfaite puisqu'on n'a pas tenu compte ni des stations récemment perturbées (feux, coupes, cultures), ni des terrains organiques. A seule fin de corriger cette lacune, la figure 29 illustre la proportion des relevés de végétation de milieux récemment brûlés par rapport à l'ensemble des relevés effectués sur les sols minéraux et la figure 30 exprime l'importance de l'échantillonnage des milieux organiques par rapport à l'échantillonnage total.

La figure 31 présente la proportion occupée par chaque formation végétale dans chaque région écologique. Il ressort de cette figure les remarques suivantes:

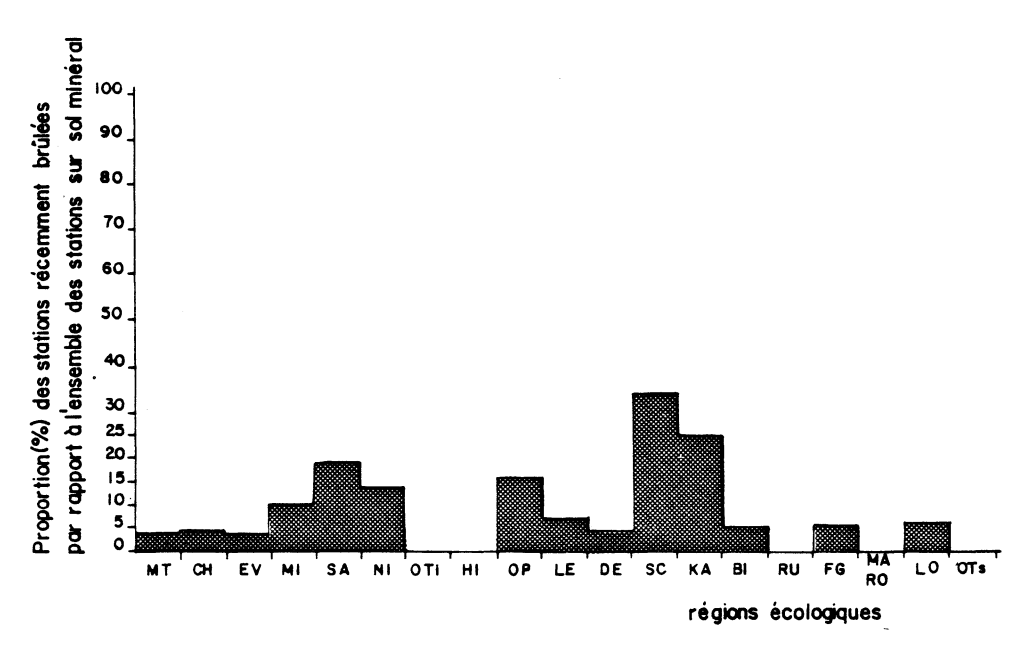


Figure 29 Fréquence des stations écologiques de référence sur brûlis récents par rapport à l'ensemble des stations sur sols minéraux par région écologique

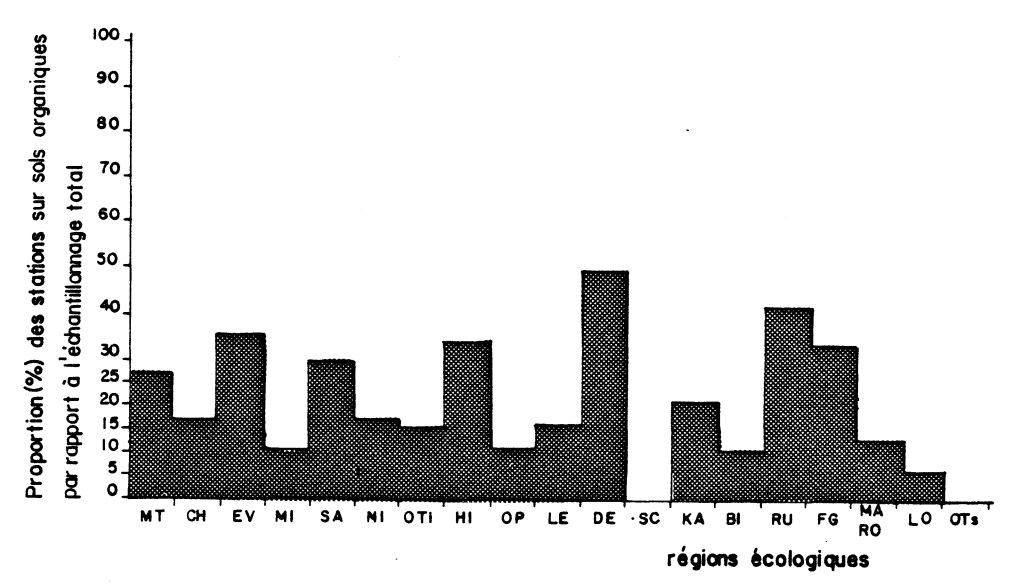


Figure 30 Fréquence des stations écologiques de référence sur sols organiques par rapport à l'échantillonnage total par région écologique

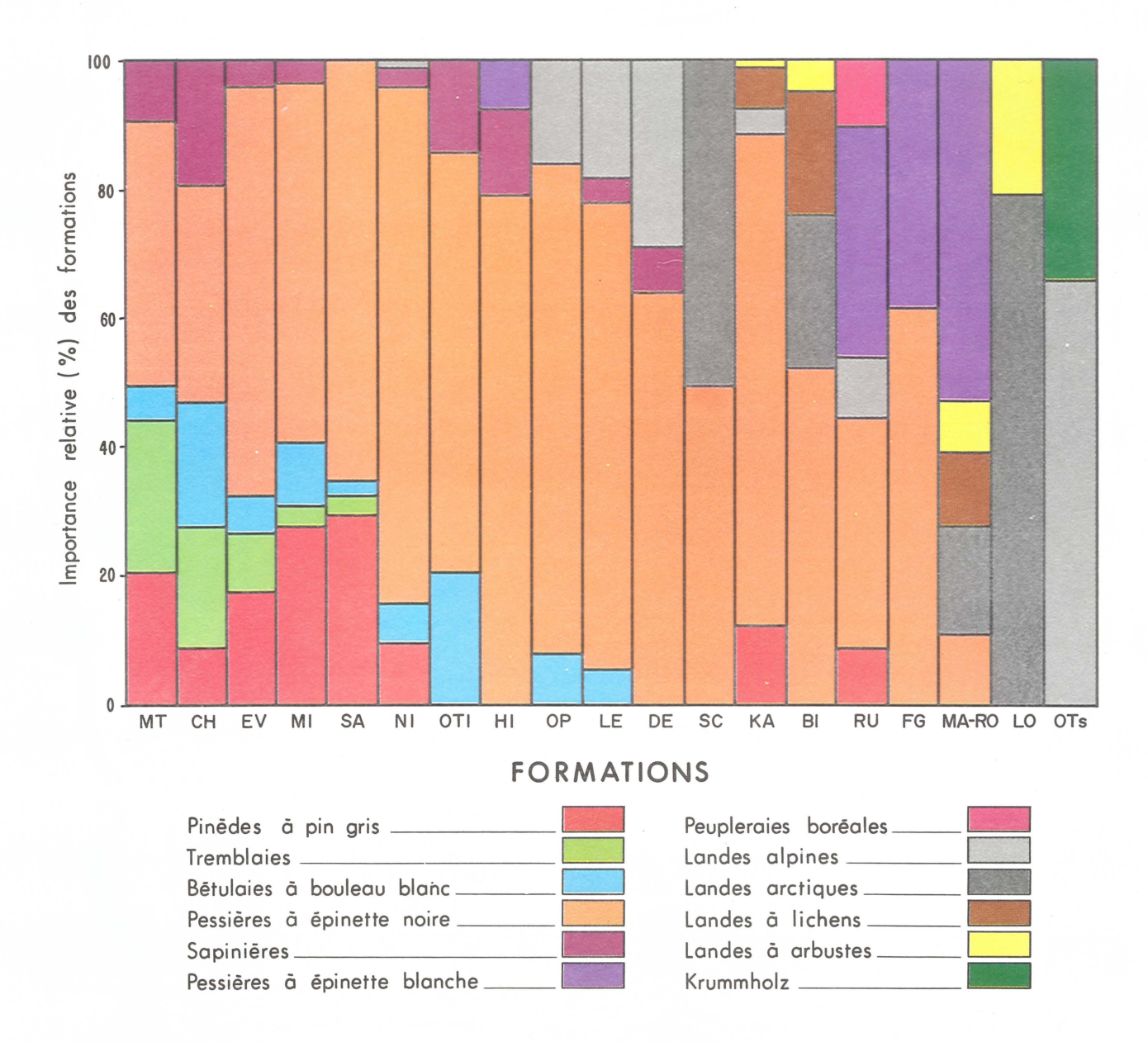


Figure 31. Distribution des formations végétales à travers les régions écologiques

- les pessières à épinette noire constituent la formation la plus importante dans l'ensemble du territoire,
- la proportion de cette formation augmente du sud vers le nord,
- la tremblaie constitue la formation la plus méridionale et caractérise surtout la zone boréale, quoique pénétrant partiellement le Moyen-Subarctique,
- la pinède, de plus grande amplitude que la tremblaie, est toutefois absente du quart nord-est du territoire,
- la bétulaie se rencontre essentiellement dans le Boréal et le Bas-Subarctique, mais au nord de la zone boréale, elle colonise presque exclusivement les colluvions bien drainés et moyennement bien drainés, avec seepage,
- la sapinière est de faible importance dans le territoire. Elle est toutefois trois fois plus fréquente à l'est qu'à l'ouest. Cette limite est-ouest coïncide assez précisément avec l'iso-hyête 400 mm des précipitations de mai à septembre. Elle est exclue d'une bonne partie du Haut-Subarctique, de tout l'Hémiarctique et de l'Arctique,
- la lande arctique est, par définition, limitée à l'Hémiarctique et à l'Arctique,
- les krummholz sont limités à l'étage supérieur de la région écologique des monts Otish,
- les pessières à épinette blanche caractérisent toutes les régions écologiques en bordure de la baie James et de la baie d'Hudson et se retrouvent aussi dans la région écologique du lac Hippocampe.

En subdivisant les formations végétales en fonction de quatre groupes d'espèces écologiquement importantes, à savoir:

- 1. les groupements dominés par les cladonies,
- 2. les groupements dominés par les mousses et herbacées,
- 3. les groupements dominés par les sphaignes,

- 4. les groupements où le sapin est présent, on obtient une image plus fine de la végétation de chaque région écologique (fig. 32). D'après cette figure on peut établir:
 - que les cladonies augmentent du sud vers le nord avec un optimum dans la région écologique du lac Bienville,
 - que les mousses et herbacées diminuent dans une proportion inverse,
 - que le sapin est au maximum dans les régions écologiques du lac Hippocampe et des monts Otish (étage inférieur).

Les figures 33, 34 et 35 reprennent les données des figures 31 et 32 et présentent une vue plus compartimentée de la végétation des régions écologiques.

4.3 DESCRIPTION DES REGIONS ECOLOGIQUES

Afin de fournir au lecteur une vue complète des régions écologiques du Territoire de la Baie-James, nous reprenons ici de larges extraits de l'article de Ducruc $et\ al.$, (1976); nous complétons à partir des éléments fournis par la classification phytoécologique, auxquels nous ajoutons les chronoséquences des trois principales caténas, soit les sables, les tills et les argiles (incluant les limons) en n'en considérant, toutefois, que les membres bien à modérément bien drainés. Nous ajoutons, finalement, une vue synthétique de la distribution des communautés végétales dominant le paysage de chaque région écologique.

Les régions écologiques sont présentées d'ouest en est et du sud au nord à l'intérieur des zones et des sous-zones biologiques respectives. Pour mieux suivre cet exposé, nous référons le lecteur à la carte des régions écologiques (figure 36). Les modifications apportées à la carte des régions écologiques préliminaires (Ducruc $et\ al.$, 1976) sont étudiées à l'intérieur des zones, des sous-zones ou des régions écologiques concernées.

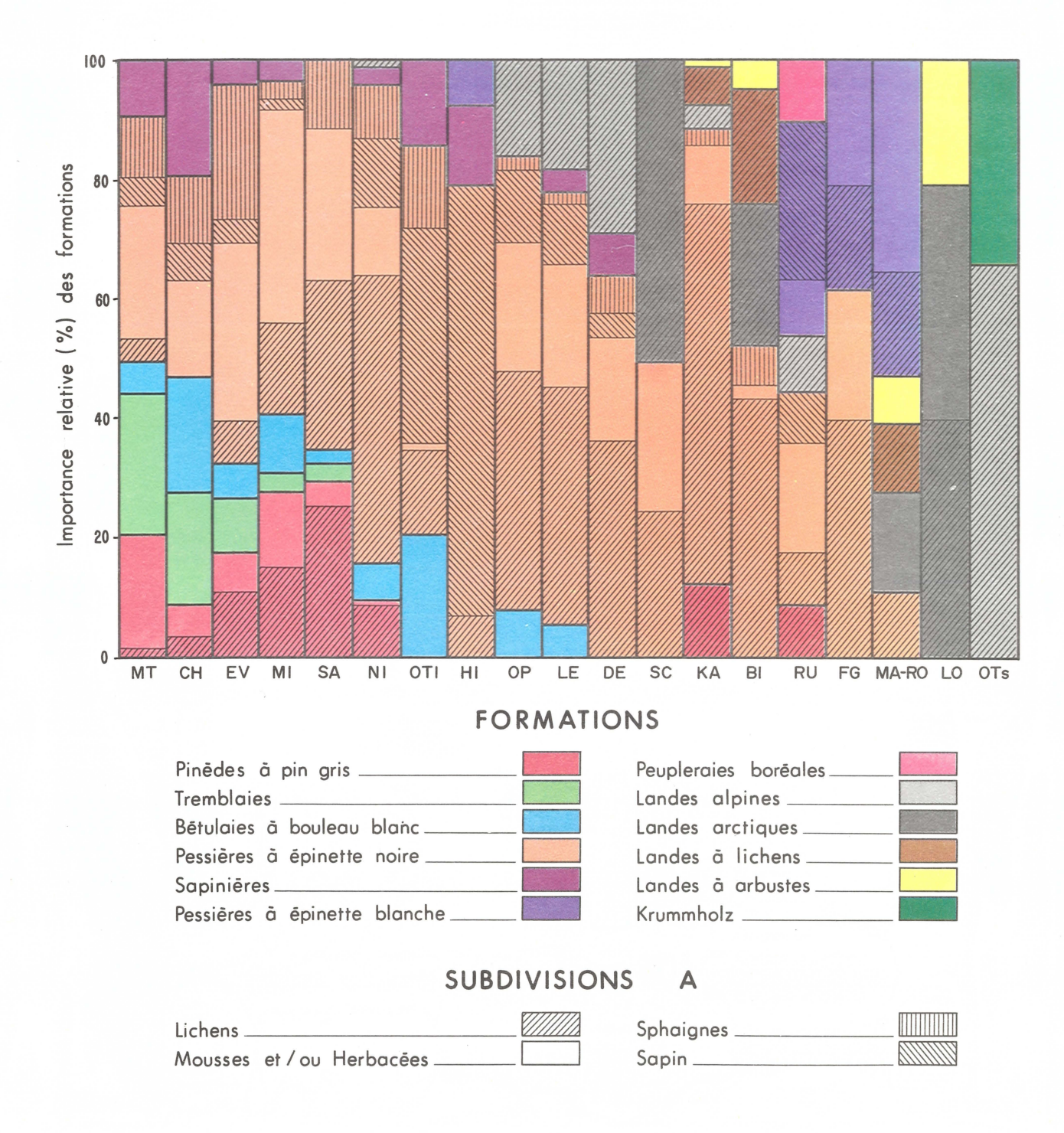


Figure 32. Subdivision des formations végétales en fonction de la dominance des lichens, des mousses, des sphaignes et de la présence du sapin

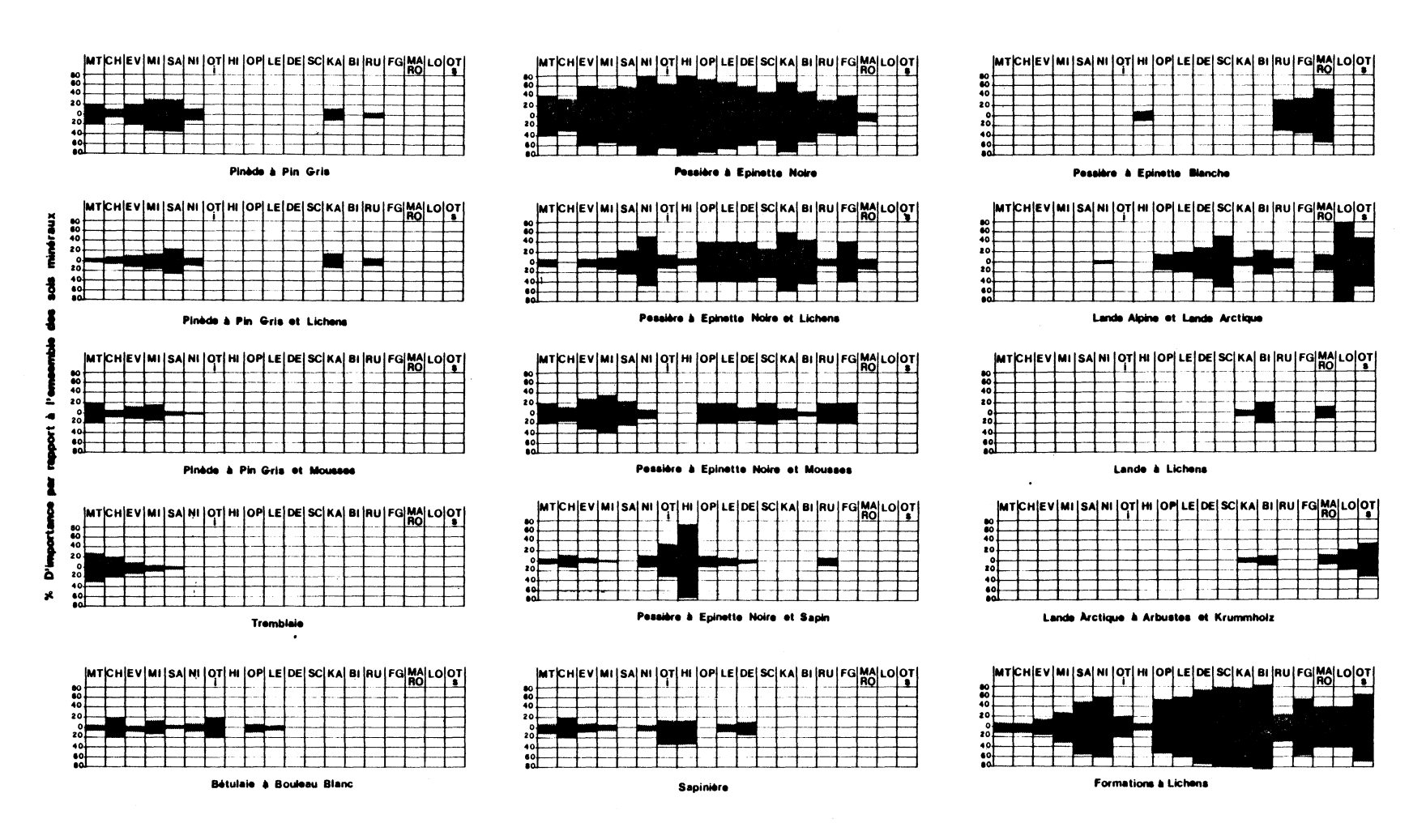
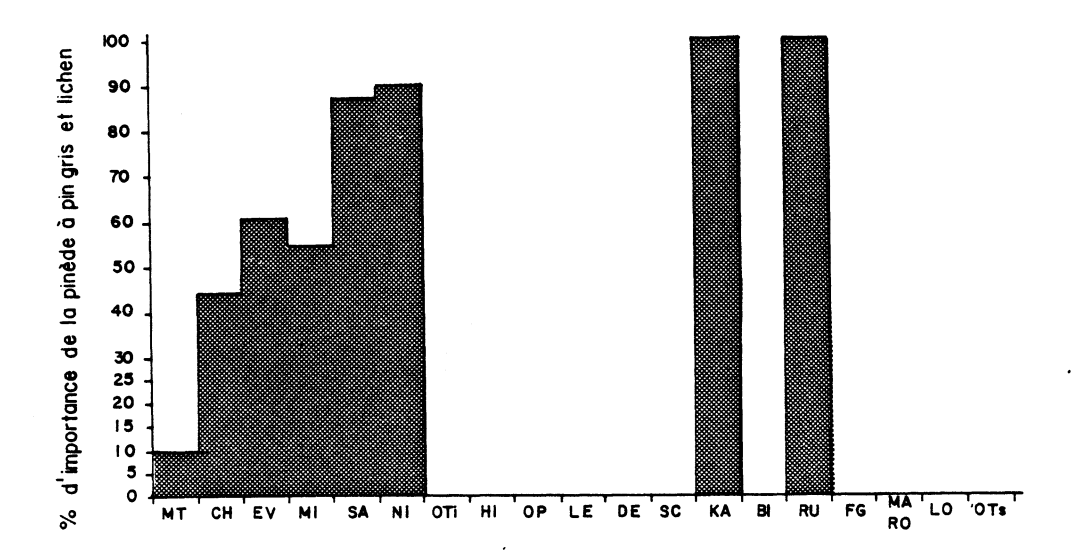


Figure 33 Importance de chaque formation et de quelques groupements par rapport à l'ensemble des sols minéraux pour toutes les régions écologiques



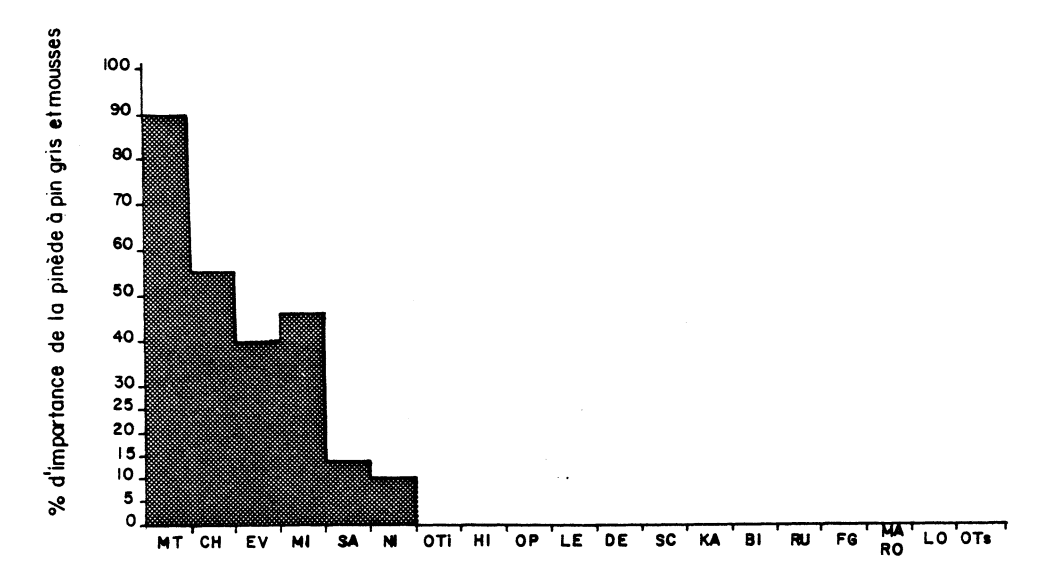


Figure 34 Importance relative de la pinède à cladonies et de la pinède à mousses par rapport à l'ensemble des pinèdes à pin gris par région écologique

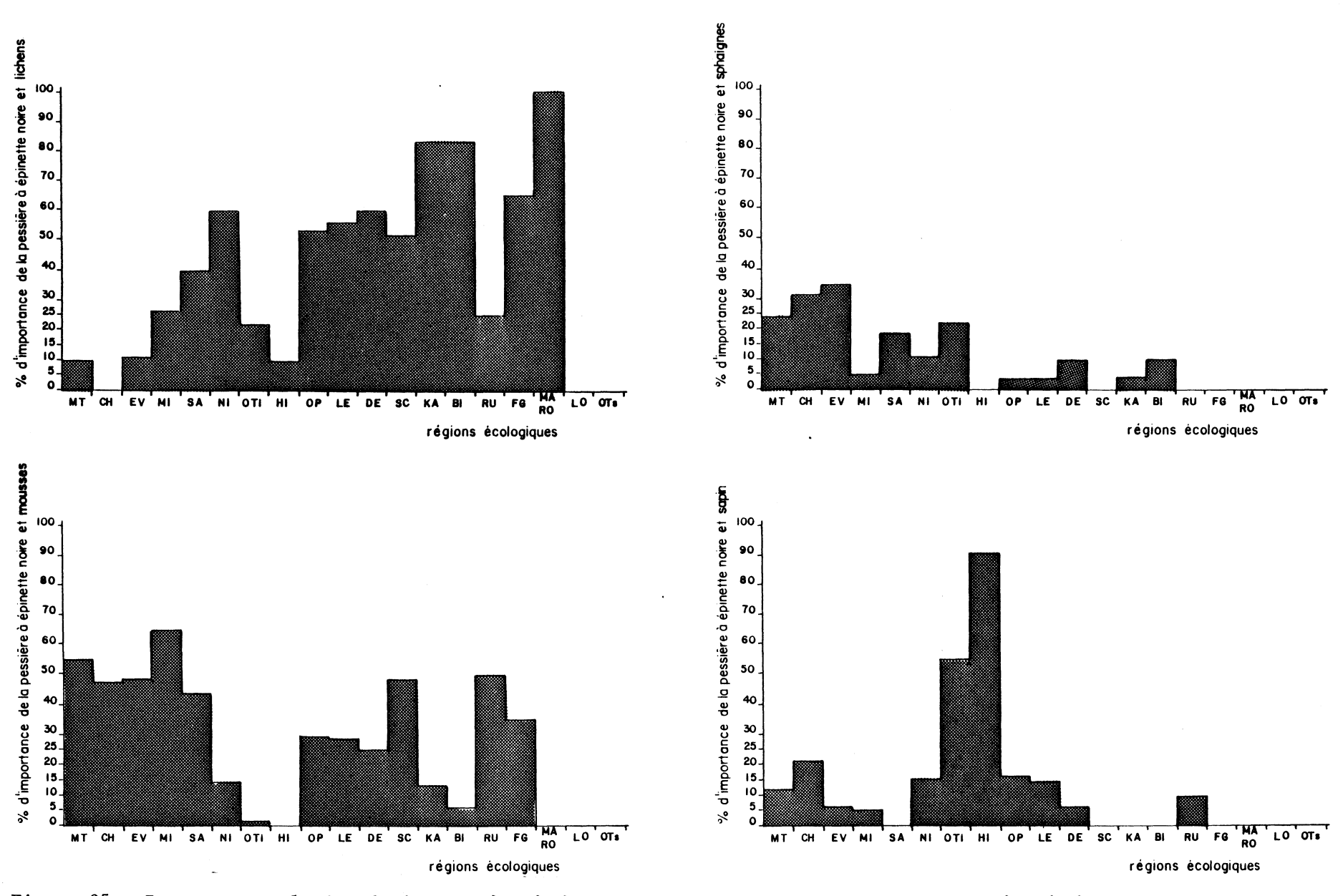


Figure 35 Importance relative de la pessière à épinette noire et cladonies, de la pessière à épinette noire et mousses, de la pessière à épinette noire et sapin et de la pessière à épinette noire et sphaignes par rapport à l'ensemble des pessières à épinette noire par région écologique

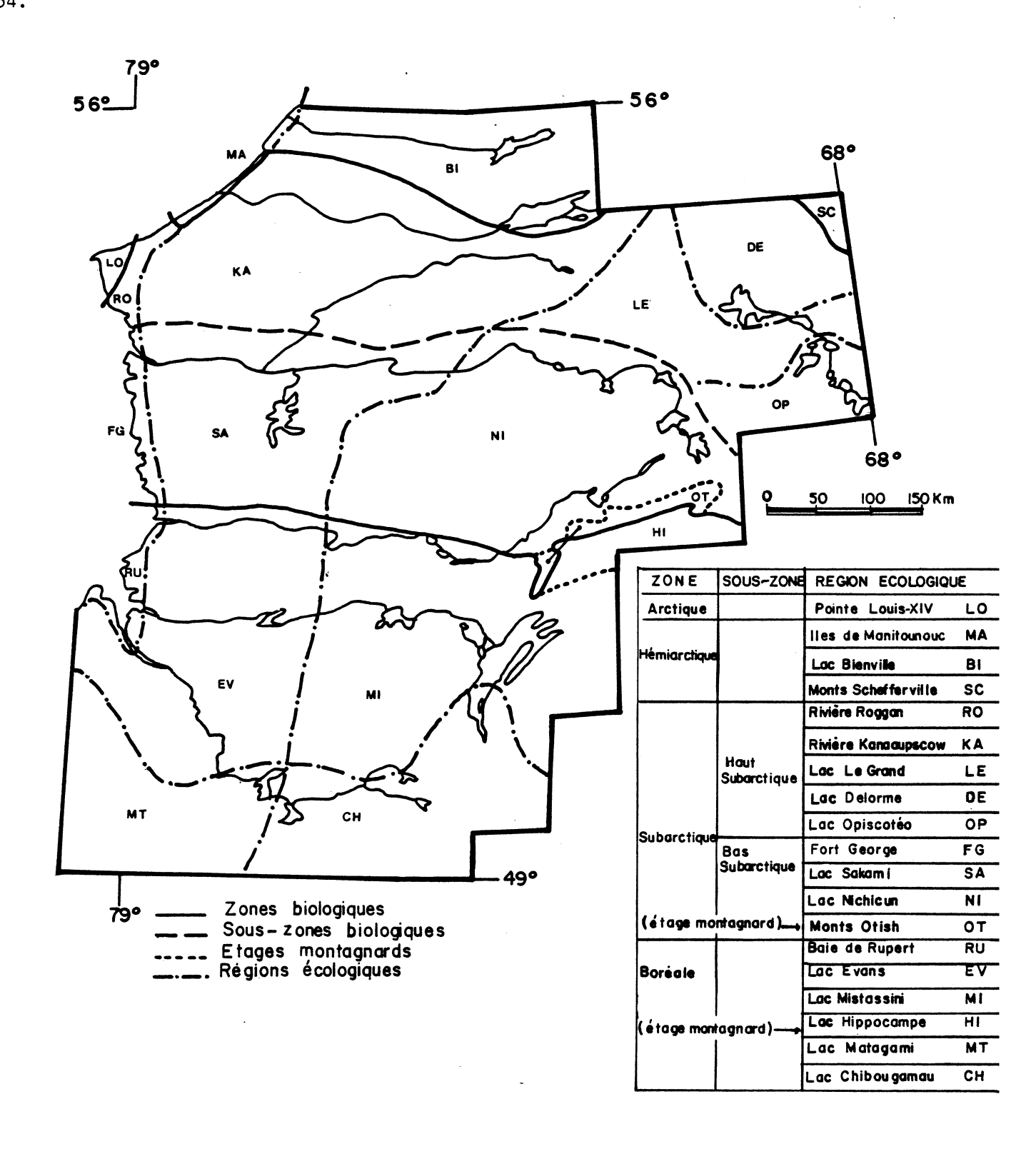


Figure 36 Les régions écologiques du Territoire de la Baie-James (modifiée d'après Ducruc et αl ., 1976)

Nous présentons, de plus, quatre cartes climatiques établies d'après Wilson (1971) (figures 37, 38, 39, 40).

4.3.1 LES ZONES ET LES SOUS-ZONES BIOLOGIQUES

La figure 41 présente les zones et sous-zones biologiques telles que modifiées d'après Ducruc $et\ al.$, (1976).

4.3.1.1 ZONE BOREALE

"Nous préférons utiliser le terme boréal, consacré par de nombreux auteurs, que celui de tempéré selon Rousseau (1952). Elle recouvre la partie la plus méridionale du territoire de la Baie-James et est caractérisée par des forêts claires à mousses et herbacées. Nous rejoignons ici le grand domaine climacique de la pessière à épinette noire et mousses hypnacées décrit par Lafond et Ladouceur (1970)" (Ducruc $et\ al.$, 1976). La limite de la zone boréale placée par Ducruc $et\ al.$, (1976) aux environs du 50^e degré de latitude Nord est déplacée vers le nord pour inclure le Bas-Subarctique dont ces auteurs font mention. Plusieurs raisons militent en faveur de cette nouvelle limite. D'ailleurs Ducruc $et\ al.$ (1976) avaient déjà proposé cette modification lorsqu'ils écrivaient:

"Mais la limite séparant le moyen-subarctique du bassubarctique apparaît, aussi bien pour ses caractéristiques de végétation que ses caractéristiques climatiques, comme une limite très forte, certainement d'un ordre différent. Pour deux raisons majeures, nous pensons que le bas-subarctique devrait être partie intégrante de la zone boréale: nous passons d'un sous-bois à lichens à un sous-bois à mousses et de forêts très ouvertes à des forêts claires. Cette impression est confirmée par les faits suivants:

- Hare (1959) place ici la limite entre "lichen woodland" et "closed-crown forest";
- Lafond et Ladouceur (1970) font finir le climax de la pessière à épinette noire (*Picea mariana* (Mill.) BSP.) à mousses et *Ledum* et débuter le climax de la pessière à épinette noire avec *Cladonia* et *Betula glandulosa*;
- Rousseau (1974) sépare la zone bioclimatique 3 (zone subarctique) de la zone bioclimatique 4 suivant cette limite.

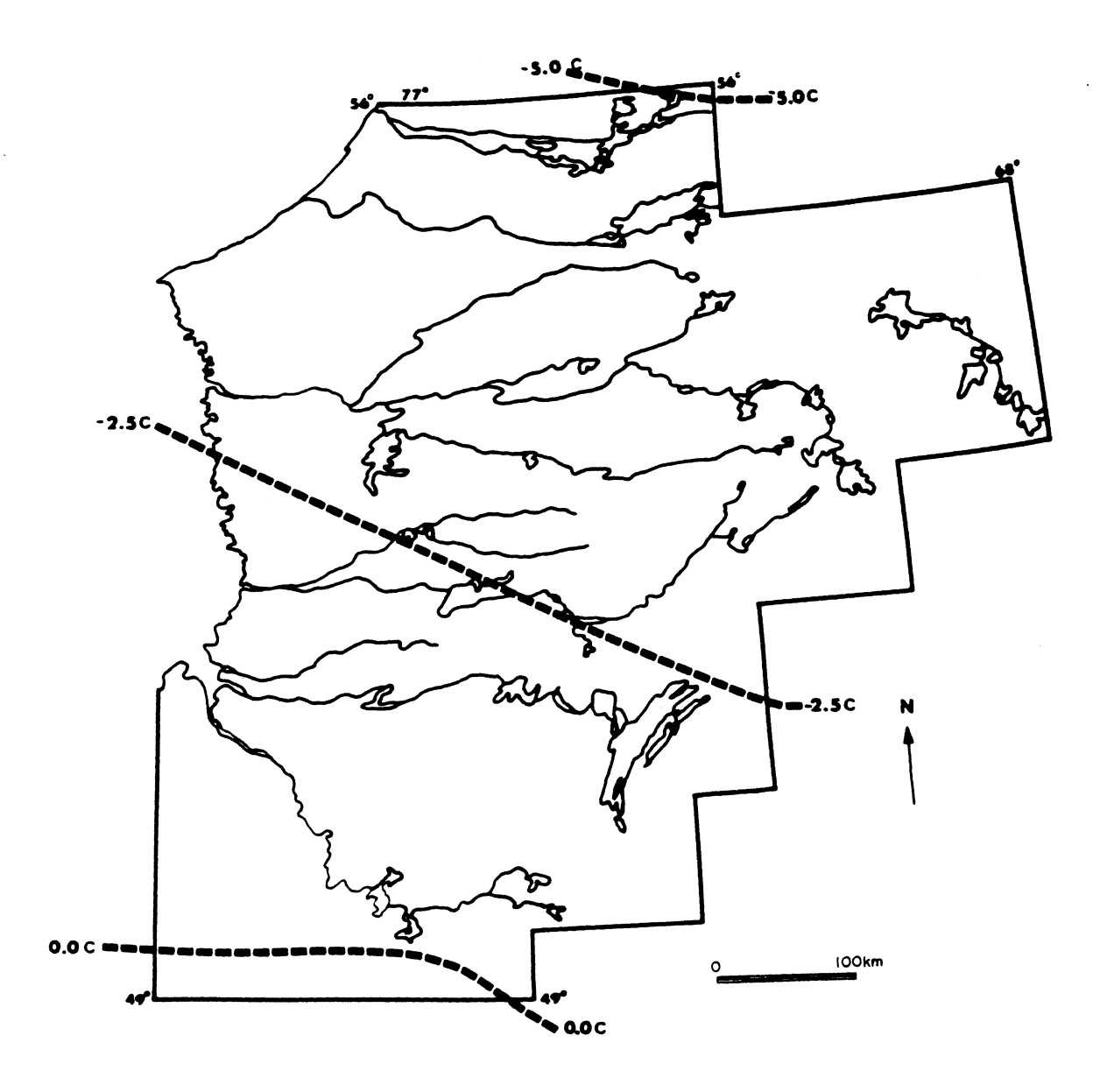


Figure 37 Isothermes de la température moyenne annuelle du Territoire de la Baie-James (d'après Wilson 1971)

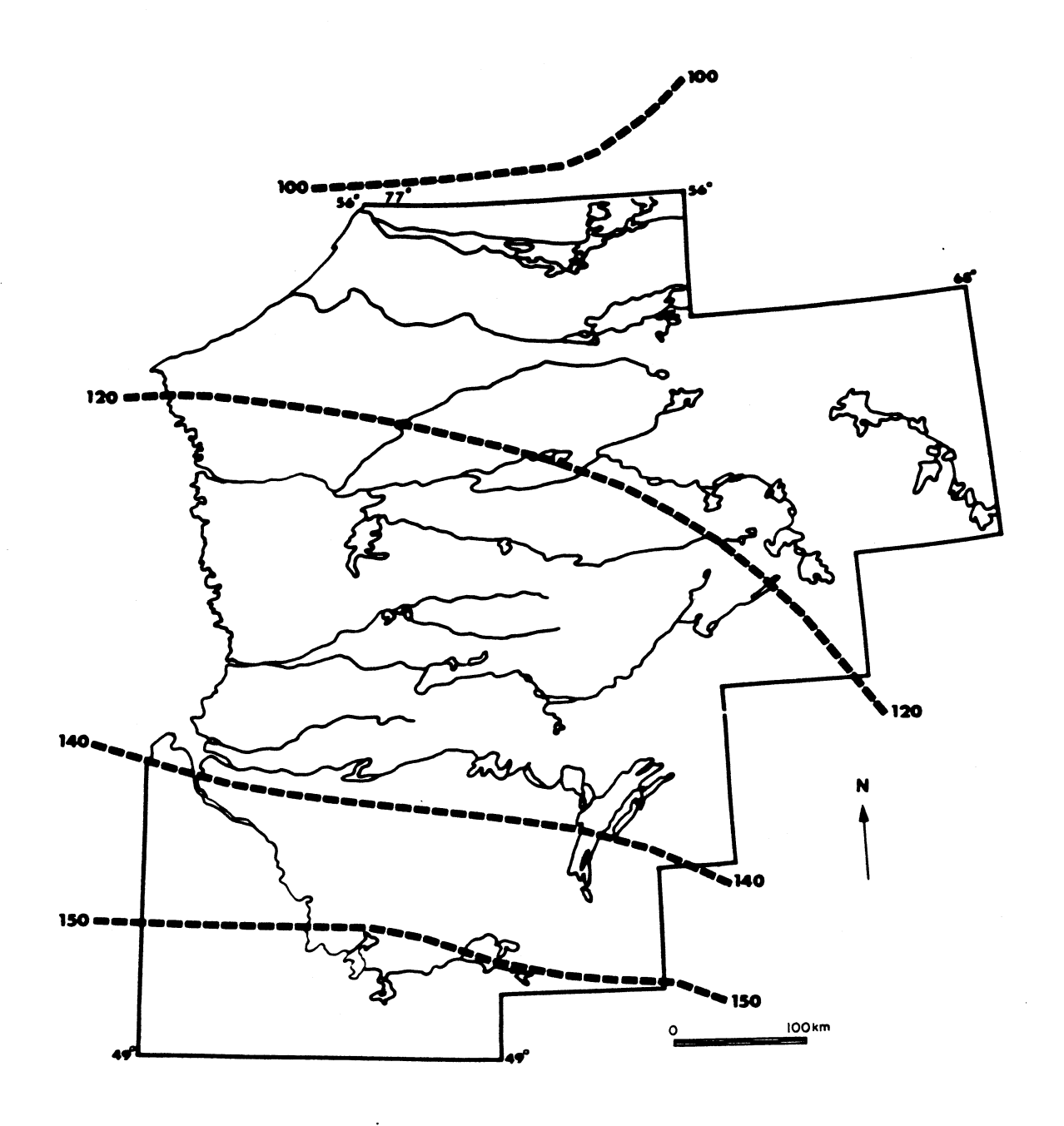


Figure 38 Isolignes de la durée annuelle moyenne de la saison de croissance, en jours, du Territoire de la Baie-James (d'après vilson. 1971)

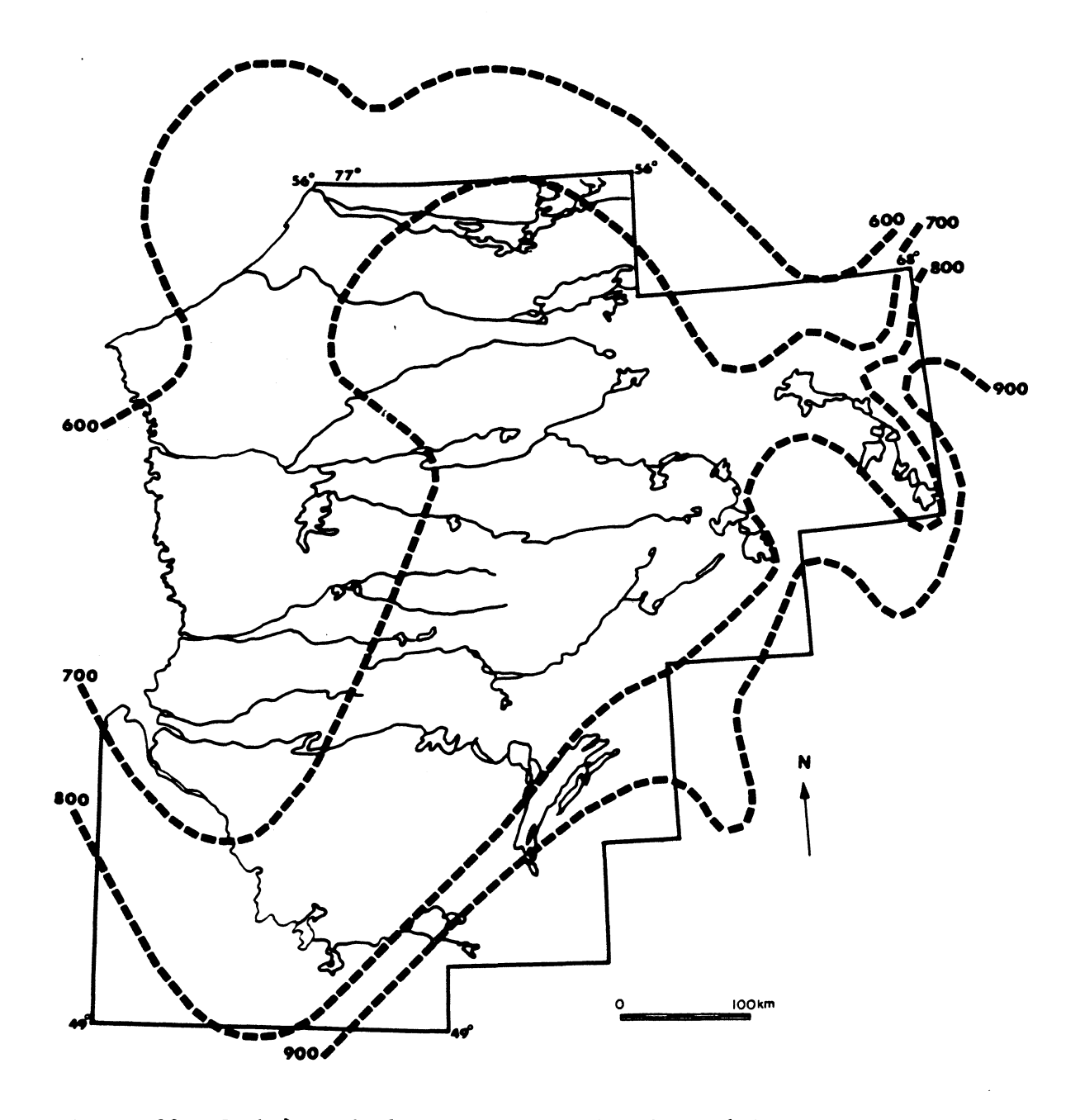


Figure 39. Isohyètes de la moyenne annuelle des précipitations totales, en mm, du Territoire de la Baie-James (d $^{\circ}$ après Wilson, 1971)

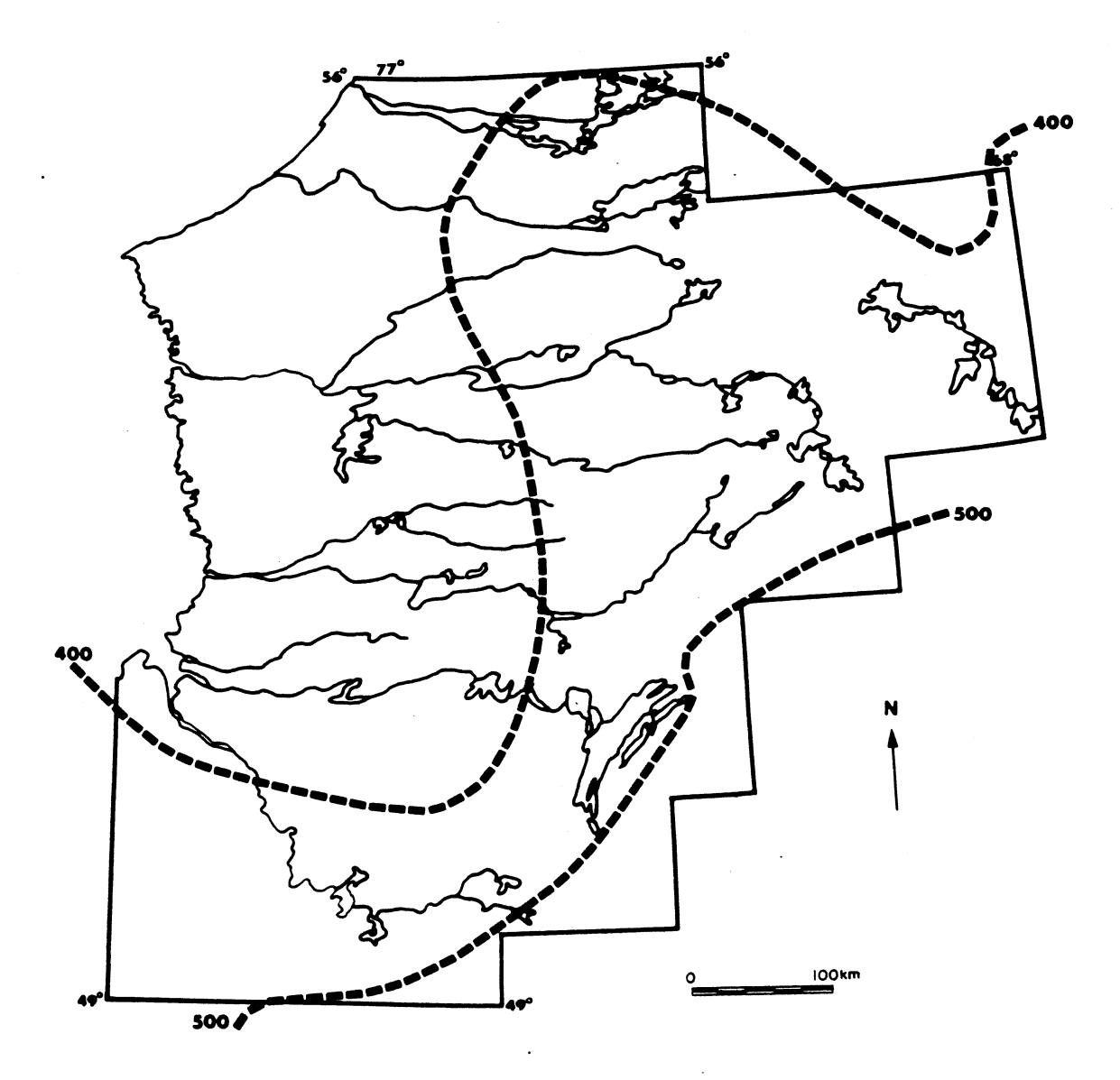


Figure 40 Isohyètes de la moyenne des précipitations de mai à septembre, en mm, du Territoire de la Baie-James (d'après Wilson, 1971)

•

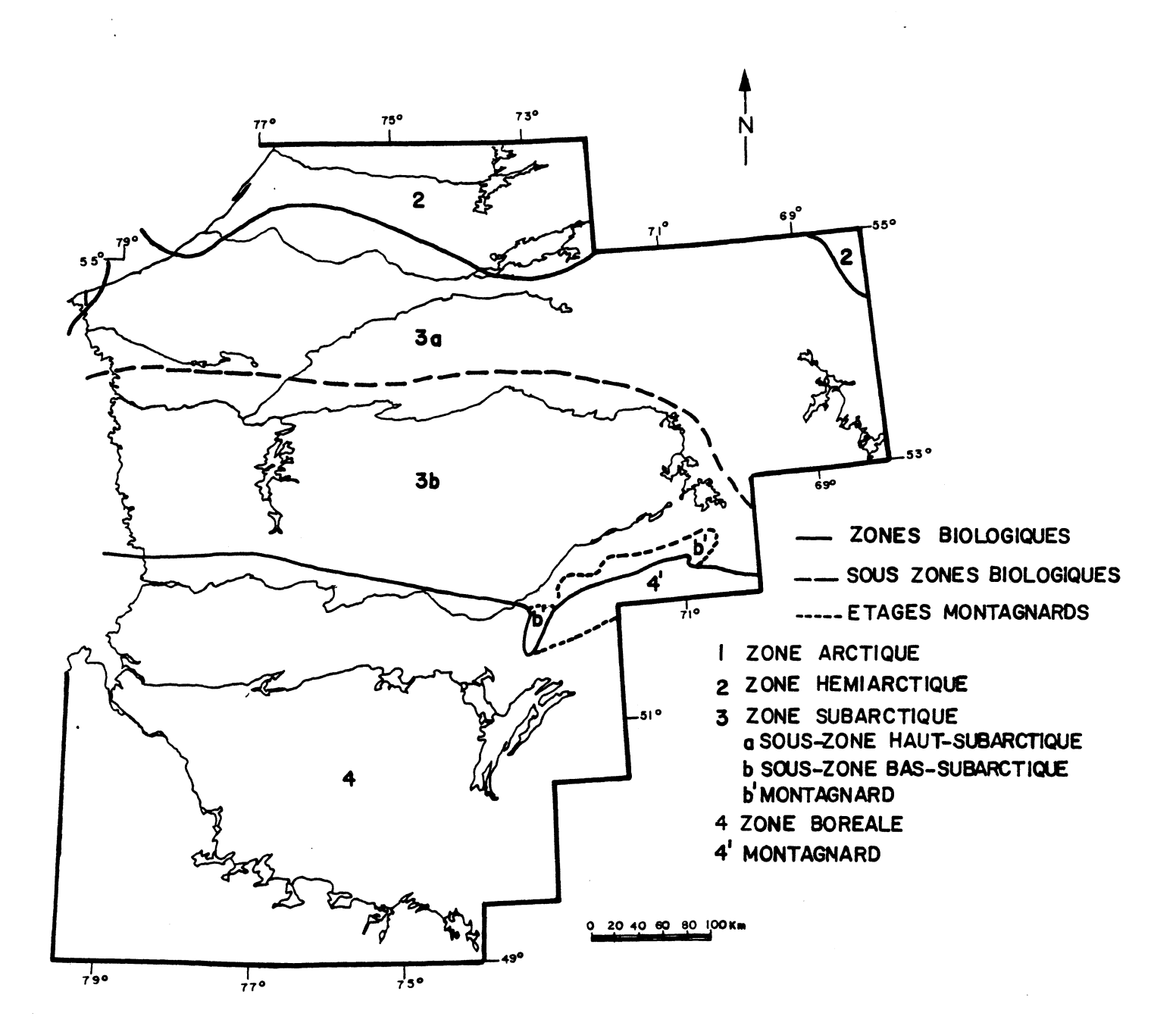


Figure 41 Les zones et les sous-zones biologiques du Territoire de la Baie-James (modifié d'après Ducruc et αl ., 1976)

"Signalons aussi qu'il est traditionnel de placer la limite extrême de la forêt commerciale sous ces latitudes, fait encore confirmé actuellement par le plan des unités de gestion forestière du ministère des Terres et Forêts du Québec, dont les limites septentrionales coïncident assez étroitement avec la limite proposée entre le moyen-subarctique et le bas-subarctique".

L'analyse de la végétation confirme nettement l'hypothèse de ces auteurs (figure 32). Cette limite du Boréal permettrait, en outre, de maintenir l'extension de la tremblaie presque exclusivement à l'intérieur de cette zone.

On observe à la figure 41 que nous avons ajouté aux zones et aux sous-zones une subdivision supplémentaire: l'étage montagnard. En effet, même si théoriquement la zonation des écosystèmes montagnards présente une forte analogie avec la zonation en plaine, ces écosystèmes sont soumis à des variations climatiques très puissantes qui imposent un déterminisme écologique différent de celui prévalant dans les zones biologiques avoisinantes. En fait, les territoires montagnards peuvent être considérés comme des unités biogéographiques azonales puisque la distance de l'équateur n'est plus le facteur déterminant quant à la distribution de la végétation. Cependant Walter (1973) est d'avis qu'il est plus approprié d'analyser la végétation montagnarde dans le cadre de la zone biologique à laquelle elle appartient géographiquement. En effet, il est clair qu'un territoire montagnard dans la zone boréale possèdera malgré tout des éléments floristiques boréaux qu'on ne retrouvera pas dans un territoire montagnard situé dans l'Arctique ou dans la zone tropicale.

La zone boréale comprend donc maintenant les régions écologiques suivantes:

- lac Matagami
- lac Chibougamau
- baie de Rupert
- lac Evans
- lac Mistassini
- lac Hippocampe.

La région écologique des monts Otish aurait dû être intégrée dans la zone boréale puisque Ducruc $et\ \alpha l$. (1976) suggéraient de ramener tout le Bas-Subarctique dans le Boréal. Cependant, à cause de la physionomie plus ouverte et de la composition floristique dominée par les lichens sur les stations mésiques (sans seepage) de l'étage inférieur de cette région écologique cette dernière appartient plutôt au Subarctique.

4.3.1.2 ZONE SUBARCTIQUE

"Au sud de l'hémiarctique et sur près de cinq degrés de latitude, Rousseau (1952) définit la zone subarctique comme un parc aux arbres espacés rejoignant ainsi le terme "open boreal woodland" proposé par Hare (1950)" (Ducruc et αl ., 1976).

Des trois sous-zones proposées par Ducruc $et\ al.$, (1976) il n'en reste que deux. La sous-zone du Bas-Subarctique correspondant au Moyen-Subarctique de ces auteurs et la sous-zone du Haut-Subarctique qui ne change pas d'appellation.

Sous-zone du Bas-Subarctique

"plusieurs isolignes climatiques synthétiques suggèrent sa limite méridionale aux environs du $53^{\circ}30$ '. En effet, cofincident là l'isoligne de la date moyenne de la fin de l'hiver (30 avril), l'isoligne de la date moyenne à laquelle la température moyenne quotidienne dépasse 10° C au printemps et l'isoligne de la date moyenne à laquelle la température moyenne quotidienne tombe audessous de 10° C en automne (Wilson, 1971). Cette limite méridionale est confirmée par de très fortes discontinuités dans la végétation." (Ducruc et al., 1976).

En pénétrant dans cette sous-zone, nous quittons le domaine des forêts claires pour entrer dans celui des forêts très ouvertes (le couvert forestier devient inférieur à 40 p. 100 mais reste supérieur à 25 p. 100). Les lichens remplacent les mousses dans le sousbois. Chamaedaphne calyculata et Empetrum nigrum ont ici leur limite méridionale dans les stations sur till bien drainé alors que sur ces mêmes stations le bouleau à papier est à sa limite nord (Gerardin $et\ al.$, 1975). La limite nord de cette sous-zone est aux abords de l'isoligne 1200 du nombre annuel de degrés-jours de croissance (Wilson, 1971) et correspond à une forte limite écologique; nous quittons le domaine forestier pour entrer dans celui des landes boisées. On reconnaît un étage montagnard: celui des monts Otish.

Sous-zone du Haut-Subarctique

"Elle correspond au domaine de la lande boisée, limitée au sud par l'isoligne 1200 du nombre annuel de degrés-jours de croissance (Wilson, 1971)." (Ducruc $et\ al.$, 1976).

Nous proposons ici une modification aux limites entre le Subarctique et l'Hémiarctique qui déplacera conséquemment les limites du Haut-Subarctique. Ducruc et al. (1976) suggèrent que la limite méridionale de l'Hémiarctique coïncide avec la disparition des landes arctiques lesquelles correspondent à nos landes alpines. Or, comme en témoignent les figures 31 et 32, la lande alpine peut se retrouver jusque dans la région écologique du lac Opiscotéo. Nous proposons donc de limiter à l'Hémiarctique les régions écologiques des Îles de Manitounouc, du lac Bienville et des monts Schefferville. Le Haut-Subarctique s'infléchira donc vers le sudest pour englober la région écologique du lac Opiscotéo et remontera vers le nord-est pour inclure la région écologique du lac Delorme. Ainsi la limite inférieure du Haut-Subarctique coïncidera avec plus de précision à l'isoligne 1200 du nombre annuel de degrés-jours de croissance. Elle se définira d'autre part par une présence systématique de landes alpines sur les sommets les plus exposés (figures 31 et 32).

4.3.1.3 ZONE HEMIARCTIQUE

"Rousseau (1952) définit cette zone comme une émulsion de parcelles arctiques et de parcelles subarctiques. De nombreux auteurs ont depuis souligné à nouveau cette dualité d'interfluves toundroldes et de vallées boisées (Rousseau, 1968; Payette, 1975; Ducruc et Zarnovican, 1976). Cependant, dans la partie la plus méridionale de l'hémiarctique, celle se rapportant à notre étude, même s'il subsite encore quelques landes arctiques sur

les sommets et les stations les plus exposées, la majorité des groupements non arborés sont des landes à lichens. Nous avons déjà souligné la similitude physionomique entre landes arctiques et landes à lichens qui peut prêter à confusion lors d'un survol rapide, la différence essentielle étant strictement floristique. Si, dans certains cas plutôt limités, l'action du feu peut être invoquée pour expliquer ces formations (Gerardin et αl ., 1974) nous sommes plutôt d'avis de les considérer d'origine climatique. Ainsi, ce domaine des landes à lichens pourrait bien faire le lien entre le subarctique boisé au sud et une sous-zone hémiarctique plus nordique dans laquelle les landes arctiques deviendraient prépondérantes. Peut-être pouvons-nous rattacher l'hémiarctique du territoire de la baie de James à la sous-zone forestière de l'hémiarctique définie par Payette (1975). La limite méridionale de l'hémiarctique est marquée par la disparition des landes arctiques (sur les sommets et les stations exposées) et la fin de la dominance des landes à lichens. Elle co incide avec l'isoligne 800 degrés-jours définie par Gagnon et Ferland (1967)." (Ducruc $et \ al.$, 1976).

Pour les raisons invoquées dans le paragraphe consacré au Haut-Subarctique, l'Hémiarctique se limite aux régions écologiques des Îles Manitounouc, du lac Bienville et des monts Schefferville, donnant ainsi plus d'importance à la lande arctique et excluant, par la même occassion, la sapinière.

4.3.1.4 ZONE ARCTIQUE

"Non reconnu par Rousseau (1952, 1968), cet avant-poste arctique, sans doute le plus méridional du globe (compris entre les latitudes $54^{\circ}30$ 'N et $54^{\circ}45$ 'N) se rattache vraisemblablement à la région A9 (îles Belcher) de cet auteur (Rousseau, 1968). Dutilly et al., (1958) soulignent cependant son existence et considèrent cette portion du territoire comme une zone bas-arctique. Elle est caractérisée par le domaine des landes arctiques et ses limites continentales coïncident avec deux types de coupures dans le couvert végétal, confirmées par une forte limite climatique:

- la première césure dans la végétation est physionomique puisqu'elle correspond à la limite des arbres;
- la deuxième césure est d'ordre floristique et les limites de la zone correspondent à la limite d'extension des plantes arctiques suivantes: Arenia ultiginosa Schleich., Carex atrofusca Schk., Carex misandra R. Br., Carex williamsii Britt., Deschampsia pumila (Trin.) Ostif.,

Koenigia islandica L. et Carex norvegica Retz. (Dutilly et al., 1958; Zarnovican et al., 1976).

Climatiquement, l'isohyète 600 mm de moyenne annuelle des précipitations totales (Wilson, 1971) confirme la limite continentale de cette zone, précédemment définie par les coupures observées dans le couvert végétal." (Ducruc $et\ \alpha l$., 1976).

La limite proposée par Ducruc $et\ al.$, (1976) est ici légèrement modifiée afin d'exclure de cette zone toute forme de végétation arborescente. La zone arctique s'en tient donc exclusivement à la partie basse de cette pointe n'excédant pratiquement pas 50 m d'altitude.

4.3.2 LES REGIONS ECOLOGIQUES

Zone boréale

Région écologique du lac Matagami

"Hormis dans les strates inférieures, où l'addition des herbacées au tapis muscinal indique une plus grande richesse du milieu, les types physionomiques de végétation dominants sont très ressemblants avec ceux rencontrés dans les régions écologiques du lac Evans et du lac Mistassini." (Ducruc et αl ., 1976).

Par contre l'analyse des groupements végétaux révèlent beaucoup plus de différences (figures 31, 32, 33) que ne le laisse entre-voir les seuls types physionomiques. Les lichens occupent une place minime et la tremblaie y est de 3 à 8 fois plus importante que dans les régions écologiques des lacs Evans et Mistassini. Ces distinctions d'ailleurs se réflètent bien à travers les chronoséquences (tableau 187).

Tableau 187 Chronoséquences des membres bien drainés des trois principales caténas de la région écologique du lac Matagami

Types écologiques synthétiques	Chronoséquences
A23	$(PG-alr/TR-rp/BB) \rightarrow (EN-m/EN-m-sb)$
A23*	TR-alr → SB-m
T2	$(PG-m/TR-en) \rightarrow EN-m$
T2*	BB → SB-m
S23	$(PG-m/TR-en) \rightarrow EN-m$
S23*	TR-sb → (SB-m/SB-bb-as)

C'est la région écologique la plus diversifiée quant aux groupements végétaux; 14 groupements dominent le paysage. Ces groupements représentent 82 p. 100 de l'échantillonnage régional. Dans les conditions normales, la pessière à épinette noire et mousses (EN-m) et la pessière à épinette noire, mousses et Ledum groenlandicum (EN-m-lg) représentent les stades terminaux les plus fréquents. Quant aux stades pionniers, ils sont également partagés entre les tremblaies (TR-en, TR-alr, TR-rp, TR-alc) et les pinèdes à pin gris (PG-m, PG-alc, PG-alr). La pessière à sphaignes et Ledum groenlandicum (EN-s-lg) occupe les sols mal drainés. Sur les stations profondément perturbées par le feu, la pessière à cladonies (EN-ca) semble favorisée. Sur les sols riches et bien drainés les sapinières (SB-eb, SB-m) et la bétulaie à bouleau blanc (BB) s'installent.

Région écologique du lac Chibougamau

"La décision de distinguer ces deux régions écologiques de la zone boréale est tout aussi arbitraire et subjective, pour le moment, que celle prise pour séparer, ..., la région écologique du lac Evans de la région écologique du lac Mistassini. Cependant, nous restons persuadés après compilation très succinte et très préliminaire des relevés de végétation, qu'il existe des différences floristiques très nettes entre ces deux régions que les études phytoécologiques en cours préciseront. Temporairement, la cote altitudinale de 300 m sert de limite. Nous avons aussi voulu opposer la notion de basses terres, dans le cas de la région écologique du lac Matagami à la notion de hautes terres, dans le cas de la région écologique du lac Chibougamau." (Ducruc et al., 1976).

Effectivement, hormis une plus grande importance de la sapinière et de la bétulaie, accompagnée d'une diminution de la pinède à pin gris (figure 31), peu d'éléments phytoécologiques militent en faveur de deux régions écologiques distinctes. Sachant que ces différences ont été établies malgré un échantillonnage défavorable à la région écologique du lac Chibougamau, il est permis de supposer qu'un échantillonnage quantitativement comparable d'une région à l'autre ferait ressortir encore mieux ces distinctions.

Si l'on s'en tient aux seuls types socio-écologiques de végétation inventoriés dans la région du lac Chibougamau, les chronoséquences sont légèrement différentes de celles de la région écologique du lac Matagami (tableau 188).

Tableau 188 Chronoséquences des membres bien drainés des trois principales caténas de la région écologique du lac Chibougamau

Types écologiques synthétiques	Chronoséquences
A23	$(TR-rp/BB) \rightarrow (EN-m/EN-m-sb)$
A23*	SB-m
Т2	(PG-m/TR-en) → EN-m
T2*	BB → SB-m
S23	(PG-m/TR-en) → EN-m
S23*	(TR-sb/BB-sb) → (SB-m/SB-bb-as)

En apparence moins diversifié, le paysage végétal de cette région écologique ressemble tout de même à celui de la région écologique précédente. Neuf groupements rassemblent 91 p. 100 de l'échantillonnage régional. La pessière à épinette noire et mousses (EN-m) et la pessière à épinette noire, mousses et *Ledum groenlandicum* (EN-m-lg) sont les groupements terminaux les plus probables, suivis dans les stations plus riches des sapinières (SB-bb, SB-eb). Les tremblaies (TR-d1, TR-rp) et les bétulaies (BB-sb, BB) se partagent les stades pionniers après coupe ou feu. La pessière à épinette noire et sphaignes (EN-s) colonise les sols mal drainés.

Région écologique de la baie de Rupert

"Elle s'étend, le long de la côte, de l'embouchure de l'Eastmain à la péninsule du Ministikawatin. Cette région à fortes influences maritimes est encore caractérisée par l'épinette blanche, accompagnée maintenant par le sapin baumier, qui forme des forêts relativement denses (60 à 80 p. 100 de recouvrement) et de bonne taille (15 à 21 m de hauteur) sur un tapis muscinal continu" (Ducruc et al., 1976).

C'est effectivement la pessière à épinette blanche et sapin qui caractérise cette région écologique côtière. La pessière à épinette noire, quoique présente, est peu fréquente. Sur certaines pointes avancées, ainsi que sur certaines îles battues par le vent, on peut trouver des landes à caractère alpin. Mais les chronoséquences témoignent de l'importance de la pessière à épinette blanche sur les stations mésiques (tableau 189).

Tableau 189 Chronoséquences des membres bien drainés des trois principales caténas de la région écologique de la baie de Rupert

Types écologiques synthétiques	Chronoséquences
A23	EB-sb-m
A23*	EB-sb-m
Т2	EB-sb-m
T2*	EB-sb-m
S23	EB-sb-m
S23*	EB-sb-m

Région écologique du lac Evans

"En nous éloignant de la côte, l'épinette blanche disparaît au profit de l'épinette noire qui redevient prépondérante quoique toujours accompagnée de sapin baumier auquel vient s'ajouter le bouleau à papier. Les forêts atteignent un recouvrement de 60 p. 100 et une hauteur de 15 à 20 m. Le sous-bois est toujours dominé par un dense tapis muscinal." (Ducruc $et\ al.$, 1976).

Ce qui frappe dans ce paysage de basses terres est avant tout l'abondance des tourbières. Cette caractéristique se reflète aussi sur les sols minéraux où plus de 25 p. 100 de l'échantillonnage régional couvre la pessière à sphaignes (figure 32). La pessière à mousses domine le reste du territoire. La tremblaie y est nettement moins importante que dans les régions écologiques précédentes. Les groupements végétaux à lichens représentent à peine 20 p. 100 de l'échantillonnage.

Tableau 190	Chronoséquences des	membres bien drainés	des trois princi-
	pales caténas de la	région écologique du	lac Evans

Types écologiques synthétiques	Chronoséquences
A23	$(TR-alc/BB-alc-an) \rightarrow (EN-m-alc/EN-m-alc-sb)$
A23*	$TR-alc \rightarrow (EN-m-sb/EN-m-alc)$
Т2	$(PG-m/BB-alc) \rightarrow (EN-m/EN-m-alc)$
T2*	$(TR-alc/BB-alc) \rightarrow EN-m-alc-sb$
S23	PG-m-alc → EN-m
S23*	$(TR/TR-alc-bb) \rightarrow EN-m-alc-sb$

Neuf groupements végétaux regroupent 83 p. 100 de l'échantillonnage régional. Dans les stations mésiques la pessière à épinette noire et mousses (EN-m) domine, tandis qu'après feu la pinède à lichens (PG-ca) et la pinède à mousses (PG-m) s'installent. La pessière à épinette noire et sphaignes (EN-sn) se développe sur les sols mal drainés. Dans les stations plus riches la tremblaie (TR-alc), les bétulaies (BB-alc, BB-m) et la sapinière (SB-m) dominent. Sur les stations intensément perturbées par le feu, la pessière à épinette noire et lichens (EN-ca) semble presque permanente.

Région écologique du lac Mistassini

"Dans le cas de cette région, la limite proposée est assez subjective car les critères différentiels avec la région précédente sont loin d'être significatifs en l'état actuel de nos connaissances. Cependant, nous proposons, quitte à la supprimer ou à la confirmer ensuite, l'isohyète 700 mm de moyenne annuelle des précipitations totales (Wilson, 1971) comme limite entre les deux régions. Le seul indice qui mérite la peine d'être signalé est l'abondance plus marquée du sapin baumier dans cette région qui déborde, à l'est du 72°, le territoire étudié." (Ducruc et al., 1976).

Une inégale répartition de l'échantillonnage en défaveur de la partie orientale de cette région écologique, répartition grandement dépendante de la logistique, permet difficilement de confirmer ou d'infirmer la distinction établie par Ducruc $et\ al.$, (1976) entre les régions

écologiques des lacs Evans et Mistassini. Comme en témoignent les figures 31 et 32, les différences sont plutôt de degré que de nature. Malgré tout, nous pensons qu'un échantillonnage plus adéquat ferait ressortir les originalités régionales que laissent soupçonner les limites climatiques de précipitation. En effet, la région écologique de Mistassini reçoit annuellement une précipitation totale de 200 à 300 mm supérieure à celle de la région écologique du lac Evans, dont au moins 100 mm tombent sous forme de pluie de mai à septembre (Wilson, 1971). C'est pourquoi nous trouvons préférable de ne pas réunir ces deux régions écologiques.

Tableau 191 Chronoséquences des membres bien drainés des deux principales caténas de la région écologique du lac Mistassini

Types écologiques synthétiques	Chronoséquences
Т2	$PG-m \rightarrow (EN-m-1g/EN-m-alc)$
T2*	$(TR/BB-alc) \rightarrow (EN-m-alc/EN-pcc)$
S23	PG-m → EN-m
S23*	$(TR/BB-alc) \rightarrow EN-pcc$

Neuf groupements se partagent 82 p. 100 de l'échantillonnage régional. Sur les stations mésiques, les pessières à épinette noire
et mousses (EN-m, EN-pcc) dominent, quoique la pessière à épinette noire et
lichens (EN-ca) y occupe une certaine place. Sur les mêmes stations, les
pinèdes à pin gris et lichens et à mousses (PG-ca, PG-m) colonisent les
brûlis. En milieux riches, on rencontre les bétulaies (BB-en, BB-alc), les
tremblaies (TR) et la sapinière (SB).

Etage montagnard Région écologique du lac Hippocampe

"Située sur les hauts plateaux à l'arrière des monts Otish, cette région est toujours sise à l'intérieur de l'isohyète 900 mm de moyenne annuelle de précipitations totales (Wilson, 1971). Elle est recouverte par une pessière ouverte (recouvrement inférieur à 60 p. 100) à épinette noire et sapin baumier à mousses. Le port très tourmenté du sapin baumier (branches cassées, flèche terminale morte) traduit des conditions hivernales particulièrement rigoureuses pour cette espèce (pluie ou brouillards verglaçants)." (Ducruc et al., 1976)

Le sapin est certes l'espèce caractéristique de cette région écologique. Il est présent dans plus de 85 p. 100 des relevés effectués (figures 32 et 35). Il est essentiellement associé à l'épinette noire quoiqu'il existe parfois en peuplement pur. L'épinette blanche, de même que le bouleau blanc, sont aussi sporadiquement associés aux groupements de cette région écologique.

Tableau 192 Chronoséquences des membres bien drainés des deux principales caténas de la région écologique du lac Hippocampe

Types écologiques synthétiques	Chronoséquences
Т2	EN-sb-m
T2*	SB-m-bb
S23	EN-sb-m
S23*	SB-m-bb

Zone Subarctique

Sous-zone du Bas-Subarctique

Région écologique de Fort-George

"Dutilly et αl ., (1958) écrivaient déjà que, pour cette région, "la forêt n'est pas dense mais sa croissance est normale" (p. 9). C'est encore une étroite bande côtière dominée par des pessières très ouvertes à épinette blanche (25 à 40 p. 100 de recouvrement) dont les arbres présentent effectivement une bonne croissance en hauteur puisque leur hauteur moyenne est comprise entre 15 et 21 m. Un tapis muscinal dense occupe le sous-bois." (Ducruc et αl ., 1976).

Cette région côtière se distingue de celle de la baie de Rupert par la disparition de la pessière à épinette blanche et sapin, et par l'apparition de la pessière à épinette blanche et lichens. Cependant, la pessière à épinette noire et mousses est toujours présente et couvre plus de 60 p. 100 de l'échantillonnage de cette région.

Tableau 193 Chronoséquences des membres bien drainés des deux principales caténas de la région écologique de Fort-George

Chronoséquences
(EB-ca/EN-ca)
non observée
(EN-ca/EB-ca)
non observée

Quatre groupements forment l'ensemble du paysage de cette région écologique: la pessière à épinette noire et cladonies (EN-ca), la pessière à épinette blanche et mousses (EB-m), la pessière à épinette blanche et cladonies (EB-ca) et finalement la pessière à épinette noire et mousses (EN-m).

Région écologique du lac Sakami

"A nouveau, à certaine distance de la côte, l'épinette blanche cède le pas à l'épinette noire qui présente d'ailleurs une moins bonne croissance: les arbres atteindront rarement 15 m, se cantonnant plutôt autour de 10-12 m. Une pessière à épinette noire, très ouverte, parfois ouverte (25 à 60 p. 100 de recouvrement avec une dominance très marquée dans la classe 25-40 p. 100), à mousses et Ledum groenlandicum Oeder recouvre cette région et correspond assez bien, limites et couvert végétal, avec le Eastmain shrub woodland de Hare (1959)." (Ducruc et al., 1976)

Les tremblaies trouvent ici leur limite septentrionale alors que le pin gris est à son maximum de développement (figures 31, 32, 33, 34) semblant indiquer un climat relativement sec et favorisant ainsi de nombreux incendies. La pessière à épinette noire et cladonies y est à peine plus importante que la pessière à épinette noire et mousses. Le sapin est inexistant dans cette région.

Tableau 194 Chronoséquences des membres bien drainés des trois principales caténas de la région écologique du lac Sakami

Types écologiques synthétiques	Chronoséquences
A23	$TR-lb \rightarrow (EN-m-alc/EN-m)$
A23*	$TR-1b \rightarrow (EN-m-pcc-alc)$
Т2	PG-cm-ka → EN-cm → EN-ca
T2*	EN-m-alc
S23	PG-cm-ca-ka → EN-ca
S23*	PG-m-alc → EN-m

Cette région écologique est dominée par six groupements qui représentent 81 p. 100 de l'échantillonnage régional. Le paysage dominant est formé à parts égales de pessières à épinette noire et lichens (EN-ca) et de pinèdes à pin gris et lichens (PG-ca, PG-cm). Dans les stations plus riches s'installent la pessière à épinette noire et mousses (EN-m), la tremblaie (TR-lb) et la bétulaie à bouleau blanc (BB-lb).

Région écologique du lac Nichicun

"Dans cette région apparaît une différence très nette dans la physionomie de la végétation: le tapis muscinal est remplacé par un tapis lichenique. De plus, ne subsistent que des forêts très ouvertes (le recouvrement arboré ne dépasse plus 40 p. 100). Encore une fois, ces deux différences colncident très bien avec l'isohyète 700 mm de moyenne annuelle de précipitations totales (Gagnon et Ferland, 1967; Wilson, 1971)." (Ducruc $et\ al.$, 1976)

La disparition du tapis muscinal au profit d'un tapis lichenique est illustrée aux figures 32 et 33. La pessière à cladonies devient dominante. Le pin gris, ainsi que Kalmia angustifolia atteignent dans cette région leur limite orientale. Le tremble a totalement disparu et l'aulne vert (Alnus crispa) remplace progressivement l'aulne gris (Alnus rugosa).

Tableau 195 Chronoséquences des membres bien drainés des trois principales caténas de la région écologique du lac Nichicun

Types écologiques synthétiques	Chronoséquences
A23	EN-ca-m
A23*	non observée
T2	PG-ca → EN-ca
T2*	(EN-m-sb/EN-pcc)
S23	(PG-ca/PG-ca-ka) → EN-ca
S23*	(EN-m/EN-pcc)

Sept groupements caractérisent essentiellement la végétation régionale et rassemblent 77 p. 100 de l'échantillonnage régional. Dans les conditions mésiques, la pessière à épinette noire et lichens (EN-ca) domine, et de loin, tous les autres groupements tandis que la pinède à pin gris et lichens (PG-ca) recolonise parfois les brûlis. En situation plus riche et mieux protégée, on trouve d'abord la pessière à épinette noire et mousses (EN-m), puis les bétulaies à bouleau blanc (BB-alc, BB-cb) et parfois la sapinière à mousses (SB-m). Sur quelques sommets particulièrement exposés aux vents, la lande alpine à Cetraria nivalis (ALP-cn) peut s'installer.

Etages montagnards Région écologique des monts Otish

"Par la majesté de ses paysages, c'est certainement une région naturelle des plus grandioses de la province de Québec. Nous proposons, en fonction des physionomies dominantes de la végétation, de la subdiviser en deux sous-régions. Les hauts sommets s'élèvent au-dessus de la limite altitudinale des arbres et présentent une affinité floristique depuis longtemps reconnue des botanistes avec l'Arctique. Physionomiquement, les sommets sont à rattacher aux landes arctiques des sommets hémiarctiques et de la région écologique de la pointe Louis-XIV. Les flancs des monts, recouverts de riches colluvions, supportent une forêt ouverte d'épinette noire et sapin baumier à mousses atteignant des hauteurs comparables à celles rencontrées plus au sud. De très grandes épinettes blanches, parsèment sporadiquement les forêts. Nous pouvons

alors, avec la très grande abondance de lichens arboricoles observée sur les arbres, déduire que l'humidité atmosphérique y est très élevée. Ce fait est confirmé par l'isohyète 900 mm de moyenne annuelle des précipitations totales (Wilson, 1971), qui englobe la totalité des monts Otish." (Ducruc $et\ al.$, 1976)

Etage inférieur

L'étage inférieur de cette région écologique se distingue avant tout par l'importance du sapin et du bouleau blanc (figures 31, 32) lequel colonise les premières colluvions, tout juste à la limite des arbres. La sapinière et la bétulaie s'installent dans les stations bien drainées avec seepage alors que la pessière à épinette noire et sapin occupe les sols imparfaitement drainés avec seepage (tableau 196).

Tableau 196 Chronoséquences des membres bien drainés des deux principales caténas de l'étage inférieur de la région écologique des monts Otish

Types écologiques synthétiques	Chronoséquences
Т2	EN-ca
T2*	BB-la → SB-eb-m
S23	EN-ca
S23*	BB-la → SB-eb-m

Quatre groupements végétaux dominent dans cette sousrégion et rassemblent 86 p. 100 de l'échantillonnage sous-régional. Il s'agit d'abord de la pessière à épinette noire et sapin (EN-sb) sur les sols imparfaitement à modérément bien drainés avec seepage, puis de la bétulaie à bouleau blanc (BB) sur les colluvions bien drainées avec seepage, souvent remplacée par la sapinière (SB). Finalement la pessière à épinette noire et lichens (EN-ca) colonise les sables et tills bien drainés.

Etage supérieur

Cette sous-région englobe les krummholz généralement situés sur les hauts de versants à proximité des sommets, et des landes alpines favorisées par le climat encore plus rigoureux des sommets convexes.

Quatre groupements rassemblent 88 p. 100 de la végétation de cet étage. La lande alpine à *Cetraria nivalis* (ALP-cn) et la lande alpine à *Rhacomitrium lanuginosum* (ALP-rl) dominent sur les sommets exposés, alors que dans les stations légèrement protégées, ce sont les krummholz à sapin (K-sb) et à épinette blanche (K-eb) qui s'installent. Il faut noter que l'épinette noire est presque toujours associée à ces derniers groupements.

Tableau 197 Chronoséquences des membres bien drainés de la principale caténa de l'étage supérieur de la région écologique des monts Otish

Types écologiques synthétiques	Chronoséquences
Т2 .	(ALP-cn/ALP-cni)
T2*	K-sb-en-m

Sous-zone du Haut-Subarctique Région écologique de la rivière Roggan

"Les limites continentales de cette région côtière du haut subarctique correspondent à l'extension, vers l'intérieur, des landes boisées à épinette blanche à lichens. Elles s'infléchissent assez profondément à l'arrière de la région écologique de la pointe Louis-XIV, paraissant très bien suivre ainsi la ligne d'invasion des brouillards matinaux, comme nous avons pu l'observer lors de notre présence sur le territoire au mois d'août 1976. Cette observation rejoint les conclusions de Payette (1975) qui établit une relation étroite entre la fréquence de la nébulosité et la présence de groupements d'épinette blanche. Dutilly et al., (1958) distinguaient cette région." (Ducruc et al., 1976)

Tout au long de l'analyse de la végétation, cette région écologique fut assimilée à celle des îles de Manitounouc puisque seulement deux stations de référence y furent échantillonnées.

Région écologique de la rivière Kanaaupscow

"Elle débute à l'ouest avec la disparition de l'épinette blanche et s'arrête à l'est avec la disparition du pin gris (*Pinus banksiana* Lamb.) et de *Kalmia angustifolia* L. qui coïncide avec l'isohyète 700 mm de moyenne annuelle des précipitations totales (Gagnon et Ferland, 1967)."

Domaine par excellence de la pessière à épinette noire et lichens, c'est également la région la plus septentrionale où l'on peut encore trouver des pinèdes à pin gris. Sur certains sommets très exposés, la lande alpine peut s'installer.

Tableau 198 Chronoséquences des membres bien drainés des trois principales caténas de la région écologique de la rivière
Kanaaupscow

Types écologiques synthétiques	Chronoséquences				
A23	EN-ca				
A23*	EN-m-es				
Т2	$[(PG-cm/LL-ca) \rightarrow EN-ca][ALP-cn]$				
T2*	EN-m				
S23	$[(PG-cm/LL-ca) \rightarrow EN-ca][ALP-cn]$				
S23* .	(EN-m/EN-m-es)				

Le paysage végétal de cette région peut être résumé par six groupements regroupant 90 p. 100 de l'échantillonnage régional. Dans les conditions mésiques, le paysage est dominé, avant tout, par la pessière à épinette noire et cladonies (EN-ca) et parfois par la pinède à cladonies (PG-cm) en stade pionnier. Dans des conditions d'intense dégradation, la lande à cladonies (LL-ca) s'installe en quasi-permanence, tandis que les conditions climatiques trop rigoureuses favorisent la lande alpine (ALP-cn) Dans des stations plus fraîches et plus riches, la pessière à épinette noire et mousses (EN-m) et parfois l'aulnaie à aulne vert (ALC) s'installe.

Région écologique du lac Le Grand

"Le paysage végétal, dominé par la lande boisée à épinette noire à lichens, reste très semblable à celui de la région précédente. Nous avons déjà souligné la disparition du pin gris et de Kalmia angustifolia et une précipitation totale plus élevée, critères suffisants pour définir une région différente." (Ducruc et al., 1976)

Une plus grande importance de la lande alpine, l'apparition du sapin et du bouleau blanc permettent en outre de distinguer cette région de la précédente.

Tableau 199 Chronoséquences des membres bien drainés des deux principales caténas de la région écologique du lac Le Grand

Types écologiques synthétiques	Chronoséquences
Т2	[(EN-ca/EN-ca-bg)][ALP-cn]
T2*	BB-la → EN-sb-m
S23	[(EN-ca/EN-ca-bg)][ALP-cn]
S23*	EN-sb-m

La pessière à épinette noire et cladonies (EN-ca) constitue le groupement dominant de cette région. Sur les sommets exposés, la lande alpine s'installe (ALP-cn) alors que la pessière à épinette noire et mousses (EN-m), la pessière à épinette noire et sapin (EN-sb), la bétulaie à bouleau blanc et lycopode (BB-la) et la sapinière (SB) préfèrent les stations riches. Ces six groupements végétaux comprennent 90 p. 100 de l'échantillonnage régional.

Région écologique du lac Delorme

"Même si elle appartient plutôt au domaine des landes boisées qu'à celui des landes à lichens, deux raisons majeures nous font intégrer cette région dans l'hémiarctique plutôt que dans le subarctique:

- la présence sporadique de landes arctiques sur les stations les plus élevées et les plus exposées; "- l'expérience de l'auteur principal de cette publication qui, ayant eu l'occasion de survoler à plusieurs reprises le territoire séparant Schefferville de Fort-Chimo, pense que les caractères dominants du couvert végétal de la région écologique du lac Delorme sont à rattacher à cette partie de la toundra forestière. La raison principale de ce jugement est l'abondance et la constance du mélèze laricin (Larix laricina (Du Roi) K. Koch) dans la strate arborée au point qu'il constitue les landes boisées à épinette noire et mélèze laricin à lichens caractérisant bien le couvert arboré de toute cette partie de la péninsule. L'abondance relative du mélèze laricin, remarquable là, alors qu'il est plus rare vers le littoral hudsonien (Payette, verbatim), est certainement due à des caractéristiques climatiques particulières." (Ducruc et αl ., 1976)

L'analyse des données de végétation ne permet pas de confirmer, ni de contredire catégoriquement l'opinion émise ci-haut quant à la constance du mélèze dans cette région. En effet, le mélèze semble s'associer progressivement aux pessières noires à cladonies à partir du Bas-Subarctique. Son abondance semble augmenter vers le nord, mais rien n'indique qu'il puisse permettre de classer la région écologique du lac Delorme dans une zone écologique différente de celle de la région écologique du lac Le Grand. D'ailleurs, Payette (1975) semble lier l'importance du mélèze le long de la rivière aux Feuilles (au nord du territoire de la Baie-James) aux incendies. Nous proposons donc de placer la région écologique du lac Delorme dans la sous-zone du Haut-Subarctique.

Cette région se distingue toutefois de la précédente par une plus grande abondance de lande alpine et l'absence du bouleau blanc.

Par contre, pour des raisons d'intensité d'échantillonnage, les chronoséquences de cette région sont identiques à celles de la région écologique du lac Le Grand. Il ne faudrait pas oublier toutefois une plus grande fréquence d'apparition de la lande alpine.

Quatre groupements végétaux résument 80 p. 100 de l'échantillonnage régional. La pessière à épinette noire et cladonies (EN-ca) caractérise le paysage général de cette région, remplacée par la lande alpine (ALP-cn) sous climat défavorable alors que la pessière à épinette noire, mousses et sphaignes (EN-m-sr) occupe les stations riches, imparfaitement drainés et que la sapinière (SB) se cantonne dans les stations mieux drainées mais tout aussi riches.

Région écologique du lac Opiscotéo

Par l'importance physionomique de la lande boisée et l'abondance relative de la lande alpine (figures 30, 31, 32), cette région écologique, classée dans le Moyen-Subarctique par Ducruc et αl ., (1976) est ici replacée dans le Haut-Subarctique.

Située à une altitude supérieure de 150 m à 200 m par rapport aux régions écologiques des lacs Le Grand et Delorme, cette région colincide de plus avec une limite climatique remarquable: l'isohyète 800 mm de moyenne annuelle des précipitations totales (Wilson, 1971). Les landes alpines y sont généralement moins importantes que dans les deux régions écologiques précédentes tandis que la pessière à épinette noire et sapin y occupe plus de place (figure 32). Toutefois, les chronoséquences de cette région sont identiques à celles des régions écologiques des lacs Le Grand et Delorme.

Cinq groupements végétaux se pargagent 83 p. 100 de l'échantillonnage régional à savoir: la pessière à épinette noire et cladonies (EN-ca) sur les stations bien drainées; les pessières à épinette noire et mousses (EN-m), les pessières à épinette noire et sapin (EN-sb) et la bétulaie à lycopode (BB-la) colonisent parfois les stations fraîches à seepage. Finalement, la lande alpine (ALP-cn) occupe les sommets exposés.

Zone Hémiarctique

Région écologique des îles de Manitounouc

"Cette région s'étend sur une étroite frange côtière continentale depuis l'île de l'Ours au sud jusqu'au-delà de la limite nord du territoire étudié et englobe les îles Manitounouc. Sans doute une région des plus pittoresques du territoire sinon de la province pour l'attrait de son paysage dû aux grandes cuestas du littoral de la mer d'Hudson (Dionne, 1976). Maycock (1968) présente une description de la partie méridionale des Manitounouc qui peut s'étendre à l'ensemble de la région écologique et que complète bien l'étude de Payette (1975).

Les stations exposées, battues par les vents dominants prévenant tout enneigement important, présentent des caractères arctiques très prononcés aussi bien floristiquement que géomorphologiquement. Mais cette région est surtout caractérisée par la constance de l'épinette blanche ($Picea\ glauca$ (Moench) Voss) dans les stations abritées; nous avons alors des landes boisées à épinette blanche avec un tapis lichenique dense." (Ducruc $et\ al.$, 1976)

Près de la moitié de cette région est couverte par des pessières à épinette blanche dont les plus xériques sont à lichens alors que sur les stations plus fraîches et plus riches la pessière à épinette blanche et mousses domine. Sur les sommets exposés des cuestas, des groupements arctiques sont représentés par des espèces telles que Salix uva-ursi, Ledum decumbens, Carex bigelowii, Arctostaphylos alpina, Hierochloe alpina, Cetraria nivalis, C. islandica, Cladonia amaurocraea, Alectoria ochroleuca, Sphaerophorus fragilis, etc.

Tableau 200 Chronoséquences des membres bien drainés des trois principales caténas de la région écologique des îles de Manitounouc

Types écologiques synthétiques	Chronoséquences
A23	EB-ca
A23*	EB-m
Т2	(EB-ca/EN-ca)
T2*	EB-m
S23	[EB-ca][LA-cn]
S23*	(EB-hs/EB-m)

Six groupements dominent la région et représentent 88 p. 100 de l'échantillonnage régional. On retrouve par ordre d'étendue:

- la pessière à épinette blanche et Hylocomium splendens (EB-hs),
- la pessière à épinette blanche et *Cladonia alpestris* (EB-ca),
- la pessière à épinette blanche et mousses (EB-m)
- la lande arctique à Salix uva-ursi (LA-su).

Dans des conditions plus pauvres ou de dégradation sévère, la lande à *Cladonia alpestris* (LL-ca) et la pessière à épinette noire et *Cladonia alpestris* (EN-ca) remplacent la pessière à épinette blanche.

Région écologique du lac Bienville

"Elle débute à l'ouest dès que l'épinette blanche cède sa place à l'épinette noire et déborde les cadres de notre étude à l'est du 72°. Le domaine de la lande à lichens y règne en maître et, sur les longues pentes abritées, les arbustes comme le bouleau glanduleux, l'aulne vert et les saules deviennent très abondants. Entre la Petite Rivière de la Baleine au nord et la Grande Rivière de la Baleine au sud, une série de hauts plateaux d'altitude supérieure à 500 m permettent l'installation de landes arctiques. Il en est de même, mais plus localement, au nord du lac Bienville. Hormis ces quelques landes arctiques on pourrait écrire que cette région, dans son ensemble, se caractérise par "des stations climatiquement favorables et édaphiquement limitatives à l'installation de formations arborescentes (Payette, 1975)." (Ducruc *et al.*, 1976)

Près de 85 p. 100 de cette région écologique est couverte par un tapis continu de lichens (figure 32). La pessière à épinette noire et lichens occupe près de la moitié de cette surface, le reste étant couvert en proportion presque égale par la lande à lichens et la lande arctique.

Tableau 201	Chronoséquences	des membres	oien drainés des deux	<prin-< th=""></prin-<>
	cipales caténas	de la région	écologique du lac B	íenville

Types écologiques synthétiques	Chronoséquences				
Т2	[LL-ca-bg → EN-ca][LA-cn]				
T2*	EN-m				
S23	$[LL-ca-bg \rightarrow (EN-ca/EN-ca-bg][LA-cn]$				
S23*	EN-m				

Le paysage végétal de cette région écologique est dominé par cinq groupements qui représentent 89 p. 100 de l'échantillonnage régional. Dans des conditions mésiques, le paysage est composé d'abord par la pessière à épinette noire et Cladonia alpestris (EN-ca), puis par la lande à Cladonia alpestris (LL-ca). Dans des conditions d'exposition climatiques défavorables la lande arctique à Cetraria nivalis (LA-cn) prend place, parfois accompagnée de krummholz à épinette noire et Vaccinium uliginosum (K-en-vu). Dans des conditions plus favorables, généralement sur colluvions bien à moyennement drainées, on rencontre une lande arbustive à Betula glandulosa (L-bg).

Région écologique des monts Schefferville

"Paysage montagneux et tourmenté qui ressemble beaucoup aux sommets des hauts plateaux de la région écologique du lac Bienville. Nous proposons cependant une région différente en raison des deux critères suivants:

- sa localisation géographique lui confère une position très continentale au centre de la péninsule du Québec-Labrador;
- son altitude, presque partout supérieure à 650 m, entraîne certainement des modifications climatiques majeures de cette continentalité." (Ducruc $et\ al.$, 1976)

Un échantillonnage excessivement réduit, quatre relevés sur sols minéraux) donnent trois groupements végétaux; deux de ces relevés appartiennent à la lande arctique à *Cetraria nivalis* (LA-cn), un autre

à épinette noire et *Cladonia alpestris* (EN-ca), le dernier appartenant à la pessière à épinette noire et mousses (EN-m) (figure 32). Il est inutile dans cette situation de fournir des chronoséquences végétales extrapolées des régions écologiques avoisinantes.

Zone arctique

Région écologique de la pointe Louis-XIV

"C'est l'unique région de la zone arctique sur le territoire de la baie de James. Elle représente un des avantspostes arctiques les plus méridionaux du globe où, sur d'anciennes plages marines très riches en coquillages, règne la toundra soumise aux influences maritimes accentuées par les vents dominants d'ouest." (Ducruc $et\ al.$, 1976)

Dominée exclusivement par la lande arctique, soit à herbacées, tel *Dryas integrifolia*, soit à lichens, soit encore à arbustes bas tels *Salix cordifolia* et *S. reticulata*, cette région est exempte de toute espèce arborescente.

Tableau 202 Chronoséquences des membres bien drainés des trois principales caténas de la région écologique de la pointe Louis-XIV

Types écologiques synthétiques	Chronoséquences
A23	LA-cn
A23*	LA-su
Т2	(LA-di/LA-cn)
T2*	LA-su
S23	(LA-di/LA-cn)
S23*	LA-su

Quatre groupements dominent la région écologique et représentent 86 p. 100 de l'échantillonnage régional. En premier, vient la lande arctique à Dryas integrifolia (LA-di), puis les landes à arbustes (L) et finalement la lande arctique à Cetraria nivalis (LA-cn) et la lande à Rhaco-mitrium lanuginosum (LA-rl).

4.4 SYNTHESE

Au tableau 203 nous présentons une synthèse des groupements végétaux dominants dans chaque région écologique tandis qu'au tableau 204 les chronoséquences des membres bien drainés des principales caténas sont regroupées par caténa.

Tableau 203 Groupements végétaux dominants des régions écologiques du territoire de la Baie-James (voir annexe 11 pour la signification des symboles)

	r r			, , , , , , , , , , , , , , , , , , , ,	····				,
Région écologique	Statut dynamique	Conditions mésiques	Conditions plus riches	Conditions plus pauvres	Région écologique	Statut dynamique	Conditions mésiques	Conditions plus riches	Conditions plus pauvres
Lac Matagami	Transition	PG-m PG-alc PG-alr	ВВ		Fort-George	Terminal	EB-m EB-ca EN-m		EN-ca
		TR-en TR-alr TR-rp TR-ak			Lac Sakami	Transition	PG-cm PG-ca	TR-1b BB-1b	
	Terminal	EN-m EN-m-1g	SB-m SB-eb	EN-ca EN-s-1g		Terminal	EN-ca EN-m		
Lac Chibou- gamau	Transition	TR-d1 TR-rp	BB-sb BB		Lac Nichicun	Transition	PG-ca	BB-alc BB-cb	
_	Terminal	EN-m EN-m-lg	SB-bb SB-eb	EN-s		Terminal	EN-ca	EN-m SB-m	ALP-cn
Baie de Rupert	Transition			PG-ca	Rivière Kanaaupscow	Transition	PG-cm EN-ca	ALC EN-m	LL-ca ALP-cn
Kupert	Terminal	EB-sb EN-m	PB-alr	ALP-cn-alc	Lac Le Grand	Transition		BB-la	
Lac Evans	Transition	PG-ca PG-m	TR-alc BB-alc BB-m			Terminal	EN-ca	EN-m EN-sb SB	ALP-cn
	Terminal	EN-m	SB-m	EN-sn EN-ca	Lac Delorme	Terminal	EN-ca	SB	ALP-cn EN-m-sr
Lac Mistas- sini	Transition	PG-ca PG-m	BB-en BB-alc TR		Lac Opiscotéo	Transition Terminal	EN-ca	BB-la EN-sb EN-m	ALP-cn
	Terminal	EN-m EN-ca EN-pcc	SB		Iles de Manitou- nouc-Riv.Roggan	Transition Terminal	EB-hs		LL-ca EN-ca
Lac Hippo- campe	Terminal	EN-sb	SB EB			Terminar	EB-ns EB-ca EB-m LA-su		EN-Ca
Monts Otish	Transition		ВВ		Lac Bienville	Transition	LL-ca	L-bg	
	Terminal	EN-sb	SB	EN-ca		Terminal	EN-ca		LA-cn
	Terminal	ALP-cn ALP-r1	K-sb K-eb		Monts Schef- ferville	Terminal	LA-cn EN-ca	EN-m	
					Pointe Louis-XIV	Terminal	LA-di LA-en LA-rl	L	

Tableau 204 Chronoséquences des membres bien drainés des principales caténas des régions écologiques du Territoire de la Baie-James

		T		
Type écologique: A23 (AL,	MA)		Тур	es écologiques: A23* (AL,MA)
CH (TR-rp/BB) → (EN-m/E MT (PG-alr/TR-rp/BB) → RU EB-sb-m EV (TR-alc/BB-alc-an) → MI non observé OTi non applicable OTs non applicable HI non applicable FG non observé SA TR-lb → (EN-m-alc/EN NI EN-ca-m KA EN-ca LE,DE,OP non applicable MA-RO EB-ca BI non observé LO LA-en	(EN-m/EN-m-sb) (EN-m-alc/EN-m-alc-sb)	·	CH MT RU EV MI OT: OTS HI FG SA NI KA LE,DE,OP MA-RO BI LO	SB-m TR-alr + SB-m EB-sb-m TR-ak + (EN-m-sb/EN-m-ak) non observé non applicable non applicable non observé TR-lb + (EN-m-pcc-alc non observé EN-m-cs non applicable EB-m non observé LA-su
Type écologique: T2 (TA,TI CH (PG-m/TR-en) + EN-m MT (PG-m/TR-en) + EN-m RU EB-sb-m EV (PG-m/BB-ak) + (EN-m MI PG-m + (EN-m-1g/EN-m OTi EN-ca OTs (ALP-cn/ALP-cni) HI EN-sb-m FG (EB-ca/EN-ca) SA PG-cm-ka + EN-cm + EI NI PG-ca + EN-ca + EN-cm KA [(PG-cm/LL-ca) + EN-cm LE,DE,OP [(EN-ca/EN-ca-bg)][AI MA-RO (EB-ca/EN-ca) BI [LL-ca-bg + EN-ca][LJ LO (LA-di/LA-cn)	/EN-m-ak) -alc) N-ca -al[ALP-cn] LP-cn]		Type CH MT RU EV MI OTi OTs HI FG SA NI KA LE,DE,OP MA-RO BI LO	BB + SB-m BB + SB-m BB + SB-m BB + SB-m EB-sb-m (TR-alc/BB-alc) + EN-m-ak-sb (TR/BB-alc) + (EN-m-alc/EN-pcc) BB-la + SB-eb-m K-sb-en-m SB-m-bb non observé EN-m-alc (EN-m-sb/EN-pcc) EN-m BB-la + EN-sb-m EB-m EN-m LA-su
Type écologique: S23 (SG,	SM,AF,AM)		Type	s écologiques: S23* (SG,SM,AF,AM)
CH (PG-m/TR-en) → EN-m MT (PG-m/TR-en) → EN-m RU EB-sb-pcc EV PG-m-alc → EN-m MI PG-m → EN-m OTi EN-ca OTs non observé HI EN-sb-m FG (EN-ca/EB-ca) SA PG-cm-ca-ka + EN-ca NI (PG-ca/FC-ca-ka) → EN KA [(PG-cm/LL-ca) → EN-ca LE,DE,QP [(EN-ca/EN-ca-bg)][AL MA-RO [EB-ca][LA-cn] BI [LL-ca-bg → (EN-ca/EN LO (LA-di/LA-cn)	al[ALP-cn] P-cn]		CH MT RU EV MI OT1 OT5 HI FG SA NI KA LE,DE,OP MA-RO BI LO	(TR-sb/BB-sb) + (SB-m/SB-bb-as) TR-sb + (SB-m/SB-bb-as) EB-sb-m (TR/TR-ak-bb) + EN-m-alc-sb (TR/BB-ak) + EN-pcc BB-la + SB-eb-m non observé SB-m-bb non observé PG-m-ak + EN-m (EN-m/EN-pcc) (EN-m/EN-m-cs) EN-sb-m (EB-hs/EB-m) EN-m LA-su

5 <u>LA CARTE DE LA VEGETATION POTENTIELLE DU TERRITOIRE DE LA</u> BAIE-JAMES

Il n'est pas dans notre mandat de fournir quelque carte de végétation que ce soit. Pour ce qui est de la carte de la végétation actuelle, il est hors de question d'en envisager la réalisation au niveau de perception auquel nous nous situons, sans compter que l'échelle photographique dont nous disposons (1:60 000) est tout à fait inadéquate. Par contre, nous croyons qu'il est possible de réaliser, à l'échelle du système écologique, tout autant qu'à celle du district écologique, une carte de la végétation potentielle. Par potentielle, nous entendons le type socio-écologique de végétation qui représente le terme d'une chronoséquence donnée. Toutefois, il faut bien comprendre que cette carte thématique n'est qu'une carte interprétative, puisqu'elle dérive de l'interprétation des types écologiques formant un système ou un district écologique. Prenons un exemple qui illustrera une méthode permettant de lever une telle carte.

La figure 42 est une portion de territoire chevauchant les régions écologiques du lac Evans et du lac Sakami et cartographiée au niveau du système écologique ¹. Portons maintenant notre attention sur le système écologique EV-R4-IVIA-12-bll (hachures). La fiche descriptive de ce système écologique se lit au tableau 205.

Tableau 205	Fiche	descriptive	du	svstème	écologique	EV-I	R4-1V1A-12-b11
145144 -00			~~	0 , 0 c c			

SYSTEME ECOLOGIQUE EV-R4-1V1A-12-b11								
TYPE ECOLOGIQUE	DEPOT	DRAINAGE	%	VEGETATION				
RT14	R1	1-4	25	EN-ca				
TA2	1A	2 .	20	$BR-va \rightarrow (PG-m/BB-alc) \rightarrow EN-m-t$				
TM2	1a(R)	2	20	$BR-va \rightarrow (PG-m/BB-alc) \rightarrow EN-m-t$				
TM3*	1a(R)	3*	15	TR-alc-bb → EN-m-alc-sb				
TA5	la	5	10	EN-sn-cc				
TP1	1fp	1	5	PG-ca → EN-ca				
RO1	R	1	5	PG-ca → EN-ca				

^{1.} Pour une discussion du système écologique, voir Ducruc (1979a).

• . A partir de cette fiche descriptive on peut compiler la proportion qu'occupe potentiellement les termes des chronoséquences de ce système écologique:

$$EN-m-t = 40\%$$
 $EN-m-alc-sb = 15\%$
 $EN-ca = 35\%$
 $EN-sn-cc = 10\%$

Nous pouvons donc caractériser ce système écologique de la manière suivante:

signifiant que, dans cette unité, la pessière à épinette noire et mousses domine, alors que la pessière à épinette noire et lichens est codominante.

En procédant identiquement pour tous les systèmes écologiques nous obtenons une carte des types socio-écologiques de végétation potentiels (figure 47).

La même méthode peut être suivie au niveau des districts écologiques (Jurdant et Ducruc, 1979).

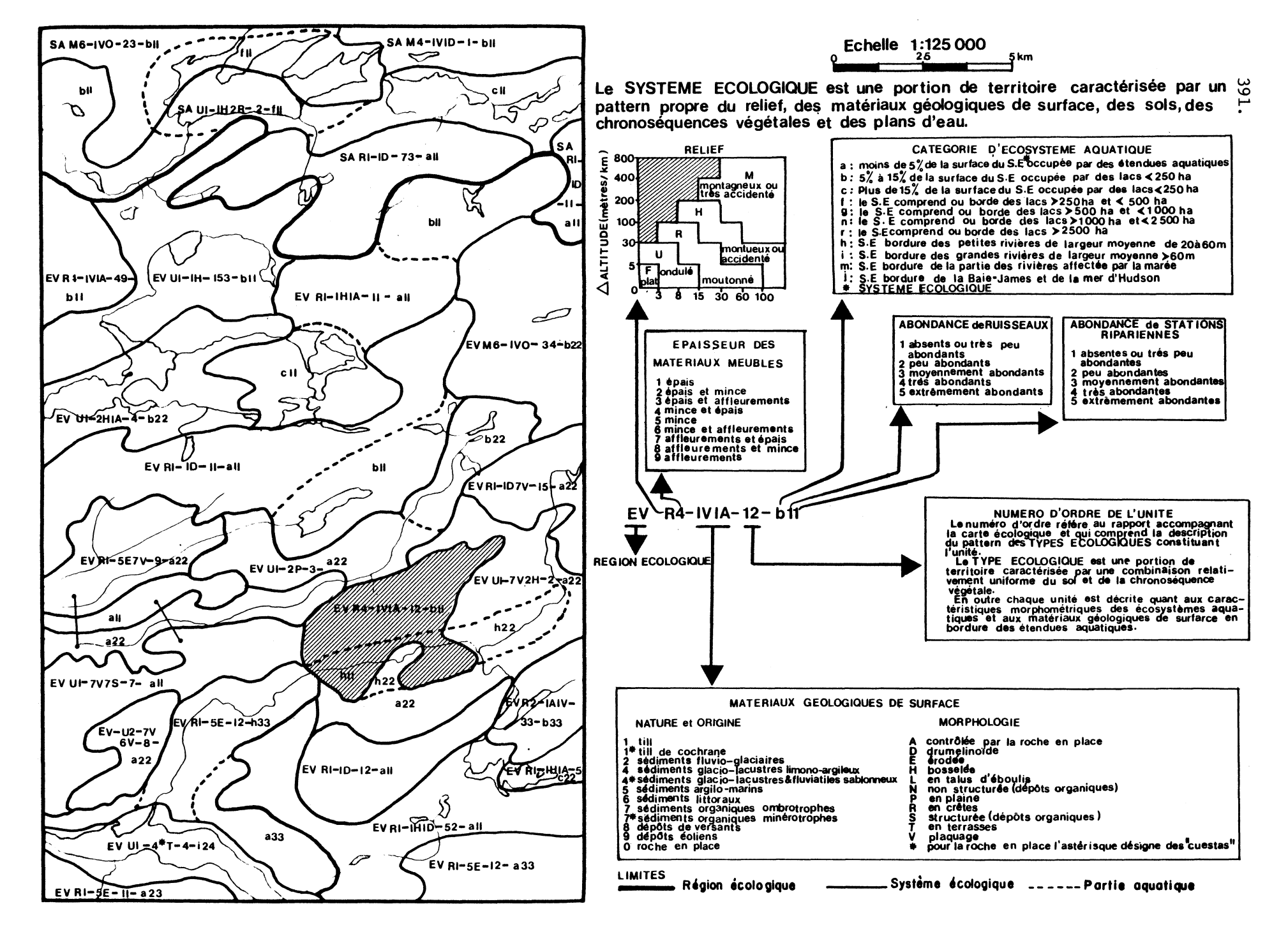
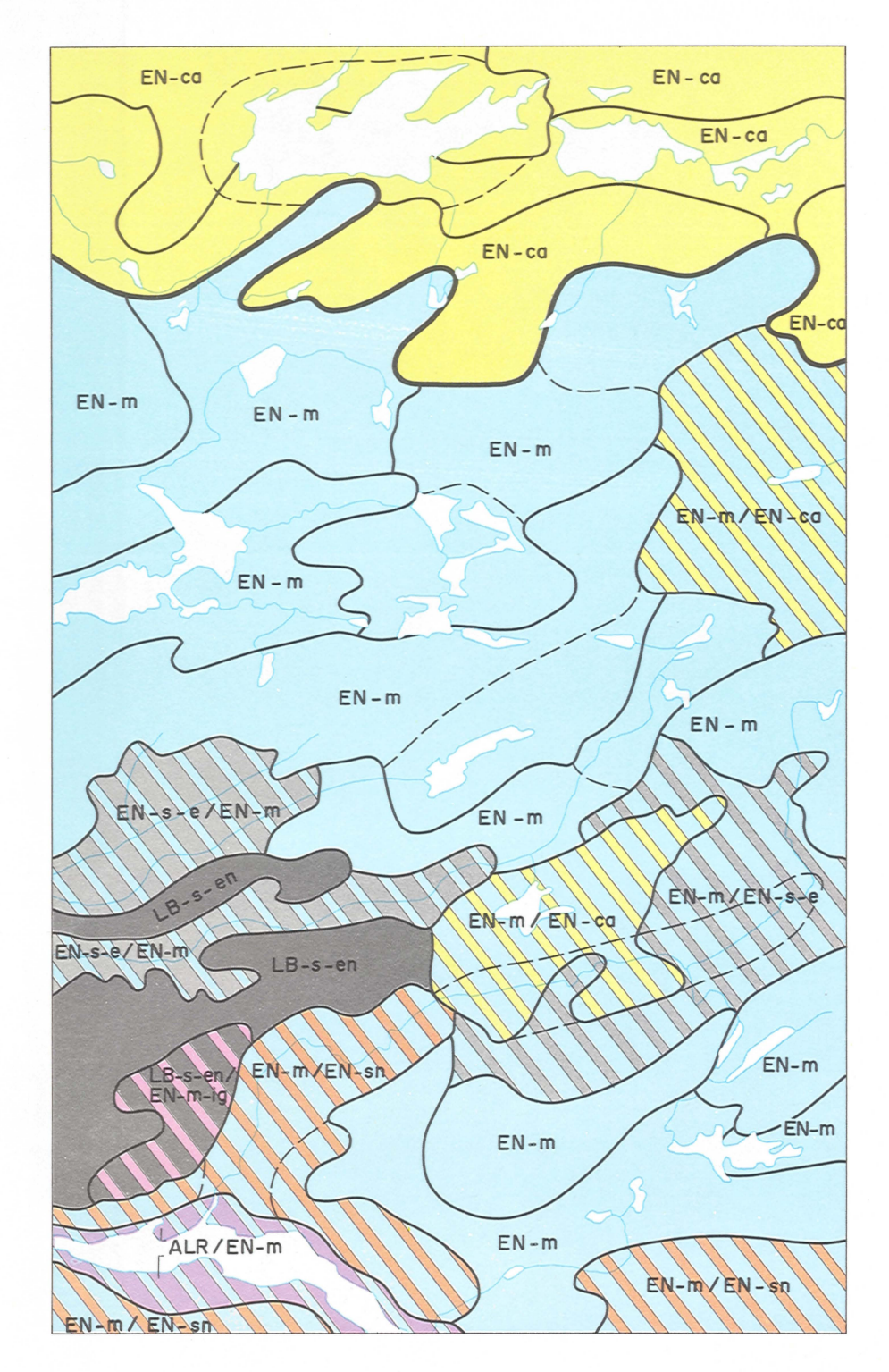


Figure 42 Extrait de la carte des systèmes écologiques du Territoire de la Baie-James



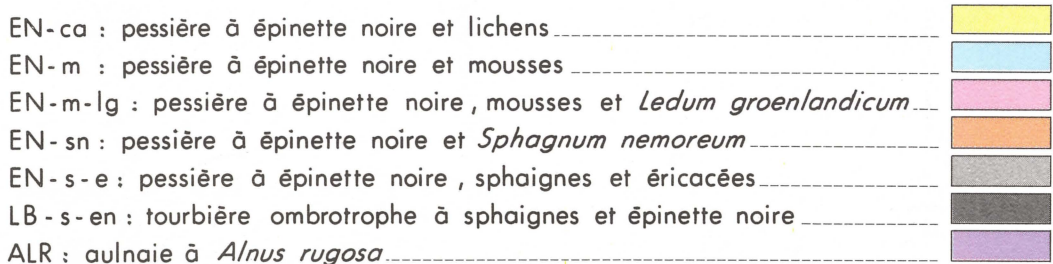


Figure 43.



BIBLIOGRAPHIE

- AMIOT, L. Ph. et B. BERNIER, 1961. Méthodes d'analyses chimiques usuelles des sols et des tissus végétaux. Les Presses de l'Université Laval, 117 pages.
- ANONYME, 1971. Normes d'inventaire forestier. Service de l'Inventaire Forestier, Direction générale des Bois et Forêts, ministère des Terres et Forêts, Québec, 148 pages.
- BECKING, R.W., 1957. "The Zurich-Montpellier School of Phytosociology". *The Bov. Rev.*, 23(7):412-488.
- BLACK, C.A., ed., 1965. *Methods of soil analysis*. American Society of Agronomy, Agronomy Series, n 9.
- BRAUN-BLANQUET, J., 1932. Plant sociology. The study of plant communities. McGraw-Hill, New York, 439 pages.
- C.C.P., 1972. Classification canadienne des sols. Ministère de l'Agriculture du Canada, 270 pages.
- C.N.R.C., 1975. Compte-rendu de la Conférence circumpolaire sur l'écologie du Nord. Conseil Nat. Rech. Canada, Ottawa, 600 pages.
- COMMISSION DE TOPONYMIE, 1978. Répertoire toponymique du Québec. Editeur officiel du Québec, 1199 pages.
- CRUM, H., W.C. STEERE et L.E. ANDERSON, 1965. "A list of mosses of North America", The bryologist, 61(4):377-432.
- DAGET, Ph., M. GODRON et J.L. GUILLERM, 1970. "Profils écologiques et information mutuelle entre espèces et facteurs écologiques. Application à l'étude d'un transect dans la vallée de Liptov (Tchécoslovaquie)". Symp. Int. Ver. Vegetationskunde Rinteln-Weser. Rapport non publié, 32 pages.
- DANSEREAU, P., 1957. Biogeography, An ecological perspective. The Ronald Press, N.Y., 394 pages.
- DIONNE, J.C., 1976. "Les grandes cuestas de la mer d'Hudson". Geos, 5:18-20.
- DUCRUC, J.P., 1974. "Déterminisme écologique du territoire au sud de la rivière La Grande (Baie de James)". Conseil de la Jeunesse Scientifique. Rapport non publié, 50 pages.

- DUCRUC, J.P., 1979a. Le système écologique: unité de base de la cartographie écologique du Territoire de la Baie-James. Série de la classification écologique du territoire, n° 10, Ottawa, 64 pages.
- DUCRUC, J.P., 1979b. L'inventaire du Capital-Nature du Territoire de la Baie-James, volume 5: les types écologiques. A paraître.
- DUCRUC, J.P. et R. ZARNOVICAN, 1976. "Notes sur l'écologie de trois espèces ligneuses à la bordure méridionale de la Baie d'Ungava, Nouveau-Québec: Betula glandulosa, Michx., Larix Laricina (Du Roi) K. Koch, Picea mariana (Mill.) BSP." Can. J. Bot. 54:1775-1783.
- DUCRUC, J.P., R. ZARNOVICAN, V. GERARDIN et M. JURDANT, 1975. "Les régions écologiques du territoire de la Baie-James: caractéristiques dominantes de leur couvert végétal." Cahiers de Géographie de Québec, 20(50):365-392.
- DUTILLY, A., E. LEPAGE et M. Duman, 1958. "Contribution à la flore des îles (T.N.O.) et du versant oriental (Qué.) de la Baie-James", Washington D.C., Contribution of the Arctic Institute, N° 9F., 199 pages.
- FERNALD, M.L., 1950. Gray's manual of botany, American Book Co., 8^e éd., 1632 pages.
- FILION, L. et S. PAYETTE, 1976. "La dynamique de l'enneigement en région hémiarctique. Poste-de-la-Baleine, Nouveau-Québec". Cahiers de Géographie du Québec, 20:275-302.
- FORTIN, M., 1975. "Sur un algorithme pour l'analyse des données et la reconnaissance des formes". Revue de Statistique Appliquée, 23(2): 37-45.
- FORTIN, M. F. BASSET et L.M. GAULIN, 1974. "La Méthode d'ordination des proximités. Mode d'emploi du programme". Univ. Laval, Département de mathématiques, collection mathématique n⁰ 9. Rapport non publié. 17 pages.
- GAGNON, R.M. et M. FERLAND, 1967. "Climat du Québec septentrional", Québec, Service de la Météorologie, Ministère des Richesses Naturelles, 107 pages.
- GERARDIN, V., 1977. "An integrated Approach to the Determination of Ecological Groups in Vegetation Studies". Thèse de doctorat, Université du Connecticut. Thèse non publiée. 237 pages.
- GERARDIN, V., J.P. DUCRUC et R. ZARNOVICAN, 1977. Analyse de la végétation dans le cadre d'un inventaire écologique intégré, in "L'inventaire du Capital-Nature", Jurdant et al., 1977, Environnement Canada, Direction générale des Terres. Série de la classification écologique du territoire, n 2, 202 pages.

- GERARDIN, V., J.P. DUCRUC, R. ZARNOVICAN et M. JURDANT, 1975. "Recherches de régions écologiques dans le Territoire de la Baie-James: définition d'une méthodologie". In Compte-rendu de la Conférence circumpolaire sur l'écologie du Nord, 15-18 sept., 1975; Conseil National de recherches du Canada.
- GERARDIN, V., J.L. LETHIECQ et M. JURDANT, 1974. "Chronoséquences végétales et types de végétation du territoire de la rivière La Grande". Rapport ETBJ no 19, Environnement Canada Société de Développement de la Baie James. Rapport non publié. 25 pages.
- GILBERT, G. et M. JURDANT, 1979. Les types physionomiques du Territoire de la Baie-James. En préparation.
- GODRON, M., 1965. Les principaux types de profils écologiques. Centre d'études phytosociologiques et écologiques, C.N.R.S., Montpellier. Rapport non publié. 8 pages.
- GODRON, M., 1968. "Quelques applications de la fréquence en écologie végétale (Recouvrement, informations mutuelles entre espèces et facteurs écologiques, échantillonnage)". Oecol. Plant., 3(3):185-212.
- GOUNOT, M., 1958. Contribution à l'étude des groupements végétaux messicoles et rudéraux de la Tunisie. Ann. Serv. Bot. Agron. Tunisie, 31:1-282.
- GUILLERM, J.L., 1971. "Calcul de l'information fournie par un profil écologique et valeur indicatrice des espèces". Oecol. Plant., 6:209-225.
- HALE, M.E. et W.L. CULBERSON, 1966. "A third check list of the lichens of the continental United States and Canada". *The Bryologist*, 69(2):pp. 142 à 182.
- HARE, F.K., 1950. "Climate and zonal divisions of the boreal forest formation in Eastern Canada". Geogr. Rev., 40:615-635.
- HARE, F.K., 1959. "A photo reconnaissance survey of Labrador-Ungava", Ottawa, Geog. branch, Mines and Tech. Surv., Memoir 6, 83 pages.
- HUSTICH, I., 1951a. "The lichen woodlands in Labrador and their importance as winter pastures for domesticated reindeer". Alta Geographica, 12(1):1-48.
- HUSTICH, I., 1951b. "Forest-Botanical Notes from Knob Lake Area in the Interior of Labrador Peninsula". Annual Report, National Musuem. Bull. no. 123:166-217.
- HUSTICH, I., 1958. "La forêt d'épinette noire à mousses du Québec septentrional et du Labrador". Naturaliste Can., 95:413-421.
- IBP, 1970. "Tundra Biome". Working Meeting on Analysis of Ecosystems. Kevo Finland, Sept. 1970, International Biological Programme, England. 297 pages.

- JURDANT, M., 1977. Interprétation des cartes écologiques du Territoire de la Baie-James pour le secteur ingénierie. Société de développement de la Baie James Environnement Canada. Rapport ETBJ n° 32, 55 pages. Non publié.
- JURDANT, M., J.L. BELAIR, V. GERARDIN et J.P. DUCRUC, 1977. L'inventaire du Capital-Nature. Méthode de classification et de cartographie écologique du territoire (3 approximation). Environnement Canada, Direction régionale des terres. Série de la classification écologique du territoire, n 2. 202 pages.
- JURDANT, M. et J.P. DUCRUC, 1979. Carte écologique du Territoire de la Baie-James. Districts écologiques et géomorphologie. Série de la classification écologique du territoire, Ottawa, sous presse.
- LAFOND, A. et G. LADOUCEUR, 1970. Les groupements forestiers de la province de Québec. Québec, Fac. foresterie et géodésie, Univ. Laval. Rapport non publié. 179 pages.
- MacARTHUR, R.H., 1972. Geographical Ecology. Patterns in the distribution of species, Harper and Row, pub., N.Y. 269 pages.
- MARR, J.W., 1948. "Ecology of the Forest-Tundra Ecotone on the East Coast of Hudson Bay". Eco. Mon., 18(1):118-144.
- MAYCOOK, P.F., 1968. "The flora and vegetation of the southern Manitounuk Islands, southeast Hudson Bay, and a consideration of phytogeographical relationships in the region". Naturaliste Can., 95(2):423-468.
- NYHOLM, E., 1969. "Illustrated moss flora of Fennoscandia. II. Musci", The Botanical Soc. of Lund. Natural Science Res. Coucil, Stockholm, Fasc. 6:647-799.
- OZENDA, P., 1964. Biogéographie végétale. Ed. Doin, Paris, 374 pages.
- OUZILLEAU, J. et S. PAYETTE, 1975. "Croissance de quelques lichens à caribou du genre Cladonia (sous-genre cladina) en milieu subarctique, Nouveau-Québec". Naturaliste can., 162:597-602.
- PAYETTE, S., 1974. "Classification écologique des formes de croissance de *Picea glauca* (Moench.) Voss et de *Picea mariana* (Mill.) BSP. en milieux subarctiques subalpins". *Naturaliste can.*, 101:893-903.
- PAYETTE, S., 1975. "La limite septentrionale des forêts sur la côte orientale de la baie d'Hudson, Nouveau-Ouébec". Naturaliste can., 102(3): 317-329.
- PAYETTE, S., 1976a. "Les limites écologiques de la zone hémiarctique entre la mer d'Hudson et la Baie d'Ungava, Nouveau-Québec". Cahiers de Géographie de Québec. 20:347-364.

- PAYETTE, S., 1976b. "Succession écologique des forêts d'épinette blanche et fluctuations climatiques, Poste-de-la-Baleine, Nouveau-Québec". Journal can. de Botanique, 54:1394-1402.
- PAYETTE, S. et F. BOUDREAU, 1972. 'Marcottage chez *Picea glauca* (Moench)
 Voss et *Larix laricina* (Du Roi) K. Koch sur la côte hudsonnienne hémiarctique, Nouveau-Québec'. *Naturaliste Can.*, 99:131-133.
- PAYETTE, S., et L. FILION, 1975. "Ecologie de la limite septentrionale des forêts maritimes, Baie d'Hudson, Nouveau-Québec". Naturaliste can., 102:783-802.
- PAYETTE, S., L. FILION et J. OUZILLEAU, 1973. "Relations neige-végétation dans la toundra forestière du Nouveau-Québec, Baie d'Hudson". Natura-liste can., 100(5):493-508.
- PAYETTE, S. et D. LAGAREC, 1972. "Observations sur les conditions d'enneigement à Poste-de-la-Baleine, Nouveau-Ouébec, hiver 1972". Cahiers de Géographie de Québec, 16:(39):469-481.
- PAYETTE, S., J. OUZILLEAU et L. FILION, 1975. "Zonation des conditions d'enneigement en toundra forestière, Baie d'Hudson, Nouveau-Québec". Jour. Can. Bot., 53(10):1021-1030.
- ROBERTS-PICHETTE, P., 1972. "Annoted bibliography of permafrost-vegetation-wildlife landform relationships". Forest Management Institute, Inf. Report FRM-X-43, Ottawa. 350 pages.
- ROUSSEAU, C., 1974. "Géographie floristique du Québec/Labrador. Distribution des principales espèces vasculaires". Québec, Les Presses de l'Université Laval, Travaux et documents du Centre d'Etudes Nordiques, 1973 pages.
- ROUSSEAU, J., 1949. "La zone hémiarctique". Proc. and Trans. Roy. Soc. Can., 43 (Série 3) (app. F), 246 pages.
- ROUSSEAU, J., 1952. "Les zones biologiques de la péninsule Québec-Labrador et l'Hémiarctique". Can. J. Bot., 30(4):436-474.
- ROUSSEAU, J., 1968. "The vegetation of Quebec-Labrador peninsula between 55° and 60° N". Naturaliste can., 95(2):469-563.
- ROWE, J., 1972. "Forest Regions of Canada", Dept. Environment, Can. For. Serv., Publ. No. 1300, 172 pages.
- SCHUSTER, R.M., 1953. "Boreal hepaticae. A manual of the Liverworts of Minnesota and adjacent regions". Amer. Midland Naturalist, 49(2): 258-684.
- UNESCO, 1970. Ecologie des régions subarctiques. Actes du colloque d'Helsinki, UNESCO, 364 pages.
- U.S.D.A. 1951. Soil Survey Manual. U.S. Dept. of Agric. Handbook 18, 503 pages.

- WALTER, H., 1973. Vegetation of the earth in relation to climate and the eco-physical conditions. Londres, Angleterre, English Universities Press Ltd., 237 pages.
- WILSON, C., 1971. "Le climat du Québec. Première partie: atlas climatique". Ottawa, Services météorologiques du Canada, Information Canada, Etudes climatologiques 11.
- ZARNOVICAN, R., V. GERARDIN, J.P. DUCRUC, M. JURDANT et G. AUDET, 1976.

 "Les régions écologiques du Territoire de la Baie-James". Rapport
 ETBJ n 28, Environnement Canada Société de Développement de la
 Baie James. Rapport non publié. 12 pages.



Environnement Canada

Environment Canada

Direction générale des terres

Lands Directorate

